

ՀԱՅԱՍՏԱՆԻ ՀԱՆՐԱՊԵՏՈՒԹՅՈՒՆ

«ԿԱՄԵՆԿԱ ՍԹՈՈՒՆ»

ՍԱՀՄԱՆԱՓԱԿ ՊԱՏԱՍԽԱՆԱՏՎՈՒԹՅԱՄԲ ԸՆԿԵՐՈՒԹՅՈՒՆ

ՇՐՋԱԿԱ ՄԻՋԱՎԱՅՐԻ ՎՐԱ ԱԶԴԵՑՈՒԹՅԱՆ ԳՆԱՀԱՏՄԱՆ

ՀԻՄՆԱԿԱՆ ՀԱՇՎԵՏՎՈՒԹՅՈՒՆ

Ձեռնարկություն՝ «Կամենկա Սթոուն» ՍՊԸ

Օբյեկտ՝ ՀՀ Լոռու մարզի Սարատովկայի բազալտի հանքավայր (Հարավարևելյան տեղամաս): Բացահանք:

Մասը՝ Շրջակա միջավայրի վրա ազդեցության գնահատում

Տնօրեն՝



Վ. Բեգոյան

Երևան 2023

ԲՈՎԱՆԴԱԿՈՒԹՅՈՒՆ

| | Էջ |
|--|-----|
| ՕԳՏԱԳՈՐԾՎՈՂ ՍԱՀՄԱՆՈՒՄՆԵՐ ԵՎ ՏԵՐՄԻՆՆԵՐ | 4 |
| 1. ՆԱԽԱԳԾՄԱՆ ՆՈՐՄԱՏԻՎ-ԻՐԱՎԱԿԱՆ ՀԵՆՔԸ | 7 |
| 2. ԸՆԴՀԱՆՈՒՐ ՏԵՂԵԿՈՒԹՅՈՒՆՆԵՐ | 12 |
| 2.1. Նախաձեռնողի անունը (անվանումը) և բնակության (գտնվելու) վայրը | 12 |
| 2.2. Նախատեսվող գործունեության անվանումը և նպատակը | 16 |
| 2.3. Հանքավայրի երկրաբանական կառուցվածքը | 16 |
| 2.4. Նախատեսվող գործունեության բնութագիրը | 20 |
| 2.5. Այլընտրանքային լուծումներ | 32 |
| 3. ՇՐՋԱԿԱ ՄԻՋԱՎԱՅՐԻ ՆԿԱՐԱԳԻՐԸ | 34 |
| 3.1. Երկրաձևաբանություն, լանջերի թեքություն, սողանքային երևույթներ, սեյսմիկ պայմաններ | 34 |
| 3.2. Կլիմայական բնութագրեր | 40 |
| 3.3. Մթնոլորտային օդ | 44 |
| 3.4. Ջրային ռեսուրսներ | 44 |
| 3.5. Հողեր | 47 |
| 3.6. Բուսական և կենդանական աշխարհ | 49 |
| 3.7. Բնության հատուկ պահպանվող տարածքներ | 52 |
| 4. ՍՈՑԻԱԼ-ՏՆՏԵՍԱԿԱՆ ԲՆՈՒԹԱԳԻՐ | 54 |
| 5. ՇՐՋԱԿԱ ՄԻՋԱՎԱՅՐԻ ԲԱՂԱԴՐԻԶՆԵՐԻ ՎՐԱ ՀՆԱՐԱՎՈՐ ԱԶԴԵՑՈՒԹՅՈՒՆՆԵՐԻ ԲՆՈՒԹԱԳԻՐԸ | 64 |
| 6. ՀԱԿԱՎԹԱՐԱՅԻՆ ՄԻՋՈՑԱՌՈՒՄՆԵՐ | 80 |
| 7. ԲՆԱՊԱՀՊԱՆԱԿԱՆ ԿԱՌԱՎԱՐՄԱՆ ՊԼԱՆԸ | 82 |
| 8. ԱՐՏԱԿԱՐԳ ԻՐԱՎԻՃԱԿՆԵՐ | 95 |
| 9. ԲՆԱՊԱՀՊԱՆԱԿԱՆ ՄՇՏԱԴԻՏԱՐԿՄԱՆ (ՄՈՆԻՏՈՐԻՆԳԻ) ՊԼԱՆ | 97 |
| 10. ՇՐՋԱԿԱ ՄԻՋԱՎԱՅՐԻ ՎՐԱ ԱԶԴԵՑՈՒԹՅԱՆ ՏՆՏԵՍԱԿԱՆ ՎՆԱՍԻ ԳՆԱՀԱՏՈՒՄԸ | 100 |
| Օգտագործված գրականության ցանկ | 103 |
| Հավելված 1. Հավելված 1. ОТЧЕТ Расчёт загрязнения атмосферы унифицированной программы расчёта загрязнения атмосферы УПРЗА «ЭКО центр» | 104 |
| Հավելված 2. Հանքի գլխավոր հատակագիծը | 139 |

ՆԿԱՐՆԵՐԻ ՑԱՆԿ

| | Էջ |
|--|----|
| Նկար 1. ՀՀ Լոռու մարզի ակնարկային քարտեզ | 13 |
| Հայցվող տարածքի իրավիճակային քարտեզ: Կազմված է | |
| Նկար 2. 1:10000 մասշտաբի տեղագրական քարտեզի հիման վրա | 14 |
| Հայցվող տարածքի իրավիճակային քարտեզ: Կազմված է | |
| Նկար 3. 1:50000 մասշտաբի տոպոգրաֆիական հենքի վրա | 15 |
| Նկար 4. Շրջանի երկրաձևաբանական տարրերի սխեմատիկ քարտեզ | 36 |
| Նկար 5. Շրջանի լանջերի թեքությունների սխեմատիկ քարտեզ | 37 |
| Նկար 6. Սողանքային մարմինների տարածման սխեմատիկ քարտեզ | 38 |
| ՀՀ տարածքի հավանական սեյսմիկ վտանգի գոտիավորման | |
| Նկար 7. քարտեզ | 39 |
| Նկար 8. Շրջանի կլիմայական գոտիների սխեմատիկ քարտեզ | 41 |
| Հայցվող տարածքի և Տաշիր գետի տեղադիրքը և | |
| Նկար 9. հեռավորությունները արտացոլող սխեմատիկ քարտեզ | 46 |
| Դեբեդ գետի ավազանի մակերևութային ջրերի մոնիթորինգի | |
| Նկար 10. դիտացանց | 46 |
| Նկար 11. Հողերի բնական տիպերի տարածման սխեմատիկ քարտեզ | 48 |
| Նկար 12. Շրջանի բուսական տիպերի սխեմատիկ քարտեզ | 50 |
| Նկար 13. Շրջանի անտառային հողերի իրադրային քարտեզ | 51 |
| Ընդերքօգտագործման թափոնների լցակույտերի տեղադիրքը | |
| Նկար 14. արտացոլող սխեմատիկ քարտեզ | 72 |
| Հայցվող տարածքի շրջանում խախտված տարածքների | |
| Նկար 15. սխեմատիկ իրադրային քարտեզ | 73 |
| Ռեկուլտիվացված տարածքների սխեմատիկ իրադրային | |
| Նկար 16. քարտեզ | 86 |
| Շրջակա միջավայրի մշտադիտարկման կետերի սխեմատիկ | |
| Նկար 17. քարտեզ | 99 |

ՕԳՏԱԳՈՐԾՎՈՂ ՄԱՀՄԱՆՈՒՄՆԵՐ ԵՎ ՏԵՐՄԻՆՆԵՐ

Օգտակար հանածոյի պաշարներ՝ օգտակար հանածոյի կուտակումներ, որոնց ծավալը, քանակը, որակը և տարածքային դիրքն ու ձևը որոշված են

Հանքավայր՝ ընդերքի մաս, որը պարունակում է օգտակար հանածոյի պաշարներ (այդ թվում՝ կանխատեսումային), որոնք ստացել են երկրաբանատնտեսագիտական գնահատական.

Օգտակար հանածոյի արդյունահանում՝ օգտակար հանածոյի դուրսբերումը հանքավայրերից և դրանց մեջ պարփակված օգտակար բաղադրիչների կորզմանն ուղղված աշխատանքների համալիր

Նախատեսվող գործունեություն՝ շրջակա միջավայրի վրա հնարավոր ազդեցություն ունեցող ուսումնասիրություն, արտադրություն, կառուցում, շահագործում, վերակառուցում, ընդլայնում, տեխնիկական և տեխնոլոգիական վերազինում, վերապրոֆիլավորում, կոնսերվացում, տեղափոխում, լուծարում, փակում.

Նախագծային փաստաթուղթ՝ նախատեսվող գործունեության տեխնիկական զեկույց, տեխնիկատնտեսական հիմնավորում, տեխնիկատնտեսական հաշվարկ, ճարտարապետաշինարարական նախագիծ.

Շրջակա միջավայրի վրա ազդեցության փորձաքննության հիմնական փուլ՝ հիմնադրությային փաստաթղթի կամ նախատեսվող գործունեության շրջակա միջավայրի վրա ազդեցության գնահատման հաշվետվության ուսումնասիրության և վերլուծության արդյունքում դրանց թույլատրելիության վերաբերյալ պետական փորձաքննական եզրակացություն տալու գործընթաց.

Բնապահպանական կառավարման պլան՝ ընդերքօգտագործման հետևանքով բնապահպանական կորուստների նվազեցման, անվերադարձ ազդեցության կանխարգելման նպատակով պլանավորվող միջոցառումներ և դրանց իրականացման մշտադիտարկման ցուցիչներ, որոնք հստակ են և չափելի՝ որոշակի ժամանակի ընթացքում

Բույսերի կարմիր գիրք՝ միջազգային պահանջները բավարարող համահավաք փաստաթուղթ, որում գրանցվում են տեղեկություններ հազվագյուտ, անհետացման եզրին գտնվող բույսերի և համակեցությունների կարգավիճակի, աշխարհագրական

տարածվածության, էկոլոգիական պայմանների, կենսաբանական առանձնահատկությունների ներկա վիճակի և պահպանման միջոցառումների մասին **Կենդանիների Կարմիր գիրք**՝ միջազգային պահանջները բավարարող համահավաք փաստաթուղթ է, որում գրանցվում են տեղեկություններ հազվագյուտ, անհետացող կենդանական տեսակների կարգավիճակի, աշխարհագրական տարածվածության, էկոլոգիական պայմանների, կենսաբանական առանձնահատկությունների, ներկա վիճակի և պահպանման միջոցառումների մասին: Կենդանիների Կարմիր գիրքը վարվում է հազվագյուտ և անհետացող կենդանական տեսակների և համակեցությունների հաշվառման, պահպանության, վերարտադրության, օգտագործման և գիտականորեն հիմնավորված հատուկ միջոցառումների մշակման և իրագործման, ինչպես նաև դրանց մասին բնակչությանը իրազեկելու նպատակով

Հող՝ երկրի մակերևույթում բիոտիկ, աբիոտիկ և մարդածին գործոնների երկարատև ազդեցության արդյունքում առաջացած ինքնուրույն բնագիտապատմական հանքաօրգանական բնական մարմին՝ կազմված կոշտ հանքային և օրգանական մասնիկներից, ջրից ու օդից և ունի բույսերի աճի ու զարգացման համար համապատասխան պայմաններ ստեղծող յուրահատուկ գենետիկամորֆոլոգիական հատկանիշներ ու հատկություններ

Հողի բերրի շերտ՝ հողային ծածկույթի վերին շերտի բուսահող, որն օգտագործվում է հողերի բարելավման, կանաչապատման, ռեկուլտիվացման նպատակներով

Ռեկուլտիվացում՝ խախտված հողերի վերականգնմանն ուղղված (օգտագործման համար պիտանի վիճակի բերելու) միջոցառումների համալիր, որը կատարվում է 2 փուլով՝ տեխնիկական և կենսաբանական

Ազդակիր համայնք՝ շրջակա միջավայրի վրա հիմնադրությամբ փաստաթղթի կամ նախատեսվող գործունեության հնարավոր ազդեցության ենթակա համայնքի (համայնքների) բնակչություն՝ ֆիզիկական և (կամ) իրավաբանական անձինք

Խախտված հողեր՝ առաջնային տնտեսական արժեքը կորցրած և շրջակա միջավայրի վրա բացասական ներգործության աղբյուր հանդիսացող հողեր

Ընդերքօգտագործման հետևանքով բնապահպանական կորուստների նվազեցման, անվերադարձ ազդեցության կանխարգելման նպատակով մշտադիտարկումներ՝ ընդերքի երկրաբանական ուսումնասիրության և օգտակար հանածոների արդյունահանման աշխատանքային ծրագրերին զուգընթաց՝ երկրաբանական ուսումնասիրության աշխատանքների ծրագրով, օգտակար հանածոների արդյունահանման աշխատանքային նախագծով, շրջակա միջավայրի վրա ազդեցության նախնական գնահատման հայտով և ազդեցության գնահատման հաշվետվությամբ ամրագրված ցուցանիշների հիման վրա իրականացվող մշտադիտարկումներ:

1. ՆԱԽԱԳԾՄԱՆ ՆՈՐՄԱՏԻՎ-ԻՐԱՎԱԿԱՆ ՀԵՆՔԸ

Սարատովկայի բազալտի հանքավայրի Հարավ-արևելյան տեղամասի արդյունահանման աշխատանքների շրջակա միջավայրի վրա ազդեցության գնահատման հիմնական հաշվետվությունը կազմելիս ընկերությունն առաջնորդվել է բնապահպանական օրենսդրության պահանջներով, որոնք ամրագրված են հետևյալ իրավական ակտերում.

– ՀՀ Ընդերքի մասին օրենսգիրք (ՀՕ-280, 28.11.2011թ.), որով սահմանվում են ՀՀ տարածքում ընդերքօգտագործման սկզբունքներն ու կարգը, կարգավորվում են ընդերքն օգտագործելիս բնությունը և շրջակա միջավայրը վնասակար ազդեցություններից պաշտպանության, աշխատանքների կատարման անվտանգության ապահովման, ինչպես նաև ընդերքօգտագործման ընթացքում պետության և անձանց իրավունքների և օրինական շահերի պաշտպանության հետ կապված հարաբերությունները:

– ՀՀ Հողային օրենսգիրք (ՀՕ-185, 02.05.2001թ.), որը սահմանում է հողային հարաբերությունների պետական կարգավորման կատարելագործման, հողի տնտեսավարման տարբեր կազմակերպական-իրավական ձևերի զարգացման, հողերի բերրիության, հողօգտագործման արդյունավետության բարձրացման, մարդկանց կյանքի ու առողջության համար բարենպաստ շրջակա միջավայրի պահպանման և բարելավման, հողի նկատմամբ իրավունքների պաշտպանության իրավական հիմքերը:

– ՀՀ Ջրային օրենսգիրք (ՀՕ-373, 04.06.2002թ.), որով կարգավորվում են ջրային ռեսուրսների և ջրային համակարգերի, այդ թվում՝ ջրամատակարարման, ջրահեռացման համակարգերի տնօրինման, տիրապետման, օգտագործման և պահպանման ոլորտում ծագող հարաբերությունները:

– «Բուսական աշխարհի մասին» ՀՀ օրենք (ՀՕ-22, 23.11.1999թ.), որը սահմանում է պետական քաղաքականությունը բնական բուսական աշխարհի գիտականորեն հիմնավորված պահպանության, պաշտպանության, օգտագործման և վերարտադրության բնագավառում:

- «Կենդանական աշխարհի մասին» ՀՀ օրենք (ՀՕ-52, 03.04.2000թ.), որը սահմանում է ՀՀ տարածքում կենդանական աշխարհի վայրի տեսակների պահպանության, պաշտպանության, վերարտադրության և օգտագործման պետական քաղաքականությունը:
- «Մթնոլորտային օդի պահպանության մասին» ՀՀ օրենք (ՀՕ-121, 11.10.1997, խմբ. ՀՕ-522, 07.12.2022թ.,), որը կարգավորում է մթնոլորտային օդի պահպանության իրավական և կազմակերպական հիմքերը՝ ուղղված մթնոլորտային օդի որակի պահպանությանը և մարդու առողջության և շրջակա միջավայրի համար բարենպաստ մթնոլորտային օդի որակի ապահովման նպատակով՝ մթնոլորտային օդի պահպանության բնագավառում հասարակական հարաբերությունները:
- «Բնության հատուկ պահպանվող տարածքների մասին» ՀՀ օրենք (ՀՕ-211, 27.11.2006թ.), որը կարգավորում է Հայաստանի Հանրապետության բնության հատուկ պահպանվող տարածքների՝ որպես բնապահպանական, տնտեսական, սոցիալական, գիտական, կրթական, պատմամշակութային, գեղագիտական, առողջապահական, ռեկրեացիոն արժեք ներկայացնող էկոհամակարգերի, բնության համալիրների ու առանձին օբյեկտների բնականոն զարգացման, վերականգնման, պահպանության, վերարտադրության և օգտագործման պետական քաղաքականության իրավական հիմունքները:
- «Շրջակա միջավայրի վրա ազդեցության գնահատման և փորձաքննության մասին» ՀՀ օրենք (ՀՕ-110, 21.06.2014թ., խմբ. 03.05.23թ.-ի ՀՕ-150-Ն), որը կարգավորում է Հայաստանի Հանրապետությունում շրջակա միջավայրի վրա ազդեցության գնահատումների, շրջակա միջավայրի վրա ազդեցության պետական փորձաքննության ոլորտի հասարակական հարաբերությունները:
- «Թափոնների մասին» 24.11.2004թ.-ի № ՀՕ-159-Ն օրենք, որը կարգավորում է թափոնների հավաքման, փոխադրման, պահման, մշակման, օգտահանման, հեռացման, ծավալների կրճատման և դրանց հետ կապված այլ հարաբերությունների, ինչպես նաև մարդու առողջության և շրջակա միջավայրի վրա բացասական ազդեցության կանխարգելման իրավական և տնտեսական հիմքերը:

– ՀՀ կառավարության 10.01.2013թ.-ի թիվ 22-Ն որոշում, որով սահմանվել են օգտակար հանածոների արդյունահանված տարածքի, արդյունահանման ընթացքում առաջացած արտադրական լցակույտերի տեղադիրքի և դրանց հարակից համայնքների բնակչության անվտանգության ու առողջության ապահովման նպատակով մշտադիտարկումների իրականացման, դրանց իրականացման վճարների չափերի հաշվարկման և վճարման կարգերը:

– ՀՀ կառավարության 14.12.2017թ.-ի թիվ 1643-Ն որոշում, որը կիրառվում է Հայաստանի Հանրապետության տարածքում խախտված հողերի հաշվառման, հողաշինարարական, քարտեզագրման, կանխատեսվող ու իրականացման ենթակա ռեկուլտիվացման աշխատանքների նախագծման, ռեկուլտիվացման, ռեկուլտիվացված հողերի նպատակային նշանակության ուղղությունների որոշման, ինչպես նաև նպատակային ու գործառական նշանակությանը համապատասխան՝ դրանց հետագա օգտագործման ժամանակ:

– ՀՀ կառավարության 31.07.2014թ.-ի N781-Ն որոշում, որը սահմանում է սահմանում է Հայաստանի Հանրապետության բուսական աշխարհի օբյեկտների պահպանության և բնական պայմաններում վերարտադրության նպատակով դրանց օգտագործման ընթացակարգը:

– ՀՀ կառավարության 22.02.2018թ.-ի N191-Ն որոշում, որը սահմանում է ընդերքօգտագործման հետևանքով բնապահպանական կորուստների նվազեցման, անվերադարձ ազդեցության կանխարգելման նպատակով պլանավորվող մշտադիտարկումների իրականացման պահանջների, ինչպես նաև արդյունքների վերաբերյալ հաշվետվությունները ներկայացնելու կարգը:

– ՀՀ կառավարության 02.11.2017թ.-ի N1404-Ն որոշում, որով սահմանվել են հողի բերրի շերտի հանման նորմերի որոշմանը և պակաս արդյունավետ հողերի բարելավման համար հողի բերրի շերտի պահպանմանն ու օգտագործմանը ներկայացվող պահանջները:

– ՀՀ կառավարության 29.01.2010թ.-ի N71-Ն որոշում, որով հաստատվել է ՀՀ կենդանիների Կարմիր գիրքը,

- ՀՀ կառավարության 29.01.2010թ.-ի N72-Ն որոշում, որով հաստատվել է ՀՀ բույսերի Կարմիր գիրքը,
 - ՀՀ կառավարության 14.08.2008թ.-ի N967-Ն որոշում, որով հաստատվել է ՀՀ բնության հուշարձանների ցանկը:
 - ՀՀ կառավարության 15.06.2017թ.-ի N676-Ն որոշում, որով հաստատվել են ընդերքօգտագործման թափոնների կառավարման և վերամշակման պլանների օրինակելի ձևերը:
- ՀՀ կառավարության 18.08.2021թ.-ի N1352-Ն որոշում, որով կարգավորվում են Հայաստանի Հանրապետության ընդերքի մասին օրենսգրքի 69-րդ հոդվածով սահմանված շրջակա միջավայրի պահպանության դրամագլխին Հայաստանի Հանրապետության օրենքով սահմանված ընդերքօգտագործողների կողմից Հայաստանի Հանրապետության ընդերքի մասին օրենսգրքի 3-րդ հոդվածով սահմանված ռեկուլտիվացիոն աշխատանքների՝ նախահաշվային արժեքների հաշվարկման և վերահաշվարկման կարգի հետ կապված իրավահարաբերությունները:
- ՀՀ կառավարության 08.09.2011թ.-ի №1396-Ն որոշում, որով սահմանվում են Հայաստանի Հանրապետության տարածքում հողի բերրի շերտի նպատակային և արդյունավետ օգտագործման հետ կապված հարաբերությունները;
- ՀՀ կառավարության 21.10.2021թ.-ի N1733-Ն որոշում, որով կարգավորվում են Հայաստանի Հանրապետության ընդերքի մասին օրենսգրքի 69-րդ հոդվածով սահմանված՝ շրջակա միջավայրի պահպանության դրամագլխի օգտագործման և հատկացումների չափերի հաշվարկման հետ կապված հարաբերությունները:
- ՀՀ առողջապահության նախարարի 06.03.2002թ.-ի N138 հրաման, որով հաստատվում են աշխատատեղերում, բնակելի և հասարակական շենքերում աղմուկի սանիտարական նորմերը:
- ՀՀ կառավարության 20.01.2005թ.-ի N64-Ն որոշում, որով հաստատվել են ջրակեղևահանակարգերի սանիտարական պահպանման, հոսքի ձևավորման, ստորերկրյա ջրերի պահպանման, ջրապահպան, էկոտոնի և անօտարելի գոտիների տարածքների սահմանման չափորոշիչները:

– ՀՀ կառավարության 11.11.2021թ.-ի N 1848-Ն որոշում, որով հաստատել ընդերքօգտագործման հետևանքով խախտված հողերի, ընդերքօգտագործման թափոնների փակված օբյեկտների ռեկուլտիվացիոն աշխատանքների իրականացման, այդ թվում՝ կենսաբանական վերականգնման ուղեցույցը:

– ՀՀ կառավարության 27.05.2015թ.-ի N764-Ն որոշումը, որով հաստատվել է շրջակա միջավայրի վրա հնարավոր տնտեսական վնասի գնահատման և հատուցման կարգը:

– ՀՀ կառավարության 17.07.2017թ.-ի N 990-Ն որոշում, որով հաստատվել է ֆինանսական երաշխիքի բովանդակությունը և դրան ներկայացվող չափորոշիչները, դրանց ներկայացվող որակական չափանիշների գնահատման, ինչպես նաև ֆինանսական երաշխիքի հաշվարկման կարգը:

– Շրջակա միջավայրի նախարարի 25.10.2022թ.-ի N°369-Ն հրաման, որով հաստատվել են շրջակա միջավայրի վրա ազդեցության գնահատման ուղեցույցերը:

– ՀՀ կառավարության 27.05.2015թ.-ի N764-Ն որոշումը, որով հաստատվել է շրջակա միջավայրի վրա հնարավոր տնտեսական վնասի գնահատման և հատուցման կարգը:

– ՀՀ կառավարության 25.09.2014թ.-ի N 1059-Ս որոշում, որով հաստատվել են ՀՀ բնության հատուկ պահպանվող տարածքների ռազմավարությունը, պահպանության և օգտագործման բնագավառում պետական ծրագիրը (համաձայն N 1 հավելվածի) և Հայաստանի բնության հատուկ պահպանվող տարածքների պահպանության և օգտագործման բնագավառի 2014-2020 թվականների պետական ծրագրի միջոցառումները՝ (համաձայն N 2 հավելվածի):

– ՀՀ կառավարության 15.06.2017թ.-ի N 675-Ն որոշում, որով սահմանվել է ընդերքօգտագործման թափոնների կառավարման և ընդերքօգտագործման թափոնների վերամշակման պլանների բովանդակությունը, ինչպես նաև ընդերքօգտագործման թափոնների կառավարման և ընդերքօգտագործման թափոնների վերամշակման միջոցառումները:

2. ԸՆԴՀԱՆՈՒՐ ՏԵՂԵԿՈՒԹՅՈՒՆՆԵՐ

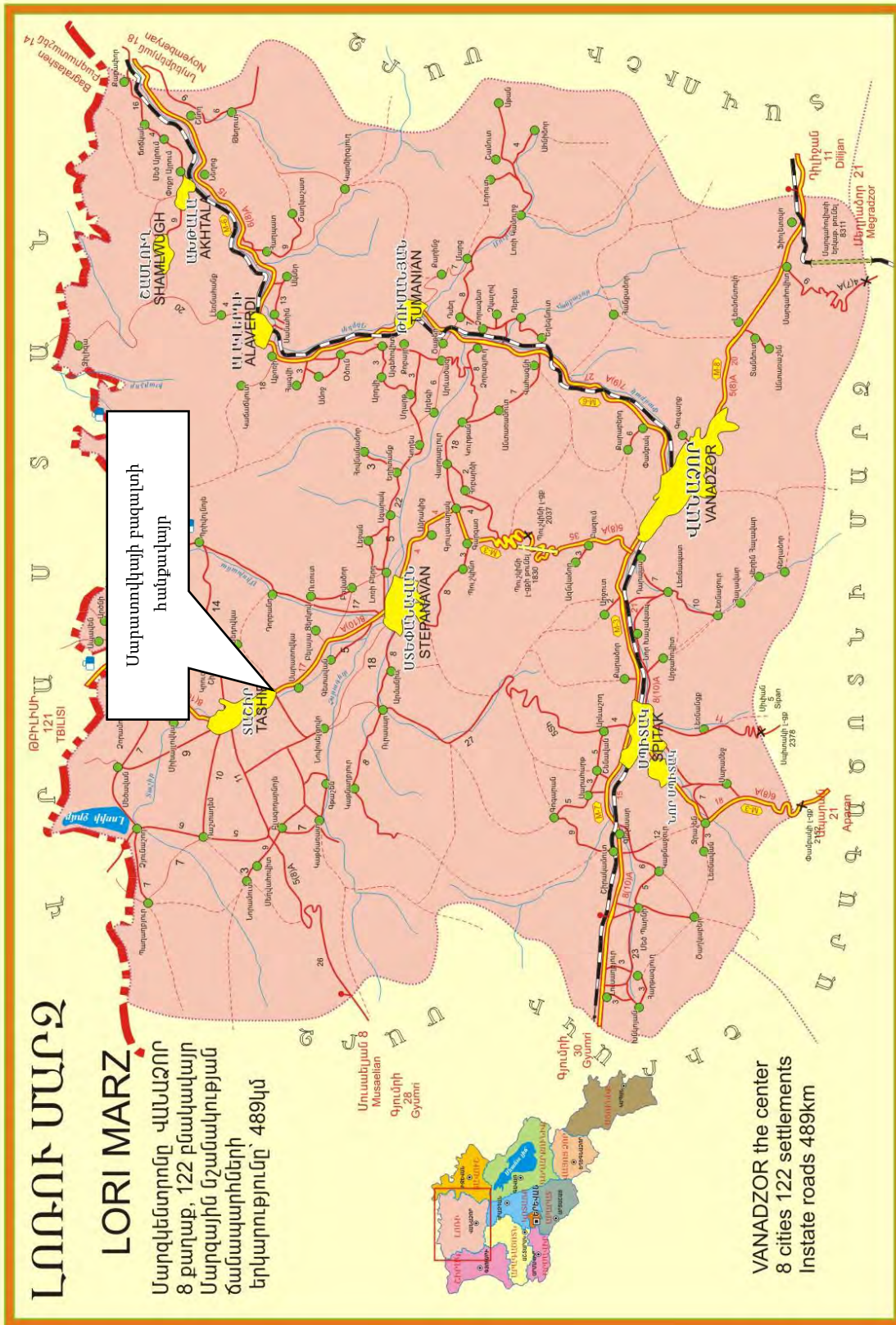
2.1. Նախաձեռնողի անունը (անվանումը) և բնակության (գտնվելու) վայրը

Սարատովկայի բազալտի հանքավայրի Հարավ-արևելյան տեղամասում արդյունահանման աշխատանքների նախաձեռնողը «Կամենկա Սթոուն» ՍՊ ընկերությունն է: ՀՀ իրավաբանական անձանց պետական ռեգիստրում ընկերության գրանցման համարն է 69.110.1035905, գրանցման ամսաթիվը՝ 2018-09-07: Ընկերության գտնվելու վայրն է՝ Հայաստան, ԼՈՒԻ, ՏԱՇԻՐ, Վան թղմ., 3-րդ փող., Տ 24, 2101: Գործունեությունն իրականացվելու է ՀՀ Լոռու մարզի Տաշիր քաղաքի կենտրոնից մոտ 2.2կմ հյուսիս (նկարներ 1-3): Բազալտի արդյունահանման նպատակով հայցվող ընդերքի տեղամասի կոորդինատները ARM WGS – 84 (ARMREF 02) համակարգով՝

- | | |
|-------------------------------|-------------------------------|
| 1. 4550453.2575, 8441835.2715 | 6. 4550882.4903, 8441771.7893 |
| 2. 4550650.4515, 8441855.5111 | 7. 4550955.3040, 8441725.5582 |
| 3. 4550662.6494, 8441741.2477 | 8. 4551010.0000, 8441826.0000 |
| 4. 4550646.9163, 8441701.5894 | 9. 4550657.6652, 8442020.8667 |
| 5. 4550797.0000, 8441628.0000 | |

Հայցվող տարածքի կենտրոնի աշխարհագրական կոորդինատներն են՝ $41^{\circ} 5'22.07''$ հս.լայն., $44^{\circ}18'25.91''$ արլ. երկայն.:

Տարածաշրջանի խոշոր քաղաքաշինական միավորը Տաշիր քաղաքն է, որը տեղակայված է Ձորագետի ձախափնյա վտակ Տաշիրի հովտում, Երևան-Ապարան-Սպիտակ-Ստեփանավան-Տաշիր-Վրաստանի սահման միջպետական ճանապարհի վրա: ՀՀ Ազգային ժողովի կողմից 2015 թվականի նոյեմբերի 24-ին ընդունված «ՀՀ վարչատարածքային բաժանման մասին ՀՀ օրենքում լրացումներ և փոփոխություններ կատարելու մասին» ՀՀ օրենքի համաձայն՝ Տաշիր, Լեռնահովիտ, Մեղվահովիտ, Դաշտաղեմ, Կաթնառատ, Բլազադառնոյե, Մեղովկա, Սարատովկա համայնքների միավորման արդյունքում ձևավորվել է Տաշիր բազմաբնակավայր համայնքը: Հեռավորությունը Սարատովկայի բազալտի հանքավայրից հայցվող տարածքից մինչև Տաշիր քաղաքի բնակելի շինությունները կազմում է 690մ, Մ-3 ճանապարհի վրա գործող հասարակական նշանակության համալիրը՝ սննդի օբյեկտ, հյուրանոց, կայանատեղին՝ 565մ:



Նկար 1.

ԻՐԱՂՐԱՅԻՆ ՄԽԵՄԱՏԻԿ ՀԱՏԱԿԱԳԻԾ



Նկար 2.



Նկար 3.

Հայցվող տարածքից մոտ 120մ արևելք անցնում է Թուրքիայի սահման - Մարգարա-Վանաձոր-Տաշիր-Վրաստանի սահման Մ-3 միջպետական նշանակության ավտոճանապարհ, մոտ 830մ հեռավորության վրա է գտնվում Լոռվա ջրանցքը:

Սարատովկայի բազալտի հանքավայրը շահագործվում է «Հայքար» ԱԿ կողմից երկու բացահանքերով (ՇԱԹ-29/615, 01.01.2020թ.), հանքավայրի հարավ-արևելյան տեղամասը՝ «Հուշ» ՍՊԸ կողմից (ՇԱԹՎ-29/337, 22.11.2012թ.):

2.2. Նախատեսվող գործունեության անվանումը և նպատակը

Նախատեսվող գործունեության անվանումն է՝ Սարատովկայի բազալտի հանքավայրի Հարավ-արևելյան տեղամասում արդյունահանման աշխատանքներ (ոչ մետաղական օգտակար հանածոների արդյունահանում կամ հանքանյութի վերամշակում՝ օրական 30 խմ և ավելի):

Հանքավայրի բազալտների որակը համապատասխանում է ԳՈՍՏ 9479-69 և ՀՍՏ 100-62 պահանջներին, դրանց արդյունահանվելու են որպես շինարարական բլոկների, խճի և ավազի հումք: Բլոկների ելքը կազմում է 20%:

2.3. Հանքավայրի երկրաբանական կառուցվածքը

Սարատովկայի բազալտները վերին պլիոցենի հասակի են: Երկրաբանական զարգացման պատմության այս շրջանը Հայաստանում հայտնի է հրաբխային հզոր գործունեությամբ:

Հանքավայրի երկրաբանական կառուցվածքում մասնակցում են հրաբխային ապարներ՝ էոցենի, պլիոցենի և չորրորդական հասակի:

Հանքավայրի երկրաբանական կառուցվածքը հետևյալն է (ներքև վերև):

1. Միջին էոցենի հասակի տուֆոգեն զանգված,
2. Պլիոցեն հասակի բազալտներ,
3. Ժամանակակից նստվածքներ:

Միջին էոցենի հասակի տուֆոգեն զանգված. Սարատովկայի բազալտի հանքավայրի տարածքում միջին էոցենի հասակի տուֆոգեն զանգված հայտնաբերված չէ: Այն նույնիսկ հետախուզական աշխատանքների ժամանակ չեն երևացել: Նրա ելքերը լայնակի տեսքով են, տարածքում կարելի է նկատել հյուսիս-

արևմտյան հատվածում՝ Կալինինո, Մեդովկա, Սարչապետ գյուղերի մոտակայքում: Տուֆոգեն զանգվածները ծածկված են պլիոցենյան հասակի բազալտներով:

Տուֆոգեն զանգվածի ընդհանուր հաստությունը տատանվում է 350-400 մ սահմաններում:

Պլիոցենի բազալտներ. Բազալտները հանդիսանում են հանքավայրի օգտակար հաստաշերտերը և հանդիսանում են Ձորագետ և Դեբեդ գետերի կիրճերի լավաների միայն մի փոքր մասը և ձգվում են Կեչուտի լեռներից մինչև Սադախլո կայարան 85 կմ երկարությամբ:

Ձորագետ և Դեբեդ գետերի կիրճերի լավաները ներկայացված են մի քանի հոսքերով: Այդ հոսքերի հաստությունը տարբեր է: Հոսքերի միջև առկա են ընդհատումներ՝ պայմանավորված հրաբխային ժայթքման տարբեր փուլերի հետ:

Բազալտների տարիքը վերագրել են չորրորդական հասակի ապարներին և հաստատում են, որ Ձորագետ և Դեբեդ գետերի բազալտները իրենց ստատիգրաֆիկ և պետրոգրաֆիկ նկատառումներով համարժեք են Արագած լեռան շրջանի Ախուրյան գետի վերին հոսանքի դուրբիտային բազալտներին, որոնց տարիքը հիմնված է երկրաբանական, գեոմորֆոլոգիական և հնագիտական ուսումնասիրությունների վրա:

ՀՍՍՀ արդյունաբերական շինանյութերի նախարարության կողմից հետախուզվել է լավաների միայն չնչին մասը՝ Սարատովկա գյուղից հյուսիս 25մ խորությամբ և մոտ 0.7մ² մակերեսի վրա:

Ապարների հանքային բաղադրության մեջ մասնակցում են պլագիոկլազը, որոնք կազմում են մոտ 60% և ձևավորում են 0.2-0.25 մմ չափսերի պրիզմատիկ հատիկներ, ավգիտը դիտվում է փոքր (0.15-0.2 մմ) երբեմն անթափանց հատիկներով:

Բազալտների վերջին հոսքը, որը հանդիսանում է հանքավայրի օգտակար հաստաշերտը, բավականաչափ ուսումնասիրված է ամբողջ հաստությամբ: Պաշարների հաշվարկների շրջանակներում դրանք ուսումնասիրվել են 1-14 և 23-26մ երկարությամբ հորերով, ինչպես նաև հետախուզահորերով, մերկացումներով և բացահանքերով:

Բազալտները խիտ են, մանրահատիկ, մուգ մոխրագույն և մոխրագույն երանգների զանգվածներով: Մակերեսի վրա ինտենսիվ քայքայված են: Քայքայումները հիմնականում արտահայտված են ճաքերով: Մակերեսային ճաքերը հանդիպում են ավելի հաճախ քան խորքային ճաքերը և 0.3-2.0մ-ից դրանք (հազվադեպ մինչև 3մ) անհետանում են:

Կավերի հետ շփման արդյունքում բազալտները մինչև 0.3մ ինտենսիվ ծակոտկեն, խիտ, ապակենման են: Ապարների կառուցվածքը հիմնականում դոլերիտային է, հազվադեպ՝ պորֆիրային:

Ապարների հանքային բաղադրությանը մասնակցում են պլագիոկլազներ, պիրոքսեններ, օլիվիններ և հանքաքարեր:

Պլագիոկլազը հիմնականում նկատվում է երկարաձիգ-պրիզմատիկ ձևով:

Պլագիոկլազի հատիկները ունեն քառասյին դասավորվածություն, դրանց չափերը 0.4-ից 1.5մմ են:

Պիրոքսենը ներկայացված է թեթևակի կանաչ երանգով: Երբեմն հանդիպում են մանրահատիկ, երբեմն էլ խոշորահատիկ պրիզմաներով:

Օլիվինը դիտվում է իրեն բնորոշ ձևով: Երբեմն լինում են նաև անկանոն հատիկներով: Օլիվինը մոտ 35-40%-ն է:

Բազալտները ունեն հոսքային ձև և մեղմ թեքությամբ (0-5° դեպի հարավ) փռված են կավերի վրա (ավազոտ:) Կավերը գտնվում են նախավերջին և վերջին հոսքերի արանքում: Դրանց հզորությունը 2.5-ից մինչև 6.0մ է:

Հետազոտված տարածքում արդյունաբերական բազալտներին հզորությունը միջինը 7.08մ (3.5-ից մինչև 9.8 մ) է, իսկ բազալտների հզորությունը հասնում է 11-12մ-ի:

3. Ժամանակակից նստվածքներ. Հանքավայրի տարածքում թույլ են զարգացած ժամանակակից նստվածքները: Սրանք ներկայացված են վերևից հողաբուսական շերտով մինչև 0.3մ խորությամբ, այնուհետև էյուվիալ-դեյուվիալ նստվածքներով, որոնք ներկայացված են կոտրտված բեկորներով և բազալտների, պորֆիրիտների, տուֆերի փոքր-ինչ ցեմենտացված զանգվածով:

Ջիլա գետի երկայնքով կան այլուվիալ, այլուվիալ-դեյուվիալ նստվածքներ, լավ ներկայացված տարբեր ապարների կլորացված բեկորներով, թեթևակի ցեմենտացված կավավազայնի զանգվածով:

Էյուվիալ-դեյուվիալ նստվածքների հզորությունը հասնում է 3մ-ի, իսկ այլուվիալ դեյուվիալինը՝ 8մ-ի, երբեմն էլ մինչև 24մ-ի:

Ժամանակակից նստվածքները, որոնց հզորությունը հասնում է մինչև 1.5մ-ի երկրաբանական քարտեզում պայմանականորեն հանված են:

Հանքավայրի ապարների ճաքերը երկու տիպի են՝ մակերևութային ճաքեր և անջատման ճաքեր:

Մակերևութային ճաքերը առաջացել են բազարտների մակերեսային փոփոխությունների հետևանքով: Սրանց ուղղվածությունը տարաբնույթ է: Այս ճաքերը ունեն ոչ մեծ հզորություններ (մինչև 10սմ) և խորության վրա անհետանում են, ճաքերը լցված են այլուվիալ առաջացումներով:

Անջատման ճաքերը առաջացել են սկզբնական շիկացած մասսայի սառեցման արդյունքում: Այս ճաքերի երկարությունը տատանվում են խորությամբ՝ 0.2-ից 2.0 մ և ավելին սահմաններում: Սրանք ևս խորությամբ հիմնականում անհետանում են:

Հարավ-արևելյան ճաքերը նշմարվում են 2-3 մ-ից, հազվադեպ՝ 9,7 մ: Սրանց հզորությունը փոքր է՝ մինչև 5 սմ: Ճաքերը լցված են տարբեր նստվածքներով:

Երկու տիպի ճաքերի համադրությունը տալիս է բազալտային բեկորներին անկանոն ձև՝ հաճախ ռոմբաձև տեսք, երբեմն էլ ուղղանկյուն: Բացի վերը նշվածից, կան նաև առանձին ճաքեր, որոնք 70-88° անյունով անկում են հանքավայրի հյուսիս-արևելյան մասում, ինչպես նաև հանքավայրի հյուսիս-արևմուտք՝ 75-90° անկյուններով:

Հանքավայրի բազալտների քիմիական անալիզների արդյունքների վերին և ստորին սահմանները, ինչպես նաև դրանց միջին քիմիական բաղադրությունը ներկայացվում են աղյուսակ 1-ում (%%), իսկ ֆիզիկամեխանիկական հատկությունները՝ աղյուսակ 2-ում:

Աղյուսակ 1.

Բազալտների քիմիական կազմը

| | SiO ₂ | Al ₂ O ₃ | Fe ₂ O ₃ | MgO | CaO | TiO ₂ | Na ₂ O | K ₂ O | ԿՇԺ | ՈՈՈ |
|---------------|------------------|--------------------------------|--------------------------------|------|------|------------------|-------------------|------------------|-----|------|
| Նվազագույնը | 49.60 | 16.39 | 9.50 | 5.94 | 8.14 | 0.37 | 3.0 | 0.95 | - | - |
| Առավելագույնը | 51.69 | 18.47 | 11.42 | 6.70 | 9.71 | 2.17 | 3.4 | 1.1 | - | 0.61 |
| Միջինը | 50.38 | 17.56 | 10.55 | 6.40 | 9.16 | 1.66 | 3.2 | 1.0 | - | 0-32 |

Աղյուսակ 2.

Բազալտների ֆիզիկամեխանիկական հատկությունները

| Հ/Հ | Ցուցանիշները | Չափման միավորը | Ցուցանիշների միջինը մեծությունը |
|-----|--------------------------------|--------------------|---------------------------------|
| 1. | Տեսակարար կշիռը | կգ/մ ³ | 2541 |
| 2. | Ծավալային զանգվածը | գ/սմ ³ | 2.91 |
| 3. | Ծակոտկենությունը | % | 12.68 |
| 4. | Ջրակլանելիությունը | % | 1.69 |
| 5. | Դիմադրության գործակիցը | | |
| | -չոր վիճակում | կգ/սմ ³ | 746 |
| | -ջրահագեցած վիճակում | կգ/սմ ³ | 533 |
| | 25 ցիկլ սառեցումից հետո | կգ/սմ ³ | 405 |
| 6. | Փափկեցման գործակիցը | - | 0.71 |
| 7. | Սառցադիմացկունության գործակիցը | - | 0.76 |
| 8. | Ամրության գործակիցը | - | 4.6 |
| 9. | Քայքայման դիմադրությունը | գ/սմ ³ | 2.70 |
| 10. | Մաշելիությունը | % | 10.8 |

ՀՀ Լոռու մարզի Սարատովկայի բազալտների հանքավայրի Հարավ-արևելյան տեղամասի պաշարների հաշվարկն իրականացվել է երկրաբանական բլոկների մեթոդով:

Հանքավայրի պաշարները հաստատվել են ԽՍՀՄ Մինիստրների Խորհրդն առընթեր ՊՊՀ-ի 1973 թվականի ապրիլի 20-ի № 6883 արձանագրությամբ 01.01.1973թ դրությամբ, հետևյալ կարգերով՝ B կարգի՝ 917 հազ.մ³, ըստ C₁ կարգի՝ 1963հազ.մ³: Բլոկների ելքը-20%:

Հանքավայրի բազալտների ֆիզիկամեխանիկական հատկությունները բավարարում են որպես հումք շինարարական քարի РТУ Армянской ССР 100-62 «Պատքարեր լեռնային ապարներից» արտադրության համար:

Բազալտից ստացված խիճը կարելի է օգտագործել միայն մինչև 150-100 մարկայի բետոնի ստացման համար, որոնք չեն ենթարկվում ջրհագեցման և սառեցման:

2.4. Հանքավայրի մշակման եղանակի նկարագիրը

ՀՀ Լոռու մարզի Սարատովկայի բազալտների հանքավայրի Հարավ-արևելյան տեղամասի բացահանքի նախագիծը կատարված է «ԿԱՄԵՆԿԱ ՍԹՈՈՒՆ» ՍՊԸ-ի տեխնիկական առաջադրանքի հիման վրա: Ելնելով հանքավայրի տեղադիրքից, հանքամարմնի տեղադրման պարամետրերից և մակաբացման ապարների ոչ մեծ ծավալներից, տեղամասի մշակումը նախատեսվում է բաց լեռնային աշխատանքներով:

Հանքարդյունահանման աշխատանքները նախատեսվում է կատարել մեխանիկական եղանակով, նախնական փխրեցմամբ՝ HUNDAI ROVEX 210-LC-9 էքսկավատորի հենքի վրա տեղադրված հիդրավլիկ մուրճով:

Հանքավայրի մշակման համար ընտրվում է ընդլայնական, միակողմանի խորացմամբ մշակման համակարգ, մակաբացման ապարների ներքին ժամանակավոր լցակույտերի տեղափոխումով:

Բացահանքը վերջնական դիրքում ունի հետևյալ պարամետրերը՝

- Ամենամեծ երկարությունը – 435մ
- Ամենամեծ լայնությունը – 286մ
- Օգտակար հանածոյի ամենամեծ հզորությունը – 9.7մ
- Մակաբացման ապարների միջին հզորությունը – 1.52մ:
- Օգտակար հանածոյի հաշվեկշռային պաշարների քանակը՝ - 694840մ³
- Արդյունահանվող պաշարների քանակը՝ – 646.4հազ.մ³
- Մակաբացման ապարների քանակը – 147.9հազ.մ³
- Բացահանքի օտարման մակերեսը – մոտ 9.34հա:

Շահագործման ընթացքում օգտակար հանածոյի անխուսափելի կորուստները, որոնք բնամասերի տեսքով մնում են բացահանքի կողերում և հատակում կազմում են 48540մ³ կամ 6.99%:

Բացահանքի աշխատանքային ռեժիմն ընտրվել է ելնելով տեխնիկական առաջադրանքից և կլիմայական պայմաններից: Բացահանքի աշխատանքային ռեժիմն ընդունվում է՝

- աշխատանքային օրերի թիվը տարվա ընթացքում՝ 260 օր
- շաբաթվա աշխատանքային օրերի թիվը՝ 5 օր
- հերթափոխերի թիվը մեկ օրում՝ 1 հերթ.
- հերթափոխի տևողությունը՝ 8 ժամ:

Հանքավայրի բացումը կատարվում է նրա հյուսիսային մասի՝ 1498.2մ բարձրության նիշից:

Նախատեսված է ավտոճանապարհի անցում բացահանքի արևելյան կողմից անցնող ավտոճանապարհի գոյություն ունեցող կամուրջից մինչև բացահանքի 1498.2մ բարձրության հորիզոն, որն ունի 123մ երկարություն 8մ լայնություն: Հաջորդ 1494.7մ հորիզոնը կմշակվեն այդ մուտքային ավտոճանապարհից կտրտվելով: 1491.2մ հորիզոնը կմշակվի 1494.7մ բարձրության հորիզոնից թեք կտրող կիսախրամով, որի թեքությունն է 100.0%:

Հանքավայրը կշահագործվի հետևյալ հերթականությամբ՝ սկզբում կշահագործվի բացահանքի հյուսիսային մասը մինչև բացահանքի հատակը, որի ժամանակ մակաբացման ապարները կտեղափոխվեն բացահանքի հարավային հատվածը կստեղծվի N1 հողաբուսական շերտի և N2 էյուվիալ-դեյուվիալ նստվածքներով ու ջարդոտված հողմնահարված բազալտներով ժամանակավոր լցակույտեր: Հյուսիսային մասը մինչև բացահանքի հատակը շահագործելուց հետո կիրականացվի բացահանքի հարավային մասի շահագործումը, որի ժամանակ հարավային հատվածը ծածկող և լցակույտերում եղած մակաբացման ապարները կտեղափոխվեն բացված հանքաստիճանների վրա, կլցվեն 1.6մ բարձրությամբ և կհարթեցվեն:

Բացահանքի հյուսիսային հատվածը արդյունահանելիս նախատեսվում է ներքին կիսախրամներով ելք դեպի բացահանքի հարավային հատվածը՝ N1 և N2 լցակույտ, որի ամենամեծ երկարությունն է 160.0մ:

Հանքավայրի մշակման համար ընտրված է ընդլայնական, խորացող, մեկ կողանի մշակման համակարգ, որի տարրերն են՝

Հանքաստիճանի բարձրությունը – 3.5 մ;

Անվտանգության բերմայի լայնությունը – 1.2 մ;

Աշխատանքային հանքաստիճանի թեքման անկյունը – 90°;

Աշխատանքային հրապարակի ամենափոքր լայնությունը 18-20 մ:

Լեռնակապիտալ աշխատանքներն են՝

ա. Հանքավայրի բացումը կատարվում է նրա հյուսիսային մասի՝ 1498.2մ բարձրության նիշից:

բ. Նախատեսված է ավտոճանապարհի կառուցում հանքավայրի արևելքից անցնող ավտոճանապարհի կամրջի հատվածից մինչև բացահանքի 1498.2մ բարձրության հորիզոն: Ավտոճանապարհի երկարությունն է՝ 123մ:

Հողային աշխատանքների ծավալն է՝ 150մ³:

գ. Բացված պաշարներով ապահովման համար 1498.2մ բարձրության հանքաստիճաններում մակաբացման ապարների հեռացում՝ 1200մ³ ծավալով,

դ. Բացահանքի շահագործման շինարարական շրջանում բացահանքում 1498.2մ բարձրության հորիզոնում 650մ³ ծավալով պաշարների արդյունահանում (ուղեկցվող հանույթ):

ե. Արդյունաբերական հրապարակի կառուցում -220մ² (40մ³):

Ավտոճանապարհների անցումը՝ մակաբացման ապարների հավաքումը և կուտակումը կատարվում է բուլդոզերի օգնությամբ:

NEW HOLLAND B110B մակնիշի բազմաֆունկցիոնալ սարքավորմամբ կատարվում է մակաբացման ապարների հավաքումը և տեղափոխումը (5-10մ հեռավորությամբ) բացահանքի հանքաստիճաններում, ինչպես նաև լցակույտերի ձևավորումը:

Մակաբացման ապարները նախագծված բացահանքի եզրագծի մեջ ներկայացված են հողաբուսական շերտով՝ 0.3մ հզորությամբ՝ 29200մ³, էլյուվիալ-դելյուվիալ նստվածքներով, որոնք ներկայացված են կոտրտված բազալտների, պորֆիրիտների, տուֆերի բեկորներ պարունակող ավազակավերով, 0.11մ հզորությամբ՝ 10700մ³, ինչպես նաև ջարդոտված հողմնահարված բազալտներով՝

1.11մ հզորությամբ 108000մ³ ծավալով: Միասին մակաբացման ապարները կկազմեն 147900մ³, միջին հզորությունը 1.52մ է:

Մակաբացման ապարները շահագործման սկզբում ավտոինքնաթափով կտեղափոխվեն բացահանքի սահմաններում, նրա հարավային մասը ժամանակավոր լցակույտ հետագայում՝ արդյունահանման ընթացքում բացահանքի բացված հատակի վրա ներքին լցակույտ ձևավորելու համար:

Բազալտների ֆիզիկամեխանիկական հատկությունները կանխորոշում է նրանց նախնական փխրեցումը հանույթաբարձման աշխատանքներից առաջ:

Ապարների նախնական փխրեցումը նախատեսվում է կատարել մեխանիկական եղանակով՝ HUNDAI ROVEX 210-LC-9 էքսկավատորի հենքի վրա տեղադրված հիդրավլիկ մուրճով:

Հիդրավլիկ մուրճով էքսկավատորի հերթափոխային միջին արտադրողականությունը ըստ տեղեկատու տվյալների կազմում է 160մ³/հերթ կամ 41.6հազ.մ³/տարի:

Հիդրավլիկ մուրճի անհրաժեշտ քանակը կլինի.

$$32315$$

$$N_h = \frac{32315}{41600} = 0.8 \text{ ընդունվում է } 1 \text{ հատ}$$

$$41600$$

որտեղ 32315մ³ – տարեկան արդյունահանվող բազալտների քանակն է:

Ընդունվում է 1 հատ էքսկավատոր կահավորված հիդրավլիկ մուրճով:

Բլոկների բարձումը ավտոինքնաթափի մեջ, ինչպես նաև նրանց բեռնաթափումը մշակման արտադրամասում կատարվում է 7.5տ բեռնաբարձությամբ DAEWOO NOVUS (крановый манипулятор) մակնիշի ամբարձիչի միջոցով: Ամբարձիչի հերթափոխային արտադրողականությունը ըստ ՆՏՆ-ի միջին հաշվով կազմում է՝ բլոկների բարձման ժամանակ 54.6մ³/հերթ:

$$N_{\text{ալ}} = \frac{24.86 \text{ մ}^3}{54.6} = 0.46 \text{ ընդունվում է } 1 \text{ հատ}$$

Արտադրական թափոնների և մակաբացման ապարների բարձու մը տրանսպորտային միջոցների մեջ նախատեսվում է կատարել 1.2մ³ շերտի տարողությամբ KOMATSU PC-210—10MO մակնիշի էքսկավատորի միջոցով:

Էքսկավատորի տարեկան արտադրողականությունը հանույթաբարձման աշխատանքների ժամանակ որոշվում է հետևյալ բանաձևով՝

$$Q_{տ} = Q_{հ} \times N_{տ} \times K_{տ} \times K_{ե} \text{ մ}^3;$$

Որտեղ՝ $Q_{հ}$ - էքսկավատորի հերթափոխային արտադրողականությունն է՝

$$Q_{հ} = \frac{T \times K_{\delta} \times V \times n_2 \times K_{հ}}{(t_{բ} + t_{տ})}, \text{ մ}^3/\text{հերթ}$$

Որտեղ՝ $T=8$ ժամ -հերթափոխի տևողությունն է;

$K_{\delta}=0.8$ –ժամանակի օգտագործման գործակիցն է հերթափոխի ընթացքում;

V - էքսկավատորի շերտի մեջ տեղավորվող ապարների ծավալն է

$$\text{զանգվածում, } V = 1.2 \text{մ}^3,$$

n_2 - շերտիների քանակն է մեկ ավտոինքնաթափի մեջ; $n_2 = 5$

$K_{հ}$ - արտադրողականությունը իջեցնող գործակից է, որը հաշվի է առնում

հանքախորշի թրջումը հերթափոխի ընթացքում $K_{հ}=0.9$;

$t_{բ}$ - ավտոինքնաթափի բարձման տևողությունն է; $t_{բ} = 7.5$ րոպե,

$t_{տ}$ - ավտոինքնաթափը բարձման տակ տեղադրելու տևողությունն է

$$t_{տ}=0.7 \text{ րոպե,}$$

$N_{տ}$ - աշխատանքային օրերի քանակը

$K_{տ}$ – գործակից է, որը հաշվի է առնում էքսկավատորի անհրաժեշտ պլանաարտադրական վերանորոգումները, $K_{տ} = 0.85$;

$K_{ե}$ – գործակից է, որը հաշվի է առնում տարվա ընթացքում հանքավայրի շրջանում անբարենպաստ եղանակի պայմանները $K_{ե} = 0.9$

$$Q_{հ} = \frac{8 \times 60 \times 0.8 \times 1.2 \times 5 \times 0.9}{(7.5 + 0.7)} = 252.9 \text{մ}^3$$

$$Q_{տ} = 252.9 \times 260 \times 0.85 \times 0.9 = 50302 \text{մ}^3:$$

Բացահանքի հանույթաբարձման աշխատանքներն անխափան կատարելու համար նախատեսվում է հակառակ բահով սարքավորված 1 հատ, KOMATSU PC-

210—10MO մակնիշի էքսկավատոր, լիովին բավարար է քարհանքի արտադրական թափոնների՝ (99.43մ³/հերթ), մակաբացման ապարների՝ 28.44մ³/հերթ բարձրման աշխատանքների համար:

Բլոկների կոպիտ մշակումը նրանց 9479-69-ին համապատասխան ձև տալու (շտկամշակելու) համար նախատեսվում է կատարել մեխանիկական եղանակով OM-7 մակնիշի հարվածապոկիչ մուրճերի միջոցով: 1մ³ բլոկի համար միջին հաշվով պահանջվում է 3մ² մակերես:

Բանվորների անհրաժեշտ քանակը բլոկների շտկամշակման համար կլինի՝

$$n_2 = \frac{24.86 \text{մ}^3 \times 3}{10.7} = 6.97 = 7 \text{մարդ}$$

որտեղ, 24.86մ³-ը քարհանքի հերթափոխային արտադրողականությունն է ըստ բլոկների շահագործման:

10.7- 1 բանվորի հերթափոխային արտադրողականությունն է ըստ մշակման մակերեսի:

Քարհանքում սեղմած օդի սպառիչներն են OM-7 հարվածապոկիչ մուրճերը: Սեղմած օդի անհրաժեշտ քանակը որոշվում է հետևյալ բանաձևով.

$$Q = K_1 N_1 n_1$$

որտեղ. K_1 - հարվածապոկիչ մուրճերի աշխատանքի մեջ գտնվելու միաժամանակության գործակիցն է- 0.7:

N_1 - աշխատանքի մեջ գտնվող հարվածապոկիչ մուրճերի քանակներն են-7:

$n_1 n_2$ - սեղմած օդի ծախսն է հարվածապոկիչ մուրճի կողմից միավոր ժամանակի ընթացքում համապատասխանաբար - 1.5 մ³/րոպե :

$$Q = 0.7 \times 7 \times 1.5 = 7.35 \text{մ}^3 / \text{րոպե}$$

Կոմպրեսորային կայանի հաշվարկային արտադրողականությունը որոշվում է հետևյալ բանաձևով՝

$$Q_{կ} = Q \times K_{կ} \times K_{հ}$$

որտեղ $K_{կ}$ -ն սեղմած օդի կորուստների գործակիցն է խողովակաշարում $K_{կ} = 1.1$:

K_h - սեղմած օդի կորուստների գործակիցն է կախված տեղանքի բարձրությունից $K_h = 1.14$

$$Q_{\text{կ}} = 7.35 \times 1.1 \times 1.14 = 9.22 \text{մ}^3/\text{րոպե}:$$

Քարհանքի սեղմած օդի սպառիչներին սեղմած օդով ապահովելու համար նախատեսվում է PIP-10 10մ³/րոպե արտադրողականությամբ 1 հատ (ես մեկը 1-ը ցուցակում) շարժական կոմպրեսորային կայանք:

Բուլդոզերային աշխատանքները բացահանքի շահագործման ժամանակ կայանում է մակաբացման ապարների և արտադրական թափոնների տեղափոխումը և կուտակումը բացահանքում ու լցակույտում: Դրանց տարեկան ծավալը կազմում են 7395մ³ և 25852մ³ :

Հերթափոխային արտադրողականությունը ըստ ՆՏՆ-ի կազմում է արտադրական թափոնների տեղափոխման և կուտակման ժամանակ-1000 մ³/հերթ, իսկ լցակույտի ձևավորման ժամանակ 600մ³:

Բազմաֆունկցիոնալ սարքավորման անհրաժեշտ քանակը նրա տարեկան 225 աշխատանքային հերթափոխի դեպքում կլինի.

$$N_p = \frac{7395}{225 \times 1000} + \frac{7395}{225 \times 600} + \frac{25852}{225 \times 1000} + \frac{25852}{225 \times 600} = 0.4$$

Անհրաժեշտ բազմաֆունկցիոնալ որպես բուլդոզեր- էքսկավատորի քանակը բլոկները դեպի արտադրական հրապարակ քարշելու համար`

$$24.86 \text{մ}^3: 90 = 0.3$$

90մ³-ը բուլդոզերի հերթափոխային արտադրողականությունն է ըստ ՆՏՆ-ի:

24.86մ³-ը շահագործման տարիներին բացահանքի օրեկան արտադրողականությունն է ըստ բլոկների:

Ընդունում ենք 1 բազմաֆունկցիոնալ որպես բուլդոզեր- էքսկավատոր բլոկները դեպի արտադրական հրապարակ քարշելու համար, ինչպես նաև կայանում է մակաբացման ապարների հեռացման, արտադրական թափոնների կուտակման, և ավտոճանապարհի բարեկարգման համար:

Բլոկները կտեղափոխվեն սպառողի ավտոմեքենայով: Մակաբացման ապարների և օգտակար հանածոյի տեղափոխումը (խճի և ավազի հումք) մինչև 0.5կմ

միջին հեռավորության վրա գտնվող համապատասխանաբար՝ ներքին լցակույտ և արդյունաբերական հրապարակ, կատարվում է 10.0տ բեռնատարողությամբ KAMA3-5511 մակնիշի ավտոինքնաթափերի միջոցով:

Ավտոինքնաթափի հերթափոխային արտադրողականությունը որոշվում է՝

$$Q_{\text{ս}} = \frac{V \times K_1 \times T_h \times K_i}{T_{\text{է}}} = \frac{6.0 \times 0.85 \times 480 \times 0.9}{13.3} = 165.7 \text{ մ}^3 / \text{հերթ}$$

որտեղ՝ V - ինքնաթափի թափքի տարողությունը՝ 6.6 մ³

K₁ - ինքնաթափի լցման գործակիցն է ըստ լեռնային զանգվածի, K₁ = 0.9

T_h - հերթափոխի տևողությունը, 480 րոպե

K_i - 1 հերթափոխի ընթացքում աշխատաժամանակի օգտագործման գործակիցն է- 0.85:

T_է - 1 ուղերթի տևողությունը՝ րոպե

Բեռները տեղափոխելիս՝

$$T_{\text{է}} = \frac{2 L 60}{V_{\text{է}}} + t_p + t_p + t_p = \frac{2 \times 0.5 \times 60}{14} + 5 + 1 + 3 = 13.3 \text{ րոպե}$$

Որտեղ՝ L - տեղափոխման հեռավորությունն է;

V_է - միջին երթային արագությունն է;

T_p - ինքնաթափի բարձման տևողությունն է;

T_դ - ինքնաթափի բեռնաթափման տևողությունն է;

T_վ - մանյուվրաների տևողությունն է:

Բանվորական ինքնաթափերի քանակը հերթափոխի ընթացքում որոշվում է հետևյալ բանաձևով՝

Օգտակար հանածոյի տեղափոխում՝

$$N_{\text{բ1}} = \frac{Q_{\text{հ1}} \times K_{\text{ա}} \times K_{\text{փ}}}{Q_{\text{ս}}} = \frac{99.43 \times 1.1 \times 1.4}{165.7} = 0.94$$

Մակարացման ապարների տեղափոխում

$$N_{\text{բ2}} = \frac{Q_{\text{հ2}} \times K_{\text{ա}} \times K_{\text{փ}}}{Q_{\text{ս}}} = \frac{28.44 \times 1.1 \times 1.2}{165.7} = 0.23$$

Q_{h1} – բացահանքի ըստ արտադրական թափոնների հերթափոխային արտադրողականությունն է:

Q_{h2} - բացահանքի ըստ մակաբացման ապարների հերթափոխային ծավալն է:

K_w - բեռների տեղափոխման անհավասարաչափության գործակիցն է, $K_w = 1.1$:

1.4 և 1.2 մշակման հետևանքով փխրեցման գործակիցներ են

Ավտոինքնաթափերի ցուցակային քանակը կլինի՝

Մակաբացման ապարների տեղափոխման համար՝

$$N_{y2} = \frac{N_{p2}}{K_w} = \frac{1.17}{0.8} = 1.5, \text{ ընդունվում է } 2 \text{ ավտոինքնաթափ}$$

որտեղ K_w ավտոպարկի տեխնիկական պատրաստականությունն է $K_w = 0.8$

Տարում ավտոինքնաթափերի անհրաժեշտ քանակի հաշվարկի ցուցանիշները բերված են աղյուսակ 3-ում:

Աղյուսակ 3.

| N | Ցուցանիշների անվանումը | Չափ. միավորը | Բազալտ | Մակաբացման ապարներ |
|-----|--|----------------------|--------|--------------------|
| 1 | 2 | 3 | 4 | 5 |
| 1. | Տեղափոխման ծավալը հերթափոխում | մ ³ | 99.43 | 28.44 |
| 2. | Փխրեցման գործակիցը | | 1.4 | 1.2 |
| 3. | Տեղափոխման միջին հեռավորությունը | կմ | 0.5 | 0.5 |
| 4. | Շարժման միջին արագությունը | կմ/ժամ | 14 | 14 |
| 5. | Ավտոինքնաթափի բարձման տևողությունը | րոպե | 4.5 | 4.5 |
| 6. | Ավտոինքնաթափի բեռնաթափման տևողությունը | րոպե | 1 | 1 |
| 7. | Մանյովրների և սպասումների տևողությունը | րոպե | 1.5 | 1.5 |
| 9. | Մեկ երթի տևողությունը | րոպե | 13.3 | 13.3 |
| 1 | 2 | 3 | 4 | 5 |
| 10. | Մեկ ավտոինքնաթափի հնարավոր երթերի քանակը հերթափոխի ընթացքում | երթ | 15 | 5 |
| 11. | Մեկ ավտոինքնաթափի հերթափոխային արտադրողականությունը | մ ³ /հերթ | 165.7 | 165.7 |

Ելնելով նախագծում ընդունված մշակման եղանակից, ինչպես նաև լեռնաերկրաբանական պայմաններից ընտրված է ներքին բուլդոզերային լցակույտաառաջացում:

Հետևյալ ծավալներն են՝

| | | |
|--|--|--|
| Մակաբացման ապարներ՝ 147900մ ³ , | | |
| - Հողաբուսական շերտ՝ 29200 մ ³ /N1 լցակույտ/ -Ավազակավեր բազալտի կտորներով՝ 10700մ ³ /N2 լցակույտ/ -Հողմնահարված ջարդոտված բազալտներ՝ 108000մ ³ /N3 լցակույտ/ | 29200մ ³ x 1.1 10700մ ³ x 1.2 108000մ ³ x 1.4 | 32120մ ³ 12840մ ³ 151200մ ³ |

որտեղ 1.1; 1.2;1.4-ը - փխրեցման գործակիցներն են:

Բացահանքում մակաբացման ապարները 147900մ³ ընդհանուր քանակով ներկայացված են հողաբուսական շերտով, դեյուվիալ բերվածքներով՝ բազալտների տարաչափ բեկորներով խառը, և հողմնահարված ջարդոտված բազալտներով: Դրանց միջին հզորությունը 1.52մ է:

Մակաբացման ապարները շահագործման սկզբում ավտոինքնաթափով կտեղափոխվեն բացահանքի սահմաններում, նրա հարավային մասը ժամանակավոր լցակույտ, հետագայում՝ արդյունահանման ընթացքում բացահանքի բացված հատակի վրա ներքին լցակույտ ձևավորելու համար:

Լցակույտի միջին բարձրությունն է 7.2մ, որի շեփի թեքության $\alpha = 35^\circ$ -ի դեպքում՝ զբաղեցրած մակերեսները վերին մասում և հատակում համապատասխանաբար կազմում են՝ 10600մ² և 15050մ²: Նախագծով ընդունված սարքավորումները կարելի է օգտագործել լցակույտառաջացման ժամանակ:

Շահագործման 16-րդ տարվանից սկսած, բացահանքի հյուսիսային մասը մինչև հատակը մշակելով հետո հարավային մասում տեղափոխված մակաբացման ապարների լցակույտերը N1 և N2 աստիճանաբար կտեղափոխվեն հյուսիսային հատվածի 1494.7 և 1491.2մ բարձրությամբ մինչև հատակը արդյունահանված հանքաստիճանները կլցվեն 1.6մ բարձրությամբ և կհարթեցվեն: Սկզբում ներքին լցակույտեր կտեղափոխվի N2 լցակույտի ապարները, որի վրա կլցվի N1 հողաբուսական շերտը և կհարթեցվի: N3 լցակույտի ապարները հետագայում օգտագործվելու են խճի արտադրության համար:

Մինչև շահագործման ավարտը կկատարվի 128200մ³ ծավալի մակաբացման ապարների տեղափոխում և հարթեցում: Մնացած 19700մ³, որն արդեն տեղափոխվել է

1494.7մ բաձրությամբ արդյունահանված տարածի վրա, կտեղափոխվեն շահագործման ավարտից հետո:

Շահագործման ավարտից հետո իրականացվում է խախտված հողերի վերականգնում:

Բացահանքի մատակարարումը տեխնիկական ջրով կատարվում է օգտակար հանածոյի արդյունահանման աշխատանքների ժամանակ փոշեղադարեցման, աշխատանքային հրապարակների, ճանապարհների և լցակույտերի ջրման նպատակով: Ջուրը բերվում է ZIL KO-713-01 (ZIL-431410) մակնիշի ջրցան-վացող մեքենայով: Խմելու ջրի մատակարարումը կատարվում է IIIH-ՅԱԵ-1.4 ջրի ցիստեռնով:

Հանքավայրի հիդրոերկրաբանական պայմանների համաձայն, գետնաջրերը բացակայում են: Հետևաբար բացահանքում ջրհեռացնող կառուցվածքներ չեն նախատեսվում: Անմիջապես բացահանքի տարածքը թափվող անձրևային ջրերը հեռացվում են ինքնահոս կերպով և ներծծվում ճաքերի միջով:

Աշխատողներին խմելու և կենցաղային նպատակներով ջրածախսը հաշվարկվում է հետևյալ արտահայտությամբ՝

$$W = (n \times N + n_1 \times N_1) T$$

որտեղ՝ n - ԻՏ և գրասենյակային աշխատողների թիվն է - 3,

N - ԻՏԱ և գրասենյակային աշխատողների ջրածախսի նորման՝ - 0.016մ³,

n_1 - բանվորների թիվն է - 16,

N_1 - ջրածախսի նորման՝ - 0.025մ³/մարդ օր

T - աշխատանքային օրերի թիվն է - 260օր:

Այսպիսով՝ $W = (3 \times 0.016 + 16 \times 0.025) 260 = 116.48$ մ³/տարի, միջին օրեկան 0.398մ³: Կենցաղային կեղտաջրերը՝ $0.448 \times 0.85 = 0.38$ մ³ օրեկան լցվում են բետոնային լցարան, որտեղից պարբերաբար տեղափոխվում են սահմանված կարգով:

Համաձայն նորմատիվների ջրի ծախսը 1մ² տարածքում փոշին նստեցնելու համար կազմում է 0.5լիտր/մ²: Փոշենստեցման մակերեսները կազմում են բացահանքում աշխատանքային հրապարակը 1400մ², լցակույտերի վրա 2200մ², և ավտոճանապարհների վրա 1040մ², ընդամենը 5400մ²: Ընդունելով ջրի տեսակարար ծախսը 0.5լ/մ², կստանանք.

$$4640 \times 0.5 = 2320 \text{լիտր}$$

Նախատեսվում է 1 ջրող ավտոմեքենա 5տ ջրի տարողությամբ, որը այդ ջուրը ցնցուղում է 2 երթով, աշխատանքային հրապարակը և ավտոճանապարհները կարող է ջրել 2-3 անգամ:

Ջրցան մեքենան կաշխատի պայմանագրային հիմունքներով:

Լեռնային աշխատանքների զարգացումը բացահանքում նախատեսվում է կատարել բացահանքի մշակման ժամանակացուցային պլանին համապատասխան, որի համաձայն բացահանքի հանքաստիճանները մշակվում են 3.5մ բարձրությամբ հանքաստիճաններով, հաջորդաբար, վերնից-ներքև: Բացահանքի տարեկան արտադրողականությունն է ըստ արդյունահանման՝ 32315մ³:

Հանքի աշխատակիցների համար հարմարավետ կենցաղային պայմաններ կազմակերպելու նպատակով արտադրական հրապարակում տեղադրվելու է վագոն-տնակ, որը ծառայելու է որպես սննդի ընդունման և հանգստի սենյակ: Վագոն-տնակում տեղադրվելու են անհատական պահարաններ՝ հագուստը և անձնական իրերը պահելու համար: Արտադրական հրապարակում կառուցվելու են արտաքնոցային տիպի զուգարան (բետոնապատ անջրաթափանց հորով) և ծորակ, որի մոտ տեղադրվելու են հիգիենայի անհրաժեշտ պարագաներ (հեղուկ օճառ, թղթյա սրբիչներ): Ցնցուղարան չի նախատեսվում, քանի որ հանքի աշխատակիցները մոտակա բնակավայրերի բնակիչներ են (սա թույլ է տալիս կրճատել կենցաղային կեղտաջրերի ծավալը):

2.5 Այլընտրանքային լուծումներ

Մերձհորիզոնական մակերևութային տեղադրման հրաբխային ծագման շինանյութերի շահագործման այլընտրանքային լուծում ներկայացվել չի կարող, քանի որ նման հանքավայրերը արդյունահանվում են բացառապես բացահանքով՝ խորոցող մշակման համակարգով: Մշակման հանքաստիճանների բարձրությունը պայմանավորված է օգտակար հանածոյի՝ բազալտների ֆիզիկամեխանիկական հատկությունների ցուցանիշներով և ապահովում է հանքավայրի անվտանգ շահագործումը, չի կարող փոփոխվել կամ ներկայացվել այլընտրանքային տարբերակի տեսքով:

Մակաբացման, հանույթաբարձման, տեղափոխման և լցակույտառաջացման աշխատանքների իրականացումը նախատեսվում է ժամանակակից, էկոլոգիական

ստանդարտների համապատասխանող սարքավորումներով և տրանսպորտային միջոցներով, այս մասով այլընտրանքներ դիտարկելը նպատակահարմար չէ:

Սույն աշխատանքային նախագծի շրջանակներում այլընտրանքային լուծումներ ներկայացվել են կապված լցակույտառաջացման գործընթացների հետ: Ընտրվել է ներքին լցակույտառաջացման համակարգ, երբ Մակաբացման ապարները շահագործման սկզբում ավտոինքնաթափով կտեղափոխվեն բացահանքի սահմաններում, նրա հարավային մասը ժամանակավոր լցակույտ հետագայում՝ արդյունահանման ընթացքում բացահանքի բացված հատակի վրա ներքին լցակույտ ձևավորելու համար: Շահագործման 16-րդ տարվանից սկսած, բացահանքի հյուսիսային մասը մինչև հատակը մշակելով հետո հարավային մասում տեղափոխված մակաբացման ապարների լցակույտերը N1 և N2 աստիճանաբար կտեղափոխվեն հյուսիսային հատվածի 1494.7 և 1491.2մ բարձրությամբ մինչև հատակը արդյունահանված հանքաստիճանները կլցվեն 1.6մ բարձրությամբ և կհարթեցվեն: Սկզբում ներքին լցակույտեր կտեղափոխվի N2 լցակույտի ապարները, որի վրա կլցվի N1 հողաբուսական շերտը և կհարթեցվի:

Փաստացի ներկայացվել է նաև խախտված տարածքների ռեկուլտիվացման ընդերքօգտագործման թափոնների օգտագործմամբ այլընտրանքային լուծում, ինչի ընթացքում նախատեսվում է կատարել բացահանքի խախտված տարածքի ընթացքիկ ռեկուլտիվացիա մամաբացման շարժի ապարների և արդյունահանման թափոնների կիրառմամբ՝ սկսած շահագործման 16-րդ տարվանից:

Նշված այլընտրանքային լուծումներն ունեն բնապահպանական ուղղվածություն՝

- բացառվում է լրացուցիչ տարածքների օտարում լցակույտի ձևավորման համար,
- կատարվում է լանդշաֆտի վերականգնում մինչև հանքավայրի շահագործման ժամկետի ավարտը,
- բացառվում է ընդերքօգտագործման թափոնների կուտակումը/տեղադրում բնական միջավայրում, չխախտված լանդշաֆտներում՝ բացահանքի սահմաններից դուրս,

- ընթացիկ ռեկուլտիվացիայի արդյունքում կրճատվում են փոշու արտանետումները լցակույտի տարածքից և չեզոքացվում է ազդեցությունը մթնոլորտային օդի որակի վրա:

Այլընտրանքային լուծումներ դիտարկվում են խախտված տարածքների վերականգնման աշխատանքների շրջանակներում: Բացի լեռնատեխնիկական վերականգնման աշխատանքներից նախատեսվում է իրականացնել կենսաբանական ռեկուլտիվացիա, երբ հարթեցված և փխրեցված ռեկուլտիվացված տարածքում կատարվելու է պարարտացում և բազմամյա բույսերի սերմերի և սածիլների տունկ:

Աշխատանքներից հրաժարման (գրոկայական) տաբերակը դիտարկվում է որպես տնտեսապես ոչ նպատակահարմար: Ներկայումս շինանյութերի շուկան հանդիսանում է ՀՀ արդյունաբերության արագ զարգացող ճյուղերից մեկը: Մասնավորապես 2017-2022թթ.-ին ՀՀ տարածքում արձանագրվել է բնակելի տարածքների շինարարության ծավալների ավելի քան կրկնակի աճ՝ 210210մ²-ուց մինչև 494554մ²: Շուկայում է առկա է շինանյութերի մեծ պահանջարկ, ինչը հանգեցրել է հումքի վաճառքի գների աճին և, ընդհանուր առմամբ, շինարարության բնագավառում ընդհանուր գնաճին:

ՀՀ Լոռու մարզում, որտեղ գտնվում է Սարատովկայի բազալտի հանքավայրը հանքավայրը, աշխատունակ տարիքի բնակչության կազմում տղամարդկանց գործազրկության մակարդակը 2022 թվականի տվյալներով կազմում է 12%, կականց գործազրկությունը՝ 10.3%: Հետևաբար, հանքավայրի շահագործման հետ կապված երկարաժամկետ կտրվածքով ստեղծվելիք նոր աշխատատեղերը կնպաստեն մարզում գործազրկության նվազեցմանը և կենսամակարդակի կայուն աճին:

3. ՇՐՋԱԿԱ ՄԻՋԱՎԱՅՐԻ ՆԿԱՐԱԳԻՐԸ

3.1. Երևրաձևավարություն, լանջերի թեքություն, սողանքային երևույթներ, սեյսմիկ պայմաններ

Երկրատեկտոնական շրջանացման տեսակետից Սարատովկայի հանքավայրի Հարավ-արևելյան տեղամասի շրջանը ընդգրկված է Բազում-Չանգեզուրի կառուցվածքային-տեկտոնական գոտում, որը ձևավորվել է վերին յուրա-պալեոգեն ժամանակահատվածում և բնութագրվում է պալեոգենյան հզոր հրաբխականությամբ:

Լեռնագրական տեսակետից, հայցվող տարածքը Լոռվա բարձրադիր լեռնային սարահարթի (1400-1600մ) կազմում է, որը հարավից սահմանափակված է Բազումի (լ. Ուրասար 2992.0մ), արևմուտքից՝ Ջավախքի (լ. Լեզլի 3157.0մ) և Վիրահայոց (լ. Լոք 2142.0մ), իսկ արևելյան կողմից Լեջանի (լ. Լեջան 2527.7մ) լեռնաշղթաներով:

Լոռվա սարահարթը բարձրադիր հարթավայր է, ունի եռանկյունու ձև, 30կմ երկարություն և 18 կմ լայնություն: Չգվում է հյուսիս-արևմուտքից հարավ-արևելք, ունի հարավ-արևելյան թույլ թեքություն, 1300-1600մ բարձրություն:

Կազմված է վերին պլիոցենի և անթրոպոգենի անդեզիտաբազալտներից և բազալտներից՝ ծածկված ջրասառցադաշտային, հեղեղատային նստվածքներով: Արևմուտքում մակերևույթը միատարր է, արևելքում՝ մասնատված Ձորագետի, Ուռուտի, Տաշիրի և Գարգառի խոր կիրճերով:

Ջավախքի հրաբխային լեռներից, Բազումի լեռնաշղթային զուգահեռ սարահարթի հատակով ձգվում է լավային լեզվակ:

Հայցվող տարածքում՝ Վիրահայոց լեռների նախալեռնային հատվածի և սարահարթի միաձուլման վայրում 1000-1900մ բարձրություններում պահպանվել են միջին-վերին եոգենի հրաբխային առաջացումների միատարր համահարթեցման մակերևույթի հողմահարված մնացուկները: Դրանց միջանկյալ տարածությունները լցված են Սոմխեթի լեռնաշղթայի հարավ-արևմտյան լանջերը կտրող գետահովիտների այլուվիալ-դելյուվիալ-պրոլյուվիալ առաջացումներով: Բերվածքային առաջացումներով կազմված հարթավայրային հատվածով հոսող գետակներին բնորոշ է երկու դարավանդ՝ մինչև 1մ բարձրությամբ գետահովտայինը և 4-6մ բարձրությամբ առաջին դարավանդը:

Բազումի լեռները սկսվում են Խոնավ լեռների հարավային մասից՝ Քարախաչի լեռնանցքից և զուգահեռականի ուղղությամբ ձգվում դեպի

արևմուտք՝ մինչև Գայլաձոր կիրճը, Ախուրյան գետի վերին հոսանքից մինչև Աղստև գետի միջին հոսանքը՝ շուրջ 90 կմ երկարությամբ և 15-20կմ լայնությամբ: Ամենաբարձր գագաթը Ուրասար լեռն է (2992 մ), միջին բարձրությունը 2800մ:

Լեռնաշղթան մասնատված է Փամբակ, Վահագնի, Ձորագետ, Չըքնաղ, Գարգառ գետերի ու բազմաթիվ գետակների ձորերով:

Ջավախքի լեռները ձգվում են Վրաստանի միջօրեականի ուղղությամբ, կազմելով Աշոցքի և Լոռու սարահարթերի սահմանը, հասնում են մինչև Քարախաչի լեռնանցքը: Առավելագույն բարձրությունը ՀՀ տարածքում Աչքասար լեռն է (3169 մ) :

Վիրահայոց (Սումխեթի) լեռները ձգվում են զուգահեռականի ուղղությամբ շուրջ 73 կմ: Առավելագույն բարձրությունը՝ Լավար լեռն է (2544 մ) : Վիրահայոց լեռները բաղկացած են խոր ձորերով և լայն գոգհովիտներով մասնատված Լոք, Լեջան և Լավար լեռնաբազուկներից :

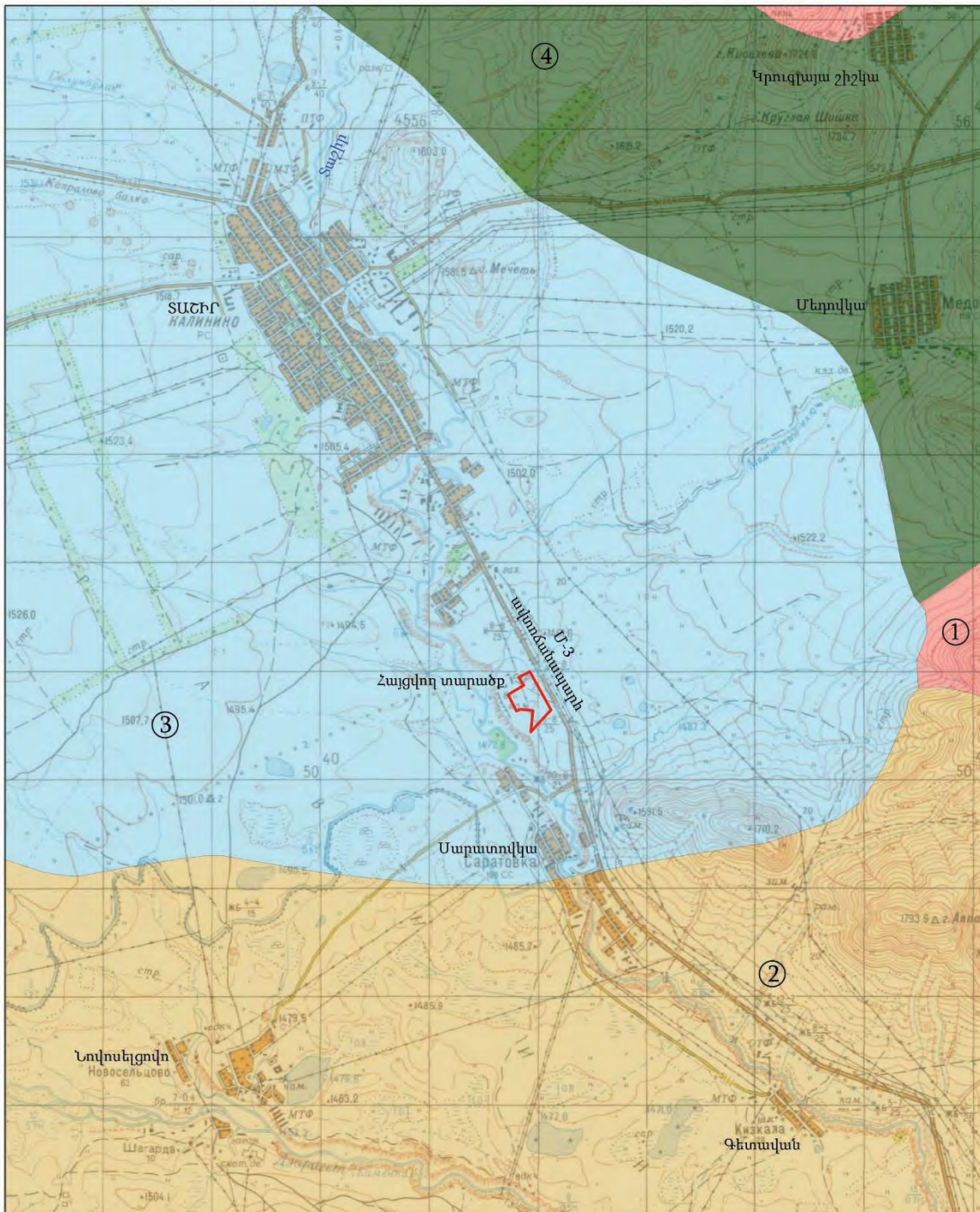
Ընդհանուր առմամբ այս լեռները կամարածալքային են, կամարի արևելյան հատվածը համընկնում է Ալավերդու անտիկլինորիումի հետ, իսկ արևմուտքում ռելիեֆի և տեկտոնիկայի հարաբերությունը հակադարձ է՝ առավել բարձր Լավարի զանգվածին համապատասխանում է Լավարի սինկլինորիումը : Լեռներին բնորոշ է եռոզիոն-դենուդացիոն ռելիեֆը :

Հայցվող տարածքի բացարձակ բարձրությունները տատանվում են 1600-ից 1930մ սահմաններում: Տեղամասում են գտնվում Կրուզլայա Շիշկա (1734.4մ), Կիսիլյովա (1726մ), Այդարբեկ (անվանակոչված՝ Առյուծ) (1921մ) և Ուրբանցող (1847մ) բարձրունքները:

Շրջանի ծալքաբեկորային լեռների ձևաբանական և մակերևույթի թեքության անկյունների սխեմատիկ քարտեզները բերվում են ստորև նկար 4-5-ում:

Սարատովկայի բազալտի հանքավայրի հայցվող տարածքում արտածին երկրաբանական երևույթների վերաբերյալ տեղեկատվության հիմք է հանդիսանում Հայաստանում սողանքների տեխնիկական տեղեկագիրը (Միջազգային համագործակցության Ճապոնական գործակալություն, ՀՀ քաղաքաշինության նախարարություն, 2005): Հայցվող տեղամասի շրջանում՝ տեղամասից 7.38-8.4կմ հեռավորության վրա քարտեզագրված են 101-0260, 101-0270 և 101-0280 սողանքային մարմինները (նկար 6): Բուն տեղամասում սողանքներ չկան:

ՀԱՅՅՎՈՂ ՏԱՐԱԾՔԻ ՄԽԵՄԱՏԻԿ ԵՐԿՐԱԶԵՎԱԲԱՆԱԿԱՆ ՔԱՐՏԵԶ

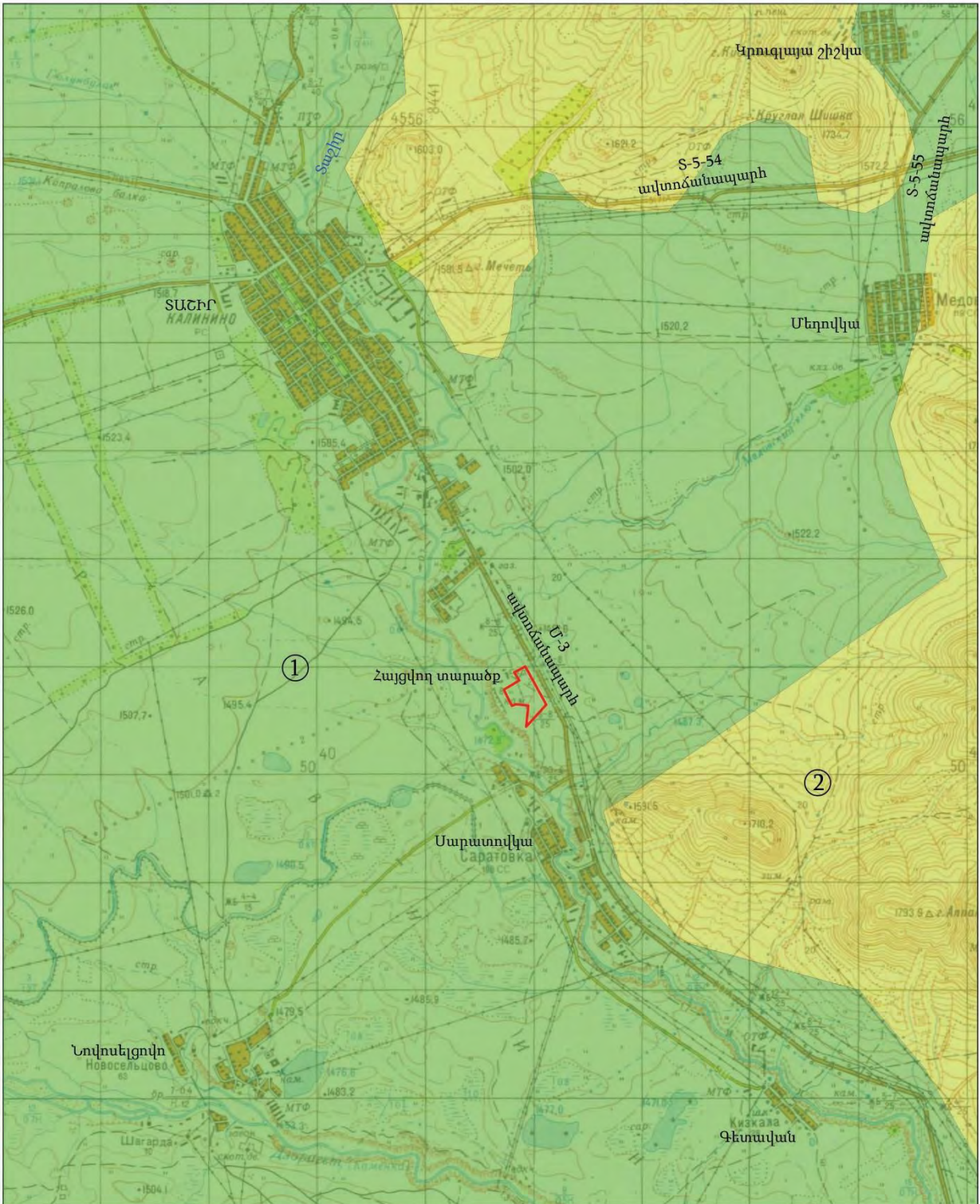


ՊԱՅՄԱՆԱԿԱՆ ՆՇԱՆՆԵՐ

- 1 - Միջին բարձրության /1500-2500մ/ լեռներ գոգավոր լանջերով խիստ կտրտված ոչ խորը լայն հովիտներով և ձորակներով
- 2 - Միջին բարձրության /1500-2100մ/ ենթահորիզոնական ալիքաձև թույլ կտրտված սարահարթ
- 3 - Մինչև 2000մ բարձրությամբ ներլեռնային ենթահորիզոնական մասամբ դարավանդավորված կուտակային հարթավայրեր
- 4 - Ներլեռնային նեղ դարավանդավորված գոգահովիտներ

Նկար 4.

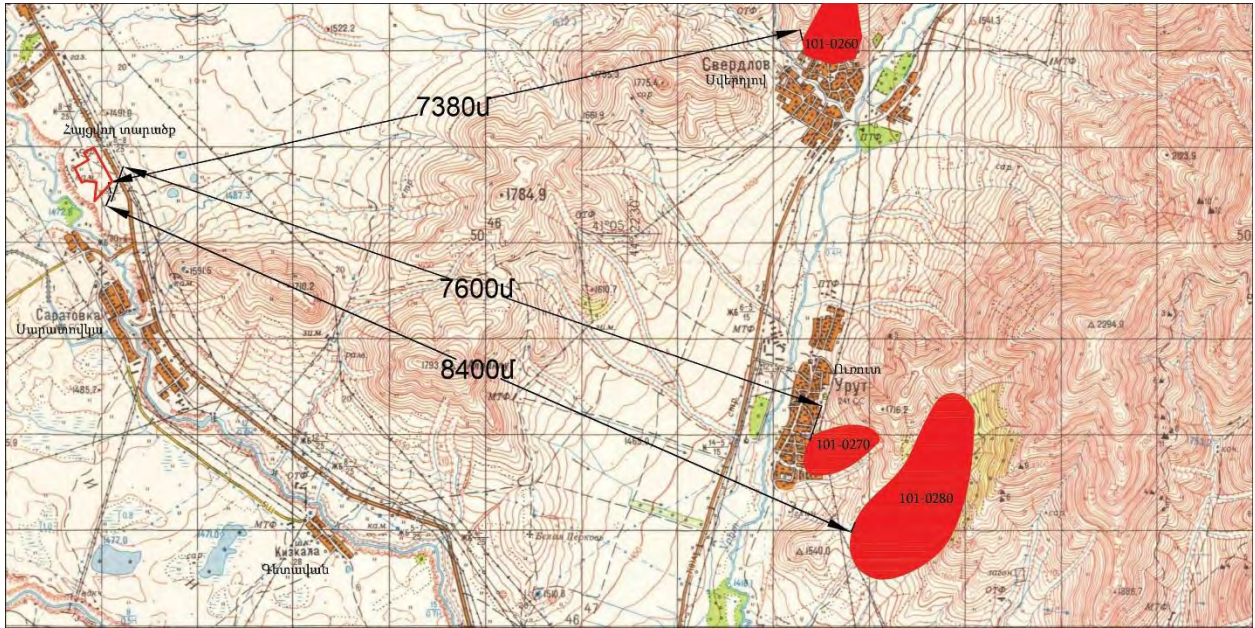
ՀԱՅՅՎՈՂ ՏԱՐԱԾՔԻ ԼԱՆՁԵՐԻ ԹԵՔՈՒԹՅՈՒՆՆԵՐԻ
ՍԽԵՄԱՏԻԿ ՔԱՐՏԵԶ



ՊԱՅՄԱՆԱԿԱՆ ՆՇԱՆՆԵՐ

- 1 - Հարթավայրեր և մեղմաթեք հարթավայրեր՝ 0-9 աստիճան լանջերի թեքությամբ
- 2 - Մեղմաթեք և գառիկող լանջեր՝ 10-19 աստիճան լանջերի թեքությամբ

Նկար 5.



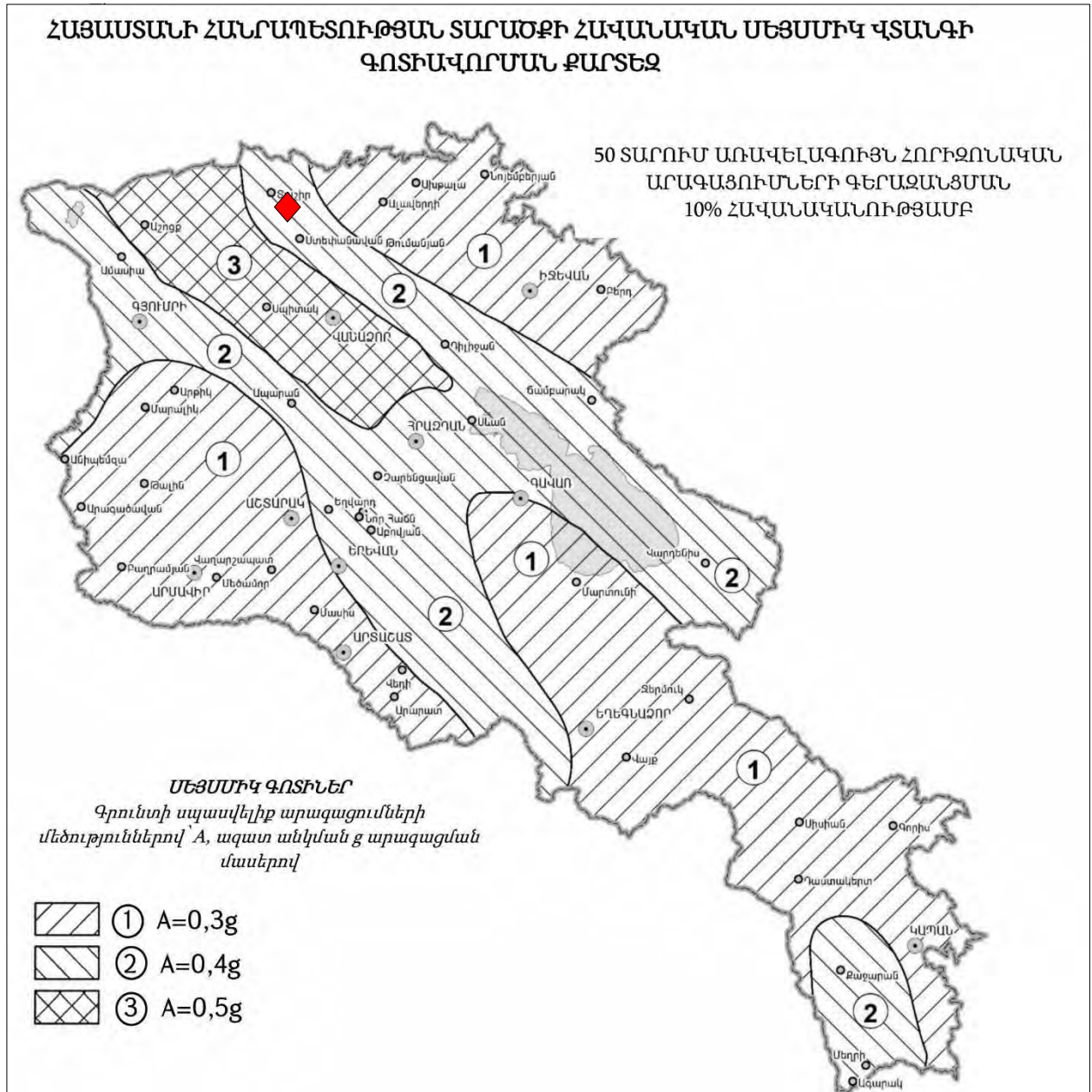
Նկար 6.

Սողանքային մարմիններն ըստ վտանգավորության գնահատվել է III-րդ դասի, ըստ ռիսկայնության՝ միջին: Հայցվող տարածքին ամենամոտ գտնվող սողանքային մարմինների բնութագրերը ներկայացված են ստորև, աղյուսակ 4-ում:

Աղյուսակ 4.

| Սողանքային մարմնի ծածկագիրը | Սողանքային մարմնի կոորդինատները և բարձրությունը | | | | | | | Չափերը | | |
|-----------------------------|---|------|--------|-------------|------|--------|-------------------|-----------|------------|--------------|
| | Latitude N | | | Longitude E | | | Բարձրությունը (մ) | | | |
| | Մաս. | Ըսպե | Վայրկ. | Մաս. | Ըսպե | Վայրկ. | | լայն. (մ) | երկար. (մ) | մակերես (հա) |
| 101-0260 | 41 | 6 | 6.2 | 44 | 23 | 53 | 1587 | 400 | 1050 | 23 |
| 101-0270 | 41 | 3 | 43 | 44 | 24 | 3.2 | 1512 | 500 | 800 | 28 |
| 101-0280 | 41 | 3 | 32 | 44 | 24 | 36 | 16112 | 800 | 2850 | 140 |

Ըստ ՀՀ քաղաքաշինության նախարարի 2006 թվականի փետրվարի 3-ի «Սեյսմակայուն շինարարություն. նախագծման նորմեր» N24-Ն հրամանի՝ տեղամասի տարածքը գտնվում է 2-րդ սեյսմիկ գոտում, որին բնորոշ է 400սմ/վրկ² կամ 0.4g գրունտի հորիզոնական արագացման մեծություն (նկար 7):



Նկար 7.

3.2. Շրջանի կլիման

Հայցվող տարածքը գտնվում է բարեխառն կլիմայական գոտում (նկար 8): Բնութագրվում է չափավոր տաք ամառով, չափավոր ցուրտ ձմեռով, օդի խոնավության բարենպաստ չափերով (58-62 %), քանու բարենպաստ ռեժիմով (միջին տարեկան արագությունը 2.1 մ/վրկ, միջին ամսական արագությունները՝ 1.6-3.4 մ/վրկ):

Ձմեռը երկարատև է, կայուն ձյան շերտով: Ձմեռը, միջին տվյալներով, սկսվում է հոկտեմբերի վերջին և նոյեմբերի սկզբին և վերջանում է ապրիլի երկրորդ տասնօրյակում: Հունվարի միջին ջերմաստիճանը՝ - 4.8°C, փետրվարի նվազագույնը հասնում է - 34°C: Ձմռանը եղանակը կայուն է: Երբեմն ձևավորվում են «գգալի սառնամանիքներով» եղանակներ, որոնք տևում են 1-2 օր: Եղանակային ռեժիմում գերիշխում են տաքացումներով եղանակներ, երբ օրվա ընթացքում ջերմաստիճանը բարձրանում է 0°C -ից: Այդ եղանակները դիտվում են ամսվա կեսից ավելին: «Չափավոր ցուրտ» եղանակները հունվարին դիտվում են 8-10 օր, իսկ արևոտ «թույլ սառնամանիքային» եղանակները անհողմ են և միանգամայն բարենպաստ ձմեռային կլիմայաբուժության համար: Թթվածնի պարունակությունը մթնոլորտային օդում հունվարին կազմում է 262 գ/մ³:

Գարունը երկարատև է՝ մոտ 12 շաբաթ, ցուրտ, ցրտահարությունները միջին տվյալներով ավարտվում են մայիսի երկրորդ տասնօրյակում: Գարնան սկիզբը սառն է, համեմատաբար չոր, իսկ երկրորդ կեսը բարեխառն՝ ամպամած և անձրևային եղանակների մեծ կրկնվածությամբ: Թթվածնի պարունակությունը մթնոլորտային օդում ապրիլին կազմում է 244 գ/մ³:

Ամառը կարճ է, զով և խոնավ: Եղանակները փոփոխական են: Հուլիսի, օգոստոսի միջին ջերմաստիճանը՝ 17.6°C մինչև 17.9°C , փետրվարի առավելագույնը՝ 36°C: Ամռանը իսպառ փացակայում են «շատ շոգ» և «շատ չոր» եղանակային տիպերը: Գերիշխում են «արևոտ չափավոր խոնավ» եղանակները (ամսական 12-15 օր), իսկ «չոր և շոգ» եղանակները դիտվում են ընդամենը 3-4 օր:

Հանրապետության համար ամենաչոր ամիսներին (հուլիս, օգոստոս), մթնոլորտային տեղումներն այստեղ հասնում են 57-86 մմ, իսկ հարաբերական խոնավությունը՝ 76-77%: Ամառային եղանակները բնութագրվում են կայունությամբ:

Աշունը զով է, առաջին կեսին գերակշռում են տաք, քիչ ամպամած եղանակները, երկրորդ կեսին եղանակները փոփոխական են: Աշնանային վաղ ցրտահարությունները սկսվում են սեպտեմբերի վերջին, հոկտեմբերի սկզբին: Աշնանը գերիշխում են «արևոտ տաք» եղանակային տիպերը: Աշնան երկրորդ կեսին նվազում է «արևոտ չափավոր խոնավ» եղանակների կրկնվածության տոկոսը: Հաճախ օրական ջերմաստիճանը իջնում է 0°-ից: Թթվածնի պարունակությունը մթնոլորտային օդում հոկտեմբերին կազմում է 244 գ/մ³: Անսառնամանիք օրերի թիվը կազմում է 130-150 օր, տեղումների միջին քանակը՝ 722 մմ: Տասնօրյա կտրվածքով առավելագույն տեղումները կազմել են 96մմ: Չյան ծածկույթով օրերի թիվը կազմում է 72 օր, ջրի առավելագույն քանակը ձյան մեջ՝ 150մմ:

Ընդհանուր առմամբ, կլիմայական պայմանները բարենպաստ են բնակության համար, միայն սահմանափակ բարենպաստ է ձմեռային ամիսների քամու ռեժիմը: Հունվար ամսին քամու միջին արագությունները հասնում են 6.6-7.2 մ/վրկ՝ հարավ-արևմտյան և արևմտյան ուղղություններով: Ուղղությունների կրկնելիությունը ամսում կազմում է 16-350: Ամառային ամիսների քամու ռեժիմը բարենպաստ է, տատանվում է 2.0-3.4 մ/վրկ: Ստորև բերվում է հայցվող տարածքի կլիմայական ռեժիմը բնութագրող աղյուսակները (ըստ Տաշիր օդերևութաբանական կայանի, բացարձակ բարձրությունը 1507 մ):

Աղյուսակ 5.

Օդի ջերմաստիճանը

| Միջին ջերմաստիճանը ըստ ամիսների, °C | | | | | | | | | | | | Միջին տարեկան, °C | Բացարձ. նվազ., °C | Բացարձ. առավ., °C |
|-------------------------------------|------|------|-----|------|------|------|------|------|-----|-----|------|-------------------|-------------------|-------------------|
| I | II | III | IV | V | VI | VII | VIII | IX | X | XI | XII | | | |
| -4.8 | -3.8 | -0.7 | 5.7 | 10.4 | 13.3 | 16.0 | 15.7 | 12.1 | 7.4 | 2.2 | -2.5 | 5.9 | -34 | 34 |

Աղյուսակ 6.

Մթնոլորտային տեղումները

| Տեղումների քանակը ըստ ամիսների միջին ամսական օրական առավելագույն՝ մմ | | | | | | | | | | | | | Տարեկան |
|---|----|-----|----|-----|-----|-----|------|----|----|----|-----|-----|---------|
| I | II | III | IV | V | VI | VII | VIII | IX | X | XI | XII | | |
| 20 | 30 | 39 | 70 | 130 | 132 | 81 | 60 | 54 | 45 | 35 | 19 | 715 | |
| 26 | 31 | 32 | 36 | 55 | 72 | 61 | 54 | 64 | 40 | 33 | 23 | 72 | |

Օդի խոնավությունը

| Ըստ ամիսների, % | | | | | | | | | | | | Միջին տարեկան, °C | Միջին ամսական, ժ. 13:00, ամենացուրտ ամսվա | Միջին ամսական, ժ. 13:00, ամենատաք ամսվա |
|--------------------|----|-----|----|----|----|-----|------|----|----|----|-----|-------------------------|---|---|
| I | II | III | IV | V | VI | VII | VIII | IX | X | XI | XII | | | |
| 67 | 69 | 71 | 70 | 77 | 78 | 78 | 77 | 78 | 76 | 71 | 67 | 73 | 58 | 61 |

Քամիները

| Ամիսներ | Կրկնելիությունը, % | | | | | | | | Անհորմությունների կրկնելիությունը, % | Միջին ամսական արագությունը, մ/վ | Միջին տարեկան արագությունը, մ/վ | Ուժեղ քամիներով օրերի քանակը, օր |
|----------|-------------------------|------------|-----|------------|-----|------------|-----|------------|---|------------------------------------|------------------------------------|-------------------------------------|
| | Միջին արագությունը, մ/վ | | | | | | | | | | | |
| | Նս | Նս- Արլ | Արլ | Նվ- Արլ | Նվ | Նվ- Արմ | Արմ | Նս- Արմ | | | | |
| հունվար | 19 | 3 | 2 | 4 | 10 | 32 | 19 | 11 | 38 | 3.2 | 2.0 | 29 |
| | 2.6 | 2.0 | 2.2 | 3.0 | 4.2 | 5.1 | 4.9 | 3.3 | | | | |
| ապրիլ | 35 | 10 | 4 | 5 | 8 | 16 | 7 | 15 | 37 | 2.1 | | |
| | 2.7 | 2.6 | 2.3 | 2.5 | 2.9 | 4.0 | 3.4 | 2.8 | | | | |
| հուլիս | 45 | 23 | 5 | 2 | 2 | 2 | 5 | 16 | 46 | 1.2 | | |
| | 2.5 | 2.4 | 2.4 | 2.5 | 2.4 | 3.0 | 2.5 | 2.6 | | | | |
| Նոյեմբեր | 39 | 7 | 3 | 4 | 6 | 13 | 11 | 17 | 44 | 1.5 | | |
| | 2.6 | 2.2 | 2.0 | 2.1 | 2.5 | 3.6 | 3.2 | 2.7 | | | | |

3.3 Մթնոլորտային օդ

Բազալտի արդյունահանման նպատակով հայցվող Սարատովկայի հանքավայրի Հարավ-արևելյան տեղամասի շրջանի տնտեսության հիմնական ճյուղը գյուղատնտեսությունն է: Ազդակիր համայնքի բնակիչները զբաղվում են հացահատիկային, կերային, բանջարաբոստանային կուլտուրաների և կարտոֆիլի մշակությամբ, ինչպես նաև անասնապահությամբ, թռչնաբուծությամբ և մեղվաբուծությամբ:

Տարածքում չկան արդյունաբերական ձեռնարկություններ: Արտադրական գործունեություն իրականացնող կազմակերպություններ կան Տաշիր քաղաքային բնակավայրում (հայցվող տարածքի արևմտյան սահմանից մոտ 1.69կմ հեռավորության վրա), որտեղ գործում է քարի մշակման մեկ արտադրամաս, կազմակերպված է դռների և պատուհնների արտադրության, աշխատում են հացի, կաթնամթերքների մշակման ընդհանուր թվով 16 արտադրամասեր:

Օդային ավազանի աղտոտումը հիմնականում պայմանավորված է ավտոճանապարհներով երթևեկող տրասնպորտային միջոցների արտանետումներով: Տարածաշրջանով անցնում է Մ3 միջպետական նշանակության ավտոճանապարհը, ամենախոշոր բնակավայրը Տաշիրն է: Այդ հատվածում CO₂ գազի տարեկան արտանետումների քանակը գնահատվել է շուրջ 16.0հազ.տ/տարեկան:

Շրջակա միջավայրի նախարարության «Հիդրոոդերևութաբանության և մոնիթորինգի կենտրոն» ՊՈԱԿ-ի կողմից մթնոլորտային օդի որակի մշտադիտարկում հայցվող տարածքի շրջանում չի իրականացվում:

Ընկերության պատվերով հանքավայրի տարածքում 2023 թվականի հուլիս ամսին կատարված դիտարկումների համաձայն, հանքավայրի տարածքի օդի ֆոնային աղտոտվածության ցուցանիշներն են. փոշի՝ 0.065մգ/մ³, ծծմբի երկօքսիդ՝ 0.011մգ/մ³, ազոտի երկօքսիդ՝ 0.006մգ/մ³:

3.4 Ջրային ռեսուրսներ

Հայցվող տարածքի շրջանում հիմնական մակերևութային ջրային միավորը Տաշիր գետն է: Տաշիր գետը՝ Ձորագետի ձախափնյա վտակը, սկիզբ է առնում Վիրահայոց լեռնաշղթայի արևմտյան լանջերից (Վրաստան)՝ 1800մ բարձրությունից:

Երկարությունը 54կմ է, ջրհավաք ավազանը՝ 470կմ²: Վերին հոսանքում գետահովիտը V-աձև է, այնուհետև հոսում է Լոռու դաշտով, առաջացնում գետոլորաններ: Մնումը հիմնականում ձնաանձրևային (76 %) է, վարարումը՝ մայիս-հունիսին: Տարեկան միջին ծախսը 2,52 մ³/վ է, հաճախ են աղետաբեր սելավները: Գարնանային հորդացումները սկսվում են ապրիլի կեսից և վերջանում հունիսի վերջին տասնօրյակում:

Հայցվող տարածքը գտնվում է Տաշիր գետի հունից 175-370մ հեռավորության վրա (ուղիղ գծով) և առանձնացված է բուն հունային հատվածից բազալտի ժայռային մերկացումներով (նկար 9):

Շրջակա միջավայրի նախարարության «Հիդրոոդերևութաբանության և մոնիթորինգի կենտրոն» ՊՈԱԿ-ի կողմից իրականացվում է Տաշիր գետի ջրերի մոնիթորինգ՝ Միխայելովկա գյուղից վերև (դիտակետ 11) և Սարատովկա գյուղից ներքև (դիտակետ 12) ընկած հատվածներում (նկար 10):

Ըստ ՀՀ շրջակա միջավայրի նախարարության պաշտոնական կայքում ներկայացված նյութերի 2023 թվականի 2-րդ եռամսյակի դիտարկման տվյալների՝ Տաշիր գետի ջրի որակը Միխայելովկա գյուղից վերև և Սարատովկա գյուղից ներքև հատվածներում մայիսին գնահատվել է «միջակ» (3-րդ դաս):

Սարատովկայի հանքավայրի շրջանը հարուստ է խորքային՝ արտեզյան ջրերով և աղբյուրներով: Արտեզյան ավազանը գտնվում է Տաշիր գետի վերին հոսանքներում: Արտեզյան ավազանում 2 ճնշումային ջրային հորիզոնները հայտնաբերված են 70 մետրից մինչև 90 մետր խորությունների վրա:

Ստորգետնյա ջրերի սնուցման մարզի մակերեսը կազմում է մոտ 295 քառ.կմ:

Տաշիր քաղաքի հյուսիս-արևմտյան և հարավ-արևմտյան մասերում գրունտային ջրերի մակարդակը բարձր է և տատանվում է 0-2 մետր:

Ստորերկրյա բոլոր ջրահոսքերի շարժումը սնման մարզից դեպի բեռնաթափման մարզ կատարվում է հյուսիս-արևմուտքից դեպի հարավ-արևելք: Գրունտային ջրերի հոսքը Տաշիր քաղաքի մոտակայքում բաժանվում է երեք ճյուղերի և լավային հոսքերի կոնտակտներով բեռնաթափվում է Ձորագետ և Տաշիր գետերի կիրճերում՝ աղբյուրների խմբի տեսքով (Նովոսելցովոյի, Ակսյուղինի և Կիզկալինի):

Աղբյուրների հաստատված պաշարները կազմում են ավելի քան 150.1 հազ.մ³/օր: Աղբնուրները վարընթաց տիպի են, ջրերը լավ որակի են, բավարարում են խմելու ջրի նորմերին և կապտաժային կառույցների միջոցով մատակարարում են բնակավայրերին: Երկարաժամկետ դիտարկումների արդյունքում պարզվել է, որ բնական պայմաններում աղբյուրների ջրադինամիկական ռեժիմի ցուցանիշները (ծախս, ջերմաստիճան, քիմիական կազմ, հանքայնացում և այլն) էական փոփոխությունների չեն ենթարկվում:

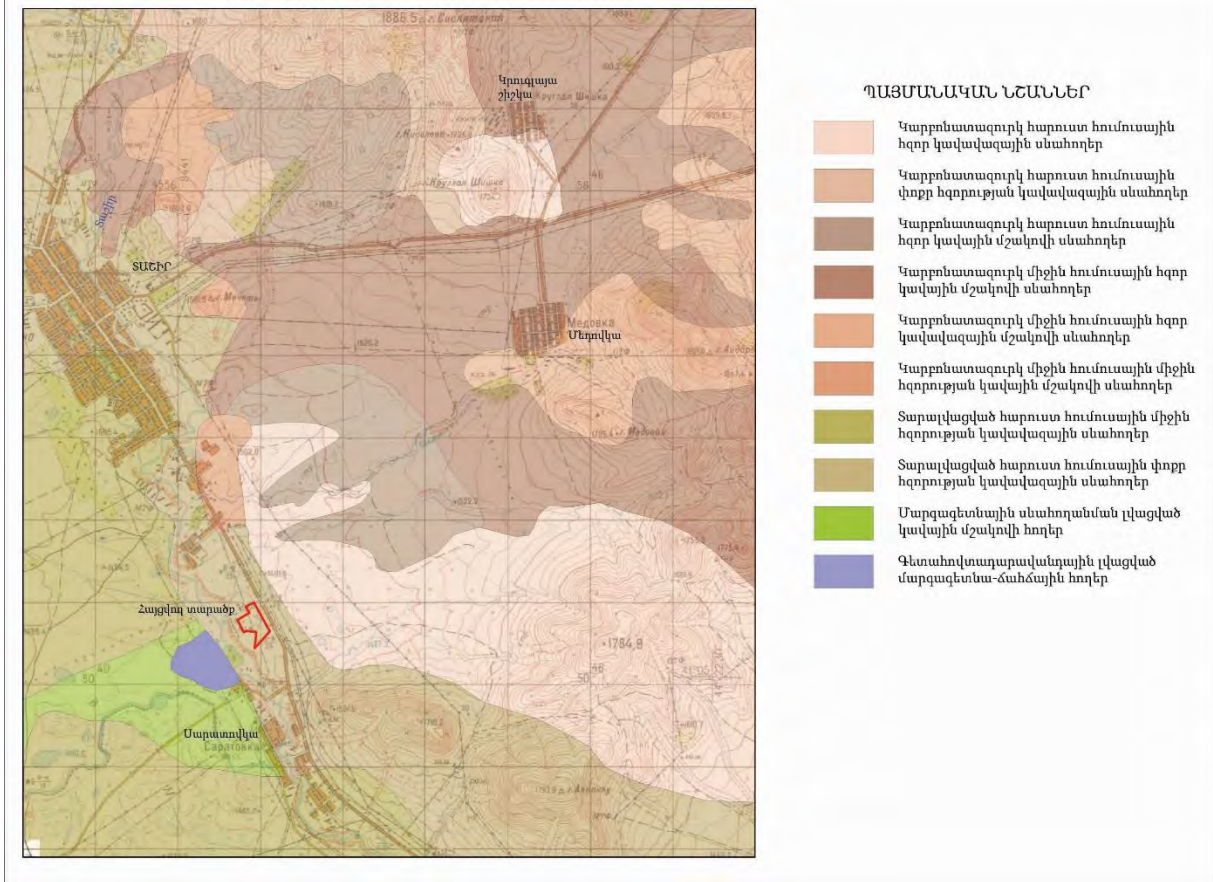
Բուն Սարատովկայի հանքավայրի տարածքի հիդրոերկրաբանական պայմաններն ուսումնասիրվել են երկրաբանական ուսումնասիրության աշխատանքներին զուգընթաց՝ հետախուզական հորատանցքերում և մակերևութային լեռնային փորվածքներում դիտարկվել է գրունտային ջրերի առկայությունը: Դաշտային դիտարկումների արդյունքներով ապացուցվել է գրունտային ջրերի բացակայությունը հանքավայրի տարածքում, ինչը պայմանավորված է տարածքը կազմող բազալտային հոսքերի բարձր ծակոտկենությամբ և ճեղքավորվածությամբ (ՀՀ ՏԿԵՆ «Հանրապետական երկրաբանական ֆոնդ» ՊՈԱԿ, հաշվետվ. ինվ. համար 2696ընդ.):

3.5 Հողեր

Հայցվող տեղամասի շրջանում տարածված են հիմնականում սևահողերը, առանձին փոքր հատվածներով զարգացել են մարգագետնային սևահողերն ու գետահովտադարավանդային մարգագետնա-ճմային հողերը (նկար 11):

Տարածքի սևահողերում առանձին ծագումնաբանական հորիզոնների քիմիական բաղադրությունը, մասնավորապես սիլիցիումի, ալյումինիումի, երկաթի, կալիումի պարունակության տեսակետից առանձնապես խիստ չի տարբերվում, նկատվում է դրանց հավասարաչափ կուտակում հողի պրոֆիլի սահմաններում: Հողերը ձևավորվել են հրաբխանստվածքային ապարների խորը հողմահարման հաշվին: Հողային լուծույթի ռեակցիան գլխավորապես չեզոք է (рН-ը տատանվում է 7-ի սահմաններում): Սևահողերում հումուսի պարունակությունը տատանվում է 6-8% սահմաններում: Թեքությունների վրա ընկած տարածություններում, կախված լանջի դիրքադրումից և հողակտորների օգտագործման բնույթից, հումուսի պարունակությունները նվազում են, հասնելով 3.5%:

ՀԱՅՅՎՈՂ ՏԱՐԱԾՔԻ ՀՈՂԵՐԻ ԲՆԱԿԱՆ ՏԻՊԵՐԻ
ՏԱՐԱԾՄԱՆ ՄԽԵՄԱՏԻԿ ՔԱՐՏԵԶ



Նկար 11.

Հումուսի բաղադրությունում գերակշռում են հումինաթթուները, $C_{\text{հթ}}:C_{\text{ֆթ}}$ հարաբերությունը հասնում է 1.89-ի:

Հայցվող տարածքը ներկայացված է տարավազված հարուստ հումուսային փոքր հզորության սևահողերով: Կլանող համալիրը հագեցված է հիմնականում Ca-ով և Mg-ով: Բնորոշ է կնձկային ստրուկտուրա: Հարուստ են ընդհանուր ազոտով (0.18-0.27%), ֆոսֆորական թթվով (0.17-0.23%) և կալիումով (մոտ 1.9%): Տարավազված սևահողերի հզորությունը հայցվող տարածքում կազմում է առավելագույնը 0.5մ:

Ընկերության պատվերով, կատարվել է հանքավայրի տարածքի հողերի նմուշառում 2 կետից, որոնք այնուհետև կրճատման եղանակով միավորվել են մեկ միասնական նմուշում: Նմուշում արձանագրվել է 101480մգ/կգ սիլիցիում, 1020մգ/կգ մանգան, 976մգ/կգ ֆոսֆոր, 11050մգ/կգ երկաթ:

Հայցվող տարածքում նախկինում խախտված, վերականգնված հողեր, հանված, պահեստավորված, պահպանված հողաբուսական շերտ չկա:

3.6 Բուսական և կենդանական աշխարհ

Ըստ Հայաստանի ֆլորիստիկ շրջանների բաժանման (Թախտաջյան, 1954), հայցվող տարածքը գտնվում է Լոռու ֆլորիստիկ շրջանում, ուր բուսականությունն աչքի է ընկնում համակեցությունների բազմազանությամբ, տեսակային հարուստ կազմով: Հայցվող տարածքում բուսածածկի կազմը տիպիկ լեռնատափաստանային է՝ տարախոտա-հացազգային համակեցություններով (նկար 12):

Սարատովկայի հանքավայրի Հարավ-արևելյան տեղամասի տարածքում հանդիպում է դաշտավլուկ մարգագետնային (*Poa pratensis* L.), ողնախոտ հավաքաված (*Dactylis glomerata* L.), բարակոտնուկ Ալբովի (*Koeleria albovii* Domin), սիզախոտ լեռնային (*Phleum montanum* K.Koch): Բարդաձաղկավորներից (*Asteraceae*) հանդիպում է խատուտիկ դեղատնային (*Taraxacum officinalis* Wigg.), օշինդր սովորական (*Artemisia vulgaris* L.), հազարատերևուկ սովորական (*Achillea millefolium* L.); բակլազգիներից (*Fabaceae*)՝ երեքնուկ մարգագետնային (*Trifolium pratense* L.), երեքնուկ մազմզոտագլուխ (*T. trichocephalum* M. Bieb.), սովույտ գայլուկանման (*Medicago lupulina* L.), կորնգան Բիբերշտեյնի (*Onobrychis biebersteinii* Sirjaev):

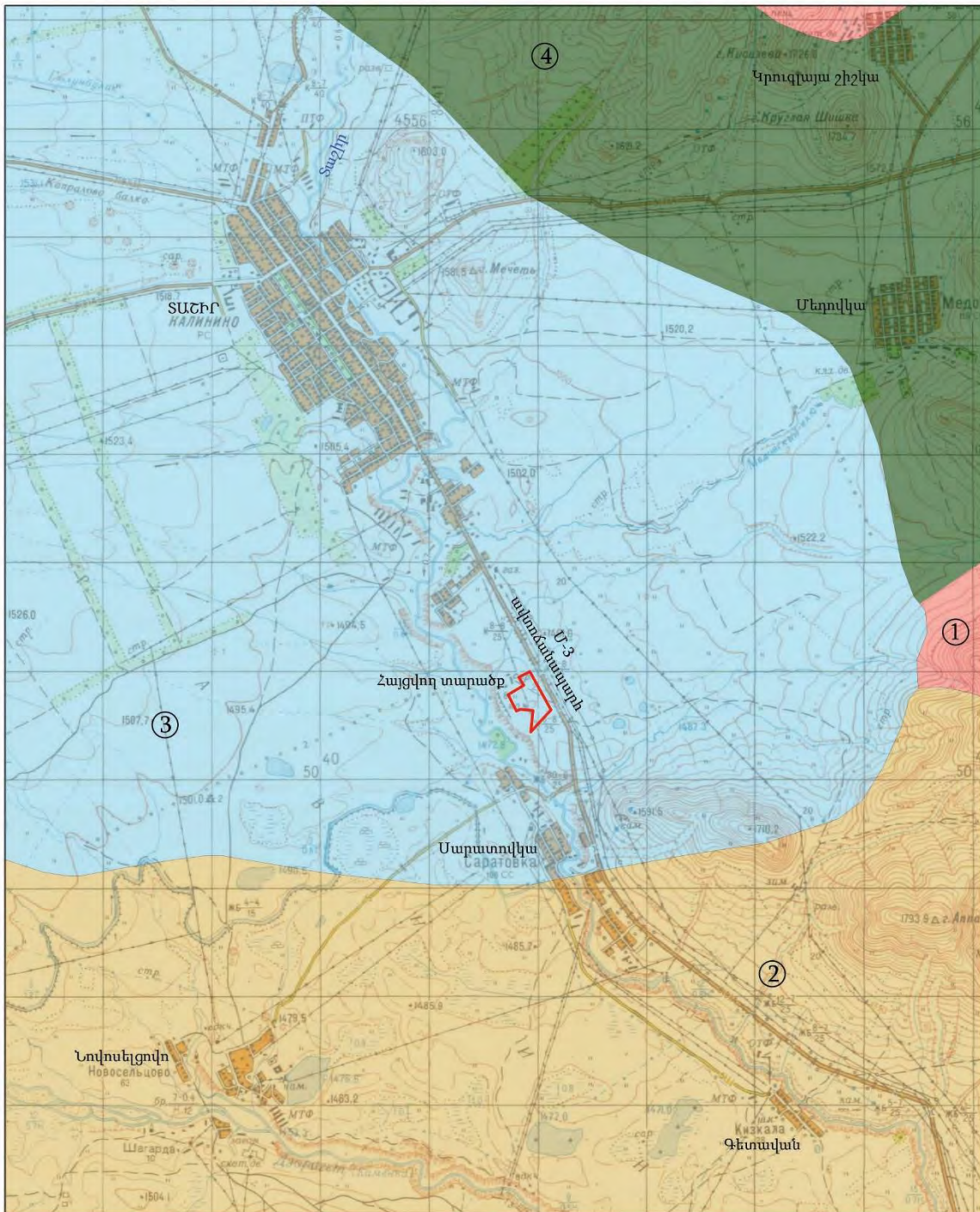
Դիտարկվել են նաև եզան լեզու մեծ (*Plantago mayor*), թանթոնիկ հակադրատերև (*Sedum oppositifolium* Sims), ավելուկ սովորական (*Rumex acetosa* L.), սրհունդ խոցված (*Hypericum perforatum* L.): Գետակների, առվակների հարակից հատվածներում աճում են եղեգ և կյուն:

Ուսումնասիրվել է ՀՀ բույսերի կարմիր գիրքը, դրանում նշված տեսակների աճելավայրերը արտացոլող սխեմատիկ քարտեզներ՝ հայցվող տարածքում պահպանության ենթակա բուսական տեսակների վերաբերյալ տեղեկատվություն ստանալու նպատակով: Ըստ ՀՀ բույսերի կարմիր գրքի՝ հայցվող տարածքի շրջանում հանդիպում են հետևյալ բուսատեսակները.

Աղյուսակ 9.

| Հ/Հ | Բույսի անվանումը | Կատեգորիա | Տարածման առանձնահատկությունները | Պահպանության միջոցառումները |
|-----|---|----------------|--|-----------------------------|
| 1 | 2 | 3 | 4 | 5 |
| 1. | Ջրաշուշան սպիտակ (<i>Nymphaea alba</i> L.) | Վտանգված տեսակ | Աճում է միջին լեռնային գոտում, 1400-1900մ բարձրությունների վրա, լճերում, կանգնած ջրերում, Ստեփանավանից մինչև Տաշիր | Չեն իրականացվում |

ՀԱՅՅՎՈՂ ՏԱՐԱԾՔԻ ՍԽԵՄԱՏԻԿ ԵՐԿՐԱԶԵՎԱԲԱՆԱԿԱՆ ՔԱՐՏԵԶ



ՊԱՅՄԱՆԱԿԱՆ ՆՇԱՆՆԵՐ

- 1 - Միջին բարձրության /1500-2500մ/ լեռներ գոգավոր լանջերով խիստ կտրտված ոչ խորը լայն հովիտներով և ձորակներով
- 2 - Միջին բարձրության /1500-2100մ/ ենթահորիզոնական ալիքաձև թույլ կտրտված սարահարթ
- 3 - Մինչև 2000մ բարձրությամբ ներլեռնային ենթահորիզոնական մասամբ դարավանդավորված կուտակային հարթավայրեր
- 4 - Ներլեռնային նեղ դարավանդավորված գոգահովիտներ

Նկար 12.

| 1 | 2 | 3 | 4 | 5 |
|----|--|-------------------|---|--|
| 2. | Թրաշուշան Ջավախքի (<i>Gladiolus dzhavakheticus Eristavi</i>) | Վտանգված տեսակ | Աճում է միջին և վերին լեռնային գոտում, 1400-2200մ բարձրությունների վրա, մարգագետիններում, մարգա- գետնատափաստաններում, խոնավ և ճահճացված վայրե- րում, Տաշիր քաղաքի մոտ | Պոպուլյացիայի մի մասը պահպանվում է «Արփի լիճ» ազգային պարկում |
| 3. | Նեդտերն Դոդոնի (<i>Chamaenerion dodonaei</i> (Vill.) Kost.) | Վտանգված տեսակ | Աճում է վերին լեռնային գոտում, խոնավ տեղերում, գետերի ափերին, Ստեփանավանից մինչև Տաշիր | Չեն իրականացվում |
| 4. | Գորտնուկ երկարատերև (<i>Ranunculus lingua</i> L.) | Վտանգված տեսակ | Աճում է միջին լեռնային գոտում, 1400-1500մ բարձրությունների վրա, ճահիճներում, լճերի ափերին: Հայտնի է Տաշիր, Սարատովկա, Նովոսելցովո բնակավայրերի շրջակայքից | Չեն իրականացվում |

Այս տեսակները հանքավայրի տարածքում չեն դիտարկվել:

Անտառային բուսականություն հայցվող տարածքում չկա: Անտառապատ տարածքներ, պաշտպանական անտառաշերտեր առկա են տարածքի ուրվագծից դուրս՝ Մեղվկա, Սվերդլով և Ուռուտ բնակավայրերի մոտ, տեղամասից մոտ 7.14-9.0կմ հեռավորության վրա (նկար 13): Դրանք պատկանում են Տաշիրի անտառապետությանը, անտառային ծածկույթի կազմում նշվում են սոճի, կաղնի, թխկի, կեչի, ուռենի, բարդի:



Նկար 13.

Սարատովկայի բազալտի հանքավայրի շրջանի կենդանական աշխարհը ներկայացված է լեռնային տափաստաններին բնորոշ տեսակներով: Ըստ գրական տվյալների, համայնքների բնակիչների հարցումների և դաշտային դիտարկումների՝ կաթնասուններից տարածքում հանդիպում են դաշտամուկ, նապաստակ, գայլ, աղվես: Թռչուններից հանդիպել են կաքավ, կեռնեխ, արտույտ:

Տարածված են մորեխներ, ձիուկներ, մթնաթներ, գոմաղբաբզեզներ և բրնձաբզեզներ, թիթեռներից՝ ճերմակաթիթեռներ:

Հայցվող տարածքին հարող Տաշիր գետի ափերի եղեգնապատ վայրերում հանդիպում է ասիական մորեխ և թռչող գամբիկ:

Ձկներից դիտվել է կողակ և կարաս:

Ըստ ՀՀ կենդանիների կարմիր գրքի՝ հայցվող տարածքի շրջանում, Լոռու սարահարթի լճակներում հանդիպում է մոխրաայտ սուզակ (*Podiceps grisegena*): Դա քիչ տարածված տեսակ, որի քանակությունը կրճատվում է: Պոպուլյացիայի մի մասը պահպանվում է «Արփի լիճ» և «Սևան» ազգային պարկերում: Լոռու մարզի հյուսիսում հանդիպում է նաև մարգահավ (*Crex crex*) խոցելի տեսակը, որը բնադրում է լեռնամարգագետնային և մարգագետնատափաստանային բիոտոպերում: Հանքավայրի տարածքում այդ տեսակները չեն դիտարկվել:

3.7 Բնության հատուկ պահպանվող տարածքներ

Սարատովկայի բազալտի հանքավայրի Հարավ-արևելյան տեղամասի շրջանում բնության հատուկ պահպանվող տարածքներ չկա: Հայցվող տեղամասից հյուսիս-արևմուտք մոտ 30կմ հեռավորության վրա գտնվում է «Արփի լիճ» ազգային պարկը, մոտ 11կմ դեպի հարավ-արևելք՝ «Գյուլագարակ» պետական արգելավայրը:

Համաձայն «Բնության հատուկ պահպանվող տարածքների մասին» ՀՀ օրենքի՝ բնության հատուկ պահպանվող տեսակ է բնության հուշարձանը:

ՀՀ կառավարության 2008 թվականի օգոստոսի 14-ի N967-Ն որոշմամբ հաստատվել է ՀՀ տարածքի բնության հուշարձանների ցանկը:

ՀՀ Լոռու մարզի տարածքում հաշվառված հուշարձանների ցանկը և նկարագիրը ներկայացված է աղյուսակ 10-ում:

Լոռու մարզի բնության հուշարձանները

| Հ/Հ | Անվանումը | Գտնվելու վայրը | Հեռավորությունը |
|-----|--|---|-----------------|
| 1 | 2 | 3 | 4 |
| 1 | «Բազալտանման ապարների (Դիաբազների) գոլավոր դայք» | Լոռու մարզ, Ալավերդի քաղաքային համայնք, Լավար գետի միջին հոսանք, կիրճի աջ ափին՝ Դարկ լեռնագագաթի հարավ-արևելյան ստորոտին, Ալավերդի «Լենհանքեր» ավտոճանապարհից մոտ 300 մ դեպի արևմուտք, Մադան գյուղի արևմտյան ծայրամասից մոտ 500 մ դեպի արևմուտք | Մոտ 28կմ |
| 2 | «Գետնանձավ» անձավային թունել | Լոռու մարզ, Լոռի Բերդ գյուղից 2 կմ հվ-արլ, Չորագետի ձախ ափին, հունից 40 մ բարձրության վրա | Մոտ 13կմ |
| 3 | «Չորագետի հրային ներժայթուկ» | Լոռու մարզ, Չորագետ և Փամբակ գետերի հատման կետում, Ալավերդի-Վանաձոր ավտոմայրուղու աջ կողմում՝ մոտ 10 մ չհասած առաջին թունելի մուտք | Մոտ 31կմ |
| 4 | «Տրավերտիններ դոլերիտային բազալտներում» | Լոռու մարզ, Մարց գյուղի խաչմերուկից մոտ 50 մ վերև, Մարց-Աթան գրունտային ավտոճանապարհի ձախ կողմում | Մոտ 37կմ |
| 5 | «Թոչկան» ջրվեժ | Լոռու մարզ, Մեծ Պառնի գյուղական համայնք, Չիչխան գետի աջակողմյան Թոչկան վտակի վրա | Մոտ 25կմ |
| 6 | «Դսեղի Ծովեր» լիճ | Լոռու մարզ, Դսեղ գյուղից 3 կմ արևելք-հարավ-արևելք, Սևորդաց լեռնաշղթայի Ծովիղաշ լեռնագագաթի հյուսիսային լանջի ափսեաձև զոգավորությունում | Մոտ 35կմ |
| 7 | «Շամլուղի լճակ» | Լոռու մարզ, Շամլուղ գյուղական համայնք | Մոտ 36կմ |
| 8 | «Օձի պորտ» | Լոռու մարզ, Արդվի գյուղական համայնքի արևելյան մասում, Հովնան Օձունեցու կաթողիկոսի մատուռից 120 մ հյուսիս-արևմուտք | Մոտ 25կմ |
| 9 | «Քոշաքարի մրտավարդ» | Լոռու մարզ, Մարգահովիտ գյուղական համայնքի հյուսիսային սահմանագծից մոտ 1 կմ հեռավորության վրա, Գուգարքի անտառտնտեսության Եղեգնուտի անտառպետության բարձրադիր գոտում | Մոտ 42կմ |

Հայցվող տարածքը չի համընկնում որևիցե բնության հուշարձանի տարածքի կամ դրա պահպանման գոտու հետ:

4. ՍՈՑԻԱԼ-ՏՆՏԵՍԱԿԱՆ ԲՆՈՒԹԱԳԻՐ

4.1. Ենթակառուցվածքներ

Լոռու մարզը հյուսիսից պետական սահմանով սահմանակից է Վրաստանին, արևելքից Տավուշի մարզին, հարավից՝ Արագածոտնի, Կոտայքի և Գեղարքունիքի մարզերին, իսկ արևմուտքից՝ Շիրակի մարզին: Մարզում ծովի մակերևույթից բարձր կետը Աչքասար լեռան գագաթն է (3 196 մ), ամենացածրը՝ Դեբեդ գետի ստորին հոսանքի շրջանը (մոտ 375 մ):

Մարզի տնտեսության առաջատար ճյուղերը գյուղատնտեսությունն ու արդյունաբերությունն են: Գյուղատնտեսության ոլորտում առանձնանում են հացահատիկի, կարտոֆիլի, բանջարեղենի և անասնաբուծական մթերքի արտադրությունները: Մարզի արդյունաբերության հիմնական ուղղություններն են հանքագործական արդյունաբերությունը և մշակող արդյունաբերությունը:

Մարզի տարածքի կենտրոնական մասով անցնում է Հայաստանի Հանրապետության գլխավոր երկաթուղին: Բեռնաուղևորափոխադրումները մարզում իրականացվում են ավտոմոբիլային, երկաթուղային տրանսպորտով և էլեկտրատրանսպորտով (ճոպանուղի):

Տնտեսության հիմնական հատվածների տեսակարար կշիռները ՀՀ տնտեսության համապատասխան հատվածների ընդհանուր ծավալում կազմել են.

- արդյունաբերություն 6.3 %,
- գյուղատնտեսություն 8.4 %,
- շինարարություն 4.2 %,
- մանրածախ առևտուր 2.6 %,
- ծառայություններ 1.3 %:

ՀՀ Լոռու մարզի մշտական բնակչությունը 01.01.203թ.-ի դրությամբ կազմում է 211.5հազ.մարդ, որից 123.8հազ.մարդը ապրում են քաղաքային, 87.7հազ.մարդը՝ գյուղական բնակավայրերում: Ազդակիր Տաշիր քաղաքում բնակչության թիվը կազմում է 7.3հազ.մարդ:

Մարզի տնտեսական ուղղվածության, համախառն արտադրանքի, արդյունաբերության մասին համառոտ տեղեկություններ ներկայացված են ստորև, աղյուսակներում:

Աղյուսակ 11.

| ՀԱՄԱԽԱՌՆ ՆԵՐՔԻՆ ԱՐԴՅՈՒՆՔ | | | | | | | |
|------------------------------|---|-------------|-------------|--|-------|-------|------------------------|
| GROSS DOMESTIC PRODUCT | | | | | | | |
| | Համախառն ներքին արդյունք (շուկայական գներով), մլն. դրամ Gross domestic product (at market prices), mln. drams | | | Համախառն ներքին արդյունքի կառուցվածքն ըստ տարածաշրջանների, % Structure of gross domestic product % | | | |
| | 2018 | 2019 | 2020 | 2018 | 2019 | 2020 | |
| ՀԱՅԱՍՏԱՆԻ ՀԱՆՐԱՊԵՏՈՒԹՅՈՒՆ | 6 017 035.2 | 6 543 321.8 | 6 181 902.6 | 100.0 | 100.0 | 100.0 | REPUBLIC OF ARMENIA |
| ԼՈՐԻ | 248 216.3 | 229 581.6 | 212 872.2 | 4.1 | 3.5 | 3.4 | LORI |

Աղյուսակ 12.

| ՀԱՄԱԽԱՌՆ ՆԵՐՔԻՆ ԱՐԴՅՈՒՆՔԸ ԲՆԱԿՉՈՒԹՅԱՆ ՄԵՎ ՇՆՉԻ ՀԱՇՎՈՎ | | | | | | | |
|---|---|-----------|-----------|---|-------|-------|------------------------|
| GROSS DOMESTIC PRODUCT PER CAPITA | | | | | | | |
| | Համախառն ներքին արդյունքը բնակչության մեկ շնչի հաշվով, դրամ ¹ Gross domestic product per capita, dram ¹ | | | Համախառն ներքին արդյունքը բնակչության մեկ շնչի հաշվով ¹ Հայաստանի Հանրապետության միջին ցուցանիշի նկատմամբ, % Gross domestic product per capita, to the average indicator of Republic of Armenia, % | | | |
| | 2018 | 2019 | 2020 | 2018 | 2019 | 2020 | |
| ՀԱՅԱՍՏԱՆԻ ՀԱՆՐԱՊԵՏՈՒԹՅՈՒՆ | 2 026 620 | 2 208 716 | 2 087 423 | 100.0 | 100.0 | 100.0 | REPUBLIC OF ARMENIA |
| ԼՈՐԻ | 1 147 025 | 1 070 810 | 999 869 | 56.6 | 48.5 | 47.9 | LORI |

Աղյուսակ 13.

| ՀԱՄԱԽԱՌՆ ՆԵՐՔԻՆ ԱՐԴՅՈՒՆՔԸ ՄԵՎ ԶԲԱՂՎԱԾԻ ՀԱՇՎՈՎ | | | | | | | |
|---|--|-------------------|-----------|---|-------|-------|------------------------|
| GROSS DOMESTIC PRODUCT PER EMPLOYEE | | | | | | | |
| | Համախառն ներքին արդյունքը մեկ զբաղվածի հաշվով, դրամ Gross domestic product per employee, dram | | | Համախառն ներքին արդյունքը մեկ զբաղվածի հաշվով ¹ Հայաստանի Հանրապետության միջին ցուցանիշի նկատմամբ, % Gross domestic product per employee, to the average indicator of Republic of Armenia, % | | | |
| | 2018 ¹ | 2019 ² | 2020 | 2018 | 2019 | 2020 | |
| ՀԱՅԱՍՏԱՆԻ ՀԱՆՐԱՊԵՏՈՒԹՅՈՒՆ | 5 738 708 | 6 073 252 | 5 874 100 | 100.0 | 100.0 | 100.0 | REPUBLIC OF ARMENIA |
| ԼՈՐԻ | 3 019 663 | 2 855 493 | 2 341 828 | 52.6 | 47.0 | 39.9 | LORI |

Աղյուսակ 14.

| ԱՐԴՅՈՒՆԱԲԵՐԱԿԱՆ ԱՐՏԱԴՐԱՆՔԻ ԾԱՎԱԼԸ | | | | | | |
|---|-------------|-------------|-------------|-------------|-------------|------------------------|
| VOLUME OF INDUSTRIAL OUTPUT | | | | | | |
| <i>ընթացիկ գներով, մլն. դրամ</i> at current prices, mln. drams | | | | | | |
| | 2017 | 2018 | 2019 | 2020 | 2021 | |
| ՀԱՅԱՍՏԱՆԻ ՀԱՆՐԱՊԵՏՈՒԹՅՈՒՆ | 1 834 773.5 | 1 937 475.3 | 2 091 525.7 | 2 101 072.7 | 2 419 356.3 | REPUBLIC OF ARMENIA |
| ԼՈՐԻ | 163 690.0 | 89 424.9 | 87 222.8 | 110 447.2 | 152 824.0 | LORI |

Աղյուսակ 15.

| ԱՐԴՅՈՒՆԱԲԵՐԱԿԱՆ ԱՐՏԱԴՐԱՆՔԻ ԱՐՏԱԴՐՈՒԹՅՈՒՆԸ | | | | | | |
|---|--|-------------|--|-------------|---|---------------------|
| PRODUCTION OF INDUSTRIAL OUTPUT | | | | | | |
| | Թողարկված արտադրանքի ծավալը, ընթացիկ գներով ¹ , մլն. դրամ Volume of output (work, services), at current prices ¹ , mln. drams | | Պատրաստի արտադրանքի իրացումը, ընթացիկ գներով ¹ , մլն. դրամ Realization of finished products, at current prices ¹ , mln. drams | | Արդյունաբերական արտադրանքի ֆիզիկական ծավալի ինդեքսը, % Volume index of output, % | |
| | 2020 | 2021 | 2020 | 2021 | 2020 | 2021 |
| ՀԱՅԱՍՏԱՆԻ ՀԱՆՐԱՊԵՏՈՒԹՅՈՒՆ | 2 101 072.7 | 2 419 356.3 | 2 084 519.5 | 2 430 579.4 | 100.6 | 103.7 |
| ԼՈՌԻ | 110 447.2 | 152 824.0 | 115 125.0 | 153 076.0 | 125.9 | 109.2 |
| | | | | | | REPUBLIC OF ARMENIA |
| | | | | | | LORI |

Աղյուսակ 16.

| ԱՐԴՅՈՒՆԱԲԵՐԱԿԱՆ ԱՐՏԱԴՐԱՆՔԻ ԿԱՌՈՒՅՎԱԾՔԸ | | | | | | |
|--|------|------|------|------|------|---------------------|
| STRUCTURE OF INDUSTRIAL OUTPUT | | | | | | |
| % | | | | | | |
| | 2017 | 2018 | 2019 | 2020 | 2021 | |
| ՀԱՅԱՍՏԱՆԻ ՀԱՆՐԱՊԵՏՈՒԹՅՈՒՆ | 100 | 100 | 100 | 100 | 100 | REPUBLIC OF ARMENIA |
| ԼՈՌԻ | 8.9 | 4.6 | 4.2 | 5.3 | 6.3 | LORI |

Աղյուսակ 17.

| ԱՐԴՅՈՒՆԱԲԵՐԱԿԱՆ ԱՐՏԱԴՐԱՆՔԻ ԾԱՎԱԼԸ ԸՍՏ ԱՐՏԱԴՐՈՒԹՅԱՆ ԲԱԺԻՆՆԵՐԻ | | | | | | | | | | |
|--|--|-------------|---|-----------|---|-------------|--|-----------|--|----------|
| VOLUME OF INDUSTRIAL OUTPUT BY PRODUCTION SECTORS | | | | | | | | | | |
| <i>ընթացիկ գներով, մլն. դրամ</i> <i>at current prices, mln. drams</i> | | | | | | | | | | |
| | Ամբողջ արդյունաբերությունը Total industry | | այդ թվում՝ /including: | | | | | | | |
| | | | հանքագործական արդյունաբերություն mining industry | | մշակող արդյունաբերություն manufacturing industry | | Էլեկտրաէներգիայի, գազի, ջրի արտադրություն և բաշխում production and distribution of electricity, water and gas | | ջրամատակարարում, կոյուղի, թափոնների կառավարում և վերամշակում water supply, sewerage waste management and remediation activities | |
| | 2020 | 2021 | 2020 | 2021 | 2020 | 2021 | 2020 | 2021 | 2020 | 2021 |
| ՀԱՅԱՍՏԱՆԻ ՀԱՆՐԱՊԵՏՈՒԹՅՈՒՆ REPUBLIC OF ARMENIA | 2 101 072.7 | 2 419 356.3 | 403 455.5 | 589 885.6 | 1 417 895.0 | 1 527 054.1 | 257 886.7 | 279 219.2 | 21 835.5 | 23 197.4 |
| ԼՈՌԻ LORI | 110 447.2 | 152 824.0 | 58 023.3 | 92 773.3 | 41 915.3 | 48 577.8 | 9 195.1 | 10 036.9 | 1 313.5 | 1 436.0 |

| ԱՐԴՅՈՒՆԱԲԵՐԱԿԱՆ ԱՐՏԱԴՐԱՆՔԻ ՖԻԶԻԿԱԿԱՆ ԾԱՎԱԼԻ ԻՆԴԵՔՍՆԵՐՆ ԸՍՏ ԱՐՏԱԴՐՈՒԹՅԱՆ ԲԱԺԻՆՆԵՐԻ | | | | | | | | | | |
|---|--|-------|--|-------|---|-------|--|-------|---|-------|
| VOLUME INDICES OF INDUSTRIAL OUTPUT BY PRODUCTION SECTORS | | | | | | | | | | |
| <i>նախորդ տարվա նկատմամբ, %</i> <i>in % compared to the previous year</i> | | | | | | | | | | |
| | Ամբողջ արդյունաբերությունը Total industry | | այդ թվում՝ including: | | | | | | | |
| | | | հանքագործական արդյունաբերություն և բացահանքերի շահագործում mining and quarrying | | մշակող արդյունաբերություն manufacturing industry | | էլեկտրականության, գազի, գոլորշու և լավորակ օդի մատակարարում electricity, gaz, steam and air conditioning supply | | ջրամատակարարում, կոյուղի, թափոնների կառավարում և վերամշակում water supply, sewerage, waste management and remedlation activities | |
| | 2020 | 2021 | 2020 | 2021 | 2020 | 2021 | 2020 | 2021 | 2020 | 2021 |
| ՀԱՅԱՍՏԱՆԻ ՀԱՆՐԱՊԵՏՈՒԹՅՈՒՆ REPUBLIC OF ARMENIA | 100.6 | 103.7 | 111.6 | 100.2 | 98.2 | 103.9 | 100.0 | 107.9 | 87.7 | 106.2 |
| ԼՈՌԻ LORI | 125.9 | 109.2 | 160.8 | 108.2 | 100.8 | 111.3 | 107.0 | 106.5 | 102.5 | 109.2 |

| ԱՐԴՅՈՒՆԱԲԵՐԱԿԱՆ ԱՐՏԱԴՐԱՆՔԻ ԿԱՌՈՒՑՎԱԾՔՆ ԸՍՏ ԱՐՏԱԴՐՈՒԹՅԱՆ ԲԱԺԻՆՆԵՐԻ | | | | | | | | | | |
|---|--|------|---|------|---|------|--|------|---|------|
| STRUCTURE OF INDUSTRIAL OUTPUT BY PRODUCTION SECTORS | | | | | | | | | | |
| % | | | | | | | | | | |
| | Ամբողջ արդյունաբերությունը Total industry | | այդ թվում՝ including: | | | | | | | |
| | | | հանքագործական արդյունաբերություն mining industry | | մշակող արդյունաբերություն manufacturing industry | | էլեկտրաէներգիայի, գազի, ջրի արտադրություն և բաշխում production and distribution of electricity, water and gas | | ջրամատակարարում, կոյուղի, թափոնների կառավարում և վերամշակում water supply, sewerage, waste management and remedlation activities | |
| | 2020 | 2021 | 2020 | 2021 | 2020 | 2021 | 2020 | 2021 | 2020 | 2021 |
| ՀԱՅԱՍՏԱՆԻ ՀԱՆՐԱՊԵՏՈՒԹՅՈՒՆ REPUBLIC OF ARMENIA | 100 | 19.2 | 24.4 | 67.5 | 63.1 | 12.3 | 11.5 | 1.0 | 1.0 | |
| ԼՈՌԻ LORI | 100 | 52.5 | 60.7 | 38.0 | 31.8 | 8.3 | 6.6 | 1.2 | 0.9 | |

Աղյուսակ 20.

ԱՐՋՈՒՆԱԲԵՐԱԿԱՆ ԱՐՏԱԴՐԱՆՔԻ ԱՐՏԱԴՐՈՒԹՅՈՒՆ ԸՍՏ ՏՆՏԵՍԱԿԱՆ ԳՈՐԾՈՒՆԵՈՒԹՅԱՆ ՏԵՍԱԿԱՆԵՐԻ 2021 ԹՎԱԿԱՆԻՆ
PRODUCTION OF INDUSTRIAL OUTPUT BY TYPES OF ECONOMIC ACTIVITY, 2021

| | Թողարկված արտադրանքի ծավալը, բնթացիկ գներով, մլն. դրամ Volume of produced production in current prices', mln.drums | Պատրաստի արտադրանքի իրացումը, բնթացիկ գներով, մլն. դրամ Realisation of fabricated products in current prices', mln.drums | Արտադրանքի ֆիզիկական ծավալի ինդեքսը, % Volume index of industrial production, % | |
|---|---|---|--|---|
| ԼՈՐԻ՝ ՄԱՐԶ LORI MARZ | | | | |
| Ամբողջ արդյունաբերությունը <i>այդ թվում՝</i> | 152 824.0 | 153 076.0 | 109.2 | Total industry <i>including :</i> |
| Հանքագործական արդյունաբերություն և բազանների շահագործում <i>այդ թվում՝</i> | 92 773.3 | 93 188.7 | 108.2 | Mining and quarrying <i>including :</i> |
| մետաղական հանքաքարերի արդյունահանում | 92 570.8 | 93 000.0 | 108.2 | mining of metal ores |
| հանքագործական արդյունաբերության և բազանների շահագործման այլ ճյուղեր | 202.5 | 188.7 | 104.7 | other mining and quarrying |
| Մշակող արդյունաբերություն <i>որից՝</i> | 48 577.8 | 48 414.3 | 111.3 | Manufacturing |
| անդամաբերի արտադրություն | 36 268.6 | 36 210.8 | 104.2 | manufacture of food products |
| խմիչքների արտադրություն | 176.7 | 174.9 | 102.1 | manufacture of beverages |
| մանածագործական արտադրատեսակների արտադրություն | 44.5 | 44.5 | 100.0 | manufacture of textiles |
| հագուստի արտադրություն | 8 543.2 | 8 535.1 | 130.9 | manufacture of wearing apparel |
| փայտանյութի մշակում, փայտից և խցանակեղևից, ձողոտից և կյուսկեն նյութերից արտադրատեսակների արտադրություն, բացի կահույքից թղթի և թղթե արտադրատեսակների արտադրություն | 36.3 | 36.3 | 165.4 | manufacture of wood and of products of wood and cork, except furniture; manufacture of articles of straw and plaiting materials |
| թղթի և թղթե արտադրատեսակների արտադրություն | 44.8 | 44.8 | 110.4 | manufacture of paper and paper products |
| քիմիական նյութերի և քիմիական արտադրատեսակների արտադրություն | 516.7 | 518.1 | 127.1 | manufacture of chemicals and chemical products |
| ռետինե և պլաստմասալի արտադրատեսակների արտադրություն | 69.2 | 69.2 | 49.4 | manufacture of rubber and plastic products |
| այլ ոչ մետաղական հանքային արտադրատեսակների արտադրություն | 811.7 | 813.5 | 81.7 | manufacture of other non-metallic mineral products |
| պատրաստի մետաղե արտադրատեսակների արտադրություն, բացի մեքենաներից և սարքավորանքից | 240.9 | 240.9 | 2.9 | manufacture of fabricated metal products, except machinery and equipment |
| էլեկտրական սարքավորանքի արտադրություն | 1 237.0 | 1 109.0 | 29.1 | manufacture of electrical equipment |
| մեքենաների և սարքավորանքի արտադրություն, չներառված ուրիշ խմբավորումներում | 416.3 | 427.1 | 133.5 | manufacture of machinery and equipment n.e.c. |
| կահույքի արտադրություն | 49.5 | 49.4 | 33.8 | manufacture of furniture |
| արտադրատեսակների արտադրություն, չներառված ուրիշ խմբավորումներում | 122.4 | 140.7 | 158.1 | other manufacturing |
| ոսկերչական արտադրատեսակների արտադրություն | 122.0 | 121.9 | 157.6 | manufacture of jeweller products |
| Էլեկտրականության, գազի, զոլորշու և լավորակ օդի մատակարարում | 10 036.9 | 10 036.9 | 106.5 | Electricity, gas, steam and air conditioning supply |
| Ջրամատակարարում, կոյուղի, թափոնների կառավարում և վերամշակում | 1 436.0 | 1 436.1 | 109.2 | Water supply, sewerage, waste management and remediation activities |
| ոսկերչական արտադրատեսակների արտադրություն | 18 764.0 | 19 011.0 | 59.4 | manufacture of jeweller products |
| մեքենաների և սարքավորանքի նորոգում և տեղակայում | 426.2 | 422.2 | 112.3 | repair and installation of machinery and equipment |
| Էլեկտրականության, գազի, զոլորշու և լավորակ օդի մատակարարում | 81 887.9 | 81 887.9 | 111.7 | Electricity, gas, steam and air conditioning supply |
| Ջրամատակարարում, կոյուղի, թափոնների կառավարում և վերամշակում | 2 611.6 | 2 550.4 | 104.0 | Water supply, sewerage, waste management and remediation activities |

Աղյուսակ 21.

| ԳՅՈՒՂԱՏՆՏԵՍՈՒԹՅԱՆ ՀԱՄԱՆԱՌՆ ԱՐՏԱԴՐԱՆՔԸ GROSS AGRICULTURAL OUTPUT | | | | | | | | | | | | | | | | | | | | | |
|--|-------------------|-------|-------|-------|-------|-----------------------------------|-------|-------|-------|-------|---------------------------------------|-------|-------|-------|-------|--------------------------------|------|------|------|------|---------------------|
| | Ընդամենը Total | | | | | այդ թվում՝ of which: | | | | | | | | | | Տեսակարար կշիռը, % Share, % | | | | | |
| | | | | | | բուսաբուծություն plant growing | | | | | անասնաբուծություն animal husbandry | | | | | | | | | | |
| | 2017 | 2018 | 2019 | 2020 | 2021 | 2017 | 2018 | 2019 | 2020 | 2021 | 2017 | 2018 | 2019 | 2020 | 2021 | 2017 | 2018 | 2019 | 2020 | 2021 | |
| ՀԱՅԱՍՏԱՆԻ ՀԱՆՐԱՊԵՏՈՒԹՅՈՒՆ | 908.6 | 892.9 | 853.3 | 833.3 | 934.4 | 469.3 | 415.8 | 410.9 | 399.5 | 469.1 | 439.3 | 477.1 | 442.4 | 433.8 | 465.3 | 100 | 100 | 100 | 100 | 100 | REPUBLIC OF ARMENIA |
| ԼՈՐԻ՝ | 79.0 | 73.2 | 68.5 | 67.2 | 78.6 | 29.0 | 21.6 | 21.6 | 20.4 | 25.0 | 50.0 | 51.6 | 46.9 | 46.8 | 53.6 | 8.7 | 8.2 | 8.0 | 8.1 | 8.4 | LORI |

Աղյուսակ 22.

| ԿԱՐՏՈՒՆԻ ԶԱՆՔԱՏԱՐԱԾՈՒԹՅՈՒՆՆԵՐԸ, ՄԻՋԻՆ ԲԵՐՔԱՎՈՒԹՅՈՒՆԸ ԵՎ ՀԱՄԱՄԱՌՆ ԲԵՐՔԸ SOWN AREAS UNDER POTATOES, AVERAGE YIELD CAPACITY AND GROSS HARVEST | | | | | | | | | | | | | | | | |
|---|--|--------|--------|--------|--------|--|-------|-------|-------|-------|--|-------|-------|-------|-------|---------------------|
| | Ցանքատարածությունները, հա Sown areas (ha) | | | | | Բերքատվությունը, ց/հա Yield capacity (centner/ha) | | | | | Համախառն բերքը՝ հազ. տոննա Gross harvest' (ths. tons) | | | | | |
| | 2017 | 2018 | 2019 | 2020 | 2021 | 2017 | 2018 | 2019 | 2020 | 2021 | 2017 | 2018 | 2019 | 2020 | 2021 | |
| ՀԱՅԱՍՏԱՆԻ ՀԱՆՐԱՊԵՏՈՒԹՅՈՒՆ | 25 337 | 22 062 | 20 477 | 20 531 | 20 125 | 214.9 | 187.3 | 199.2 | 212.8 | 179.3 | 547.4 | 415.1 | 404.1 | 437.2 | 364.6 | REPUBLIC OF ARMENIA |
| ԼՈՐԻ՝ | 4 190 | 3 596 | 3 432 | 3 510 | 3 543 | 175.8 | 145.8 | 158.9 | 168.9 | 151.3 | 73.7 | 52.4 | 49.4 | 59.3 | 53.6 | LORI |

Աղյուսակ 23.

| ԲԱՆՋԱՐԱՆՈՑԱՅԻՆ ՄՇԱԿԱԲՈՒՅՄԵՐԻ ՑԱՆՔԱՏԱՐԱԾՈՒԹՅՈՒՆՆԵՐԸ, ՄԻՋԻՆ ԲԵՆՔԱՏՎՈՒԹՅՈՒՆԸ ԵՎ ՀԱՄԱԽԱՌՆ ԲԵՆՔԸ | | | | | | | | | | | | | | | | |
|--|---|--------|--------|--------|--------|--|-------|-------|-------|-------|---|-------|-------|-------|-------|------------------------|
| SOWN AREAS UNDER VEGETABLES, AVERAGE YIELD CAPACITY AND GROSS HARVEST | | | | | | | | | | | | | | | | |
| | Ցանքատարածությունները (ներառյալ ցեխնոց և ցեխատուն), հա Sown areas including greenhouse and hothouse (ha) | | | | | Բերքատվությունը, ց/հա Yield capacity (centner/ha) | | | | | Համախառն բերքը՝ հազ. տոննա Gross harvest (ths. tons) | | | | | REPUBLIC OF ARMENIA |
| | 2017 | 2018 | 2019 | 2020 | 2021 | 2017 | 2018 | 2019 | 2020 | 2021 | 2017 | 2018 | 2019 | 2020 | 2021 | |
| ՀԱՅԱՍՏԱՆԻ ՀԱՆՐԱՊԵ- ՏՈՒԹՅՈՒՆ | 28 280 | 21 658 | 20 616 | 21 272 | 19 506 | 286.3 | 258.6 | 265.0 | 280.8 | 271.8 | 861.0 | 628.2 | 621.6 | 692.8 | 619.6 | |
| ԼՈՐԻ | 1 602 | 1 338 | 1 303 | 1 296 | 1 284 | 173.0 | 135.2 | 114.9 | 122.9 | 95.3 | 27.7 | 18.1 | 15.0 | 15.9 | 12.2 | |

Աղյուսակ 24.

| ԲՈՍՏԱՆԱՑԻՆ ՄՇԱԿԱԲՈՒՅՄԵՐԻ ՑԱՆՔԱՏԱՐԱԾՈՒԹՅՈՒՆՆԵՐԸ, ՄԻՋԻՆ ԲԵՆՔԱՏՎՈՒԹՅՈՒՆԸ ԵՎ ՀԱՄԱԽԱՌՆ ԲԵՆՔԸ | | | | | | | | | | | | | | | | |
|--|--|-------|-------|-------|-------|--|-------|-------|-------|-------|---|-------|-------|-------|-------|------------------------|
| SOWN AREAS UNDER MELONS, AVERAGE YIELD CAPACITY AND GROSS HARVEST | | | | | | | | | | | | | | | | |
| | Ցանքատարածությունները, հա Sown areas (ha) | | | | | Բերքատվությունը, ց/հա Yield capacity (centner/ha) | | | | | Համախառն բերքը՝ հազ. տոննա Gross harvest (ths. tons) | | | | | REPUBLIC OF ARMENIA |
| | 2017 | 2018 | 2019 | 2020 | 2021 | 2017 | 2018 | 2019 | 2020 | 2021 | 2017 | 2018 | 2019 | 2020 | 2021 | |
| ՀԱՅԱՍՏԱՆԻ ՀԱՆՐԱՊԵՏՈՒԹՅՈՒՆ | 6 812 | 4 602 | 4 257 | 3 995 | 4 525 | 316.8 | 276.3 | 300.6 | 317.1 | 291.6 | 215.8 | 126.8 | 128.0 | 126.6 | 131.8 | |
| ԼՈՐԻ | 7 | 7 | 9 | 7 | 8 | 88.7 | 140.9 | 61.0 | 109.9 | 88.6 | 0.1 | 0.1 | 0.1 | 0.1 | 0.1 | |

Խաղողի տնկարկների տարածքությունները կազմել են 67հա, միջին բերքատվությունը՝ 13.8ց/հա, խամախառն բերքը՝ 0.1հազ.տ:

Խոշոր եղջրավոր կենդանիների գլխաքանակը կազմել է 74.5հազ.գլուխ, այդ թվում կովեր՝ 36.5հազ.գլուխ, խոզեր 13.3հազ.գլուխ, ոչխարներ և այծեր՝ 31.6հազ.գլուխ, ձիեր՝ 2.7հազ.գլուխ:

Իրականացվել է 21298.3մլն.դրամի շինարարություն և 20230.8մլն.դրամի շինմոնտաժային աշխատանքներ, գործարկվել են 3891.3մլն.դրամի հիմնական գործարկումներ:

Փոխադրվել է 824հազ.տ բեռ, բեռնաշրջանառությունը կազմել է 24.4մլն.տ/կմ: Ինչպես նաև փոխադրվել է 2278.7հազ. ուղևոր, ուղևորաշրջանառությունը կազմել է 34.6մլն.ողևոր/կմ:

Ավտոմոբիլային տրանսպորտի ընդլսծհանուր վազքն ըստ տևանսպորտի առանձին տեսակների կազմել է.

- ✓ բեռնատար ավտոմեքենաներ – 3093.7հազ.կմ,
- ✓ ուղևորատար ավտոմեքենաներ – 2857.2հազ.կմ,
- ✓ թեթև մարդատար ավտոմեքենաներ – 3134.1հազ.կմ,

- ✓ հատուկ ավտոմեքենաների վազք – 1028.2հազ.կմ:
Ավտոմոբիլային տրանսպորտի օգտագործված վառելիքն ըստ տեսակների բաշխվել է հետևյալ համամասնությամբ.
- ✓ բենզին – 281.8հազ.լ,
- ✓ դիզելային վառելանյութ – 1672.6հազ.լիտր,
- ✓ բնական սեղմված գազ – 630.1հազ.մ³:

4.2. Հողերի տնտեսական յուրացման բնութագիր

Սարատովկայի բազալտի հանքավայրի Հարավ-արևելյան տեղամասի շահագործման նպատակով հայցվող տարածքը ներառված է Տաշիր խոշորացված համայնքում (Տաշիր բնակավայրի վարչական տարածք):

Տաշիր քաղաքի մշտական բնակչությունը 01.01.2023թ.-ի դրությամբ կազմում էր 7.3 հազ.մարդ: Բնակչության 45.3% կազմում են տղամարդիկ և 54.7% կանայք:

Քաղաքի բնակիչները զբաղվում են հացահատիկային, կերային, բանջարաբուստանային կուլտուրաների, կարտոֆիլի մշակությամբ, ինչպես նաև անասնապահությամբ, թռչնաբուծությամբ, մեղվաբուծությամբ:

Քաղաքում գործում են կաթի վերամշակմամբ զբաղվող մի քանի կազմակերպություններ, որոնց արտադրած կաթնամթերքը (պանիր, կարագ) լայն սպառում ունի ոչ միայն հանրապետությունում, այլև հանրապետությունից դուրս:

Խոշորացված Տաշիր համայնքի հողային հաշվեկշիռը ներկայացված է հետևյալ կերպ.

Աղյուսակ 25.

| NN | Նպատակային նշանակությունը | Հողատեսքը, գործնական նշանակությունը | Ընդամենը, հա |
|-----|---------------------------|-------------------------------------|--------------|
| 1 | 2 | 3 | 4 |
| 1.1 | Գյուղատնտեսական | վարելահող | 5520.33 |
| 1.2 | | բազմ. տնկարկ | 5.10 |
| 1.3 | | խոտհարք | 6915.35 |
| 1.4 | | արոտ | 18631.03 |
| 1.5 | | այլ հողատեսք | 4969.14 |
| | | Ընդամենը | 36040.95 |

| 1 | 2 | 3 | 4 |
|-----|---|------------------------|----------|
| 2.1 | Բնակավայրերի | բնակելի | 730.81 |
| 2.2 | | հասարակական | 47.84 |
| 2.3 | | խառը | 4.97 |
| 2.4 | | ընդհանուր | 136.37 |
| 2.5 | | այլ հողեր | 171.45 |
| | | Ընդամենը | 1091.44 |
| 3.1 | Արդյունաբերական, ընդերքօգտագործման և այլ արտադրական նշանակ. | արդյունաբերության | 12.86 |
| 3.2 | | գյուղատնտեսական | 188.99 |
| 3.3 | | պահեստարանների | 7.72 |
| 3.4 | | ընդերքի | 43.01 |
| | | Ընդամենը | 252.59 |
| 4.1 | Էներգետիկայի, կապի, տրանսպորտի, կապի, կոմունալ ենթակառ. | էներգետիկայի | 130.32 |
| 4.2 | | կապի | 0.87 |
| 4.3 | | տրանսպորտի | 110.05 |
| 4.4 | | կոմունալ | 42.95 |
| | | Ընդամենը | 284.19 |
| 5.1 | Հատուկ պահպանվող տարածքների | բնապահպանական | |
| 5.2 | | առողջարական | 3.73 |
| 5.3 | | հանգստի | |
| 5.4 | | պատմական և մշակութ. | 62.81 |
| | | Ընդամենը | 66.54 |
| 6. | Հատուկ նշանակության | | 212.65 |
| 7.1 | Անտառային | անտառ | 1926.75 |
| 7.2 | | թփուտ | 130.65 |
| 7.3 | | վարելահող | |
| 7.4 | | խոտհարք | |
| 7.5 | | արոտ | |
| 7.6 | | այլ հողեր | |
| | | Ընդամենը | 2057.40 |
| 8.1 | Ջրային | գետեր | 201.29 |
| 8.2 | | ջրամբարներ | |
| 8.3 | | լճեր | 127.32 |
| 8.4 | | ջրանցքներ | 16.92 |
| 8.5 | | հիդրոտեխ. կառույց | 7.76 |
| 8.6 | | Ընդամենը | 353.29 |
| | ԸՆԴԱՄԵՆԸ ՀՈՂԵՐ | | 40359.04 |

Օգտակար հանածոյի հանքավայրի շահագործման նպատակով հայցվող տարածքը ներկայացված են համայնքային սեփականություն հանդիսացող

արդյունաբերական, ընդերքօգտագործման և այլ արտադրական նշանակության նպատակային նշանակության ընդերքի գործառնական նշանակության հողերով, գյուղատնտեսական նպատակային նշանակության արոտավայրերով:

Օգտակար հանածոյի արդյունահանման աշխատանքների վերաբերյալ տվյալները և շրջակա միջավայրի վրա ազդեցության հիմնական հաշվետվության դրույթները ներկայացվել են համայնքի բնակիչներին, քննարկվել է ծրագրավորվող աշխատանքներում բնակիչների ներգրավման, ինչպես նաև համայնքին սոցիալական աջակցության ծրագրերի իրականացման հարցը:

Քննարկումների ընթացքում նշվել է, որ բազալտի արդյունահանման ընթացքում վերաբնակեցման կամ տարաբնակեցման որևէ հարց չի առաջանալու:

Ստեղծվելու է 19 նոր աշխատատեղ, միջինը 180.0հազ.դրամ աշխատավարձով: Նշվել է ընկերության նորագույն տեխնիկական միջոցներով արդյունավետ աշխատանք ապահովելու նպատակով աշխատուժի վերապատրաստման հնարավորության մասին:

4.3. Պատմության, մշակութային հուշարձաններ

ՀՀ կառավարության 2004 թվականի հունվարի 29-ի N49-Ն որոշմամբ հաստատվել է Լոռու մարզի պատմության և մշակույթի անշարժ հուշարձանների, իսկ 2007 թվականի N385-Ն որոշմամբ՝ պետական սեփականություն համարվող և օտարման ոչ ենթակա պատմության և մշակույթի անշարժ հուշարձանների պետական ցուցակները:

Տաշիր բնակավայրի տարածքում հաշվառված են հետևյալ պատմության և մշակութային հուշարձանները.

Աղյուսակ 26.

| Համարը | Ենթահամարը | Անվանումը | Ժամանակաշրջանը | Գտնվելու վայրը |
|--------|------------|------------|----------------|----------------------------------|
| 1 | 2 | 3 | 4 | 5 |
| 1 | | ԱՄՐՈՑ | Ք. ա. 3-2 հազ. | քաղաքից 1 կմ արևելք |
| 2 | | ԲԵՐԴԱՔԱՂԱՔ | | Տաշիր կամ Կըզլկալա վայրում |
| 3 | | ԳՅՈՒՂԱՏԵՂԻ | | Տաշիր գետի ձախ ափին, խճուղու մոտ |

| 1 | 2 | 3 | 4 | 5 |
|----|-----|--|----------------------|--|
| 4 | | ԳՅՈՒՂԱՏԵՂԻ | | քաղաքից արևելք, ճանապարհի ձախ կողմում |
| 5 | | ԳՅՈՒՂԱՏԵՂԻ | միջնադար | քաղաքից հյուսիս-արևելք, Տաշիր գետակի ափին |
| | 5.1 | Եկեղեցի «Միլիտկա» | 10-12-րդ դդ. | |
| 6 | | ԴԱՄԲԱՐԱՆԱԴԱՇՏ | Ք.ա. 2 հազ. 1 կես | |
| 7 | | ԵԿԵՂԵՑԻ | 13-14 դ դ. | Տաշիր բերդի արևելյան կողմի ձորում, քաղաքից մոտ 1 կմ աե |
| 8 | | ԿԱՄՈՒՐՁ | | Տաշիրի ձորում |
| 9 | | ՀՈՒՇԱՐՁԱՆ ԵՐԿՐՈՐԴ ԱՇԽԱՐՀԱՄԱՐՏՈՒՄ ԶՈՀՎԱԾՆԵՐԻՆ | 1961 թ. | քաղաքի մեջ |
| 10 | | ԶՐԱՂԱՅ | | Տաշիր գետի ձորում |
| 11 | | ՔԱՐԱՅՐ-ԿԱՑԱՐԱՆ | | Տաշիր գետի ձորում |
| 12 | | ՔԱՐԱՅՐ-ԿԱՑԱՐԱՆ | | Չորագետի ձորում |

Կատարվել է բազալտների արդյունահանման նպատակով հայցվող տարածքի և Տաշիր բնակավայրի կադաստրային քարտեզում որպես պատմության և մշակույթի հողեր առանձնացված հողակտորների համադրություն: Պատմամշակութային անշարժ հուշարձաններից հայցվող տարածքը գտնվում է 3.4-4.5կմ հեռավորությունների վրա:

5. ՇՐՋԱԿԱ ՄԻՋԱՎԱՅՐԻ ԲԱՂԱԴՐՈՒՉՆԵՐԻ ՎՐԱ ՀՆԱՐԱՎՈՐ

ԱԶՂԵՑՈՒԹՅՈՒՆՆԵՐԻ ԲՆՈՒԹԱԳԻՐԸ

Սարատովկայի բազալտի Հարավ-արևելյան տեղամասի հանքավայրի օգտակար հանածոյի արդյունահանման աշխատանքերի իրականացման ընթացքում շրջակա միջավայրի վրա դրսևորվող տեխնածին ճնշումների նկարագիրը ներկայացված է ստորև:

5.1 Մթնոլորտային օդ.

Մթնոլորտային օդի վրա արդյունահանման աշխատանքների ազդեցությունը գնահատելու նպատակով կատարվել են կոմպլեքս հաշվարկներ համաձայն շինանյութերի արդյունաբերությունում չկազմակերպված աղբյուրներից արտանետումների հաշվարկման ժամանակավոր մեթոդական ձեռնարկի (1985 Նովորոսիսկ): Լեռնային աշխատանքների հետևանքով օդային միջավայր է թափանցում որոշ քանակությամբ փոշի, որը կապված է ավտոտրանսպորտի աշխատանքի, ընդերքօգտագործման թափոնների լցակույտերի, քարի կտրման և բարձման աշխատանքների հետ :

Ավտոտրանսպորտի աշխատանքի ժամանակ առաջացած փոշու հաշվարկը

Ընդհանուր փոշու քանակը Q₁, որը առաջանում է հանքի սահմաններում ավտոինքնաթափի անիվների ու ճանապարհի շփման հետևանքով և տեղափոխվող բեռից որոշվում է հետևյալ բանաձևով՝

$$Q_{1\text{թ}} = \frac{C_1 C_2 C_3 C_6 C_7 N L q_1}{3600} + C_4 C_5 C_6 q_2 F n, q/v$$

որտեղ, C₁- 1.3 գործակից է, որը հաշվի է առնում ավտոինքնաթափի թափքի միջին տարողությունը,

C₂- 2.0 գործակից, որը հաշվի է առնում մեքենայի միջին արագությունը,

C₃- 1.0 գործակից, որը հաշվի է առնում ճանապարհի վիճակը,

C₄- 1.4 գործակից, որը հաշվի է առնում տեղափոխվող բեռի մակերեսը թափքում,

C₅- 1.5 գործակից, որը հաշվի է առնում տեղափոխվող բեռի արագությունը,

C₆- 0.8 գործակից, որը հաշվի է առնում տեղափոխվող բեռի խոնավությունը,

C₇- 0.01 գործակից, որը հաշվի է առնում մթնոլորտ տարվող փոշու մասը,

n - 2, երթերի թիվը

L – 0.5 կմ, մեկ երթի հեռավորությունը,

N – 1, մեքենաների քանակը,

q₁- 1450գ, 1կմ վազանցի ժամանակ փոշու գոյացումն է,

q₂ – 0.004գ/մ², թափքի մակերեսի 1 միավորից փոշու գոյացումն է,

F – 12մ², մեքենայի թափքի մակերեսը:

$$Q_{1թ} = \frac{1.3 \times 2.0 \times 1.0 \times 0.8 \times 0.01 \times 2 \times 0.5 \times 1450}{3600} + 1.4 \times 1.5 \times 0.8 \times 0.004 \times 12 \times 20/3600$$

$$Q_{1թ} = 0.0089 \text{ գ/վ}$$

Լցակույտերից առաջացած փոշու հաշվարկը

Լցակույտի բաց մակերևույթից փոշու արտանետումը որոշվում է «Сборник методики по расчету выбросов в атмосферу загрязняющих веществ различными производствами». Гидрометеоиздат, 1986г.

Լցակույտերից առաջացող փոշու քանակը կհաշվվի հետևյալ բանաձևով՝

$$Q_2 = S \cdot W \cdot q, \text{ գ/վ,}$$

որտեղ, S – լցակույտի մակերեսն է, – 2200մ²

W- 0.000001 կգ/մ²վ, փոշու տեսակարար հոսքն է և հանքավայրի ջրհագեցվածությունը,

q – 10, լեռնային մասսայի մանրացման գործակիցն է:

$$Q_2 = 2200 \times 0.000001 \times 10 = 0.022 \text{ գ/վ,}$$

Փոշու քանակի հաշվարկը տաք եղանակին (4-5 ամիս) որոշվում է հետևյալ կերպ.

$$Q_{\text{տ.է.}} = \frac{Q_2 \cdot n \cdot N \cdot 3600}{1000000} = \frac{0.022 \times 24 \times 130 \times 3600}{1000000} = 0.25 \text{ տ/տարի}$$

որտեղ, Q₂– 0.022 գ/վ, լցակույտերից առաջացած փոշու քանակն է,

n – 24 ժ, 1 օրում ժամերի քանակն է,

N - 130 օր, օրերի քանակն է:

Բարձրման աշխատանքների ժամանակ առաջացող փոշու հաշվարկը

Բարձրման աշխատանքների ժամանակ առաջացող փոշին հաշվարկվում է հետևյալ բանաձևով՝

$$Q_{3թ} = \frac{P_1 \times P_2 \times P_3 \times P_4 \times P_5 \times C \times B_1 \times 10^6}{3600}, \text{ գ/վ}$$

P₁ – 0.05, քարում փոշու ֆրակցիայի մասնիկն է;

P₂– 0.02 ամբողջ փոշուց աերոզոլ թռչող փոշու մասն է 0.5 մկմ չափերով;

P_3 - 1.2 գործակից է , որը հաշվի է առնում քամու արագությունը աշխատանքային հրապարակում;

P_4 - 0.06 գործակից է, որը հաշվի է առնում հանքաքարի խոնավությունը;

P_5 - 0.1 գործակից է, որը հաշվի է առնում հանքաքարի չափերը;

C - էքսկավատորի 1 ժամում կատարած աշխատանքն է բարձելու ժամանակ;

B_1 - 0.7 գործակից է , որը հաշվի է առնում ապարների թափվելը:

$$0.05 \times 0.02 \times 1.2 \times 0.06 \times 0.1 \times 0.7 \times 55.56 \times 10^6$$

$$Q_{3p} = \frac{\text{-----}}{3600} = 0.0778 \text{ q/վ}$$

Ավտոմեքենայի բեռնաթափում

Մեքենայի բեռնաթափման ժամանակ առաջանում է փոշի, որի քանակը կարելի է հաշվել հետևյալ բանաձևով`

$$Q_5 = \frac{k_1 \times k_2 \times k_3 \times k_4 \times k_5 \times k_6 \times B \times C_1 \times 10^6}{3600}, \text{ q/վ}$$

k_1 = 0.05 - փոշու ֆրակցիայի մասնիկի քաշն է

k_2 = 0.02 - ամբողջ փոշուց աերոզոլ գնացող փոշու մասնիկն է

k_3 = 1.2 գործակից է , որը հաշվի է առնում քամու արագությունը աշխատանքային հրապարակում

k_4 = 1.0 գործակից է , որը հաշվի է առնում փոշեառաջացման պայմանները

k_5 = 0.06 գործակից է, որը հաշվի է առնում ապարների խոնավությունը

k_6 = 0.1, որը հաշվի է առնում ապարների չափերը

B = 1.1 գործակից է, որը հաշվի է առնում լցակույտի բարձրությունը

C_1 - տեղափոխվող քանակը, տ/ժամ

Լցակույտը լցնելիս`

$$0.05 \times 0.02 \times 1.2 \times 1.0 \times 0.06 \times 0.1 \times 1.1 \times 5.33 \times 10^6$$

$$Q_{5u} = \frac{\text{-----}}{3600} = 0.0117 \text{ q/վ}$$

Հորատման աշխատանքների ժամանակ առաջացած փոշին կլինի`

$$Q_4 = \frac{n \times Z \times (1 - k)}{3600} = \frac{7 \times 360 \times (1 - 0.6)}{3600} = 0.28 \text{ q/վ}$$

n-ը միաժամամնակ աշխատող մեխանիզմների թիվն է;

k- փոշենստեցման գործակից է , հորատման մուրճի համար՝ 0.6;

Z- ը փոշու առաջացումն է հորատման մուրճի աշխատանքի ժամանակ՝ 360q/ժամ;

Բուլդոզերային աշխատանքից առաջացած փոշու քանակը որոշվում է համաձայն նշված մեթոդական ձեռնարկի աղյուսակ 14-ից, որտեղ տրված է, որ չոր ապարների վրա բուլդոզերային աշխատանքների ժամանակ փոշեառաջացումը կազմում է 900գր/ժամ: Հաշվի առնելով արդյունահանվող ապարների ծավալը, բուլդոզերի անընդհատ աշխատանքի տևողությունը հերթափոխում վերցնելով 3ժամ կատանանք փոշու քանակը՝ $Q_6 = 900 \times 2 = 1800$ գ/ժամ, կամ $1800:3600=0.5$ q/վ:

$$Q = \left(\frac{(Q_1 + Q_2 + Q_{3p} + Q_{5u1} + Q_{5u2}) \times 3600 \times 8 \times 260}{1000000} + \frac{(Q_4 + Q_6) \times 8 \times 3600 \times 260}{1000000} + Q_{\text{տե.}} \right) \times 0.7$$

0.7- պայքարը փոշու դեմ հաշվի առնող գործակից է՝

$$Q = \left(\frac{(0.0089 + 0.022 + 0.0778 + 0.0117) \times 3600 \times 8 \times 260}{1000000} + \frac{(0.28 + 0.5) \times 8 \times 3600 \times 260}{1000000} + 0.25 \right) \times 0.7$$

$$Q = 4.74 \text{ տ/տարի}$$

Օղի աղտոտում

Օղի աղտոտումը կատարվում է կազմակերպված կամ անկազմակերպ արտանետումներով: Ստուգումներով որոշվում է աղտոտող նյութի կոնցենտրացիան C_i և ծավալը V_i , այնուհետև որոշվում է արտանետվող նյութի քանակը 1 վարկյանում հետևյալ բանաձևով.

$$m_i = C_i \times V_i$$

m_i - արտանետվող նյութի քանակը հաշված գ/վ, գ/տարի

C_i – միջին կոնցենտրացիան գ/մ³

V_i – ծավալը մ³/օր, մ³/տարի

Օդային ավազանի մաքսիմալ մակերևութային կոնցենտրացիան, որն առաջանում է ոչ բարենպաստ կլիմայական պայմաններից, որոշվում է.

$$C_{\max} = \frac{AMFm\eta}{H^2} \sqrt{\frac{N}{V_1 \nabla T}}$$

m -արտանետվող նյութի տեսակարար քանակն է

$$m = \frac{1}{\omega^2 D} \frac{0.67+0.1 I/ f+0.34 I/ f}{H^2 \nabla T}$$

$f = 1000 \frac{4 \times 0.11}{4 \times 40} = 2.8$

$$m = \frac{1}{0.67+0.1 I/ 2.8 +0.34 I/ 2.8} = 0.076$$

$$n = 0.532V^2 - 2.13V + 3.13 = 0.532 \times 0.51 - 2.13 \times 0.51 + 3.13 = 2.315$$

ածխածնի օքսիդի համար`

$$M_1 = \frac{3600m_1}{\Pi} = \frac{3600 \times 0.1}{55.56} = 0.000007 \text{ մգ/լ}$$

ազոտի երկօքսիդի համար`

$$M_2 = \frac{3600 m_1}{\Pi} = \frac{3600 \times 0.03}{55.56} = 0.000002 \text{ մգ/լ}$$

մրի համար`

$$M_3 = \frac{3600 m_1}{\Pi} = \frac{3600 \times 15.5}{55.56} = 0.001 \text{ մգ/լ}$$

կ- կատարվող աշխատանքների ծավալը 1 ժամում

M₁ -ը ածխածնի օքսիդի համար

M₂-ը ազոտի երկօքսիդի համար

M₃-ը մրի համար

ածխածնի օքսիդի համար

$$C_{\max} = \frac{200 \times 0.000007 \times 1.0 \times 0.076 \times 2.315}{4} \times \sqrt{\frac{4}{0.51 \times 40}} = 0.000036$$

ագոտի երկօքսիդի համար`

$$C_{max} = \frac{200 \times 0.000002 \times 1.0 \times 0.076 \times 2.315}{4} \times \sqrt{\frac{4}{0.51 \times 40}} = 0.00001$$

մրի համար

$$C_{max} = \frac{200 \times 0.001 \times 1.0 \times 0.076 \times 2.315}{4} \times \sqrt{\frac{4}{0.51 \times 40}} = 0.0051$$

X_m - հեռավորությունը աղբյուրից ոչ բարենպաստ օդերևույթաբանական պայմաններում, որի ժամանակ C_m -ը հասնում է առավելագույնի որոշվում է`

$$X_m = \frac{5 - F}{4} d H; \quad F = 1$$

d –անչափության գործակից է, որոշվում է

$$d = 4.95 V (1 + 0.28 \sqrt{f}), \text{ երբ } 0.5 < V \leq 2$$

$$d = 4.95 \times 0.51 \times (1 + 0.28 \sqrt{2.8}) = 2.81 \text{մ}$$

$$X_m = \frac{5 - 1}{4} \times 2.81 \times 2 = 5.63 \text{մ}$$

Ծմբային անհիդրիդ

Ծմբային անհիդրիդի (SO_2) արտանետումները հաշվարկվում են ելնելով այն մոտեցումից, որ վառելիքում պարունակվող ամբողջ ծծումբը լիովին վերածվում է SO_2 -ի: Այդ դեպքում կիրառվում է CORINAIR գույքագրման համակարգի բանաձևը.

$$E_{SO_2} = 2 \sum k_s b, \text{ որտեղ`}$$

k_s -ը վառելիքում ծծմբի միջին պարունակությունն է` 0.002 տ/տարի

b –ն վառելիքի ծախսն է` 68տ/տարի

$$SO_2 = 2 \times 68 \times 0.002 = 0.272 \text{տ/տարի կամ } 0.036 \text{գ/վ:}$$

Համեմատելով արտանետվող փոշու և գազերի փաստացի սահմանային թույլատրելի խտությունները (ածխածնի օքսիդի համար` 5մգ/մ³, ագոտի երկօքսիդի համար` 0.085մգ/մ³, մրի համար` 0.15մգ/մ³) կարելի է փաստել, որ արտանետումները գտնվում են թույլատրելի սահմաններում, կոնցենտրացիաների գերազանցումներ չկան:

5.2. Ջրային ավազան.

Բացահանքի շահագործման ընթացքում ստորգետնյա ջրային ռեսուրսների վրա ազդեցություններ գրեթե չեն դրսևորվելու, քանի որ հանքավայրում գրունտային ջրերի հորիզոններ չկան:

Բացահանքի տեխնիկական ջրամատակարարումը ուղղվում է փոշենստեցում կատարելու համար: Համաձայն նորմատիվների ջրի ծախսը 1մ^2 տարածքում փոշին նստեցնելու համար կազմում է $0.5\text{լիտր}/\text{մ}^2$: Փոշենստեցման մակերեսները կազմում են բացահանքում աշխատանքային հրապարակը 1400մ^2 , լցակույտերի վրա 2200մ^2 , և ավտոճանապարհների վրա 1040մ^2 , ընդամենը 5400մ^2 : Ընդունելով ջրի տեսակարար ծախսը $0.5\text{լ}/\text{մ}^2$, կստանանք.

$$4640 \times 0.5 = 2320 \text{ լիտր}$$

Նախատեսվում է 1 ջրող ավտոմեքենա 5տ ջրի տարողությամբ, որը այդ ջուրը ցնցուղում է 2 երթով, աշխատանքային հրապարակը և ավտոճանապարհները կարող է ջրել 2-3 անգամ:

Որպես տեխնիկական ջրի աղբյուր դիտարկվում է Տաշիր գետ: Տեխնիկական ջրատ կատարելու համար ընկերությունը նախատեսում է դիմել ՀՀ շրջակա միջավայրի նախարարություն և ստանալ ջրօգտագործման թույլտվություն՝ ՀՀ ջրային օրենսգրքի պահանջներին համապատասխան (ընդերքօգտագործման իրավունքը ստանալուց հետո):

Բացի տեխնիկական ջրի ջրառից մակերևութային ջրային ռեսուրսների վրա այլ ազդեցություններ չեն նախատեսվում:

Աշխատողներին խմելու և կենցաղային նպատակներով ջրածախսը հաշվարկվում է հետևյալ արտահայտությունով՝

$$W = (n \times N + n1 \times N1) T$$

որտեղ՝ n - ԻՏ և գրասենյակային աշխատողների թիվն է - 3,

N - ԻՏՍՍ և գրասենյակային աշխատողների ջրածախսի նորման՝ - 0.016մ^3 ,

$n1$ - բանվորների թիվն է - 16,

$N1$ - ջրածախսի նորման՝ - $0.025\text{մ}^3/\text{մարդ օր}$

T - աշխատանքային օրերի թիվն է - 260օր:

Այսպիսով՝ $W = (3 \times 0.016 + 16 \times 0.025) 260 = 116.48 \text{մ}^3/\text{տարի}$, միջին օրեկան 0.398մ^3 :

Խմելու և կենցաղային նպատակներով անհրաժեշտ ջուրը գնվելու է շշալցված տարբերակով Տաշիր բնակավայրի առևտրի կետերից:

Կենցաղային կեղտաջրերը նախատեսվում է կուտակել նախապես կառուցված, բետոնապատ անթափանց ջրհորի մեջ: 0.38մ^3 օրեկան ծավալով կենցաղային կեղտաջրերը կուտակվելու են անջրաթափանց բետոնապատ հորում:

Հողային ծածկույթ.

Խախտված հողատարածքներ ձևավորվելու են բացահանքի և արտադրական տարածքի սահմաններում՝ համապատասխանաբար 92000մ^2 և 250մ^2 տարածքում, ընդհանուր՝ 92250մ^2 :

Լցակույտը կազմակերպվում է բացահանքի մշակված տարածությունում, լրացուցիչ հողերի օտարում չի կատարվելու :

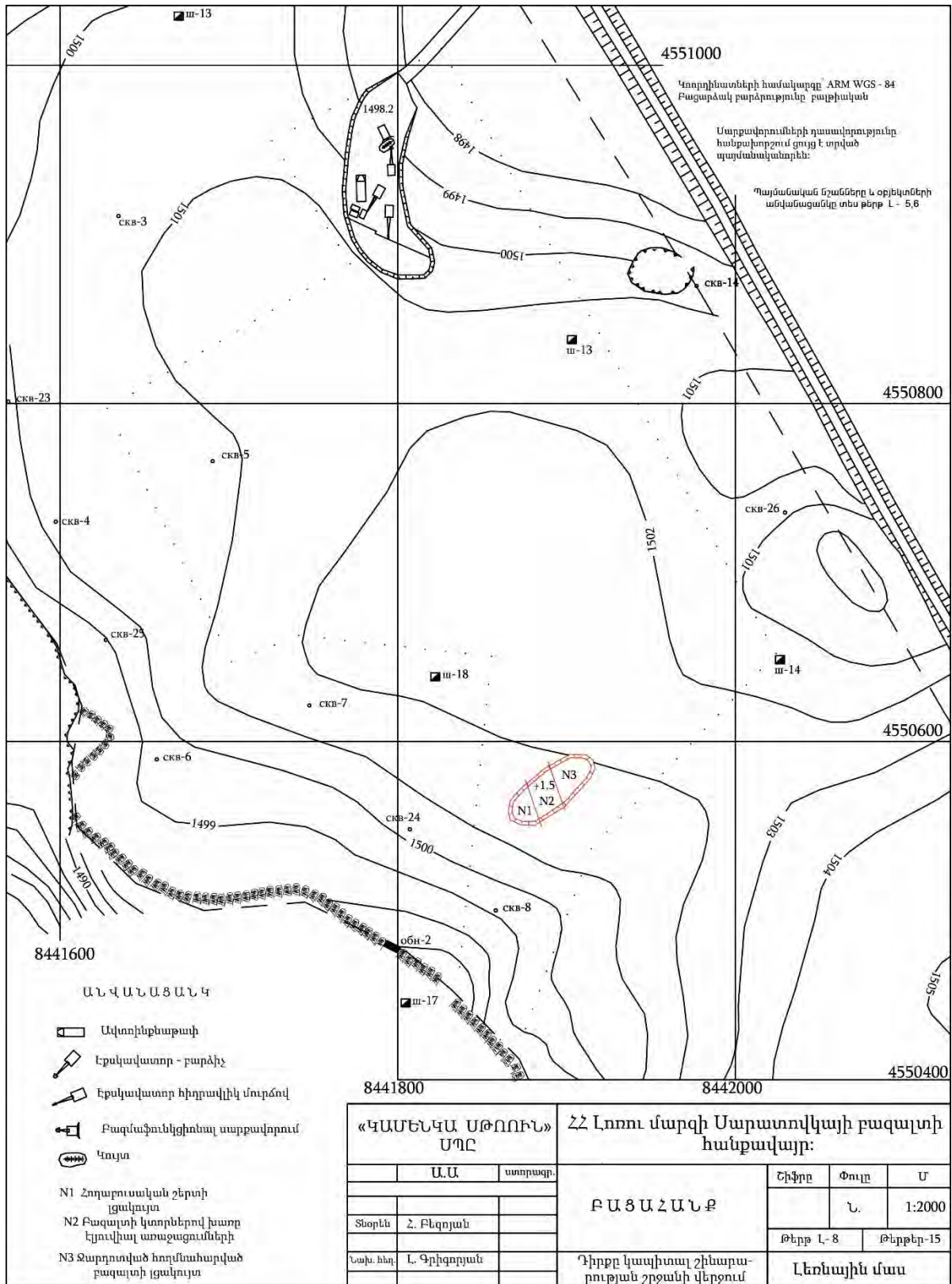
Հանքավայրի տարածքում զարգացած տարավազված սևահողերի հզորությունը կազմում են առավելագույնը 0.5մ : Հողաբուսական շերտը լեռնակապիտալ աշխատանքների փուլում հեռացվելու է բացահանքի տարածքից և կուտակվելու է ներքին լցակույտում՝ այլ մակաբացման ապարների և արդյունահանման թափոնների լցակույտերից տարանջատված (նկար 14-ում ներկայացված է աշխատանքային նախագծի գծագիր 8-ը) :

Որպես հնարավոր ազդեցություն դիտարկվում է նաև արտադրական հրապարակի տարածքի աղտոտումը նավթամթերներով:

Բուսական և կենդանական աշխարհ.

Բազալտի արդյունահանման աշխատանքների բացասական ազդեցությունը հանքավայրի տարածաշրջանի բուսական և կենդանական աշխարհի վրա աննշան է, քանի որ ընդհանուր առմամբ տարածաշրջանը հանդիսանում է տնտեսապես յուրացված գոտի: Սարատովկայի բազալտի հանքավայրի առանձին հատվածքներ նախկինում շահագործվել են տարբեր ընկերությունների կողմից: Ներկայումս հարակից տարածքներում շահագործական աշխատանքներ է իրականացնում «Հայքար» ԱԿ (ՇԱԹ-29/615, 20.01.2020թ.), իսկ Սարատովկայի

հանքավայրի Հարավ-արևելյան տեղամասը՝ «Հու2» ՍՊԸ կողմից (ՇԱԹՎ-29/337, 22.11.2012թ.):



Նկար 14.

Հայցվող տարածքի և «Հայքար» ԱԿ, «Հուշ» ՍՊ ընկերության կողմից շահագործվող տեղամասերի, ինչպես նաև նախկինում հանքավայրի տարածքում կատարված արդյունահանման աշխատանքների արդյունքում խախտված տարածքների տեղադիրքը ներկայացված է նկար 15-ում:



Նկար 15.

Հայցվող տարածքի սահմաններում դիտարկվել է մարգագետնաստափաստանային բուսականություն, որը ներկայացված է ՀՀ տարածքում լայն տարածքում ունեցող ֆոնային բուսատեսակներով:

Անտառապատ տարածքներ Սարատովկայի հանքավայրի Հարավ-արևելյան տեղամասի սահմաններում չկան:

Կենդանիների համար բացահանքում և լցակայանում կատարվելիք աշխատանքները, դրանց հետ կապված աղմուկն ու թրթռումները հանդիսանալու են անհանգստացնող գործոն: Կանխատեսվում է կենդանիների միգրացիա արդյունահանման նպատակով հայցվող տարածքից՝ բնական ապրելավայրերի/լանդշաֆտների փոփոխության պատճառով:

Հայցվող տարածքում ՀՀ բույսերի և կենդանիների կարմիր գրքերում գրանցված տեսակներ չեն դիտարկվել:

Բնության հատուկ պահպանվող տարածքներ

Տեղամասի և հարակից տարածքները չեն հանդիսանում բնության հատուկ պահպանվող տարածք: «Արփի լիճ» ազգային պարկը գտնվում է հայցվող տեղամասից մոտ 30կմ, «Գյուլագարակ» պետական արգելավայրը՝ մոտ 11կմ դեպի հեռավորության վրա:

Բնության հուշարձանները գտնվում են հանցվող տարածքից 13-ից 42կմ հեռավորությունների վրա:

Հետևաբար, որևէ ազդեցություն բնության հատուկ պահպանվող տարածքների վրա չի դրսևորվելու:

Պատմամշակութային հուշարձաններ

ՀՀ կառավարության 2004 թվականի հունվարի 29-ի N49-Ն որոշմամբ հաստատվել է Լոռու մարզի պատմության և մշակույթի անշարժ հուշարձանների, իսկ 2007 թվականի N385-Ն որոշմամբ՝ պետական սեփականություն համարվող և օտարման ոչ ենթակա պատմության և մշակույթի անշարժ հուշարձանների պետական ցուցակները:

Տաշիր բնակավայրի պատմամշակութային անշարժ հուշարձաններից հայցվող տարածքը գտնվում է 3.4-4.5կմ հեռավորությունների վրա:

Հետևաբար, որևիցե ազդեցություն պատմամշակութային ժառանգության օբյեկտների վրա հանքավայրի շահագործումը չի ունենալու :

Թափոնների առաջացում

Բացահանքի շինարարության, լեռնակապիտալ աշխատանքների ժամանակ հեռացվելու են օգտակար հաստվածքը ծածկող հողաբուսական շերտը 0.3մ հզորությամբ՝ 29200մ³ ծավալով, էյուվիալ-դեյուվիալ նստվածքները (կոտրոված բազալտների, պորֆիրիտների, տուֆերի բեկորներ պարունակող ավազակավեր) 0.11մ հզորությամբ և 10700մ³ ծավալով, ինչպես նաև ջարդոտված հողմնահարված բազալտները՝ 1.11մ հզորությամբ և 108000մ³ ծավալով:

Մակաբացման ժամանակ հեռացվող 29200մ³ ծավալով հողաբուսական շերտը ընդերքօգտագործման թափոն չի հանդիսանում, քանի որ համաձայն ՀՀ հողային օրենսգրքի և ՀՀ կառավարության 08.09.2011թ.-ի թիվ 1396-Ն որոշման.

- հողերի բերրի շերտը օգտագործվում է հողերի բարելավման, կանաչապատման, ռեկուլտիվացման նպատակներով,

- հողերի պահպանության նպատակով՝ հողերի խախտման հետ կապված աշխատանքներ կատարելիս հողի բերրի շերտի հանվում և պահպանվում է,

- բերրի շերտը հանելու, պահեստավորելու և պահպանելու ընթացքում ձեռնարկվում են միջոցներ, որոնք բացառում են դրա որակական հատկանիշների վատթարացումը:

Փուշտա շերտի ջարդոտված հողմնահարված բազալտները և արտադրական թափոնները ներկայումս նախատեսվում է պահեստավորել լցակույտերում: Հետագայում նախատեսվում է դրանք վերամշակվել և օգագործվել որպես լցանյութ 100-150 մակնիշի բետոնների ստացման համար: Վերամշակման գործընթացը նախաձեռնելու դեպքում ՀՀ օրենսդրությամբ սահմանված կարգով կկազմվեն համապատասխան փաստաթղթերը և կներկայացվեն ՀՀ շրջակա միջավայրի նախարարություն: Փաստացի ընդերքօգտագործման թափոններ հանդիսանում են էյուվիալ-դեյուվիալ նստվածքները, որոնք ներկայացված են կոտրված բազալտների, պորֆիրիտների բեկորներ պարունակող ավազակավերով: Այս առաջացումների հզորությունը կազմում է 0.11մ, ծավալը՝ 10700մ³: Համաձայն ՀՀ բնապահպանության նախարարի 2006 թվականի հոկտեմբերի 26-ի N342-Ն և 2015 թվականի օգոստոսի 20-ի N244-Ն հրամանների՝ բաց եղանակով օգտակար հանածոների արդյունահանումից առաջացած մակաբացման ապարները հաշվառվել են 34000100 01 00 0 ծածկագրով (փխրուն մակաբացման ապարներ՝ 34000120 01 99 5): Դրանք դասվել են վտանգավորության 5-րդ դասին, այսինքն՝ ոչ վտանգավոր ընդերքօգտագործման թափոններ են:

Բազալտների արդյունահանման տեխնոլոգիական գործընթացի հետ կապված ձևավորվում են մի շարք արտադրական թափոններ, այդ թվում.

Աղյուսակ 27.

| Հ/Հ | Թափոնի անուն | Ծածկագիր | Քանակ | Քիմիական կազմ |
|-----|-------------------------------------|---------------------|------------|--|
| 1 | 2 | 3 | 4 | 5 |
| 1. | Բանեցված կապարե կուտակիչներ և խոտան | 92110100 13 01 2 | 2 հատ/տարի | կապարե թիթեղներ 70-75%, պլաստմասե իրան 10-13%, էլեկտրոլիտ 15-20% |

| 1 | 2 | 3 | 4 | 5 |
|----|-------------------------------|------------------|--------------|---|
| 2. | Բանեցված կոմպրետորային յուղեր | 54100211 02 03 3 | Մոտ 20լ/տարի | յուղ 94.5%, մեխանիկական խառնուրդներ 2.5%, ջուր 3% |
| 3. | Բանեցված տրանսմիսիոն յուղեր | 54100206 02 03 3 | Մոտ 15լ/տարի | յուղ 97.2%, մեխանիկական խառնուրդներ 2.8% |
| 4. | Բանեցված դիզելային յուղեր | 54100203 02 03 3 | Մոտ 15լ/տարի | յուղ 95.0%, մեխանիկական խառնուրդներ 1.8%, ջուր 3.2% |
| 5. | Բանեցված օդաճնշիչ դողեր | 57500200 13 00 4 | 4 հատ/տարի | բութադիենային կաուչուկ 97-99%, պողատ 1-3% |
| 6. | Յուղոտված լաթեր | 58200600 01 01 4 | Մոտ 8կգ/տարի | գործվածք 81-84%, յուղ 10-14%, ջուր 3-6% |

Հանքի տարածքում առաջանալու է չտեսակավորված կենցաղային աղբ տարեկան մոտ 20տ ծավալով: Ծածկագիրը՝ 91200400 01 00 4: Կազմը՝ ապակի, փայտ, թուղթ, կտոր, սննդի մնացորդներ, պոլիմերներ: Հրդեհապայթյունավտանգ չէ, կոռոզիոն ակտիվության տեսակետից պասիվ է, ռեակցիոնունակ չէ: Թափոնը փոխադրվելու է մոտակա աղբավայր, աղբահանության նպատակով կնքվելու է համապատասխան պայմանագիր, վճարումը կատարվելու է ըստ պայմանագրի և «Աղբահանության և սանիտարական մաքրման մասին» Հայաստանի Հանրապետության օրենքի պահանջներին համապատասխան:

Աղմուկ, թրթռումներ

Աշխատանքների ժամանակ աղմուկի և թրթռումների վերահսկողություն : Համաձայն գործող նորմատիվ փաստաթղթերի, արտադրական կազմակերպությունների մշտական աշխատատեղերով տարածքներում աղմուկի (ձայնի) առավելագույն մակարդակը չպետք է գերազանցի 95դԲԱ, իսկ արտադրական կազմակերպությունների մշտական աշխատատեղերում ձայնի մակարդակը չպետք է գերազանցի 80դԲԱ:

Աղմուկի ազդեցությունը ազդակիր բնակավայրում գնահատելու նպատակով կատարվել են հետևյալ հաշվարկները:

Հայցվող տարածքում գումարային հաշվարկային ձայնային բնութագիրը՝ LAէկվ ընդունված է 70դԲԱ:

Աղմուկի մակարդակը աղմուկից պաշտպանող տարածքի հաշվարկային կետում որոշվում է՝

$LA_{տար} = LA_{էկվ} - \Delta LA_{հեռ} - \Delta LA_{էկր} - \Delta LA_{կանաչ}$ բանաձևով, որտեղ՝

LAէկվ - աղմուկի աղբյուրի ձայնային բնութագիրը, LAէկվ=65դԲԱ,

$\Delta LA_{հեռ}$ - աղմուկի մակարդակի նվազումը հաշվարկային կետի և աղմուկի աղբյուրի միջև հեռավորությունից կախված, $\Delta LA_{հեռ}$ կազմում է 20դԲԱ,

$\Delta LA_{էկր}$ - աղմուկի մակարդակի նվազումը էկրանով (բացահանքի տարածք), $\Delta LA_{էկր} = 10$ դԲԱ,

$\Delta LA_{կանաչ}$ - աղմուկի մակարդակի նվազումը կանաչ գոտիով, $\Delta LA_{կանաչ} = 10$ դԲԱ:

Աղմուկի մակարդակը Տաշիր քաղաքի արվարձաններում կկազմի՝

$La_{տար} = LA_{էկվ} - \Delta LA_{հեռ} - \Delta LA_{էկր} - \Delta LA_{կանաչ} = 70 - 20 - 10 - 10 = 30$ դԲԱ (նորման 45դԲԱ):

Հանքահանման տեխնոլոգիական գործընթացների հետ կապված առաջանալու է առաջին կարգի տրանսպորտային թրթռում (վիբրացիա), որը կապված է տեղաշարժվող ինքնագնաց և կցորդային մեքենաների, տրանսպորտային միջոցների աշխատանքի հետ: Համաձայն նորմատիվային փաստաթղթերի թոթրումների սահմանային թույլատրելի մակարդակը Z առանցքով չպետք է գերազանցի 115դԲԱ: Հիմք ընդունելով կիրառվող տեխնիկական միջոցների բնութագրերը՝ հանքի տարածքում թրթռումների մակարդակը կկազմի շուրջ 80դԲԱ, Տաշիր քաղաքի արվարձաններում՝ ոչ ավել քան 25դԲԱ:

Սանիտարական պահպանության գոտի

Համաձայն 245-71 սանիտարական նորմերի՝ առանց պայթեցման աշխատանքների շինարարական նյութերի արդյունահանման ձեռնարկությունների համար սահմանված է 50մ:

ձեռավորությունը Սարատովկայի բազալտի հանքավայրից հայցվող տարածքից մինչև Տաշիր քաղաքի բնակելի շինությունները՝ 690մ, Մ-3 ճանապարհի վրա գործող

հասարակական նշանակության համալիրը՝ սննդի օբյեկտ, հյուրանոց, կայանատեղին՝ 565մ:

Հայցվող տարածքից մինչև մոտակա բնակավայրերի բնակելի և հասարակական շինությունները գոյություն ունեցող հեռավորությունը գերազանցում է սանիտարական նորմերով սահմանված 50մ սանիտարական պահպանության գոտին 13.8 անգամ: Հայցվող տարածքում առանձին սանիտարական գոտու սահմանում և պահպանում պահանջող օբյեկտներ (օրինակ՝ խմելու ջրի աղբյուրներ) չկան:

Հետևաբար, 245-71 սանիտարական նորմերով նախատեսված պահանջները ապահովված են:

Սոցիալական ազդեցություն

Սարատովկայի բազալտի հանքավայրի Հարավ-արևելյան տեղամասի հաշվարկային բլոկների արդյունահանման ընթացքում վերաբնակեցման կամ տարաբնակեցման որևէ հարց չի առաջանալու: Ստեղծվելու է 16 նոր աշխատատեղ, միջինը 180.0հազ.դրամ աշխատավարձով: Ընկերության նորագույն տեխնիկական միջոցներով արդյունավետ աշխատանք ապահովելու նպատակով նախատեսվել է աշխատուժի վերապատրաստման հնարավորության մասին:

Հանքավայրի շահագործումը և դրան ներգրավված աշխատուժի սպասարկման նպատակով կստեղծվեն սպառման և առևտրի նոր շղթաներ, կխթանվի հարակից Տաշիր քաղաքի սահմաններում գործող առևտրային կետերի, գյուղ.մթերքների վաճառք իրականացնող անհատական տնտեսությունների աշխատանքը:

Գումարային ազդեցության գնահատական

Ինչպես արդեն նշվել է «Կամենկա Սթոուն» ՍՊ ընկերության կողմից հայցվող Սարատովկայի բազալտի հանքավայրի տարածքը շահագործվում է նաև «Հայքար» ԱԿ կողմից երկու բացահանքերով (ՇԱԹ-29/615, 01.01.2020թ.), իսկ հանքավայրի հարավ-արևելյան տեղամասը՝ «Հուշ» ՍՊԸ կողմից (ՇԱԹ-Վ-29/337, 22.11.2012թ.):

Հաշվի առնելով գործող բացահանքերի տարեկան արտադրողականությունը, արտանետումների փոքր ծավալը, ինչը գտնվում է թույլատրելի չափաքանակների

սահմաններում, կարող ենք փաստել, որ գումարային ազդեցություն դրսևորվելու է հիմնականում հողաբուսական ծածկույթի վրա:

Բազալտի արդյունահանման արդյունքում հողաբուսական ծածկույթի վրա ազդեցություն է դրսևորվելու գումարային 17.39հա տարածքում, որից մոտ 9.3հա-ը «Կամենկա Սթոուն» ՍՊԸ բացահանքի օտարման մակերեսն է, 4.37հա-ը՝ «Հուշ» ՍՊ ընկերությանը ՇԱԹՎ-29/337 թույլտվությամբ հատկացված ընդերքի տեղամասն է և 3.29հա-ը՝ «Հայքար» ԱԿ-ին ՇԱԹ-29/615 թույլտվությամբ հատկացված ընդերքի տեղամասերի մակերեսն է: Դրսևորվող ուղղակի ազդեցությունը պայմանավորված է լինելու լեռնակապիտալ և արդյունահանման աշխատանքների ժամանակ հողի բերրի շերտի հեռացմամբ և պահեստավորմամբ լցակույտերում:

17.39հա մակերեսով տարածքում (գումարային «Կամենկա Սթոուն» ՍՊԸ, «Հուշ» ՍՊԸ և «Հայքար» ԱԿ հատկացված տարածքներ) կատարվելու է մարգագետնատափաստանային տարախոտային-տարախոտահացազգային տեսակներով ներկայացված բուսածածկի խախտում:

6. ՀԱԿԱՎԹԱՐԱՑՒՄ ԵՎ ՄԻՋՈՑԱՌՈՒՄՆԵՐ

Բացահանքում բոլոր աշխատանքներն իրականացվելու են հաշվի առնելով «Բաց եղանակով օգտակար հանածոների հանքավայրի մշակման անվտանգության միասնական կանոններ»-ի պահանջները:

Վթարներից խուսափելու համար անհրաժեշտ հիմնական պայմանները թվարկված են ստորև՝

- մուտքը բացահանքի տարածք իրականացվում է ձեռնարկության ղեկավարության կողմից տրված անցագրերով;
- բացահանքի շինությունների վրա, մարդկանց կուտակման վայրերում և շարժման երթուղիներում պետք է փակցվեն տեխնիկական անվտանգությանը վերաբերող ցուցադրական միջոցներ: Դրանք են համապատասխան ցուցանակները, նշանները, պլակատները, թույլատրող և արգելող նախազգուշական ազդագրերը, որոնց նշանակությանը պետք է ծանոթ լինեն բացահանքի բոլոր աշխատողները;
- լեռնատրանսպորտային սարքավորումները տեղադրվում են մշակված տարածքների և նստվածքների վերին եզրից ավելի քան 3-4մ հեռավորության վրա, փլուզման գոտու սահմաններից դուրս և որմնակապվում;
- հրդեհամարման համար ջրի ռեզերվուարում պահվում է 100մ³ ծավալով մշտական ջրի պաշար ;
- փոխաբեռնման կետերը, որոնցում որպես միջանկյալ օղակ օգտագործվում են էքսկավատորներ, պետք է բավարարեն հետևյալ պահանջները՝
 - 1) հանքազանգվածաշերտի բարձրությունը պետք է սահմանվի՝ ելնելով հանքազանգվածի ֆիզիկամեխանիկական հատկություններից, բայց ոչ ավելի էքսկավատորի շերտի մասն բարձրությունից.
 - 2) լցակույտի յուրաքանչյուր սեկտորի լցման ժամանակ հանքազանգվածաշերտի թեքման անկյունը պետք է համապատասխանի պահեստավորվող հանքազանգվածի բնական թեքման անկյանը;
- սեկտորում աշխատանքները պետք է կատարվեն համաձայն բացահանքի ղեկավարության կողմից հաստատված աշխատանքների կատարման

տեղեկաթերթիկի, իսկ տեղանքը նախատեսվում է կահավորել հատուկ նշաններով և ցուցատախտակներով;

- փոխաբեռնման կետի բեռնաթափման հրապարակների չափերը պետք է ապահովեն արտադրությամբ զբաղվող բոլոր մեքենաների և մեխանիզմների բնականոն և անվտանգ աշխատանքը՝ դրանց տեղաշարժման և ուղեւորանցման ժամանակ: Բեռնաթափման աշխատանքների կատարման ճակատի երկարությունը և բեռնաթափման հրապարակի լայնությունը պետք է որոշվեն՝ ելնելով տրանսպորտային միջոցների (ավտոմեքենաների, բուլդոզերների և այլն) եզրաչափերից, տեղաշարժման աշխատանքների կատարման ընդունված սխեմայից և շրջադարձի շառավղից՝ հաշվի առնելով բեռնաթափմանը կանգնած և սպասող տրանսպորտային միջոցի անհրաժեշտ անվտանգ հեռավորությունը, որը պետք է լինի 5 մ-ից ոչ պակաս;
- բեռնաթափման հրապարակում աշխատող ինքնաթափ մեքենայի և բուլդոզերների աշխատանքային գոտում կողմնակի մարդկանց գտնվելը կամ որևէ այլ աշխատանք կատարելն արգելվում է: Նրանք պետք է գտնվեն աշխատող մեխանիզմից 5 մ-ից ոչ պակաս հեռավորության վրա:

7. ԲՆԱՊԱՀՊԱՆԱԿԱՆ ԿԱՌԱՎԱՐՄԱՆ ՊԼԱՆԸ

Շրջակա միջավայրի բաղադրիչների վրա վնասակար ազդեցության մեղմացման/վերացման նպատակով նախատեսվում են հետևյալ բնապահպանական միջոցառումները.

- 7.1. Նավթամթերքների պահեստավորում և պահում արտադրական հրապարակում հատուկ հատկացված տեղում (բացօթյա կամ ծածկի տակ պահեստ), որին տրվում է համապատասխան թեքություն, որն ապահովում է թափված նավթամթերքների հոսքը դեպի այն հավաքող բետոնապատված փոսը: Կուտակված թափոնների պարբերական տեղափոխում վերամշակում իրականացնող կազմակերպությունների տարածք :
- 7.2. Թափոնների անձնագրերի կազմում և ներկայացում ՀՀ շրջակա միջավայրի նախարարություն :
- 7.3. Կենցաղային աղբի հավաքում հատուկ անթափանց տարողությունների մեջ, տեղափոխվում մոտակա կազմակերպված աղբավայր համաատասխան ծառայություն մատուցող կազմակերպության ուժերով՝ կնքված պայմանագրի հիման վրա:
- 7.4. Արտաթորվող թունավոր նյութերի չեզոքացուցիչ սարքերի տեղադրում :
- 7.5. Փոշենստեցման նպատակով արդյունահանման տեղամասի ջրում տարվա չոր և շոգ եղանակներին :
- 7.6. Կեղտաջրերի հավաքում անջրաթափանց բետոնապատ հորատից զուգարանում, որը պարբերաբար դատարկում է հատուկ ծառայության ուժերով: Աշխատանքների ավարտից հետո դատարկված փոսը կլցվի քարերով, տարածքը կհարթեցվի :
- 7.7. Արտադրական տարածքի կանաչապատում, որի ընթացքում օգտագործվելու է Տաշիրի տարածաշրջանին բնորոշ գաճաճ-թփուտային տեսակները:
- 7.8. Խախտված տարածքների ամբողջական ռեկուլտիվացիա, որը իրականացվելու է բացահանքի շահագործման ավարտից հետո: Հարթեցումը կկատարվի բացահանքի հատակի ողջ մակերեսով՝ 92000մ², ինչպես նաև արտադրական հրապարակը 250մ²: Ընդհանուր մակերեսը կլինի՝ 92250մ²:

Շահագործման 16-րդ տարվանից սկսած, բացահանքի հյուսիսային մասը մինչև հատակը մշակելով հետո հարավային մասում տեղափոխված մակաբացման ապարների լցակույտերը N1 և N2 աստիճանաբար կտեղափոխվեն հյուսիսային հատվածի 1494.7 և 1491.2մ բարձրությամբ մինչև հատակը արդյունահանված հանքաստիճանները կլցվեն 1.6մ բարձրությամբ և կհարթեցվեն: Սկզբում ներքին լցակույտեր կտեղափոխվի N2 լցակույտի ապարները, որի վրա կլցվի N1 հողաբուսական շերտը և կհարթեցվի: N3 լցակույտի ապարները հետագայում օգտագործվելու են խճի արտադրության համար: Մինչև շահագործման ավարտը կկատարվի 128200մ³ ծավալի մակաբացման ապարների տեղափոխում և հարթեցում: Մնացած 19700մ³, որն արդեն տեղափոխվել է 1494.7մ բարձրությամբ արդյունահանված տարածի վրա, կտեղափոխվեն շահագործման ավարտից հետո:

Բացահանքի մշակված տարածության լեռնատեխնիկական վերականգնման համար ծախսերի խոշորացված հաշվարկները բերված են ստորև:

Աղյուսակ 28.

Խախտված հողատարածքների վերականգնման ծախսերի խոշորացված հաշվարկները նյութերի ծախսի հաշվարկը

| Աշխատանքի անվանումը, օգտագործվող սարքավորումը | Ծախսվող նյութի անվանումը | Նյութերի ծախսերը, լ | Նյութերի արժեքները | |
|---|--------------------------|---------------------|----------------------|-----------------------------|
| | | | միավորի արժեքը, դրամ | ընդհանուր արժեքը, հազ. դրամ |
| Մակաբացման ապարների հարթեցում (բուլդոզերով) | դիզ. վառելիք | 630 | 420 | 264.6 |
| | դիզ. յուղ | 18 | 800 | 14.4 |
| | այլ քսուքներ | 16 | 800 | 12.8 |
| Ընդամենը | | | | 291.8 |

Աղյուսակ 29.

Աշխատավարձի ֆոնդի հաշվարկը

| Պաշտոնը կամ մասնագիտությունը | Աշխատանքի տևողությունը, ամիս | Քանակը | Ամսական աշխատավարձը, հազ. դրամ | Աշխատավարձի ֆոնդը, հազ. դրամ |
|------------------------------|------------------------------|--------|--------------------------------|------------------------------|
| Տեղամասի պետ | 0.5 | 1 | 150.0 | 75.0 |
| Բուլդոզերավար | 0.5 | 1 | 150.0 | 75.0 |
| Ընդամենը | 0.5 | 2 | 300 | 150.0 |

Ամորտիզացիոն ծախսերի հաշվարկը

| Մեխանիզմի անվանումը | Քանակը հատ | Հաշվեկշռային արժեքը, հազ. դրամ | Ամորտիզացիայի %-ը | Ամորտիզացիայի տարեկան գումարը, հազ.դրամ | Ամորտիզացիայի ամսական գումարը, հազ. դրամ | Ամորտիզացիայի ընդհանուր գումարը, հազ.դրամ |
|---------------------|------------|--------------------------------|-------------------|---|--|---|
| Բուլդոզեր | 1 | 4 200 | 10 | 420.0 | 35.0 | 17.5 |
| Ընդամենը | | | | | | 17.5 |

Շահագործման ծախսերի նախահաշիվ

| Ծախսերի հոդվածները | Նորմը % | Չափման միավորը | Գումարը հազ. դրամ |
|---|---------|----------------|-------------------|
| Նյութեր | - | հազ. դրամ | 291.8 |
| Աշխատավարձ | - | հազ. դրամ | 150.0 |
| Սոց. ապահովման փոխանցումներ | 25 | հազ. դրամ | 37.5 |
| Ամորտիզացիա | - | հազ. դրամ | 17.5 |
| Ընդամենը | | հազ. դրամ | 496.8 |
| Անուղղակի ծախսեր | 10 | հազ. դրամ | 49.7 |
| Ընդամենը | | հազ. դրամ | 546.5 |
| Չնախատեսված ծախսեր | 5.3 | հազ. դրամ | 29.0 |
| Ընդամենը | | հազ. դրամ | 575.5 |
| Շահութահարկ | 10 | հազ. դրամ | 57.6 |
| Ամողջը | | հազ. դրամ | 633.1 |
| 1մ ² մակերեսի վերականգնման աշխատանքների համար անհրաժեշտ ծախսը | - | դրամ | 6.67 |
| Վերականգնման աշխատանքների ծախսերը մարվող պաշարների 1մ ³ -ի վրա | - | դրամ | 0.76 |

Լեռնատեխնիկական ռեկուլտիվացիայից հետո իրականացվելու է կենսաբանական ռեկուլտիվացիա: Կենսաբանական ռեկուլտիվացիայի ընթացքում ներքին լցակույտում պահեստավորված հողաբուսական շերտը փոփոխվելու է 92000մ² մակերեսով հարթեցված տարածքում (բացահանքի հատակ), կատարվելու է համահարթեցում, պարարտացում Տաշիրի տարածաշրջանում շահագործվող Նովոսելցով-Սարատովկայի հանքավայրի օրգանական նյութերով հարուստ բնական

տորֆով և տարախոտային-տարախոտահացազգային բույսերի (երեքնուկներ, առվույտ, դաշտավլուկ, սիզախոտ, ոզնախոտ) սերմերի ցանք:

Աղյուսակ 32.

Կենսաբանական վերականգնման փուլի աշխատանքների նախահաշիվը

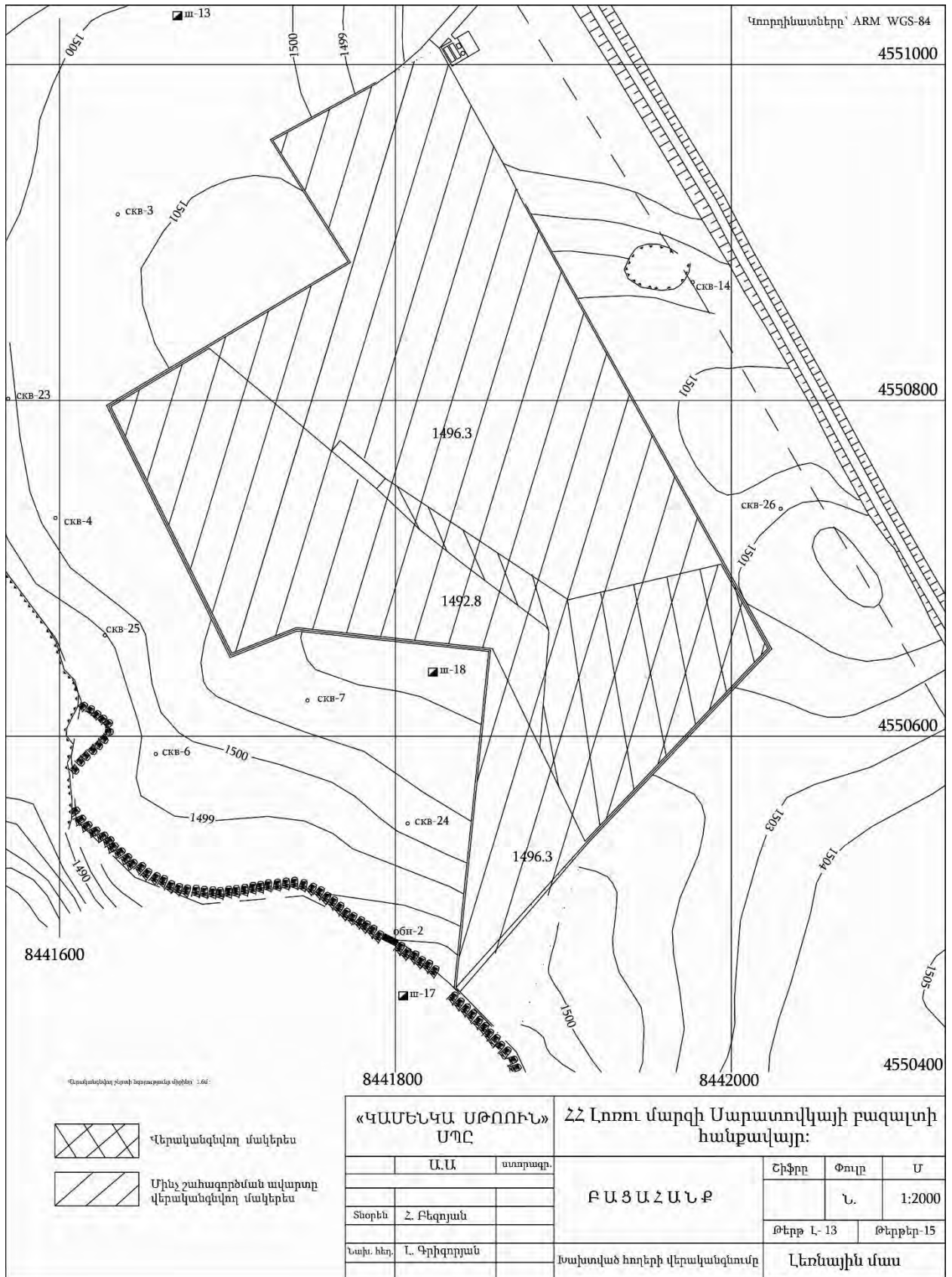
| Ծախսերի հոդվածները | Նորմը % | Չափման միավորը | Գումարը հազ. դրամ |
|--|---------|----------------|-------------------|
| 1 | 2 | 3 | 4 |
| Հողի բերրի շերտի տեղափոխում ժամանակավոր լցակույտից, փռում բացահանքի և արտադրական հրապարակի հարթեցված տարածքում | | հազ.դրամ | 250.0 |
| Բնական պարարտանյութերի ձեռքբերում (օրգանական նյութերով հարուստ տորֆային խառնուրդ) | | հազ.դրամ | 120.0 |
| Սերմերի ձեռքբերում | | հազ.դրամ | 50.0 |
| Արտահագուստ 2 մասնագետների համար | | հազ.դրամ | 80.0 |
| Տրանսպորտային ծախսեր | | հազ.դրամ | 35.0 |
| Մոնիթորինգ և բույսերի սերմերի կրկնակի ցանք | | հազ.դրամ | 285.0 |
| Ընդամենը | | հազ.դրամ | 820.0 |
| Չնախատեսված ծախսեր | 5.3 | հազ.դրամ | 43.46 |
| Ընդամենը | | հազ.դրամ | 863.46 |
| Շահութահարկ | 10 | | 86.35 |
| Ամբողջը | | հազ.դրամ | 946.81 |

Ամբողջ ռեկուլտիվացիայի արժեքը կկազմի 1582.91 հազ.դրամ:

Գումարը հատկացվելու է շրջակա միջավայրի պահպանության դրամազլխին ՀՀ կառավարության 21.10.2021թ.-ի N1733-Ն որոշմամբ սահմանված ընթացակարգով: Ռեկուլտիվացվող տարածքների տեղադիրքը ներկայացված է նկար 16-ում (աշխատանքային նախագծի գծագիր 13-ը) :

7.9. Հանքավայրի շահագործման աշխատանքների ավարտից 2 տարի առաջ, ՀՀ ընդերքի մասին օրենսգրքի պահանջներին համապատասխան, կկազմվի հանքի փակման վերջնական ծրագիրը, որտեղ կնկարագրվեն բացահանքերի, ավազի լվացման կայանով զբաղեցրած տարածքների և ճանապարհների լեռնատեխնիկական վերականգնման վերանայված, փաստացի վիճակին համապատասխանող աշխատանքները:

7.8. Թափոնների կառավարում:



Նկար 16.

7.9. Մեքենաների ներքին այրման շարժիչների կարգավորում :

7.10. Կուտակված հողաբուսական շերտի լցակույտի մակերեսին բազմամյա ճիւղ առաջացնող բույսերի ցանք :

7.11. Ըստ կիրառելիության ՀՀ կառավարության 31.07.2014թ.-ի N 781-Ն որոշման դրույթների ապահովում: Պահպանության ենթակա բուսատեսակների պոպուլյացիաների հայտնաբերման դեպքում նախատեսվում է.

- 1) առանձնացնել պահպանվող գոտիներ, որոնք ունեն տեղական նշանակություն և անհրաժեշտ են կարմիր գրքում գրանցված բուսատեսակների՝ սույն կետում նշված նոր պոպուլյացիաների կենսունակության ապահովման նպատակով,
- 2) ժամանակավորապես սահմանափակել առանձնացված պահպանվող գոտիներում տնտեսական գործունեության որոշ տեսակներ, եթե դրանք կարող են բերել նշված բուսատեսակների աճելավայրերի վիճակի վատթարացմանն ու պոպուլյացիաների կենսունակության խաթարմանը,
- 3) տեղափոխել պահպանվող բույսերի առանձնյակները տվյալ տեսակի համար նպաստավոր բնակլիմայական պայմաններ ունեցող որևէ բնության հատուկ պահպանվող տարածք կամ բուսաբանական այգիների տարածք, կամ կարմիր գրքում որպես տվյալ բույսի աճելավայրեր գրանցված որևէ տարածք, իսկ բույսերի սերմերը տրամադրում են համապատասխան մասնագիտացված կազմակերպությանը՝ գենետիկական բանկում պահելու և հետագայում տեսակի վերարտադրությունը կազմակերպելու նպատակով:

7.12. Շրջանի կենսաբազմազանության պահպանության նպատակով Սարատովկայի հանքավայրի շահագործման աշխատանքներին մասնակցող անձնակազմը անցնելու է հատուկ վերապատրաստում և ծանոթանալու է շրջանում հայտնի՝ ՀՀ կենդանիների և բույսերի կարմիր գրքերում գրանցված տեսակների վերաբերյալ:

7.13. Նախքան աշխատանքների (լեռնակապիտալ աշխատանքների փուլում) մեկնարկը հայցվող տեսակի վերստուգիչ զննում երթուղիներով՝ սողունների հավաք և վերաբնակեցում իրականացնելու նպատակով : Տեղափոխվելու են նաև թռչունների բներ, եթե այդպիսիք կղիտարկվեն :

7.14. Նախքան լեռնակապիտալ աշխատանքների մեկնարկը հանքավայրի տարածքում աճող բույսերի սերմերի հավաք՝ կենսաբանական ռեկուլտիվացիայի

աշխատանքների համար բուսատեսակների վերաճն ապահովելու համար գենետիկական ֆոնդ ստեղծելու նպատակով :

7.15. Աշխատակիցների հրահանգավորում, ծանոթություն անվտանգության տեխնիկայի կանոններին:

7.16. Հանքավայրի տարածքի պարագծով տեղադրվելու են նախագգուշացնող նշաններ, ինչը թույլ կտա կանխել անվտանգության տեխնիկայի հրահանգավորում չանցած մարդկանց մուտքը հայցվող տարածք:

7.17. Բանեցված յուղերը հավաքվում են արտադրական հրապարակի հատուկ առանձնացված տարածքում՝ հերմետիկ փակվող մետաղյա տակառներում, որոնք դրված են մետաղյա տակդիրների վրա: Տարածքը օդափոխվող է, ունի ծածկ և բետոնապատ հատակ: Ընկերության կողմից պարբերաբար իրականացվում է բանեցված յուղերի ֆիզիկական գտում, գտված յուղի կրկնակի օգտագործում: Յուղերի մնացորդների մի մասը օգտագործվում է ցուրտ եղանակներին արտադրական հրապարակում կենցաղային նպատակներով տեղադրված շարժական վագոն տնակի տաքացման համար՝ կիրառվում է որպես վառելանյութ հատուկ պատրաստված վառարանում: Նախատեսվում է նաև դրանց սպառում որպես հակակոռոզիոն քսանյութ հանքում աշխատող մեքենաների հատակների և ծխնիների մշակման համար:

7.18. Բանեցված կապարե կուտակիչները նաատեսվում է պահեստավորել արտադրական հրապարակի հատուկ հատկացված՝ ծածկի տակ, օդափոխվող տարածքում, այնուհետև տեղափոխել «Էկո Մետալ» ՍՊԸ արտադրամասում :

7.19. Պատահական գտածոների ընթացակարգի կիրառում : Ընթացակարգն ուղղված կլինի հողային աշխատանքների ընթացքում բացահայտվելիք բոլոր գտածոներին՝ հետևյալ միջոցառումների իրականացման միջոցով.

- Համապատասխան անձնակազմի և պայմանագրով աշխատողների ուսուցում պատահական հնագիտական գտածոների ճանաչման, դրանց հետ վարվելակերպի և արձագանքի ուղղությամբ;
- Հուշարձանների գննության իրականացում, նախքան շինարարական աշխատանքների սկիզբը, երբ հողը մաքրված է ,
- Հնագետների տեղաբաշխումը շինարարության վայրերը վերահսկելու համար, որպեսզի վերջիններս ուղղորդեն հնագիտական գտածոների ճանաչման և

արձագանքման գործընթացը հողային աշխատանքների իրականացման ընթացքում,

- Արձանագրությունների կազմում պատահական գտածոներին արձագանքելու համար, ներառյալ աշխատանքի ժամանակավոր դադարեցումը գտածոների հայտնաբերման վայրում և գնահատում հնագիտական մոնիտորինգի միջոցով;
- Անհրաժեշտության դեպքում պետական մարմինների ծանուցում,
- Պատահական գտածոների գնահատման և պեղումների արագացված ընթացակարգերի կիրառում, ազդեցությունների սահմանափակման համար, միաժամանակ նվազեցնելով շինարարական աշխատանքների ուշացումները,
- Մոնիտորինգային գործունեության և պատահական գտածոների արձագանքման վերստուգիչ գրանցումների վարում:

Բնապահպանական կառավարման պլանը ներկայացվում է նաև աղյուսակի տեսքով :

| Ծրագրավորվող գործունեություն | Հնարավոր ազդեցությունները | Ազդեցությունների նվազեցման, չեզոքացման միջոցառումները | Կատարողները | Նախատեսվող գումարը |
|--|---|---|---|------------------------|
| 1 | 2 | 3 | 4 | 5 |
| Լեռնակապիտալ աշխատանքներ | | | | |
| Մոտեցնող ճանապարհի, հանքաստիճանների և արտադրական հրապարակի կառուցում Ուղեկցող հանույթի իրականացում | Տարածքների խախտում Փոշու արտանետումներ Աղմուկ և թրթռումներ Կենդանիների միգրացիա | - Ռեկուլտիվացիոն աշխատանքներ արդյունահանման աշխատանքների ավարտից հետո | «Կամենկա Սթոուն» ՍՊԸ | 1582.91 հազ. դրամ |
| | | - Տարածքի ջրցանում | «Կամենկա Սթոուն» ՍՊԸ | Ամսեկան 45.0 հազ. դրամ |
| | | - Արտանետումների մոնիթորինգի իրականացում | Մասնագիտացված կազմակերպություն | Ամսեկան 50.0 հազ. դրամ |
| | | - Աղմուկի մակարդակի վերահսկողություն | Մասնագիտացված կազմակերպություն | Տարեկան 60.0 հազ. դրամ |
| | | Տարածքի վերստուգիչ զննում երթուղիներով՝ սողունների հավաք և վերաբնակեցում իրականացնելու նպատակով | Կենսաբան մասնագետ՝ պայմանագրային հիմունքներով | 125.0 հազ. դրամ |
| | | Տարածքի վերստուգիչ զննում երթուղիներով՝ թռչունների բների տեղափոխում | Կենսաբան մասնագետ՝ պայմանագրային հիմունքներով | |
| | | Արտադրական հրապարակի կանաչապատում | «Կամենկա Սթոուն» ՍՊԸ | 45.0 հազ. դրամ |

| Արդյունահանման աշխատանքներ | | | | |
|--|---|--|--------------------------------|-------------------------------|
| Հումքի արդյունահանում, կոպտամշակում, բարձում, տեղափոխում | Փոշեգոյացում բացահանքի սահմաններում և ճանապարհներին | - Բեռնատարերի թափքի ծածկում - Արտաթորվող թունավոր նյութերի չեզոքացուցիչ սարքերի տեղադրում | «Կամենկա Սթուն» ՍՊԸ | Լրացուցիչ ծախսեր չի պահանջում |
| | | - Տարածքի ջրցանում | «Կամենկա Սթուն» ՍՊԸ | Ամսեկան 45.0հազ.դրամ |
| | | - Արտանետումների մոնիթորինգի իրականացում | Մասնագիտացված կազմակերպություն | Ամսեկան 50.0հազ.դրամ |
| | Աղմուկ և թրթռումներ | - Աղմուկի մակարդակի վերահսկողություն | Մասնագիտացված կազմակերպություն | Տարեկան 60.0հազ.դրամ |
| | Արտադրական հրապարակի աղտոտում նավթամթերքներով | - Հողերի մոնիթորինգ ամսեկան մեկ անգամ | Մասնագիտացված կազմակերպություն | Ամսեկան 20.0հազ.դրամ |
| | | - Նավթամթերքների մնացորդների պահեստավորում սահմանված կանոնակարգերով | «Կամենկա Սթուն» ՍՊԸ | Լրացուցիչ ծախսեր չի պահանջում |
| | Պահեստավորված հողաբուսական շերտի հողմահարում | - Հողաբուսական շերտի լցակույտի մակերեսին բազմամյա ճիմ առաջացնող բույսերի սերմերի ցանք | «Կամենկա Սթուն» ՍՊԸ | 25.0հազ.դրամ |
| | | - Հողաբուսական շերտի մոնիթորինգ՝ տարեկան մեկ անգամ | Մասնագիտացված կազմակերպություն | Տարեկան 40.0հազ.դրամ |

| | | | | |
|---|--|---|---------------------------------------|--------------------------------------|
| <p>Հումքի արդյունահանում, կոպտամշակում, բարձում, տեղափոխում</p> | <p>Լանդաֆտի խախտում</p> | <ul style="list-style-type: none"> - Ընթացիկ ռեկուլտիվացիա շահագործման 16-րդ տարվանից սկսված - Բացահանքի տարածքի և արտադրական հրապարակի վերջնական ռեկուլտիվացիա | <p>«Կամենկա Սթոուն» ՍՊԸ</p> | <p>1582.91 հազ. դրամ</p> |
| | <p>Աղմուկ և թրթռումներ սարքավորումների և մեքենաների շահագործման արդյունքում</p> | <ul style="list-style-type: none"> - Աղմուկի մակարդակի վերահսկողություն | <p>Մասնագիտացված կազմակերպություն</p> | <p>Տարեկան 60.0 հազ. դրամ</p> |
| | | <ul style="list-style-type: none"> - Մեքենաների ներքին այրման շարժիչների վառոցների կարգավորում | <p>«Կամենկա Սթոուն» ՍՊԸ</p> | <p>Լրացուցիչ ծախսեր չի պահանջում</p> |
| | | <ul style="list-style-type: none"> - Արտաթորվող թունավոր նյութերի չեզոքացուցիչ սարքերի տեղադրում | <p>«Կամենկա Սթոուն» ՍՊԸ</p> | <p>Լրացուցիչ ծախսեր չի պահանջում</p> |
| | <p>Տաշիբ գետի ջրերում պղտորության ավելացում</p> | <ul style="list-style-type: none"> - Կեղտաջրերի հավաքում բետոնապատ հորատի պզուգարանում, որը պարբերաբար դատարկում է հատուկ ծառայության ուժերով | <p>«Կամենկա Սթոուն» ՍՊԸ</p> | <p>30.0 հազ. դրամ</p> |
| <p>Տեխնիկական ջրառի իրականացում</p> | <ul style="list-style-type: none"> - ՀՀ օրենսդրությամբ սահմանված կարգով ջրօգտագործման իրավունքի ստացում | <p>«Կամենկա Սթոուն» ՍՊԸ ՀՀ շրջակա միջավայրի նախարարություն</p> | <p>Պետական տուրք</p> | |

| | | | | |
|--|--|--|--|-------------------------------|
| Հումքի արդյունահանում, կոպտամշակում, բարձում, տեղափոխում | Բուսածածկի խախտում, կենդանիների միզրացիա աղմուկի, թրթռումների հետևանքով | - ՀՀ կառավարության 31.07.2014թ.-ի N 781-Ն որոշման դրույթների ապահովում | Բուսաբան մասնագետ, պայմանագրային հիմունքներով | 100.0հազ.դրամ |
| | | - Մեքենաների շարժիչների կարգաբերում | «Կամենկա Սթոուն» ՍՊԸ | Լրացուցիչ ծախսեր չի պահանջում |
| | | - Չեզոքացուցիչ սարքերի տեղադրում | «Կամենկա Սթոուն» ՍՊԸ | Լրացուցիչ ծախսեր չի պահանջում |
| | | - Կենսաբազմազանության տարեկան դիտարկում | Բուսաբան և կենդանաբան մասնագետ, պայմանագրային հիմունքներով | Տարեկան 350.0հազ.դրամ |
| | | - Մերմերի հավաք | Բուսաբան մասնագետ, պայմանագրային հիմունքներով | 100.0հազ.դրամ |
| | | - Մողունների հավաք և տեղափոխում հանքի տարածքից | Կենսաբան մասնագետ՝ պայմանագրային հիմունքներով | 125.0հազ.դրամ |
| | - Թռչունների բների տեղափոխում | | | |
| Թափոնների գոյացում | - Նավթամթերքների, դրանց մնացորդների պահեստավորում և անվտանգ պահում, սպառում որպես քսանյութ և վառելանյութ | «Կամենկա Սթոուն» ՍՊԸ | Լրացուցիչ ծախսեր չի պահանջում | |

| | | | | |
|---|--|---|--------------------------------|----------------------|
| Հումքի արդյունահանում, կոպտամշակում, բարձում, տեղափոխում | Թափոնների գոյացում | Կենցաղային աղբի հավաքում հատուկ անթափանց տարողությունների մեջ, տեղափոխում կազմակերպված աղբավայր | Պայմանագրային հիմունքներով | Տարեկան 50.0հազ.դրամ |
| | | Բանեցված կապարե կուտակիչների պահեստավորում արտադրական հրապարակի հատուկ հատկացված՝ ծածկի տակ, օդափոխվող տարածքում, այնուհետև տեղափոխել «Էկո Մետալ» ՍՊԸ արտադրամասում | Պայմանագրային հիմունքներով | 230.0հազ.դրամ |
| | Պատմամշակութային միջավայր | - Պատահական գտածոների ընթացակարգերի կիրառում | Մասնագիտացված կազմակերպություն | 450.0հազ.դրամ |
| Հանքի փակման փուլ | | | | |
| Սարքավորումների և շինությունների ապամոնտաժում | Խախտված տարածքներ բացահանքում և արտադրական հրապարակում | Խախտված տարածքների ռեկուլտիվացիա՝ լեռնատեխնիկական և կենսաբանական փուլերով | «Կամենկա Սթոուն» ՍՊԸ | 1582.91հազ.դրամ |
| Աշխատանքների իրականացման տարածքի լանդշաֆտային ամբողջականություն | Արտածին երկրաբանական պրոցեսներ, տարածքի ջրակալում | ՀՀ կառավարության 10.01.2013թ.-ի N 22-Ն որոշմամբ սահմանված մշտադիտարկումների իրականացում | Մասնագիտացված կազմակերպություն | 750.0հազ.դրամ |
| | Անվտանգության միջոցառումների ապահովում | Նախագգուշացնող, արգելափակող միջոցների տեղադրում | , Կամենկա Սթոուն» ՍՊԸ | 80.0հազ.դրամ |

8. ԱՐՏԱԿԱՐԳ ԻՐԱՎԻՃԱԿՆԵՐ

«Կամենկա Սթուն» ՍՊԸ-ի արտակարգ իրավիճակները կարող են պայմանավորված լինեն հետևյալ գործոններով.

i. երկրաշարժ՝ հաշվի առնելով, որ հանրապետության տարածքը գտնվում է սեյսմիկ ակտիվ գոտում,

ii. հրդեհներ՝ կապված մարդածին գործոնների հետ:

Նախատեսվում է մշակել երկրաշարժերի դեպքում գործողությունների պլան՝ վտանգավոր տարածքներից աշխատակիցների ապահով տարահանումն իրականացնելու նպատակով: Անվտանգության տեխնիկայի կանոնների վերաբերյալ հրահանգավորում իրականացնելու ժամանակ առանձին ներկայացվելու են նաև երկրաշարժերի ժամանակ աշխատակիցների պահվածքի կանոնները, գործողությունների հաջորդականությունը: Արտադրական հրապարակումն կենցաղային նշանակության վազոն-տնակներում նախատեսվում են առաջին օգնության դեղորայքային փաթեթներ:

Հրդեհային անվտանգությունն ապահովելու համար աշխատակիցները տեղեկացվելու են տեխնոլոգիական պրոցեսներում օգտագործվող նյութերի հրդեհավտանգության վերաբերյալ: Նշանակվելու է հրդեհային անվտանգության համար պատասխանատու անձ, մշակվելու է հրդեհի դեպքում անձնակազմի գործողությունների պլան: Արտադրական տարածքի հատուկ հատկացված վայրերում տեղադրվելու են հրդեհաշիջման սկզբնական միջոցներ՝ կրակմարիչներ, ավազով արկղ, բահ:

Բացահանքի տարածքում աշխատանքների անվտանգ իրականացման նպատակով.

- ✓ աշխատանքի են թույլատրվում անձիք, որոնք ունեն հատուկ պատրաստվածություն և որակավորում,
- ✓ օգտագործել մեքենաներ և մեխանիզմներ, սարքավորումներ և նյութեր, որոնք համապատասխանում են անվտանգության պահանջներին և սանիտարական նորմերին,
- ✓ անցկացնել պ լանային-զգուշացնող համալիր վերանորոգումներ, պրոֆիլակտիկ աշխատանքներ և այլ դիտարկումներ,
- ✓ աշխատանքի ժամանակ պետք է պահպանվեն անվտանգության տեխնիկայի կանոնները:

Նախատեսվում է կատարել պլանային աշխատանքներ ուղղված արտադրական տրավմատիզմի նվազեցմանը, ժամանակին, ոչ ուշ քան երեք ամիսը մեկ, աշխատակիցների հետ անցկացնել հրահանգավորում անվտանգության տեխնիկայի գծով:

«Կամենկա Սթռուն» ՍՊԸ-ի կողմից հայցվող տեղամասի տարածքում կնախատեսվի համապատասխան հաղորդակցման համակարգ (ինֆորմացիոն և շարժակալ կապ), որով հնարավոր է արտակարգ իրավիճակների ժամանակ կապ հաստատել ձեռնարկության վարչական կազմի, տեղական ինքնակառավարման մարմինների, շտապ օգնության և փրկարար ծառայության հետ:

Հանքավայրի շահագործման աշխատանքային նախագիծը ենթակա է տեխնիկական անվտանգության փորձաքննության, որի արդյունքում տրամադրվում է փորձաքննական եզրակացություն, անվտանգության վկայագիր:

9. ԲՆԱՊԱՀՊԱՆԱԿԱՆ ՄՇՏԱԴԻՏԱՐԿՄԱՆ (ՄՈՆԻՏՈՐԻՆԳԻ) ՊԼԱՆ

Օգտակար հանածոյի արդյունահանման ընթացքում ընկերությունը իրականացնելու է շրջակա միջավայրի վրա բացասական ազդեցության կանխարգելմանն և մեղմացմանն ուղղված հետևյալ մշտադիտարկումները.

Աղյուսակ 34.

| Մոնիթորինգի ենթակա պարամետրերը | Մոնիթորինգի վայրը | Ազդեցության դրսևորման հիմնական աղբյուրները | Մոնիթորինգի տեսակը, պարբերականությունը |
|--------------------------------|--|--|--|
| 1 | 2 | 3 | 4 |
| Անօրգանական փոշի, ծխազագեր | Բացահանք | Հանույթաբարձման աշխատանքներ, մեքենաների տեղաշարժ | Նմուշառում, նմուշի լաբորատոր հետազոտություն, շաբաթական մեկ անգամ՝ 24 ժամ տևողությամբ |
| | Լցակայտ | Լցակայտառաջացման աշխատանքներ, լցակայտի մակերեսից բնական տարուք | |
| Հողային ռեսուրսներ | Ձեռնարկության արտադրական տարածք | Աղտոտում նավթամթերքներով մեխանիզմների, մեքենաների աշխատանքի հետ կապված | Նմուշառում, նմուշի լաբորատոր հետազոտություն, ամսական մեկ անգամ |
| | Լցակայտում պահեստավորված հողի բերրի շերտ | Հանքափոշու նստեցում, հումուսի պարունակության կորուստ | Նմուշառում, նմուշի լաբորատոր հետազոտություն, տարեկան մեկ անգամ |
| Բաց ջրավազաններ | Տաշիր գետ | Արդյունահանման աշխատանքներ, կենցաղային արտահոսքեր | Նմուշառում, նմուշի լաբորատոր հետազոտություն, շաբաթական մեկ անգամ |
| Աղմուկ և թրթռումներ | Տաշիր բնակավայր | Ծանր տեխնիկայի տեղաշարժ, լեռնային զանգվածի բարձր-բեռնաթափման աշխատանքներ | Չափիչ սարքերի կիրառում, տարեկան մեկ անգամ |

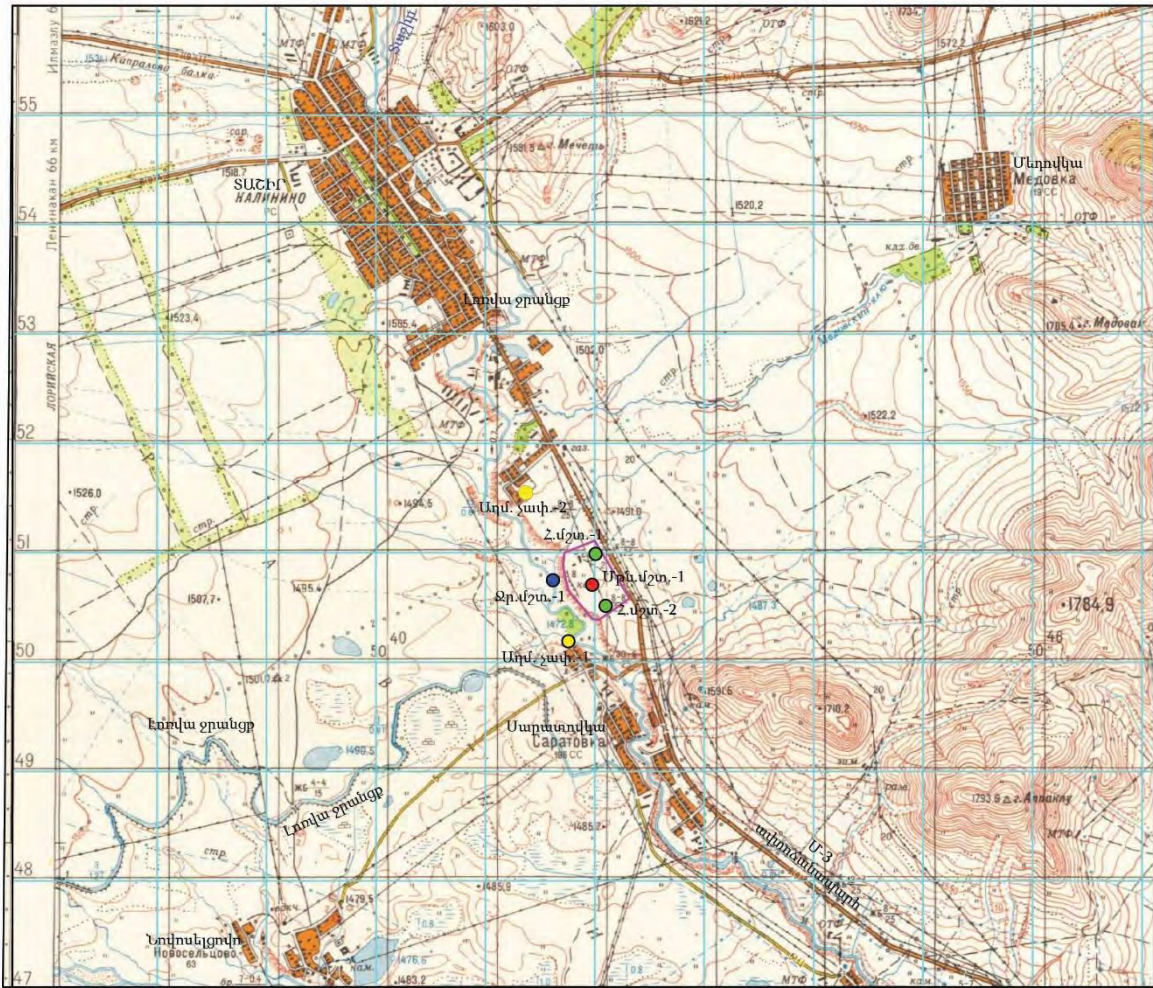
| 1 | 2 | 3 | 4 |
|-----------------------------------|--------------------------------|--|--|
| Բուսական ծածկ և կենդանական աշխարհ | Հայցվող տարածք և հարակից շրջան | Բացահանքի շինարարություն և շահագործում, լցակայտառաջացում | Դիտողական զննում, երթուղիներ, ֆոտոթակարդներ, հետքերի, սննդի մնացորդների և էքսկրեմենտների |

| | | | |
|----------|--|--|--|
| | | | զննում, տարեկան մեկ անգամ |
| Թափոններ | Արտադրական տարածքում հատուկ հատկացված վայրեր, լցակույտ | Պահեստավորված նավթամթերքներ պարունակող թափոններ, մետաղական ջարդեն, սնդիկ պարունակող լամպեր, եռակցման խարամ, մակաբացման ապարներ | Տեսողական զննում, նույթերի ճշգրիտ տեսակավորում և պիտակավորում, գործող կանոնակարգերի և թափոնների կառավարման պլանի պահպանում |

Մշտադիտարկումների արդյունքում ստացված տեղեկատվությունը ներկայացվելու է ՀՀ Շրջակա միջավայրի նախարարություն՝ ՀՀ կառավարության 22.02.2018թ.-ի N191-Ն որոշման պահանջներին համաձայն:

Շրջակա միջավայրի վրա ազդեցության աղտոտման կանխարգելման մոնիտորինգի կետերի տեղադիրքը ներկայացված է ստորև նկար 17-ում:

ՄՇՏԱԴԻՏԱՐԿՄԱՆ ԿԵՏԵՐԻ ՄԻԵՄԱՏԻԿ ՀԱՏԱԿԱԳԻԾ



ՊԱՅՄԱՆԱԳԱՆ ՆՇԱՆՆԵՐ

- Հողերի նմուշարկում /նմուշ 1 - արտադրական հրապարակ նմուշ 2 - հողի բերրի շերտի կուտակման վայր/
- Մթնոլորտային օդի մշտադիտարկման կետ
- Տաշիր գետի ջրերի մշտադիտարկման կետ
- Տաշիր և Սարատովկա բնակավայրում աղմուկի մակարդակի վերահսկողության կետ
- ◻ Կենսաբազմազանության դիտարկման տարածք

Նկար 17.

10. ՇՐՋԱԿԱ ՄԻՋԱՎԱՅՐԻ ՎՐԱ ԱԶԴԵՑՈՒԹՅԱՆ ՏՆՏԵՍԱԿԱՆ ՎՆԱՍԻ ԳՆԱՀԱՏՈՒՄԸ

Շրջակա միջավայրի վրա հնարավոր տնտեսական վնասի գնահատումը հաստատվել է ՀՀ կառավարության 27.05.2015թ. N764-Ն, 25.01.2005թ. N91-Ն, 25.01.2005թ. N92-Ն որոշումների ցուցանիշներին համաձայն:

Շրջակա միջավայրի վրա հնարավոր տնտեսական վնասի գնահատումն իրականացվում է ըստ շրջակա միջավայրի բաղադրիչների:

Հնարավոր տնտեսական վնասը հաշվարկվում է՝

$$ՎՏ = \text{ՀԱԳ} + \text{ՋԱԳ} + \text{ՕԱԳ} \text{ բանաձևով,}$$

որտեղ՝

ՎՏ-ն հնարավոր տնտեսական վնասն է դրամային արտահայտությամբ.

ՀԱԳ-ն հողային ռեսուրսների վրա տնտեսական գործունեության հետևանքով (բնական միջավայրի աղտոտում, բնական ռեսուրսների աղքատացում, էկոհամակարգերի քայքայմանը կամ վնասմանը հանգեցնող շրջակա միջավայրի բացասական փոփոխություններ) պատճառված վնասի ազդեցության արժեքային գնահատումն է, որը հաշվարկվում է Հայաստանի Հանրապետության կառավարության 2005 թվականի հունվարի 25-ի N 92-Ն որոշման համաձայն.

ՋԱԳ-ը ջրային ռեսուրսների վրա տնտեսական գործունեության ուղղակի և անուղղակի ազդեցության հետևանքով պատճառված վնասի ազդեցության արժեքային գնահատումն է, որը հաշվարկվում է Հայաստանի Հանրապետության կառավարության 2003 թվականի օգոստոսի 14-ի N 1110-Ն որոշման համաձայն.

ՕԱԳ-ն մթնոլորտի վրա տնտեսական գործունեության հետևանքով առաջացած ազդեցության հետևանքով պատճառված վնասի ազդեցության արժեքային գնահատումն է, որը հաշվարկվում է Հայաստանի Հանրապետության կառավարության 2005 թվականի հունվարի 25-ի N 91-Ն որոշման համաձայն:

5.1. Ազդեցություն հողային ռեսուրսների վրա

Հողային ռեսուրսների վրա ազդեցությունը գնահատվում է հետևյալ բանաձևով.

$$Ա = \text{ԾՀՎ} + \text{ԾՈՒՎ},$$

որտեղ՝

Ա-ն ազդեցությունն է,

ԾՀՎ-ն վնասված հողամասը նախնական (նորմատիվային) տեսքի բերելու (պահանջների վերականգնման) համար անհրաժեշտ ծախսերն են, 1582.91 հազ. դրամ,

ԾՈԻՎ-ն ազդեցության հետևանքների ուսումնասիրության և վերլուծության հետ կապված ծախսերն են, 100.0 հազ. դրամ:

Հողային ռեսուրսների վրա ազդեցությունը կազմում է 1682.91 հազ. դրամ:

5.2. Ազդեցություն ջրային ռեսուրսների վրա

Ջրային ռեսուրսների վրա տնտեսական գործունեության հետևանքով առաջացած ազդեցությունը կապված է լինելու տեխնիկական ջրի ջրառի հետ:

Տաշիր գետի աղտոտում չի նախատեսվում, քանի որ կենցաղային կեղտաջրերի կուտակումը կատարվելու է անջրաթափանց բետոնապատ հորում, որը պարբերաբար՝ պայմանագրային հիմունքներով դատարկվելու է մասնագիտացված ընկերության կողմից:

ՀՀ օրենսդրական ակտերով դիտարկվում է նաև անուղղակի ազդեցություն ջրային ռեսուրսի վրա՝ պայմանավորված դեպի ջրային ռեսուրս մաքրման կայանների սարքավորումների խափանմամբ և անարդյունավետ աշխատանքի հետևանքով վնասակար նյութերի արտահոսքով:

Սարատովկայի բազալտի հանքավայրի շահագործման ընթացքում մաքրման կայանների ստեղծում չի նախատեսվում, հետևաբար մաքրման կայանների սարքավորումների խափանմամբ և անարդյունավետ աշխատանքի հետևանքով վնասակար նյութերի արտահոսքը, ջրային ռեսուրսների հյուծումը բացառված է:

5.3. Ազդեցություն օդային ավազանի վրա

Օդային ավազանի վրա ազդեցությունը որոշվում է հետևյալ բանաձևով

$$U = \tau_q \Phi_s \sum \varphi_i \Phi_i$$

որտեղ՝

U-ն ազդեցությունն է, արտահայտված Հայաստանի Հանրապետության դրամներով,

τ_q -ն աղտոտող աղբյուրի շրջապատի (ակտիվ աղտոտման գոտու) բնութագիրն արտահայտող գործակիցն է, 4,

φ_i -ն i-րդ նյութի (փոշու տեսակի) համեմատական վնասակարությունն արտահայտող մեծությունն է, 8,

Φ_i -ն տվյալ (i-րդ) նյութի արտանետումների քանակի հետ կապված գործակիցն է, 5,

ՓՅ -ն փոխադրման ցուցանիշն է, հաստատուն է և ընտրվում է՝ ելնելով բնապահպանության գործընթացը խթանելու սկզբունքից, 1000 դրամ:

Օդային ավազանի վրա ազդեցությունը կկազմի 230.7հազ.դրամ:

Շրջակա միջավայրի վրա հնարավոր տնտեսական վնասը կազմում է.

$\text{ՎՏ} = \text{ՀԱԳ} + \text{ՕՍԳ} = 1682.91\text{հազ.դրամ} + 230.7\text{հազ.դրամ} = 1913.61\text{հազ.դրամ}:$

ՕԳՏԱԳՈՐԾՎԱԾ ԳՐԱԿԱՆՈՒԹՅՈՒՆ

1. «ՀՀ ՇՄՆ «Հիդրոոդերևութաբանության և մոնիթորինգի կենտրոն» ՊՈԱԿ -ի տվյալներ
2. Почвы Армянской ССР. Ред./ Р.А. Эдилян, Г.П. Петросян, Н.Н. Розов. Ереван: “Айастан”, 1976 г.
3. Հայաստանի բույսերի Կարմիր Գիրք.– 2010թ.
4. Հայաստանի կենդանիների Կարմիր Գիրք.– 2010թ.
5. Флора Армении / под ред. А.Л.Тахтаджяна. – Ереван: изд-во АН Арм ССР
6. “Растительность Армянской ССР”. Магакьян А.К.
7. “Флора, растительность и растительные ресурсы Армении”, Институт ботаники НАН РА Армянское ботаническое общество. Ереван
8. “Дикорастущие съедобные растения Армении”. А.П. Тер-Восканян, Ученые записки Ереванского государственного института.
9. “Цветущие уголки биоразнообразия”, FAO, <http://www.fao.org/3/i1687r/i1687r08.pdf>
10. «Животный мир Армянской ССР». Даль С.К ,1954
11. ՀՀ Լոռու մարզպետարանի պաշտոնական կայք
12. «Заповедники СССР. Заповедники на Кавказе». Издательство "Мысль" 1990
13. Թամանյան Չ., Գաբրիելյան Է., Ֆայվուշ Գ., Հովհաննիսյան Մ., Ներսեսյան Ա., Արևշատյան Ա., Խանջյան “Հայաստանի էնդեմիկ բույսերի կարմիր ցուցակ”

ОТЧЕТ

**Расчёт загрязнения атмосферы унифицированной программы расчёта
загрязнения атмосферы УПРЗА «ЭКО центр»
«Շամենկա Սթրոն» ՍՊԸ**

ՀՀ Լոռու մարզի Սարաղոսկայի բազայի հանքավայրի հարավ-արևելյան տեղամաս

Расчёт загрязнения атмосферы выполнен в соответствии с ОНД-86 «Методика расчета концентраций в атмосферном воздухе вредных веществ, содержащихся в выбросах предприятий», с использованием унифицированной программы расчёта загрязнения атмосферы УПРЗА «ЭКО центр».

I.I Исходные данные для проведения расчета загрязнения атмосферы

порог целесообразности по вкладу источников выброса: **0,05**;

расчетный год **2024.**

Метеорологические характеристики и коэффициенты:

коэффициент, зависящий от температурной стратификации атмосферы: **200**;

средняя температура наружного воздуха, °С: **22,7**;

коэффициент рельефа: **1,2.**

Параметры перебора ветров:

направление, метео °: **0 - 360 (шаг 1)**;

скорость, м/с: **0,5 - 24 (шаг 0,1).**

Основная система координат - правая с ориентацией оси ОУ на Север.

Количество загрязняющих веществ в расчете - 6 (в том числе твердых - 2; жидких и газообразных - 4), групп суммации - 2. Перечень и коды веществ и групп суммации, участвующих в расчёте загрязнения атмосферы, с указанием класса опасности и предельно-допустимой концентрации (ПДК) либо ориентировочного безопасного уровня воздействия (ОБУВ), приведен в таблице 1.1.1.

Таблица № 1.1.1 - Перечень загрязняющих веществ и групп суммации

| Загрязняющее вещество | | Класс опасности | Предельно-допустимая концентрация, мг/м ³ | | | |
|-----------------------|--|--------------------|--|---------------------|------|---------------------------|
| код | наименование | | максимально -разовая | средне- суточная | ОБУВ | используется в расчете |
| 1 | 2 | 3 | 4 | 5 | 6 | 7 |
| 301 | Азота диоксид | 3 | 0,2 | 0,04 | - | 0,2 |
| 330 | Сера диоксид | 3 | 0,5 | 0,05 | - | 0,5 |
| 337 | Углерод оксид | 4 | 5 | 3 | - | 5 |
| 2754 | Алканы C12-19 | 4 | 1 | - | - | 1 |
| 2902 | Взвешенные вещества | 3 | 0,5 | 0,15 | - | 0,5 |
| 2908 | Пыль неорганическая: SiO ₂ 20-70% | 3 | 0,3 | 0,1 | - | 0,3 |
| 6204 | Азота диоксид, серы диоксид | | | | | 1,6 |

Примечание – Для групп суммации в графах 4-6 ПДК не указывается, а графе 7 приведен коэффициент комбинированного действия.

Сведения о концентрациях загрязняющих веществ на фоновых постах, используемых в расчете загрязнения атмосферы, приведены в таблице 1.1.2.

Таблица № 1.1.2 - Сведения о концентрациях загрязняющих веществ на фоновых постах

| Наименование фонового поста | Координаты поста | | Загрязняющее вещество | | Концентрация, мг/м ³ | | | | |
|--------------------------------------|------------------|---|-----------------------|---------------------|---------------------------------|-------------------|-------|-------|-------|
| | | | | | скорость ветра, м/с | | | | |
| | X | Y | код | наименование | 0 – 2 | 3 – u* | | | |
| | | | | | | направление ветра | | | |
| 1 | 2 | 3 | 4 | 5 | 6 | С | В | Ю | З |
| Расчетная площадка 1(СК Основная СК) | | | | | | | | | |
| 1. - | 0 | 0 | 2902 | Взвешенные вещества | 0,2 | 0,2 | 0,2 | 0,2 | 0,2 |
| | | | 337 | Углерод оксид | 0,4 | 0,4 | 0,4 | 0,4 | 0,4 |
| | | | 301 | Азота диоксид | 0,008 | 0,008 | 0,008 | 0,008 | 0,008 |
| | | | 330 | Сера диоксид | 0,02 | 0,02 | 0,02 | 0,02 | 0,02 |

Сведения о типе и координатах точек, в которых выполнялся расчет загрязнения атмосферы, приведены в таблице 1.1.3.

Таблица № 1.1.3 - Параметры расчетных точек

| Наименование | Координаты | | | Тип точки |
|--------------------------------------|------------|---------|-----------|-----------------------|
| | X | Y | высота, м | |
| 1 | 2 | 3 | 4 | 5 |
| Расчетная площадка 1(СК Основная СК) | | | | |
| 1 | -49,8 | 505,59 | 2 | Точка на границе ОСЗЗ |
| 2 | 448,05 | 239,49 | 2 | Точка на границе ОСЗЗ |
| 3 | 422,42 | -282,25 | 2 | Точка на границе ОСЗЗ |
| 4 | -194,42 | -469,37 | 2 | Точка на границе ОСЗЗ |
| 5 | -505,59 | 49,8 | 2 | Точка на границе ОСЗЗ |
| 6 | -254,4 | 69,5 | 2 | Точка в промзоне |
| 7 | -24,01 | 193,99 | 2 | Точка в промзоне |
| 8 | 101,14 | 13,45 | 2 | Точка в промзоне |
| 9 | 226,29 | -167,1 | 2 | Точка в промзоне |
| 10 | 22,9 | -345,4 | 2 | Точка в промзоне |
| 11 | -80,8 | -110,5 | 2 | Точка в промзоне |

Сведения о координатах расчетных площадок, шаге расчетной сетки, каждый узел которой образует расчетную точку, приведены в таблице 1.1.4.

Таблица № 1.1.4 - Параметры расчетных площадок

| Наименование | Координаты срединной линии | | | | Ширина, м | Высота, м | Шаг сетки, м | Шаг СЗЗ, м |
|--------------|----------------------------|----------------|----------------|----------------|-----------|-----------|--------------|------------|
| | точка 1 | | точка 2 | | | | | |
| | X ₁ | Y ₁ | X ₂ | Y ₂ | | | | |
| 1 | 2 | 3 | 4 | 5 | 6 | 7 | 8 | 9 |
| 1 | -1275 | -35,83 | 1207,78 | -35,83 | 1810,33 | 2 | 150 | - |

Характеристика нестационарности во времени источников загрязнения атмосферы и их не одновременности работы по группам, приведена в таблице 1.1.5.

Таблица № 1.1.5 - Характеристика нестационарности во времени источников загрязнения атмосферы и их не одновременности работы по группам

| № ИЗА | Учет в расчете | Исключено из фона | № режима ИЗА | Срок действия режима ИЗА в расчётном году | | Рабочий график | Принадлежность к группе источников, работающих не одновременно |
|--|----------------|-------------------|--------------|---|-------------|----------------|--|
| | | | | начало | окончание | | |
| 1 | 2 | 3 | 4 | 5 | 6 | 7 | 8 |
| Объект: 1. Объект №1 «Чашинский Уранны» УПД | | | | | | | |
| Площадка: 1. Площадка №1 | | | | | | | |
| Цех: 1. Цех №1 | | | | | | | |
| 1 | + | + | - | 01 January | 31 December | - | - |

Для каждого источника определены опасная скорость ветра, максимальная концентрация выброса в долях ПДК и расстояние, на котором достигается максимальная концентрация.

Параметры источников загрязнения атмосферы, учитываемых в данном варианте расчета, приведены в таблице 1.1.6.

Таблица № 1.1.6 - Параметры источников загрязнения атмосферы

| № ИЗА | Тип | Высота, м | Диаметр, м | Параметры ГВС | | | Координаты | | | К рел | Опас. скор. ветра, м/с | Загрязняющее вещество | | | Макс. конц-я, д.ПДК | Расст. до максима, м |
|---|-----|-----------|------------|---------------|-------------|-----------|-------------------|-------------------|-----------|-------|------------------------|-----------------------|--------------------|-------|---------------------|----------------------|
| | | | | скорость, м/с | объем, м³/с | темп., °С | X ₁ | Y ₁ | ширина, м | | | код | масса выброса, г/с | К ос. | | |
| | | | | | | | X ₂ | Y ₂ | | | | | | | | |
| 1 | 2 | 3 | 4 | 5 | 6 | 7 | 8 | 9 | 10 | 11 | 12 | 13 | 14 | 15 | 16 | 17 |
| Объект: 1. Объект №1 «Համենկա Սթորմ» ՍՊԸ | | | | | | | | | | | | | | | | |
| Площадка: 1. Площадка №1 | | | | | | | | | | | | | | | | |
| Цех: 1. Цех №1 | | | | | | | | | | | | | | | | |
| 1 | 4 | 2 | 100 | 3 | 23561,9 | 20 | 138.64 -111.66 | -227.86 133.24 | 213,3 | 1,2 | 429 | 2908 | 0,633 | 3 | 0,32 | 223,43 |
| | | | | | | | | | | | | 337 | 0,17 | 1 | 0,002 | 446,86 |
| | | | | | | | | | | | | 301 | 0,33 | 1 | 0,083 | 446,86 |
| | | | | | | | | | | | | 2754 | 0,073 | 1 | 0,004 | 446,86 |
| | | | | | | | | | | | | 2902 | 0,027 | 3 | 0,008 | 223,43 |
| | | | | | | | | | | | | 330 | 0,036 | 1 | 0,004 | 446,86 |

1.2 Расчет загрязнения по веществу «301. Азота диоксид»

Полное наименование вещества с кодом 301 – Азота диоксид (Азот (IV) оксид). Максимально разовая предельно допустимая концентрация составляет 0,2 мг/м³, класс опасности 3.

Количество источников загрязнения атмосферы, учтенных в расчёте составляет - 1 (в том числе: организованных - 1, неорганизованных - нет). Распределение источников по грациям высот составляет: 0-10 м – 1; 11-20 м – нет; 21-29 м – нет; 30-50 м – нет; 51-100 м – нет; более 100 м – нет.

Суммарный выброс, учтенных в расчёте источников, составляет 0,33 грамм в секунду и 0 тонн в год.

В расчёте учитывались фоновые концентрации, заданные на 1 ПНЗА (пост наблюдения за загрязнением атмосферы).

Расчётных точек – 11, расчётных площадок - 1 (узлов расчётной сетки - 221).

Максимальная расчётная приземная концентрация (См), выраженная в долях ПДК населенных мест, по расчётной площадке № 1 составляет:

- на границе СЗЗ **0,041**, которая достигается в точке № 1 X=-49,8 Y=505,59, при направлении ветра 172°, скорости ветра 24 м/с, в том числе: фоновая концентрация – 0,04 (фоновая концентрация до интерполяции – 0,0392), вклад источников предприятия 0,002.

Сведения о концентрациях загрязняющих веществ на фоновых постах, используемых в расчете загрязнения атмосферы, приведены в таблице 1.2.1.

Таблица № 1.2.1 - Сведения о концентрациях загрязняющих веществ на фоновых постах

| Наименование фонового поста | Координаты поста | | Загрязняющее вещество | | Концентрация, мг/м ³ | | | | |
|--------------------------------------|------------------|---|-----------------------|---------------|---------------------------------|-------------------|-------|-------|-------|
| | | | | | скорость ветра, м/с | | | | |
| | X | Y | код | наименование | 0 – 2 | 3 – и* | | | |
| | | | | | | направление ветра | | | |
| | | | | | С | В | Ю | З | |
| 1 | 2 | 3 | 4 | 5 | 6 | 7 | 8 | 9 | 10 |
| Расчетная площадка 1(СК Основная СК) | | | | | | | | | |
| 1. - | 0 | 0 | 301 | Азота диоксид | 0,008 | 0,008 | 0,008 | 0,008 | 0,008 |

Сведения о типе и координатах точек, в которых выполнялся расчет загрязнения атмосферы, приведены в таблице 1.2.2.

Таблица № 1.2.2 - Параметры расчетных точек

| Наименование | Координаты | | | Тип точки |
|--------------------------------------|------------|---------|-----------|-----------------------|
| | X | Y | высота, м | |
| 1 | 2 | 3 | 4 | 5 |
| Расчетная площадка 1(СК Основная СК) | | | | |
| 1 | -49,8 | 505,59 | 2 | Точка на границе ОСЗЗ |
| 2 | 448,05 | 239,49 | 2 | Точка на границе ОСЗЗ |
| 3 | 422,42 | -282,25 | 2 | Точка на границе ОСЗЗ |
| 4 | -194,42 | -469,37 | 2 | Точка на границе ОСЗЗ |
| 5 | -505,59 | 49,8 | 2 | Точка на границе ОСЗЗ |
| 6 | -254,4 | 69,5 | 2 | Точка в промзоне |
| 7 | -24,01 | 193,99 | 2 | Точка в промзоне |
| 8 | 101,14 | 13,45 | 2 | Точка в промзоне |
| 9 | 226,29 | -167,1 | 2 | Точка в промзоне |
| 10 | 22,9 | -345,4 | 2 | Точка в промзоне |
| 11 | -80,8 | -110,5 | 2 | Точка в промзоне |

Сведения о координатах расчетных площадок, шаге расчетной сетки, каждый узел которой образует расчетную точку, приведены в таблице 1.2.3.

Таблица № 1.2.3 - Параметры расчетных площадок

| Наименование | Координаты срединной линии | | | | Ширина, м | Высота, м | Шаг сетки, м | Шаг СЗЗ, м |
|--------------|----------------------------|----------------|----------------|----------------|-----------|-----------|--------------|------------|
| | точка 1 | | точка 2 | | | | | |
| | X ₁ | Y ₁ | X ₂ | Y ₂ | | | | |
| 1 | 2 | 3 | 4 | 5 | 6 | 7 | 8 | 9 |
| 1 | -1275 | -35,83 | 1207,78 | -35,83 | 1810,33 | 2 | 150 | - |

Для каждого источника определены опасная скорость ветра, максимальная концентрация выброса в долях ПДК и расстояние, на котором достигается максимальная концентрация.

Параметры источников загрязнения атмосферы, учитываемых в данном варианте расчета, приведены в таблице 1.2.4.

Таблица № 1.2.4 - Параметры источников загрязнения атмосферы

| № ИЗА | Тип | Высота, м | Диаметр, м | Параметры ГВС | | | Координаты | | | К рел | Опас. скор. ветра, м/с | Загрязняющее вещество | | | Макс. конц-я, д.ПДК | Расст. до максима, м |
|------------------|-----|-----------|------------|--|--------------------------|-----------|----------------|----------------|-----------|-------|------------------------|-----------------------|--------------------|-------|---------------------|----------------------|
| | | | | скорость, м/с | объем, м ³ /с | темп., °С | X ₁ | Y ₁ | ширина, м | | | код | масса выброса, г/с | К ос. | | |
| | | | | | | | | | | | | | | | | |
| 1 | 4 | 2 | 100 | 3 | 23561,9 | 20 | 138.64 | -227.86 | 213,3 | 1,2 | 429 | 301 | 0,33 | 1 | 0,083 | 446,86 |
| Объект: | | | | 1. Объект №1 «Համէնէնի Սթրոկ» ՍՊԸ | | | | | | | | | | | | |
| Площадка: | | | | 1. Площадка №1 | | | | | | | | | | | | |
| Цех: | | | | 1. Цех №1 | | | | | | | | | | | | |
| 1 | 4 | 2 | 100 | 3 | 23561,9 | 20 | 138.64 | -227.86 | 213,3 | 1,2 | 429 | 301 | 0,33 | 1 | 0,083 | 446,86 |
| | | | | | | | -111.66 | 133.24 | | | | | | | | |

Значения приземных концентраций в каждой расчетной точке в атмосферном воздухе представляют собой суммарные максимально достижимые концентрации, соответствующие наиболее неблагоприятным метеорологическим условиям. Значения максимальных концентраций в расчетных точках приведены в таблице 1.2.5.

Таблица № 1.2.5 - Значения максимальных концентраций в расчетных точках

| Наименование | Тип | Координаты | | | Расчетная концентрация | | Фон, д.ПДК | Вклад предприятия, д.ПДК | Ветер: направление; скорость, °↑м/с | Пл., Цех, ИЗА | Вклад ИЗА | |
|--------------------------------------|-------|------------|---------|-----------|------------------------|-------------------|------------|--------------------------|-------------------------------------|---------------|--------------------|------|
| | | X | Y | высота, м | д.ПДК | мг/м ³ | | | | | д. ПДК | % |
| 1 | 2 | 3 | 4 | 5 | 6 | 7 | 8 | 9 | 10 | 11 | 12 | 13 |
| Расчетная площадка 1(СК Основная СК) | | | | | | | | | | | | |
| 1 | ОСЗЗ | -49,8 | 505,59 | 2 | 0,041 | 0,0082 | 0,039 | 0,002 | 172 ↑ 24 | 1.1.1 | 0,002 | 4,7 |
| 2 | ОСЗЗ | 448,05 | 239,49 | 2 | 0,041 | 0,0081 | 0,04 | 0,001 | 246 ↗ 24 | 1.1.1 | 0,001 | 2,64 |
| 3 | ОСЗЗ | 422,42 | -282,25 | 2 | 0,041 | 0,0082 | 0,039 | 0,002 | 302 ↘ 24 | 1.1.1 | 0,002 | 4,3 |
| 4 | ОСЗЗ | -194,42 | -469,37 | 2 | 0,041 | 0,0081 | 0,04 | 0,001 | 19 ↓ 24 | 1.1.1 | 0,001 | 2,94 |
| 5 | ОСЗЗ | -505,59 | 49,8 | 2 | 0,041 | 0,0082 | 0,039 | 0,002 | 104 ← 24 | 1.1.1 | 0,002 | 3,7 |
| 6 | Пром. | -254,4 | 69,5 | 2 | 0,041 | 0,0081 | 0,04 | 0,001 | 119 ↖ 24 | 1.1.1 | 0,001 | 2,8 |
| 7 | Пром. | -24,01 | 193,99 | 2 | 0,041 | 0,0081 | 0,04 | 0,001 | 166 ↑ 24 | 1.1.1 | 0,001 | 2,47 |
| 8 | Пром. | 101,14 | 13,45 | 2 | 0,04 | 0,008 | 0,04 | 4·10 ⁻⁴ | 189 ↑ 24 | 1.1.1 | 4·10 ⁻⁴ | 0,96 |
| 9 | Пром. | 226,29 | -167,1 | 2 | 0,041 | 0,0081 | 0,04 | 0,001 | 305 ↘ 24 | 1.1.1 | 0,001 | 2,47 |
| 10 | Пром. | 22,9 | -345,4 | 2 | 0,041 | 0,0081 | 0,04 | 0,001 | 352 ↓ 24 | 1.1.1 | 0,001 | 2,8 |
| 11 | Пром. | -80,8 | -110,5 | 2 | 0,04 | 0,008 | 0,04 | 4·10 ⁻⁴ | 100 ← 24 | 1.1.1 | 4·10 ⁻⁴ | 1 |

Результаты расчета по расчетной площадке № 1 приведены в таблице 1.2.6.

Таблица № 1.2.6 - Значения максимальных концентраций в узлах сетки расчетной площадки № 1

| № | Координаты | | Расчетная концентрация | | Фон, д.ПДК | Вклад предприятия, д.ПДК | Ветер | |
|----|------------|---------|------------------------|--------|------------|--------------------------|-------------|---------------|
| | X | Y | д.ПДК | мг/м³ | | | направл., ° | скорость, м/с |
| 1 | 2 | 3 | 4 | 5 | 6 | 7 | 8 | 9 |
| 1 | -1275 | -940.99 | 0,041 | 0,0083 | 0,039 | 0,002 | 55 ↙ | 24 |
| 2 | -1125 | -940.99 | 0,041 | 0,0083 | 0,039 | 0,002 | 52 ↙ | 24 |
| 3 | -975 | -940.99 | 0,041 | 0,0083 | 0,039 | 0,002 | 48 ↙ | 24 |
| 4 | -825 | -940.99 | 0,041 | 0,0083 | 0,039 | 0,002 | 43 ↙ | 24 |
| 5 | -675 | -940.99 | 0,041 | 0,0083 | 0,039 | 0,002 | 37 ↙ | 24 |
| 6 | -525 | -940.99 | 0,041 | 0,0083 | 0,039 | 0,002 | 31 ↙ | 24 |
| 7 | -375 | -940.99 | 0,041 | 0,0083 | 0,039 | 0,002 | 23 ↙ | 24 |
| 8 | -225 | -940.99 | 0,041 | 0,0083 | 0,039 | 0,002 | 15 ↓ | 24 |
| 9 | -75 | -940.99 | 0,041 | 0,0083 | 0,039 | 0,002 | 5 ↓ | 24 |
| 10 | 75 | -940.99 | 0,042 | 0,0083 | 0,039 | 0,003 | 356 ↓ | 24 |
| 11 | 225 | -940.99 | 0,042 | 0,0083 | 0,039 | 0,003 | 347 ↓ | 24 |
| 12 | 375 | -940.99 | 0,042 | 0,0083 | 0,039 | 0,003 | 338 ↓ | 24 |
| 13 | 525 | -940.99 | 0,042 | 0,0084 | 0,039 | 0,003 | 330 ↘ | 24 |
| 14 | 675 | -940.99 | 0,042 | 0,0084 | 0,039 | 0,003 | 323 ↘ | 24 |
| 15 | 825 | -940.99 | 0,042 | 0,0084 | 0,039 | 0,003 | 318 ↘ | 23,8 |
| 16 | 975 | -940.99 | 0,042 | 0,0084 | 0,039 | 0,003 | 313 ↘ | 24 |
| 17 | 1125 | -940.99 | 0,042 | 0,0084 | 0,039 | 0,003 | 309 ↘ | 23,4 |
| 18 | -1275 | -790.99 | 0,041 | 0,0083 | 0,039 | 0,002 | 60 ↙ | 24 |
| 19 | -1125 | -790.99 | 0,041 | 0,0083 | 0,039 | 0,002 | 57 ↙ | 24 |
| 20 | -975 | -790.99 | 0,041 | 0,0083 | 0,039 | 0,002 | 53 ↙ | 24 |
| 21 | -825 | -790.99 | 0,041 | 0,0083 | 0,039 | 0,002 | 48 ↙ | 24 |
| 22 | -675 | -790.99 | 0,041 | 0,0082 | 0,039 | 0,002 | 42 ↙ | 24 |
| 23 | -525 | -790.99 | 0,041 | 0,0082 | 0,039 | 0,002 | 35 ↙ | 24 |
| 24 | -375 | -790.99 | 0,041 | 0,0082 | 0,039 | 0,002 | 26 ↙ | 24 |
| 25 | -225 | -790.99 | 0,041 | 0,0082 | 0,039 | 0,002 | 16 ↓ | 24 |
| 26 | -75 | -790.99 | 0,041 | 0,0082 | 0,039 | 0,002 | 6 ↓ | 24 |
| 27 | 75 | -790.99 | 0,041 | 0,0083 | 0,039 | 0,002 | 355 ↓ | 24 |
| 28 | 225 | -790.99 | 0,042 | 0,0083 | 0,039 | 0,003 | 344 ↓ | 24 |
| 29 | 375 | -790.99 | 0,042 | 0,0083 | 0,039 | 0,003 | 334 ↘ | 24 |
| 30 | 525 | -790.99 | 0,042 | 0,0083 | 0,039 | 0,003 | 325 ↘ | 24 |
| 31 | 675 | -790.99 | 0,042 | 0,0084 | 0,039 | 0,003 | 318 ↘ | 24 |
| 32 | 825 | -790.99 | 0,042 | 0,0084 | 0,039 | 0,003 | 313 ↘ | 24 |
| 33 | 975 | -790.99 | 0,042 | 0,0083 | 0,039 | 0,003 | 308 ↘ | 22,5 |
| 34 | 1125 | -790.99 | 0,042 | 0,0084 | 0,039 | 0,003 | 304 ↘ | 24 |
| 35 | -1275 | -640.99 | 0,041 | 0,0083 | 0,039 | 0,002 | 65 ↙ | 24 |
| 36 | -1125 | -640.99 | 0,041 | 0,0083 | 0,039 | 0,002 | 62 ↙ | 23,8 |
| 37 | -975 | -640.99 | 0,041 | 0,0083 | 0,039 | 0,002 | 59 ↙ | 24 |
| 38 | -825 | -640.99 | 0,041 | 0,0082 | 0,039 | 0,002 | 55 ↙ | 24 |
| 39 | -675 | -640.99 | 0,041 | 0,0082 | 0,039 | 0,002 | 49 ↙ | 24 |
| 40 | -525 | -640.99 | 0,041 | 0,0082 | 0,039 | 0,002 | 40 ↙ | 24 |
| 41 | -375 | -640.99 | 0,041 | 0,0082 | 0,039 | 0,002 | 30 ↙ | 24 |
| 42 | -225 | -640.99 | 0,041 | 0,0082 | 0,039 | 0,002 | 18 ↓ | 24 |
| 43 | -75 | -640.99 | 0,041 | 0,0082 | 0,039 | 0,002 | 6 ↓ | 24 |
| 44 | 75 | -640.99 | 0,041 | 0,0082 | 0,039 | 0,002 | 353 ↓ | 24 |
| 45 | 225 | -640.99 | 0,041 | 0,0083 | 0,039 | 0,002 | 340 ↓ | 24 |
| 46 | 375 | -640.99 | 0,041 | 0,0083 | 0,039 | 0,002 | 329 ↘ | 24 |
| 47 | 525 | -640.99 | 0,042 | 0,0083 | 0,039 | 0,003 | 319 ↘ | 24 |
| 48 | 675 | -640.99 | 0,042 | 0,0083 | 0,039 | 0,003 | 312 ↘ | 24 |
| 49 | 825 | -640.99 | 0,042 | 0,0083 | 0,039 | 0,003 | 306 ↘ | 24 |
| 50 | 975 | -640.99 | 0,042 | 0,0083 | 0,039 | 0,003 | 302 ↘ | 24 |
| 51 | 1125 | -640.99 | 0,042 | 0,0084 | 0,039 | 0,003 | 298 ↘ | 24 |
| 52 | -1275 | -490.99 | 0,041 | 0,0083 | 0,039 | 0,002 | 71 ← | 24 |
| 53 | -1125 | -490.99 | 0,041 | 0,0083 | 0,039 | 0,002 | 69 ← | 24 |
| 54 | -975 | -490.99 | 0,041 | 0,0083 | 0,039 | 0,002 | 66 ↙ | 24 |
| 55 | -825 | -490.99 | 0,041 | 0,0082 | 0,039 | 0,002 | 63 ↙ | 24 |
| 56 | -675 | -490.99 | 0,041 | 0,0082 | 0,039 | 0,002 | 58 ↙ | 24 |
| 57 | -525 | -490.99 | 0,041 | 0,0082 | 0,039 | 0,001 | 47 ↙ | 24 |
| 58 | -375 | -490.99 | 0,041 | 0,0082 | 0,04 | 0,001 | 35 ↙ | 24 |
| 59 | -225 | -490.99 | 0,041 | 0,0081 | 0,04 | 0,001 | 21 ↓ | 24 |
| 60 | -75 | -490.99 | 0,041 | 0,0082 | 0,04 | 0,001 | 6 ↓ | 24 |
| 61 | 75 | -490.99 | 0,041 | 0,0082 | 0,039 | 0,002 | 350 ↓ | 24 |
| 62 | 225 | -490.99 | 0,041 | 0,0082 | 0,039 | 0,002 | 333 ↘ | 24 |

Продолжение таблицы 1.2.6

| № | Координаты | | Расчетная концентрация | | Фон, д.ПДК | Вклад предприятия, д.ПДК | Ветер | |
|-----|------------|---------|------------------------|-------------------|------------|--------------------------|-------------|---------------|
| | Х | У | д.ПДК | мг/м ³ | | | направл., ° | скорость, м/с |
| 1 | 2 | 3 | 4 | 5 | 6 | 7 | 8 | 9 |
| 63 | 375 | -490.99 | 0,041 | 0,0083 | 0,039 | 0,002 | 321 ↘ | 24 |
| 64 | 525 | -490.99 | 0,041 | 0,0083 | 0,039 | 0,002 | 311 ↘ | 24 |
| 65 | 675 | -490.99 | 0,042 | 0,0083 | 0,039 | 0,003 | 304 ↘ | 24 |
| 66 | 825 | -490.99 | 0,042 | 0,0083 | 0,039 | 0,003 | 299 ↘ | 24 |
| 67 | 975 | -490.99 | 0,042 | 0,0083 | 0,039 | 0,003 | 295 ↘ | 23,8 |
| 68 | 1125 | -490.99 | 0,042 | 0,0083 | 0,039 | 0,003 | 292 → | 24 |
| 69 | -1275 | -340.99 | 0,041 | 0,0083 | 0,039 | 0,002 | 77 ← | 24 |
| 70 | -1125 | -340.99 | 0,041 | 0,0083 | 0,039 | 0,002 | 76 ← | 24 |
| 71 | -975 | -340.99 | 0,041 | 0,0083 | 0,039 | 0,002 | 74 ← | 24 |
| 72 | -825 | -340.99 | 0,041 | 0,0082 | 0,039 | 0,002 | 72 ← | 24 |
| 73 | -675 | -340.99 | 0,041 | 0,0082 | 0,039 | 0,002 | 70 ← | 24 |
| 74 | -525 | -340.99 | 0,041 | 0,0082 | 0,04 | 0,001 | 67 ↙ | 24 |
| 75 | -375 | -340.99 | 0,041 | 0,0081 | 0,04 | 0,001 | 42 ↙ | 24 |
| 76 | -225 | -340.99 | 0,041 | 0,0081 | 0,04 | 0,001 | 26 ↙ | 24 |
| 77 | -75 | -340.99 | 0,041 | 0,0081 | 0,04 | 0,001 | 6 ↓ | 24 |
| 78 | 75 | -340.99 | 0,041 | 0,0081 | 0,04 | 0,001 | 344 ↓ | 24 |
| 79 | 225 | -340.99 | 0,041 | 0,0082 | 0,039 | 0,001 | 324 ↘ | 24 |
| 80 | 375 | -340.99 | 0,041 | 0,0082 | 0,039 | 0,002 | 311 ↘ | 24 |
| 81 | 525 | -340.99 | 0,041 | 0,0082 | 0,039 | 0,002 | 301 ↘ | 24 |
| 82 | 675 | -340.99 | 0,041 | 0,0083 | 0,039 | 0,002 | 294 ↘ | 23,4 |
| 83 | 825 | -340.99 | 0,041 | 0,0083 | 0,039 | 0,002 | 290 → | 24 |
| 84 | 975 | -340.99 | 0,042 | 0,0083 | 0,039 | 0,003 | 287 → | 24 |
| 85 | 1125 | -340.99 | 0,042 | 0,0083 | 0,039 | 0,003 | 285 → | 24 |
| 86 | -1275 | -190.99 | 0,042 | 0,0083 | 0,039 | 0,003 | 84 ← | 24 |
| 87 | -1125 | -190.99 | 0,041 | 0,0083 | 0,039 | 0,002 | 83 ← | 24 |
| 88 | -975 | -190.99 | 0,041 | 0,0083 | 0,039 | 0,002 | 82 ← | 24 |
| 89 | -825 | -190.99 | 0,041 | 0,0082 | 0,039 | 0,002 | 82 ← | 24 |
| 90 | -675 | -190.99 | 0,041 | 0,0082 | 0,039 | 0,002 | 82 ← | 24 |
| 91 | -525 | -190.99 | 0,041 | 0,0082 | 0,04 | 0,001 | 82 ← | 24 |
| 92 | -375 | -190.99 | 0,041 | 0,0081 | 0,04 | 0,001 | 82 ← | 24 |
| 93 | -225 | -190.99 | 0,04 | 0,008 | 0,04 | 0,001 | 82 ← | 24 |
| 94 | -75 | -190.99 | 0,04 | 0,008 | 0,04 | 0,001 | 7 ↓ | 24 |
| 95 | 75 | -190.99 | 0,04 | 0,0081 | 0,04 | 0,001 | 338 ↓ | 24 |
| 96 | 225 | -190.99 | 0,041 | 0,0081 | 0,04 | 0,001 | 308 ↘ | 24 |
| 97 | 375 | -190.99 | 0,041 | 0,0082 | 0,039 | 0,001 | 296 ↘ | 24 |
| 98 | 525 | -190.99 | 0,041 | 0,0082 | 0,039 | 0,002 | 288 → | 24 |
| 99 | 675 | -190.99 | 0,041 | 0,0082 | 0,039 | 0,002 | 284 → | 24 |
| 100 | 825 | -190.99 | 0,041 | 0,0083 | 0,039 | 0,002 | 281 → | 24 |
| 101 | 975 | -190.99 | 0,041 | 0,0083 | 0,039 | 0,002 | 279 → | 24 |
| 102 | 1125 | -190.99 | 0,042 | 0,0083 | 0,039 | 0,003 | 277 → | 24 |
| 103 | -1275 | -41 | 0,042 | 0,0083 | 0,039 | 0,003 | 90 ← | 24 |
| 104 | -1125 | -41 | 0,041 | 0,0083 | 0,039 | 0,002 | 90 ← | 24 |
| 105 | -975 | -41 | 0,041 | 0,0083 | 0,039 | 0,002 | 91 ← | 24 |
| 106 | -825 | -41 | 0,041 | 0,0082 | 0,039 | 0,002 | 91 ← | 24 |
| 107 | -675 | -41 | 0,041 | 0,0082 | 0,039 | 0,002 | 93 ← | 24 |
| 108 | -525 | -41 | 0,041 | 0,0082 | 0,039 | 0,001 | 96 ← | 24 |
| 109 | -375 | -41 | 0,041 | 0,0081 | 0,04 | 0,001 | 99 ← | 24 |
| 110 | -225 | -41 | 0,04 | 0,0081 | 0,04 | 0,001 | 106 ← | 24 |
| 111 | -75 | -41 | 0,04 | 0,008 | 0,04 | 4·10 ⁻⁴ | 116 ↖ | 24 |
| 112 | 75 | -41 | 0,04 | 0,008 | 0,04 | 4·10 ⁻⁴ | 296 ↘ | 24 |
| 113 | 225 | -41 | 0,04 | 0,0081 | 0,04 | 0,001 | 285 → | 24 |
| 114 | 375 | -41 | 0,041 | 0,0081 | 0,04 | 0,001 | 279 → | 24 |
| 115 | 525 | -41 | 0,041 | 0,0082 | 0,04 | 0,001 | 275 → | 24 |
| 116 | 675 | -41 | 0,041 | 0,0082 | 0,039 | 0,002 | 272 → | 24 |
| 117 | 825 | -41 | 0,041 | 0,0082 | 0,039 | 0,002 | 271 → | 24 |
| 118 | 975 | -41 | 0,041 | 0,0083 | 0,039 | 0,002 | 270 → | 24 |
| 119 | 1125 | -41 | 0,041 | 0,0083 | 0,039 | 0,002 | 270 → | 24 |
| 120 | -1275 | 109 | 0,042 | 0,0083 | 0,039 | 0,003 | 97 ← | 22,8 |
| 121 | -1125 | 109 | 0,042 | 0,0083 | 0,039 | 0,003 | 98 ← | 24 |
| 122 | -975 | 109 | 0,041 | 0,0083 | 0,039 | 0,002 | 99 ← | 23,4 |
| 123 | -825 | 109 | 0,041 | 0,0083 | 0,039 | 0,002 | 101 ← | 24 |
| 124 | -675 | 109 | 0,041 | 0,0082 | 0,039 | 0,002 | 104 ← | 24 |
| 125 | -525 | 109 | 0,041 | 0,0082 | 0,039 | 0,002 | 108 ← | 24 |
| 126 | -375 | 109 | 0,041 | 0,0082 | 0,039 | 0,001 | 115 ↖ | 24 |

Продолжение таблицы 1.2.6

| № | Координаты | | Расчетная концентрация | | Фон, д.ПДК | Вклад предприятия, д.ПДК | Ветер | |
|-----|------------|--------|------------------------|-------------------|------------|--------------------------|-------------|---------------|
| | Х | У | д.ПДК | мг/м ³ | | | направл., ° | скорость, м/с |
| 1 | 2 | 3 | 4 | 5 | 6 | 7 | 8 | 9 |
| 127 | -225 | 109 | 0,041 | 0,0081 | 0,04 | 0,001 | 127 ↖ | 24 |
| 128 | -75 | 109 | 0,04 | 0,0081 | 0,04 | 0,001 | 153 ↖ | 24 |
| 129 | 75 | 109 | 0,04 | 0,008 | 0,04 | 0,001 | 182 ↑ | 24 |
| 130 | 225 | 109 | 0,04 | 0,008 | 0,04 | 0,001 | 208 ↗ | 24 |
| 131 | 375 | 109 | 0,041 | 0,0081 | 0,04 | 0,001 | 260 → | 24 |
| 132 | 525 | 109 | 0,041 | 0,0081 | 0,04 | 0,001 | 261 → | 24 |
| 133 | 675 | 109 | 0,041 | 0,0082 | 0,039 | 0,002 | 261 → | 24 |
| 134 | 825 | 109 | 0,041 | 0,0082 | 0,039 | 0,002 | 261 → | 24 |
| 135 | 975 | 109 | 0,041 | 0,0082 | 0,039 | 0,002 | 261 → | 24 |
| 136 | 1125 | 109 | 0,041 | 0,0083 | 0,039 | 0,002 | 262 → | 24 |
| 137 | -1275 | 259 | 0,042 | 0,0083 | 0,039 | 0,003 | 103 ← | 24 |
| 138 | -1125 | 259 | 0,042 | 0,0083 | 0,039 | 0,003 | 105 ← | 24 |
| 139 | -975 | 259 | 0,042 | 0,0083 | 0,039 | 0,003 | 107 ← | 24 |
| 140 | -825 | 259 | 0,041 | 0,0083 | 0,039 | 0,002 | 110 ← | 24 |
| 141 | -675 | 259 | 0,041 | 0,0083 | 0,039 | 0,002 | 114 ↖ | 23,4 |
| 142 | -525 | 259 | 0,041 | 0,0083 | 0,039 | 0,002 | 120 ↖ | 24 |
| 143 | -375 | 259 | 0,041 | 0,0082 | 0,039 | 0,002 | 130 ↖ | 24 |
| 144 | -225 | 259 | 0,041 | 0,0082 | 0,039 | 0,002 | 143 ↖ | 24 |
| 145 | -75 | 259 | 0,041 | 0,0082 | 0,04 | 0,001 | 160 ↑ | 24 |
| 146 | 75 | 259 | 0,041 | 0,0081 | 0,04 | 0,001 | 183 ↑ | 24 |
| 147 | 225 | 259 | 0,041 | 0,0081 | 0,04 | 0,001 | 202 ↑ | 24 |
| 148 | 375 | 259 | 0,041 | 0,0081 | 0,04 | 0,001 | 219 ↗ | 24 |
| 149 | 525 | 259 | 0,041 | 0,0081 | 0,04 | 0,001 | 245 ↗ | 24 |
| 150 | 675 | 259 | 0,041 | 0,0082 | 0,039 | 0,002 | 248 → | 24 |
| 151 | 825 | 259 | 0,041 | 0,0082 | 0,039 | 0,002 | 251 → | 24 |
| 152 | 975 | 259 | 0,041 | 0,0082 | 0,039 | 0,002 | 253 → | 24 |
| 153 | 1125 | 259 | 0,041 | 0,0083 | 0,039 | 0,002 | 255 → | 24 |
| 154 | -1275 | 409 | 0,042 | 0,0083 | 0,039 | 0,003 | 109 ← | 24 |
| 155 | -1125 | 409 | 0,042 | 0,0083 | 0,039 | 0,003 | 112 ← | 22,8 |
| 156 | -975 | 409 | 0,042 | 0,0083 | 0,039 | 0,003 | 115 ↖ | 23,8 |
| 157 | -825 | 409 | 0,042 | 0,0083 | 0,039 | 0,003 | 119 ↖ | 24 |
| 158 | -675 | 409 | 0,042 | 0,0083 | 0,039 | 0,003 | 124 ↖ | 24 |
| 159 | -525 | 409 | 0,041 | 0,0083 | 0,039 | 0,002 | 131 ↖ | 24 |
| 160 | -375 | 409 | 0,041 | 0,0083 | 0,039 | 0,002 | 140 ↖ | 24 |
| 161 | -225 | 409 | 0,041 | 0,0082 | 0,039 | 0,002 | 152 ↖ | 24 |
| 162 | -75 | 409 | 0,041 | 0,0082 | 0,039 | 0,002 | 167 ↑ | 24 |
| 163 | 75 | 409 | 0,041 | 0,0082 | 0,039 | 0,001 | 183 ↑ | 24 |
| 164 | 225 | 409 | 0,041 | 0,0082 | 0,04 | 0,001 | 198 ↑ | 24 |
| 165 | 375 | 409 | 0,041 | 0,0082 | 0,04 | 0,001 | 212 ↗ | 24 |
| 166 | 525 | 409 | 0,041 | 0,0082 | 0,039 | 0,001 | 224 ↗ | 24 |
| 167 | 675 | 409 | 0,041 | 0,0082 | 0,039 | 0,002 | 235 ↗ | 24 |
| 168 | 825 | 409 | 0,041 | 0,0082 | 0,039 | 0,002 | 241 ↗ | 24 |
| 169 | 975 | 409 | 0,041 | 0,0082 | 0,039 | 0,002 | 245 ↗ | 24 |
| 170 | 1125 | 409 | 0,041 | 0,0083 | 0,039 | 0,002 | 248 → | 24 |
| 171 | -1275 | 559.01 | 0,042 | 0,0084 | 0,039 | 0,003 | 115 ↖ | 23,8 |
| 172 | -1125 | 559.01 | 0,042 | 0,0084 | 0,039 | 0,003 | 118 ↖ | 24 |
| 173 | -975 | 559.01 | 0,042 | 0,0084 | 0,039 | 0,003 | 122 ↖ | 24 |
| 174 | -825 | 559.01 | 0,042 | 0,0083 | 0,039 | 0,003 | 126 ↖ | 24 |
| 175 | -675 | 559.01 | 0,042 | 0,0083 | 0,039 | 0,003 | 131 ↖ | 24 |
| 176 | -525 | 559.01 | 0,042 | 0,0083 | 0,039 | 0,003 | 139 ↖ | 24 |
| 177 | -375 | 559.01 | 0,042 | 0,0083 | 0,039 | 0,003 | 147 ↖ | 24 |
| 178 | -225 | 559.01 | 0,041 | 0,0083 | 0,039 | 0,002 | 158 ↑ | 24 |
| 179 | -75 | 559.01 | 0,041 | 0,0083 | 0,039 | 0,002 | 171 ↑ | 24 |
| 180 | 75 | 559.01 | 0,041 | 0,0082 | 0,039 | 0,002 | 184 ↑ | 24 |
| 181 | 225 | 559.01 | 0,041 | 0,0082 | 0,039 | 0,002 | 196 ↑ | 24 |
| 182 | 375 | 559.01 | 0,041 | 0,0082 | 0,039 | 0,002 | 208 ↗ | 24 |
| 183 | 525 | 559.01 | 0,041 | 0,0082 | 0,039 | 0,002 | 218 ↗ | 24 |
| 184 | 675 | 559.01 | 0,041 | 0,0082 | 0,039 | 0,002 | 227 ↗ | 24 |
| 185 | 825 | 559.01 | 0,041 | 0,0082 | 0,039 | 0,002 | 233 ↗ | 24 |
| 186 | 975 | 559.01 | 0,041 | 0,0083 | 0,039 | 0,002 | 238 ↗ | 24 |
| 187 | 1125 | 559.01 | 0,041 | 0,0083 | 0,039 | 0,002 | 241 ↗ | 24 |
| 188 | -1275 | 709.01 | 0,042 | 0,0084 | 0,039 | 0,003 | 120 ↖ | 24 |
| 189 | -1125 | 709.01 | 0,042 | 0,0084 | 0,039 | 0,003 | 124 ↖ | 23,7 |
| 190 | -975 | 709.01 | 0,042 | 0,0084 | 0,039 | 0,003 | 127 ↖ | 24 |

Продолжение таблицы 1.2.6

| № | Координаты | | Расчетная концентрация | | Фон, д.ПДК | Вклад предприятия, д.ПДК | Ветер | |
|-----|------------|--------|------------------------|-------------------|------------|--------------------------|-------------|---------------|
| | X | Y | д.ПДК | мг/м ³ | | | направл., ° | скорость, м/с |
| 1 | 2 | 3 | 4 | 5 | 6 | 7 | 8 | 9 |
| 191 | -825 | 709.01 | 0,042 | 0,0084 | 0,039 | 0,003 | 132 ↖ | 24 |
| 192 | -675 | 709.01 | 0,042 | 0,0084 | 0,039 | 0,003 | 138 ↖ | 24 |
| 193 | -525 | 709.01 | 0,042 | 0,0083 | 0,039 | 0,003 | 145 ↖ | 24 |
| 194 | -375 | 709.01 | 0,042 | 0,0083 | 0,039 | 0,003 | 153 ↖ | 23,4 |
| 195 | -225 | 709.01 | 0,042 | 0,0083 | 0,039 | 0,003 | 162 ↑ | 24 |
| 196 | -75 | 709.01 | 0,041 | 0,0083 | 0,039 | 0,002 | 173 ↑ | 24 |
| 197 | 75 | 709.01 | 0,041 | 0,0083 | 0,039 | 0,002 | 184 ↑ | 24 |
| 198 | 225 | 709.01 | 0,041 | 0,0082 | 0,039 | 0,002 | 195 ↗ | 24 |
| 199 | 375 | 709.01 | 0,041 | 0,0082 | 0,039 | 0,002 | 204 ↗ | 24 |
| 200 | 525 | 709.01 | 0,041 | 0,0082 | 0,039 | 0,002 | 213 ↗ | 24 |
| 201 | 675 | 709.01 | 0,041 | 0,0082 | 0,039 | 0,002 | 221 ↗ | 24 |
| 202 | 825 | 709.01 | 0,041 | 0,0083 | 0,039 | 0,002 | 227 ↗ | 24 |
| 203 | 975 | 709.01 | 0,041 | 0,0083 | 0,039 | 0,002 | 232 ↗ | 24 |
| 204 | 1125 | 709.01 | 0,041 | 0,0083 | 0,039 | 0,002 | 236 ↗ | 24 |
| 205 | -1275 | 859.01 | 0,042 | 0,0083 | 0,039 | 0,003 | 125 ↖ | 22,2 |
| 206 | -1125 | 859.01 | 0,042 | 0,0084 | 0,039 | 0,003 | 128 ↖ | 24 |
| 207 | -975 | 859.01 | 0,042 | 0,0084 | 0,039 | 0,003 | 132 ↖ | 24 |
| 208 | -825 | 859.01 | 0,042 | 0,0084 | 0,039 | 0,003 | 137 ↖ | 24 |
| 209 | -675 | 859.01 | 0,042 | 0,0083 | 0,039 | 0,003 | 143 ↖ | 22,8 |
| 210 | -525 | 859.01 | 0,042 | 0,0084 | 0,039 | 0,003 | 149 ↖ | 24 |
| 211 | -375 | 859.01 | 0,042 | 0,0083 | 0,039 | 0,003 | 157 ↖ | 22,8 |
| 212 | -225 | 859.01 | 0,042 | 0,0083 | 0,039 | 0,003 | 165 ↑ | 24 |
| 213 | -75 | 859.01 | 0,042 | 0,0083 | 0,039 | 0,003 | 174 ↑ | 23,4 |
| 214 | 75 | 859.01 | 0,041 | 0,0083 | 0,039 | 0,002 | 184 ↑ | 24 |
| 215 | 225 | 859.01 | 0,041 | 0,0083 | 0,039 | 0,002 | 193 ↑ | 24 |
| 216 | 375 | 859.01 | 0,041 | 0,0083 | 0,039 | 0,002 | 201 ↑ | 24 |
| 217 | 525 | 859.01 | 0,041 | 0,0083 | 0,039 | 0,002 | 209 ↗ | 24 |
| 218 | 675 | 859.01 | 0,041 | 0,0083 | 0,039 | 0,002 | 216 ↗ | 24 |
| 219 | 825 | 859.01 | 0,041 | 0,0083 | 0,039 | 0,002 | 222 ↗ | 24 |
| 220 | 975 | 859.01 | 0,041 | 0,0083 | 0,039 | 0,002 | 227 ↗ | 24 |
| 221 | 1125 | 859.01 | 0,041 | 0,0083 | 0,039 | 0,002 | 231 ↗ | 24 |

Ситуационная карта-схема района размещения предприятия, с нанесенными изолиниями расчётных концентраций, выраженных в долях ПДК, по расчетной площадке № 1 приведена в масштабе 1:15000 на рисунке 1.2.1.

301. Азота диоксид

Картограмма значений наибольших концен
менее 0.05

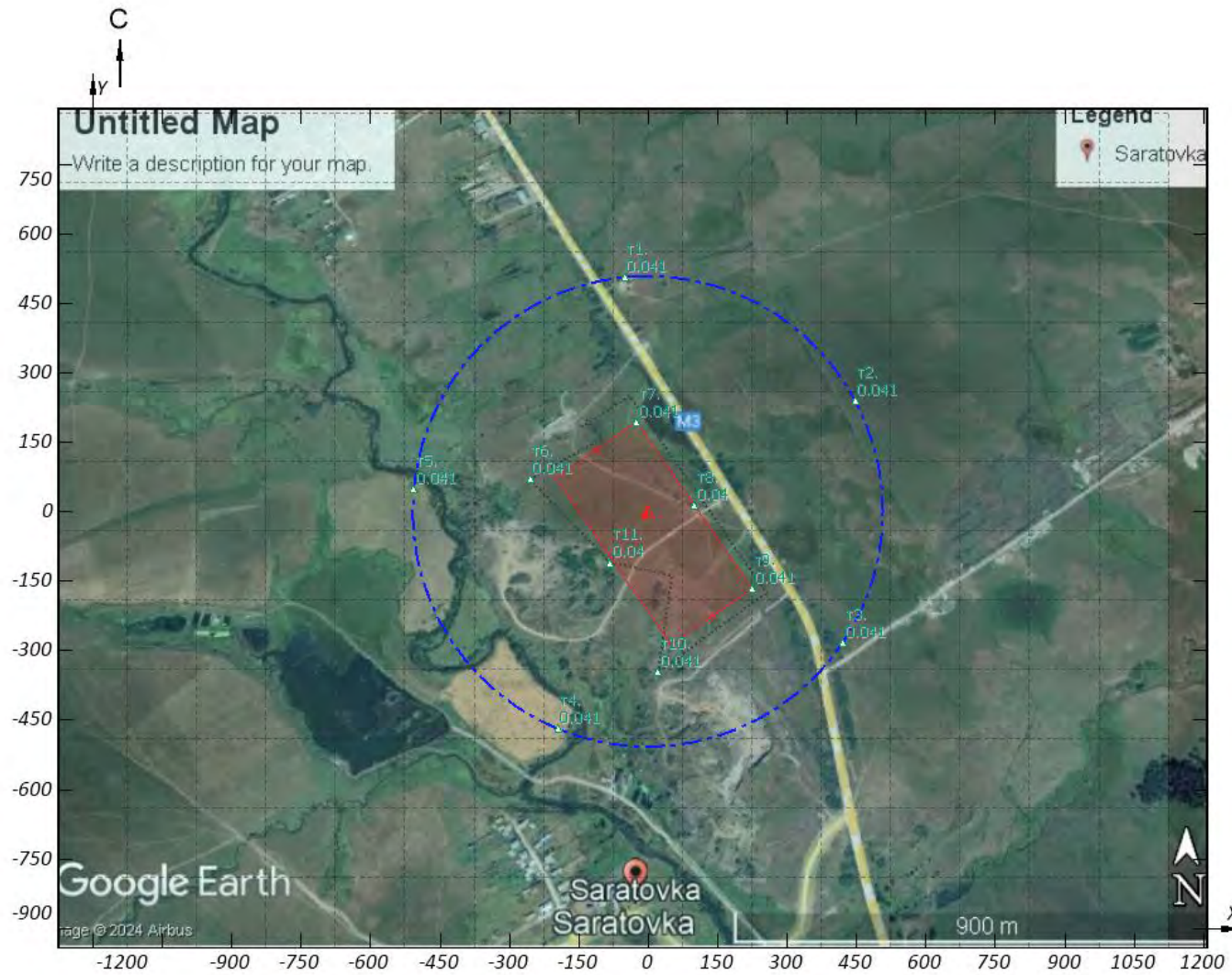


Рисунок 1.2.1 - Вариант № 1; Расчетная площадка №1

Масштаб 1:15000

I.3 Расчет загрязнения по веществу «330. Сера диоксид»

Полное наименование вещества с кодом 330 – Сера диоксид (Ангидрид сернистый). Максимально разовая предельно допустимая концентрация составляет $0,5 \text{ мг/м}^3$, класс опасности 3.

Количество источников загрязнения атмосферы, учтенных в расчёте составляет - 1 (в том числе: организованных - 1, неорганизованных - нет). Распределение источников по градациям высот составляет: 0-10 м – 1; 11-20 м – нет; 21-29 м – нет; 30-50 м – нет; 51-100 м – нет; более 100 м – нет.

Суммарный выброс, учтенных в расчёте источников, составляет 0,036 грамм в секунду и 0 тонн в год.

В расчёте учитывались фоновые концентрации, заданные на 1 ПНЗА (пост наблюдения за загрязнением атмосферы).

Сведения о концентрациях загрязняющих веществ на фоновых постах, используемых в расчете загрязнения атмосферы, приведены в таблице 1.3.1.

Таблица № 1.3.1 - Сведения о концентрациях загрязняющих веществ на фоновых постах

| Наименование фонового поста | Координаты поста | | Загрязняющее вещество | | Концентрация, мг/м ³ | | | | |
|--------------------------------------|------------------|---|-----------------------|--------------|---------------------------------|-------------------|------|------|------|
| | | | | | скорость ветра, м/с | | | | |
| | X | Y | код | наименование | 0 – 2 | 3 – и* | | | |
| | | | | | | направление ветра | | | |
| 1 | 2 | 3 | 4 | 5 | 6 | С | В | Ю | З |
| Расчетная площадка 1(СК Основная СК) | | | | | | | | | |
| 1. - | 0 | 0 | 330 | Сера диоксид | 0,02 | 0,02 | 0,02 | 0,02 | 0,02 |

Для каждого источника определены опасная скорость ветра, максимальная концентрация выброса в долях ПДК и расстояние, на котором достигается максимальная концентрация.

Параметры источников загрязнения атмосферы, учитываемых в данном варианте расчета, приведены в таблице 1.3.2.

Таблица № 1.3.2 - Параметры источников загрязнения атмосферы

| № ИЗА | Тип | Высота, м | Диаметр, м | Параметры ГВС | | | Координаты | | | | К рел | Опас. скор. ветра, м/с | Загрязняющее вещество | | | Макс. конц-я, д.ПДК | Расст. до максима, м |
|------------------|-----|-----------|------------|------------------------------------|--------------------------|-----------|-------------------|-------------------|-----------|-----|-------|------------------------|-----------------------|-------|----------------|---------------------|----------------------|
| | | | | скорость, м/с | объем, м ³ /с | темп., °С | X ₁ | Y ₁ | ширина, м | код | | | масса выброса, г/с | К ос. | | | |
| | | | | | | | | | | | | | | | X ₂ | | |
| 1 | 2 | 3 | 4 | 5 | 6 | 7 | 8 | 9 | 10 | 11 | 12 | 13 | 14 | 15 | 16 | 17 | |
| Объект: | | | | 1. Объект №1 «ЧшиԹԵԼԿա ԱրձուՆ» ՍՊԸ | | | | | | | | | | | | | |
| Площадка: | | | | 1. Площадка №1 | | | | | | | | | | | | | |
| Цех: | | | | 1. Цех №1 | | | | | | | | | | | | | |
| 1 | 4 | 2 | 100 | 3 | 23561,9 | 20 | 138.64 -111.66 | -227.86 133.24 | 213,3 | 1,2 | 429 | 330 | 0,036 | 1 | 0,004 | 446,86 | |

Расчет не целесообразен, т.к. См меньше константы целесообразности расчетов: $0,00364 < 0,05$.

I.4 Расчет загрязнения по веществу «337. Углерод оксид»

Полное наименование вещества с кодом 337 – Углерод оксид. Максимально разовая предельно допустимая концентрация составляет 5 мг/м³, класс опасности 4.

Количество источников загрязнения атмосферы, учтенных в расчете составляет - 1 (в том числе: организованных - 1, неорганизованных - нет). Распределение источников по градациям высот составляет: 0-10 м – 1; 11-20 м – нет; 21-29 м – нет; 30-50 м – нет; 51-100 м – нет; более 100 м – нет.

Суммарный выброс, учтенных в расчете источников, составляет 0,17 грамм в секунду и 0 тонн в год.

В расчете учитывались фоновые концентрации, заданные на 1 ПНЗА (пост наблюдения за загрязнением атмосферы).

Сведения о концентрациях загрязняющих веществ на фоновых постах, используемых в расчете загрязнения атмосферы, приведены в таблице 1.4.1.

Таблица № 1.4.1 - Сведения о концентрациях загрязняющих веществ на фоновых постах

| Наименование фонового поста | Координаты поста | | Загрязняющее вещество | | Концентрация, мг/м ³ | | | | | |
|--------------------------------------|------------------|---|-----------------------|---------------|---------------------------------|-------------------|-----|-----|-----|-----|
| | | | | | скорость ветра, м/с | | | | | |
| | X | Y | код | наименование | 0 – 2 | 3 – u* | | | | |
| | | | | | | направление ветра | | | | |
| 1 | 2 | 3 | 4 | 5 | 6 | С | В | Ю | З | 10 |
| Расчетная площадка 1(СК Основная СК) | | | | | | | | | | |
| 1. - | 0 | 0 | 337 | Углерод оксид | 0,4 | 0,4 | 0,4 | 0,4 | 0,4 | 0,4 |

Для каждого источника определены опасная скорость ветра, максимальная концентрация выброса в долях ПДК и расстояние, на котором достигается максимальная концентрация.

Параметры источников загрязнения атмосферы, учитываемых в данном варианте расчета, приведены в таблице 1.4.2.

Таблица № 1.4.2 - Параметры источников загрязнения атмосферы

| № ИЗА | Тип | Высота, м | Диаметр, м | Параметры ГВС | | | Координаты | | | К рел | Опас. скор. ветра, м/с | Загрязняющее вещество | | | Макс. конц-я, д.ПДК | Расст. до максима, м |
|--|-----|-----------|------------|---------------|--------------------------|-----------|-------------------|-------------------|-----------|-------|------------------------|-----------------------|--------------------|-------|---------------------|----------------------|
| | | | | скорость, м/с | объем, м ³ /с | темп., °С | X ₁ | Y ₁ | ширина, м | | | код | масса выброса, г/с | К ос. | | |
| 1 | 2 | 3 | 4 | 5 | 6 | 7 | 8 | 9 | 10 | 11 | 12 | 13 | 14 | 15 | 16 | 17 |
| Объект: 1. Объект №1 «ЧшиԳԵԼԿա Սթանկ» ՍՊԸ | | | | | | | | | | | | | | | | |
| Площадка: 1. Площадка №1 | | | | | | | | | | | | | | | | |
| Цех: 1. Цех №1 | | | | | | | | | | | | | | | | |
| 1 | 4 | 2 | 100 | 3 | 23561,9 | 20 | 138.64 -111.66 | -227.86 133.24 | 213,3 | 1,2 | 429 | 337 | 0,17 | 1 | 0,002 | 446,86 |

Расчет не целесообразен, т.к. См меньше константы целесообразности расчетов: 0,001718 < 0,05.

1.5 Расчет загрязнения по веществу «2754. Алканы C12-I9»

Полное наименование вещества с кодом 2754 – Алканы C12-C19 /в пересчете на суммарный органический углерод/ (Углеводороды предельные C12-C19, растворитель РПК-265П и др.). Максимально разовая предельно допустимая концентрация составляет 1 мг/м³, класс опасности 4.

Количество источников загрязнения атмосферы, учтенных в расчёте составляет - 1 (в том числе: организованных - 1, неорганизованных - нет). Распределение источников по градациям высот составляет: 0-10 м – 1; 11-20 м – нет; 21-29 м – нет; 30-50 м – нет; 51-100 м – нет; более 100 м – нет.

Суммарный выброс, учтенных в расчёте источников, составляет 0,073 грамм в секунду и 0 тонн в год.

Для каждого источника определены опасная скорость ветра, максимальная концентрация выброса в долях ПДК и расстояние, на котором достигается максимальная концентрация.

Параметры источников загрязнения атмосферы, учитываемых в данном варианте расчета, приведены в таблице 1.5.2.

Таблица № 1.5.2 - Параметры источников загрязнения атмосферы

| № ИЗА | Тип | Высота, м | Диаметр, м | Параметры ГВС | | | Координаты | | | К рел | Опас. скор. ветра, м/с | Загрязняющее вещество | | | Макс. конц-я, д.ПДК | Расст. до максиму-ма, м |
|------------------|-----|-----------|---|---------------|--------------------------|-----------|-------------------|-------------------|-----------|-------|------------------------|-----------------------|--------------------|-------|---------------------|-------------------------|
| | | | | скорость, м/с | объем, м ³ /с | темп., °С | X ₁ | Y ₁ | ширина, м | | | код | масса выброса, г/с | К ос. | | |
| 1 | 2 | 3 | 4 | 5 | 6 | 7 | 8 | 9 | 10 | 11 | 12 | 13 | 14 | 15 | 16 | 17 |
| Объект: | | | 1. Объект №1 «Чшвѣлѣш Урѣпплш» УТЦ | | | | | | | | | | | | | |
| Площадка: | | | 1. Площадка №1 | | | | | | | | | | | | | |
| Цех: | | | 1. Цех №1 | | | | | | | | | | | | | |
| 1 | 4 | 2 | 100 | 3 | 23561,9 | 20 | 138.64 -111.66 | -227.86 133.24 | 213,3 | 1,2 | 429 | 2754 | 0,073 | 1 | 0,004 | 446,86 |

Расчет не целесообразен, т.к. См меньше константы целесообразности расчетов: 0,00369<0,05.

1.6 Расчет загрязнения по веществу «2902. Взвешенные вещества»

Полное наименование вещества с кодом 2902 – Взвешенные вещества (недифференцированная по составу пыль (аэрозоль), содержащаяся в воздухе населенных пунктов). Максимально разовая предельно допустимая концентрация составляет 0,5 мг/м³, класс опасности 3.

Количество источников загрязнения атмосферы, учтенных в расчёте составляет - 1 (в том числе: организованных - 1, неорганизованных - нет). Распределение источников по грациям высот составляет: 0-10 м – 1; 11-20 м – нет; 21-29 м – нет; 30-50 м – нет; 51-100 м – нет; более 100 м – нет.

Суммарный выброс, учтенных в расчёте источников, составляет 0,027 грамм в секунду и 0 тонн в год.

В расчёте учитывались фоновые концентрации, заданные на 1 ПНЗА (пост наблюдения за загрязнением атмосферы).

Сведения о концентрациях загрязняющих веществ на фоновых постах, используемых в расчете загрязнения атмосферы, приведены в таблице 1.6.1.

Таблица № 1.6.1 - Сведения о концентрациях загрязняющих веществ на фоновых постах

| Наименование фонового поста | Координаты поста | | Загрязняющее вещество | | Концентрация, мг/м ³ | | | | |
|--------------------------------------|------------------|---|-----------------------|---------------------|---------------------------------|-------------------|-----|-----|-----|
| | | | | | скорость ветра, м/с | | | | |
| | X | Y | код | наименование | 0 – 2 | 3 – u* | | | |
| | | | | | | направление ветра | | | |
| 1 | 2 | 3 | 4 | 5 | 6 | С | В | Ю | З |
| Расчетная площадка 1(СК Основная СК) | | | | | | | | | |
| 1. - | 0 | 0 | 2902 | Взвешенные вещества | 0,2 | 0,2 | 0,2 | 0,2 | 0,2 |

Для каждого источника определены опасная скорость ветра, максимальная концентрация выброса в долях ПДК и расстояние, на котором достигается максимальная концентрация.

Параметры источников загрязнения атмосферы, учитываемых в данном варианте расчета, приведены в таблице 1.6.2.

Таблица № 1.6.2 - Параметры источников загрязнения атмосферы

| № ИЗА | Тип | Высота, м | Диаметр, м | Параметры ГВС | | | Координаты | | | К рел | Опас. скор. ветра, м/с | Загрязняющее вещество | | | Макс. конц-я, д.ПДК | Расст. до максима, м |
|---|-----|-----------|------------|---------------|--------------------------|-----------|-------------------|-------------------|-----------|-------|------------------------|-----------------------|--------------------|-------|---------------------|----------------------|
| | | | | скорость, м/с | объем, м ³ /с | темп., °С | X ₁ | Y ₁ | ширина, м | | | код | масса выброса, г/с | К ос. | | |
| 1 | 2 | 3 | 4 | 5 | 6 | 7 | 8 | 9 | 10 | 11 | 12 | 13 | 14 | 15 | 16 | 17 |
| Объект: 1. Объект №1 «Чувствительный Угол» | | | | | | | | | | | | | | | | |
| Площадка: 1. Площадка №1 | | | | | | | | | | | | | | | | |
| Цех: 1. Цех №1 | | | | | | | | | | | | | | | | |
| 1 | 4 | 2 | 100 | 3 | 23561,9 | 20 | 138.64 -111.66 | -227.86 133.24 | 213,3 | 1,2 | 429 | 2902 | 0,027 | 3 | 0,008 | 223,43 |

Расчет не целесообразен, т.к. См меньше константы целесообразности расчетов: 0,00819 < 0,05.

1.7 Расчет загрязнения по веществу «2908. Пыль неорганическая: SiO₂ 20-70%»

Полное наименование вещества с кодом 2908 – Пыль неорганическая, содержащая 70-20% двуокиси кремния (шамот, цемент, пыль цементного производства - глина, глинистый сланец, доменный шлак, песок, клинкер, зола кремнезем и др.). Максимально разовая предельно допустимая концентрация составляет 0,3 мг/м³, класс опасности 3.

Количество источников загрязнения атмосферы, учтенных в расчёте составляет - 1 (в том числе: организованных - 1, неорганизованных - нет). Распределение источников по градам высот составляет: 0-10 м – 1; 11-20 м – нет; 21-29 м – нет; 30-50 м – нет; 51-100 м – нет; более 100 м – нет.

Суммарный выброс, учтенных в расчёте источников, составляет 0,633 грамм в секунду и 0 тонн в год.

Расчётных точек – 11, расчётных площадок - 1 (узлов расчётной сетки - 221).

Максимальная расчётная приземная концентрация (См), выраженная в долях ПДК населенных мест, по расчётной площадке № 1 составляет:

- на границе СЗЗ **0,007**, которая достигается в точке № 1 X=-49,8 Y=505,59, при направлении ветра 172°, скорости ветра 24 м/с, в том числе: вклад источников предприятия 0,007.

Сведения о типе и координатах точек, в которых выполнялся расчет загрязнения атмосферы, приведены в таблице 1.7.2.

Таблица № 1.7.2 - Параметры расчетных точек

| Наименование | Координаты | | | Тип точки |
|--------------------------------------|------------|---------|-----------|-----------------------|
| | X | Y | высота, м | |
| 1 | 2 | 3 | 4 | 5 |
| Расчетная площадка 1(СК Основная СК) | | | | |
| 1 | -49,8 | 505,59 | 2 | Точка на границе ОСЗЗ |
| 2 | 448,05 | 239,49 | 2 | Точка на границе ОСЗЗ |
| 3 | 422,42 | -282,25 | 2 | Точка на границе ОСЗЗ |
| 4 | -194,42 | -469,37 | 2 | Точка на границе ОСЗЗ |
| 5 | -505,59 | 49,8 | 2 | Точка на границе ОСЗЗ |
| 6 | -254,4 | 69,5 | 2 | Точка в промзоне |
| 7 | -24,01 | 193,99 | 2 | Точка в промзоне |
| 8 | 101,14 | 13,45 | 2 | Точка в промзоне |
| 9 | 226,29 | -167,1 | 2 | Точка в промзоне |
| 10 | 22,9 | -345,4 | 2 | Точка в промзоне |
| 11 | -80,8 | -110,5 | 2 | Точка в промзоне |

Сведения о координатах расчетных площадок, шаге расчетной сетки, каждый узел которой образует расчетную точку, приведены в таблице 1.7.3.

Таблица № 1.7.3 - Параметры расчетных площадок

| Наименование | Координаты срединной линии | | | | Ширина, м | Высота, м | Шаг сетки, м | Шаг СЗЗ, м |
|--------------|----------------------------|----------------|----------------|----------------|-----------|-----------|--------------|------------|
| | точка 1 | | точка 2 | | | | | |
| | X ₁ | Y ₁ | X ₂ | Y ₂ | | | | |
| 1 | 2 | 3 | 4 | 5 | 6 | 7 | 8 | 9 |
| 1 | -1275 | -35,83 | 1207,78 | -35,83 | 1810,33 | 2 | 150 | - |

Для каждого источника определены опасная скорость ветра, максимальная концентрация выброса в долях ПДК и расстояние, на котором достигается максимальная концентрация.

Параметры источников загрязнения атмосферы, учитываемых в данном варианте расчета, приведены в таблице 1.7.4.

Таблица № 1.7.4 - Параметры источников загрязнения атмосферы

| № ИЗА | Тип | Высота, м | Диаметр, м | Параметры ГВС | | | Координаты | | | К рел | Опас. скор. ветра, м/с | Загрязняющее вещество | | | Макс. конц-я, д.ПДК | Расст. до максима, м |
|--|-----|-----------|------------|---------------|-------------|-----------|-------------------|-------------------|-----------|-------|------------------------|-----------------------|--------------------|-------|---------------------|----------------------|
| | | | | скорость, м/с | объем, м³/с | темп., °С | X ₁ | Y ₁ | ширина, м | | | код | масса выброса, г/с | К ос. | | |
| | | | | | | | X ₂ | Y ₂ | | | | | | | | |
| 1 | 2 | 3 | 4 | 5 | 6 | 7 | 8 | 9 | 10 | 11 | 12 | 13 | 14 | 15 | 16 | 17 |
| Объект: 1. Объект №1 «ЧийЫлцш Урэллн» УҮЦ Площадка: 1. Площадка №1 Цех: 1. Цех №1 | | | | | | | | | | | | | | | | |
| 1 | 4 | 2 | 100 | 3 | 23561,9 | 20 | 138.64 -111.66 | -227.86 133.24 | 213,3 | 1,2 | 429 | 2908 | 0,633 | 3 | 0,32 | 223,43 |

Значения приземных концентраций в каждой расчетной точке в атмосферном воздухе представляют собой суммарные максимально достижимые концентрации, соответствующие наиболее неблагоприятным метеорологическим условиям. Значения максимальных концентраций в расчетных точках приведены в таблице 1.7.5.

Таблица № 1.7.5 - Значения максимальных концентраций в расчетных точках

| Наименование | Тип | Координаты | | | Расчетная концентрация | | Фон, д.ПДК | Вклад предприятия, д.ПДК | Ветер: направление; скорость, °↑м/с | Пл., Цех, ИЗА | Вклад ИЗА | |
|--------------------------------------|-------|------------|---------|-----------|------------------------|---------|------------|--------------------------|-------------------------------------|---------------|-----------|-----|
| | | X | Y | высота, м | д.ПДК | мг/м³ | | | | | д. ПДК | % |
| 1 | 2 | 3 | 4 | 5 | 6 | 7 | 8 | 9 | 10 | 11 | 12 | 13 |
| Расчетная площадка 1(СК Основная СК) | | | | | | | | | | | | |
| 1 | ОСЗЗ | -49,8 | 505,59 | 2 | 0,007 | 0,0022 | - | 0,007 | 172 ↑ 24 | 1.1.1 | 0,007 | 100 |
| 2 | ОСЗЗ | 448,05 | 239,49 | 2 | 0,004 | 0,00123 | - | 0,004 | 246 ↗ 24 | 1.1.1 | 0,004 | 100 |
| 3 | ОСЗЗ | 422,42 | -282,25 | 2 | 0,007 | 0,002 | - | 0,007 | 302 ↘ 24 | 1.1.1 | 0,007 | 100 |
| 4 | ОСЗЗ | -194,42 | -469,37 | 2 | 0,005 | 0,00138 | - | 0,005 | 19 ↓ 24 | 1.1.1 | 0,005 | 100 |
| 5 | ОСЗЗ | -505,59 | 49,8 | 2 | 0,006 | 0,00175 | - | 0,006 | 104 ← 24 | 1.1.1 | 0,006 | 100 |
| 6 | Пром. | -254,4 | 69,5 | 2 | 0,004 | 0,0013 | - | 0,004 | 119 ↖ 24 | 1.1.1 | 0,004 | 100 |
| 7 | Пром. | -24,01 | 193,99 | 2 | 0,004 | 0,00116 | - | 0,004 | 166 ↑ 24 | 1.1.1 | 0,004 | 100 |
| 8 | Пром. | 101,14 | 13,45 | 2 | 0,001 | 0,00044 | - | 0,001 | 189 ↑ 24 | 1.1.1 | 0,001 | 100 |
| 9 | Пром. | 226,29 | -167,1 | 2 | 0,004 | 0,00116 | - | 0,004 | 305 ↘ 24 | 1.1.1 | 0,004 | 100 |
| 10 | Пром. | 22,9 | -345,4 | 2 | 0,004 | 0,0013 | - | 0,004 | 352 ↓ 24 | 1.1.1 | 0,004 | 100 |
| 11 | Пром. | -80,8 | -110,5 | 2 | 0,002 | 0,00046 | - | 0,002 | 100 ← 24 | 1.1.1 | 0,002 | 100 |

Результаты расчета по расчетной площадке № 1 приведены в таблице 1.7.6.

Таблица № 1.7.6 - Значения максимальных концентраций в узлах сетки расчетной площадки № 1

| № | Координаты | | Расчетная концентрация | | Фон, д.ПДК | Вклад предприятия, д.ПДК | Ветер | |
|----|------------|---------|------------------------|---------|------------|--------------------------|-------------|---------------|
| | X | Y | д.ПДК | мг/м³ | | | направл., ° | скорость, м/с |
| 1 | 2 | 3 | 4 | 5 | 6 | 7 | 8 | 9 |
| 1 | -1275 | -940.99 | 0,006 | 0,0019 | - | 0,006 | 55 ↙ | 24 |
| 2 | -1125 | -940.99 | 0,007 | 0,00195 | - | 0,007 | 52 ↙ | 24 |
| 3 | -975 | -940.99 | 0,007 | 0,002 | - | 0,007 | 48 ↙ | 24 |
| 4 | -825 | -940.99 | 0,007 | 0,002 | - | 0,007 | 43 ↙ | 24 |
| 5 | -675 | -940.99 | 0,007 | 0,00203 | - | 0,007 | 38 ↙ | 24 |
| 6 | -525 | -940.99 | 0,007 | 0,00206 | - | 0,007 | 31 ↙ | 24 |
| 7 | -375 | -940.99 | 0,007 | 0,0021 | - | 0,007 | 23 ↙ | 24 |
| 8 | -225 | -940.99 | 0,007 | 0,0022 | - | 0,007 | 15 ↓ | 24 |
| 9 | -75 | -940.99 | 0,008 | 0,0024 | - | 0,008 | 6 ↓ | 24 |
| 10 | 75 | -940.99 | 0,009 | 0,0026 | - | 0,009 | 356 ↓ | 24 |
| 11 | 225 | -940.99 | 0,009 | 0,00274 | - | 0,009 | 347 ↓ | 24 |
| 12 | 375 | -940.99 | 0,009 | 0,00283 | - | 0,009 | 338 ↓ | 24 |
| 13 | 525 | -940.99 | 0,01 | 0,00285 | - | 0,01 | 330 ↘ | 24 |
| 14 | 675 | -940.99 | 0,009 | 0,0028 | - | 0,009 | 323 ↘ | 24 |
| 15 | 825 | -940.99 | 0,009 | 0,0027 | - | 0,009 | 318 ↘ | 23,8 |

Продолжение таблицы 1.7.6

| № | Координаты | | Расчетная концентрация | | Фон, д.ПДК | Вклад предприятия, д.ПДК | Ветер | |
|----|------------|---------|------------------------|-------------------|------------|--------------------------|-------------|---------------|
| | Х | У | д.ПДК | мг/м ³ | | | направл., ° | скорость, м/с |
| 1 | 2 | 3 | 4 | 5 | 6 | 7 | 8 | 9 |
| 16 | 975 | -940.99 | 0,009 | 0,0026 | - | 0,009 | 313 ↘ | 24 |
| 17 | 1125 | -940.99 | 0,008 | 0,00246 | - | 0,008 | 309 ↘ | 24 |
| 18 | -1275 | -790.99 | 0,006 | 0,00194 | - | 0,006 | 60 ↙ | 24 |
| 19 | -1125 | -790.99 | 0,007 | 0,00197 | - | 0,007 | 57 ↙ | 24 |
| 20 | -975 | -790.99 | 0,007 | 0,002 | - | 0,007 | 53 ↙ | 24 |
| 21 | -825 | -790.99 | 0,007 | 0,00197 | - | 0,007 | 48 ↙ | 24 |
| 22 | -675 | -790.99 | 0,006 | 0,00195 | - | 0,006 | 43 ↙ | 24 |
| 23 | -525 | -790.99 | 0,006 | 0,00193 | - | 0,006 | 35 ↙ | 24 |
| 24 | -375 | -790.99 | 0,006 | 0,00195 | - | 0,006 | 27 ↙ | 24 |
| 25 | -225 | -790.99 | 0,007 | 0,00204 | - | 0,007 | 17 ↓ | 24 |
| 26 | -75 | -790.99 | 0,007 | 0,00222 | - | 0,007 | 6 ↓ | 24 |
| 27 | 75 | -790.99 | 0,008 | 0,0025 | - | 0,008 | 355 ↓ | 24 |
| 28 | 225 | -790.99 | 0,009 | 0,0027 | - | 0,009 | 344 ↓ | 24 |
| 29 | 375 | -790.99 | 0,01 | 0,00286 | - | 0,01 | 334 ↘ | 24 |
| 30 | 525 | -790.99 | 0,01 | 0,0029 | - | 0,01 | 325 ↘ | 24 |
| 31 | 675 | -790.99 | 0,01 | 0,00286 | - | 0,01 | 318 ↘ | 24 |
| 32 | 825 | -790.99 | 0,009 | 0,00277 | - | 0,009 | 312 ↘ | 24 |
| 33 | 975 | -790.99 | 0,008 | 0,00247 | - | 0,008 | 308 ↘ | 22,5 |
| 34 | 1125 | -790.99 | 0,008 | 0,0025 | - | 0,008 | 304 ↘ | 23,7 |
| 35 | -1275 | -640.99 | 0,007 | 0,00197 | - | 0,007 | 65 ↙ | 24 |
| 36 | -1125 | -640.99 | 0,007 | 0,002 | - | 0,007 | 62 ↙ | 24 |
| 37 | -975 | -640.99 | 0,007 | 0,00198 | - | 0,007 | 59 ↙ | 24 |
| 38 | -825 | -640.99 | 0,006 | 0,00192 | - | 0,006 | 55 ↙ | 24 |
| 39 | -675 | -640.99 | 0,006 | 0,00184 | - | 0,006 | 49 ↙ | 24 |
| 40 | -525 | -640.99 | 0,006 | 0,00176 | - | 0,006 | 41 ↙ | 24 |
| 41 | -375 | -640.99 | 0,006 | 0,00172 | - | 0,006 | 30 ↙ | 24 |
| 42 | -225 | -640.99 | 0,006 | 0,00176 | - | 0,006 | 19 ↓ | 24 |
| 43 | -75 | -640.99 | 0,006 | 0,00193 | - | 0,006 | 6 ↓ | 24 |
| 44 | 75 | -640.99 | 0,008 | 0,00227 | - | 0,008 | 353 ↓ | 24 |
| 45 | 225 | -640.99 | 0,009 | 0,00257 | - | 0,009 | 340 ↓ | 24 |
| 46 | 375 | -640.99 | 0,009 | 0,00274 | - | 0,009 | 329 ↘ | 24 |
| 47 | 525 | -640.99 | 0,009 | 0,00284 | - | 0,009 | 319 ↘ | 24 |
| 48 | 675 | -640.99 | 0,009 | 0,00284 | - | 0,009 | 312 ↘ | 24 |
| 49 | 825 | -640.99 | 0,009 | 0,00276 | - | 0,009 | 306 ↘ | 24 |
| 50 | 975 | -640.99 | 0,009 | 0,00265 | - | 0,009 | 302 ↘ | 24 |
| 51 | 1125 | -640.99 | 0,008 | 0,00253 | - | 0,008 | 298 ↘ | 24 |
| 52 | -1275 | -490.99 | 0,007 | 0,002 | - | 0,007 | 71 ← | 24 |
| 53 | -1125 | -490.99 | 0,007 | 0,002 | - | 0,007 | 69 ← | 24 |
| 54 | -975 | -490.99 | 0,007 | 0,00197 | - | 0,007 | 66 ↙ | 24 |
| 55 | -825 | -490.99 | 0,006 | 0,00188 | - | 0,006 | 62 ↙ | 24 |
| 56 | -675 | -490.99 | 0,006 | 0,00174 | - | 0,006 | 58 ↙ | 24 |
| 57 | -525 | -490.99 | 0,005 | 0,00158 | - | 0,005 | 48 ↙ | 24 |
| 58 | -375 | -490.99 | 0,005 | 0,00146 | - | 0,005 | 35 ↙ | 24 |
| 59 | -225 | -490.99 | 0,005 | 0,00142 | - | 0,005 | 21 ↓ | 24 |
| 60 | -75 | -490.99 | 0,005 | 0,00155 | - | 0,005 | 6 ↓ | 24 |
| 61 | 75 | -490.99 | 0,006 | 0,0019 | - | 0,006 | 350 ↓ | 24 |
| 62 | 225 | -490.99 | 0,007 | 0,0022 | - | 0,007 | 333 ↘ | 24 |
| 63 | 375 | -490.99 | 0,008 | 0,0025 | - | 0,008 | 321 ↘ | 24 |
| 64 | 525 | -490.99 | 0,009 | 0,00266 | - | 0,009 | 311 ↘ | 24 |
| 65 | 675 | -490.99 | 0,009 | 0,0027 | - | 0,009 | 304 ↘ | 24 |
| 66 | 825 | -490.99 | 0,009 | 0,00266 | - | 0,009 | 299 ↘ | 24 |
| 67 | 975 | -490.99 | 0,008 | 0,00247 | - | 0,008 | 295 ↘ | 23,1 |
| 68 | 1125 | -490.99 | 0,008 | 0,0025 | - | 0,008 | 292 → | 24 |
| 69 | -1275 | -340.99 | 0,007 | 0,00206 | - | 0,007 | 77 ← | 24 |
| 70 | -1125 | -340.99 | 0,007 | 0,00205 | - | 0,007 | 75 ← | 24 |
| 71 | -975 | -340.99 | 0,007 | 0,002 | - | 0,007 | 74 ← | 24 |
| 72 | -825 | -340.99 | 0,006 | 0,00187 | - | 0,006 | 71 ← | 24 |
| 73 | -675 | -340.99 | 0,006 | 0,0017 | - | 0,006 | 69 ← | 24 |
| 74 | -525 | -340.99 | 0,005 | 0,00144 | - | 0,005 | 67 ↙ | 24 |
| 75 | -375 | -340.99 | 0,004 | 0,00117 | - | 0,004 | 42 ↙ | 24 |
| 76 | -225 | -340.99 | 0,004 | 0,00106 | - | 0,004 | 26 ↙ | 24 |
| 77 | -75 | -340.99 | 0,004 | 0,00112 | - | 0,004 | 6 ↓ | 24 |
| 78 | 75 | -340.99 | 0,005 | 0,00142 | - | 0,005 | 344 ↓ | 24 |
| 79 | 225 | -340.99 | 0,006 | 0,0017 | - | 0,006 | 324 ↘ | 24 |

Продолжение таблицы 1.7.6

| № | Координаты | | Расчетная концентрация | | Фон, д.ПДК | Вклад предприятия, д.ПДК | Ветер | |
|-----|------------|---------|------------------------|-------------------|------------|--------------------------|-------------|---------------|
| | Х | У | д.ПДК | мг/м ³ | | | направл., ° | скорость, м/с |
| 1 | 2 | 3 | 4 | 5 | 6 | 7 | 8 | 9 |
| 80 | 375 | -340.99 | 0,007 | 0,0021 | - | 0,007 | 311 ↘ | 24 |
| 81 | 525 | -340.99 | 0,008 | 0,00233 | - | 0,008 | 301 ↘ | 24 |
| 82 | 675 | -340.99 | 0,008 | 0,00236 | - | 0,008 | 294 ↘ | 23,4 |
| 83 | 825 | -340.99 | 0,008 | 0,00247 | - | 0,008 | 290 → | 24 |
| 84 | 975 | -340.99 | 0,008 | 0,00246 | - | 0,008 | 287 → | 24 |
| 85 | 1125 | -340.99 | 0,008 | 0,0024 | - | 0,008 | 285 → | 24 |
| 86 | -1275 | -190.99 | 0,007 | 0,0021 | - | 0,007 | 83 ← | 24 |
| 87 | -1125 | -190.99 | 0,007 | 0,0021 | - | 0,007 | 83 ← | 24 |
| 88 | -975 | -190.99 | 0,007 | 0,00206 | - | 0,007 | 82 ← | 24 |
| 89 | -825 | -190.99 | 0,006 | 0,00193 | - | 0,006 | 81 ← | 24 |
| 90 | -675 | -190.99 | 0,006 | 0,00172 | - | 0,006 | 81 ← | 24 |
| 91 | -525 | -190.99 | 0,005 | 0,00145 | - | 0,005 | 82 ← | 24 |
| 92 | -375 | -190.99 | 0,004 | 0,00112 | - | 0,004 | 82 ← | 24 |
| 93 | -225 | -190.99 | 0,003 | 0,00077 | - | 0,003 | 82 ← | 24 |
| 94 | -75 | -190.99 | 0,002 | 0,00068 | - | 0,002 | 7 ↓ | 24 |
| 95 | 75 | -190.99 | 0,003 | 0,00078 | - | 0,003 | 338 ↓ | 24 |
| 96 | 225 | -190.99 | 0,004 | 0,00122 | - | 0,004 | 308 ↘ | 24 |
| 97 | 375 | -190.99 | 0,005 | 0,0016 | - | 0,005 | 296 ↘ | 24 |
| 98 | 525 | -190.99 | 0,006 | 0,00186 | - | 0,006 | 288 → | 24 |
| 99 | 675 | -190.99 | 0,007 | 0,0021 | - | 0,007 | 283 → | 24 |
| 100 | 825 | -190.99 | 0,007 | 0,00223 | - | 0,007 | 280 → | 24 |
| 101 | 975 | -190.99 | 0,008 | 0,0023 | - | 0,008 | 278 → | 24 |
| 102 | 1125 | -190.99 | 0,008 | 0,0023 | - | 0,008 | 277 → | 24 |
| 103 | -1275 | -41 | 0,007 | 0,0022 | - | 0,007 | 90 ← | 24 |
| 104 | -1125 | -41 | 0,007 | 0,0022 | - | 0,007 | 90 ← | 24 |
| 105 | -975 | -41 | 0,007 | 0,00217 | - | 0,007 | 90 ← | 24 |
| 106 | -825 | -41 | 0,007 | 0,00206 | - | 0,007 | 91 ← | 24 |
| 107 | -675 | -41 | 0,006 | 0,00187 | - | 0,006 | 93 ← | 24 |
| 108 | -525 | -41 | 0,005 | 0,0016 | - | 0,005 | 96 ← | 24 |
| 109 | -375 | -41 | 0,004 | 0,00128 | - | 0,004 | 99 ← | 24 |
| 110 | -225 | -41 | 0,003 | 0,00093 | - | 0,003 | 106 ← | 24 |
| 111 | -75 | -41 | 0,002 | 0,00051 | - | 0,002 | 116 ↖ | 24 |
| 112 | 75 | -41 | 0,001 | 0,00042 | - | 0,001 | 296 ↘ | 24 |
| 113 | 225 | -41 | 0,003 | 0,00084 | - | 0,003 | 285 → | 24 |
| 114 | 375 | -41 | 0,004 | 0,0012 | - | 0,004 | 279 → | 24 |
| 115 | 525 | -41 | 0,005 | 0,00153 | - | 0,005 | 275 → | 24 |
| 116 | 675 | -41 | 0,006 | 0,0018 | - | 0,006 | 272 → | 24 |
| 117 | 825 | -41 | 0,007 | 0,002 | - | 0,007 | 270 → | 24 |
| 118 | 975 | -41 | 0,007 | 0,00214 | - | 0,007 | 270 → | 24 |
| 119 | 1125 | -41 | 0,007 | 0,0022 | - | 0,007 | 270 → | 24 |
| 120 | -1275 | 109 | 0,008 | 0,00225 | - | 0,008 | 97 ← | 24 |
| 121 | -1125 | 109 | 0,008 | 0,0023 | - | 0,008 | 98 ← | 24 |
| 122 | -975 | 109 | 0,008 | 0,0023 | - | 0,008 | 99 ← | 24 |
| 123 | -825 | 109 | 0,008 | 0,00226 | - | 0,008 | 101 ← | 24 |
| 124 | -675 | 109 | 0,007 | 0,00214 | - | 0,007 | 104 ← | 24 |
| 125 | -525 | 109 | 0,006 | 0,00194 | - | 0,006 | 108 ← | 24 |
| 126 | -375 | 109 | 0,006 | 0,0017 | - | 0,006 | 115 ↖ | 24 |
| 127 | -225 | 109 | 0,005 | 0,00135 | - | 0,005 | 127 ↖ | 24 |
| 128 | -75 | 109 | 0,003 | 0,00087 | - | 0,003 | 153 ↖ | 24 |
| 129 | 75 | 109 | 0,002 | 0,00073 | - | 0,002 | 182 ↑ | 24 |
| 130 | 225 | 109 | 0,002 | 0,00073 | - | 0,002 | 208 ↗ | 24 |
| 131 | 375 | 109 | 0,003 | 0,00105 | - | 0,003 | 260 → | 24 |
| 132 | 525 | 109 | 0,005 | 0,0014 | - | 0,005 | 261 → | 24 |
| 133 | 675 | 109 | 0,006 | 0,00167 | - | 0,006 | 260 → | 24 |
| 134 | 825 | 109 | 0,006 | 0,0019 | - | 0,006 | 260 → | 24 |
| 135 | 975 | 109 | 0,007 | 0,00203 | - | 0,007 | 261 → | 24 |
| 136 | 1125 | 109 | 0,007 | 0,0021 | - | 0,007 | 262 → | 24 |
| 137 | -1275 | 259 | 0,008 | 0,0023 | - | 0,008 | 103 ← | 24 |
| 138 | -1125 | 259 | 0,008 | 0,0024 | - | 0,008 | 105 ← | 24 |
| 139 | -975 | 259 | 0,008 | 0,00246 | - | 0,008 | 107 ← | 24 |
| 140 | -825 | 259 | 0,008 | 0,0025 | - | 0,008 | 110 ← | 24 |
| 141 | -675 | 259 | 0,008 | 0,0024 | - | 0,008 | 114 ↖ | 23,4 |
| 142 | -525 | 259 | 0,008 | 0,0024 | - | 0,008 | 120 ↖ | 24 |
| 143 | -375 | 259 | 0,007 | 0,0022 | - | 0,007 | 130 ↖ | 24 |

Продолжение таблицы 1.7.6

| № | Координаты | | Расчетная концентрация | | Фон, д.ПДК | Вклад предприятия, д.ПДК | Ветер | |
|-----|------------|--------|------------------------|-------------------|------------|--------------------------|-------------|---------------|
| | Х | У | д.ПДК | мг/м ³ | | | направл., ° | скорость, м/с |
| 1 | 2 | 3 | 4 | 5 | 6 | 7 | 8 | 9 |
| 144 | -225 | 259 | 0,006 | 0,0018 | - | 0,006 | 143 ↖ | 24 |
| 145 | -75 | 259 | 0,005 | 0,0015 | - | 0,005 | 160 ↑ | 24 |
| 146 | 75 | 259 | 0,004 | 0,0012 | - | 0,004 | 183 ↑ | 24 |
| 147 | 225 | 259 | 0,004 | 0,00109 | - | 0,004 | 202 ↑ | 24 |
| 148 | 375 | 259 | 0,004 | 0,00117 | - | 0,004 | 219 ↗ | 24 |
| 149 | 525 | 259 | 0,005 | 0,0014 | - | 0,005 | 245 ↗ | 24 |
| 150 | 675 | 259 | 0,005 | 0,00165 | - | 0,005 | 248 → | 24 |
| 151 | 825 | 259 | 0,006 | 0,00184 | - | 0,006 | 250 → | 24 |
| 152 | 975 | 259 | 0,007 | 0,00198 | - | 0,007 | 252 → | 24 |
| 153 | 1125 | 259 | 0,007 | 0,00204 | - | 0,007 | 255 → | 24 |
| 154 | -1275 | 409 | 0,008 | 0,00235 | - | 0,008 | 109 ← | 24 |
| 155 | -1125 | 409 | 0,008 | 0,00247 | - | 0,008 | 112 ← | 24 |
| 156 | -975 | 409 | 0,008 | 0,00247 | - | 0,008 | 115 ↖ | 23,1 |
| 157 | -825 | 409 | 0,009 | 0,00265 | - | 0,009 | 118 ↖ | 24 |
| 158 | -675 | 409 | 0,009 | 0,0027 | - | 0,009 | 124 ↖ | 23,7 |
| 159 | -525 | 409 | 0,009 | 0,0027 | - | 0,009 | 131 ↖ | 24 |
| 160 | -375 | 409 | 0,008 | 0,00255 | - | 0,008 | 140 ↖ | 24 |
| 161 | -225 | 409 | 0,008 | 0,0023 | - | 0,008 | 152 ↖ | 24 |
| 162 | -75 | 409 | 0,007 | 0,00203 | - | 0,007 | 167 ↑ | 24 |
| 163 | 75 | 409 | 0,005 | 0,00163 | - | 0,005 | 183 ↑ | 24 |
| 164 | 225 | 409 | 0,005 | 0,00146 | - | 0,005 | 198 ↑ | 24 |
| 165 | 375 | 409 | 0,005 | 0,00147 | - | 0,005 | 212 ↗ | 24 |
| 166 | 525 | 409 | 0,005 | 0,00157 | - | 0,005 | 225 ↗ | 24 |
| 167 | 675 | 409 | 0,006 | 0,00172 | - | 0,006 | 235 ↗ | 24 |
| 168 | 825 | 409 | 0,006 | 0,00186 | - | 0,006 | 241 ↗ | 24 |
| 169 | 975 | 409 | 0,007 | 0,00196 | - | 0,007 | 245 ↗ | 24 |
| 170 | 1125 | 409 | 0,007 | 0,002 | - | 0,007 | 248 → | 24 |
| 171 | -1275 | 559.01 | 0,008 | 0,00234 | - | 0,008 | 115 ↖ | 23,8 |
| 172 | -1125 | 559.01 | 0,008 | 0,0025 | - | 0,008 | 118 ↖ | 24 |
| 173 | -975 | 559.01 | 0,009 | 0,00263 | - | 0,009 | 121 ↖ | 24 |
| 174 | -825 | 559.01 | 0,009 | 0,00275 | - | 0,009 | 126 ↖ | 24 |
| 175 | -675 | 559.01 | 0,009 | 0,0028 | - | 0,009 | 131 ↖ | 24 |
| 176 | -525 | 559.01 | 0,01 | 0,00285 | - | 0,01 | 138 ↖ | 24 |
| 177 | -375 | 559.01 | 0,009 | 0,0028 | - | 0,009 | 147 ↖ | 24 |
| 178 | -225 | 559.01 | 0,009 | 0,0026 | - | 0,009 | 158 ↑ | 24 |
| 179 | -75 | 559.01 | 0,008 | 0,00236 | - | 0,008 | 171 ↑ | 24 |
| 180 | 75 | 559.01 | 0,007 | 0,002 | - | 0,007 | 184 ↑ | 24 |
| 181 | 225 | 559.01 | 0,006 | 0,0018 | - | 0,006 | 196 ↑ | 24 |
| 182 | 375 | 559.01 | 0,006 | 0,00175 | - | 0,006 | 208 ↗ | 24 |
| 183 | 525 | 559.01 | 0,006 | 0,00177 | - | 0,006 | 218 ↗ | 24 |
| 184 | 675 | 559.01 | 0,006 | 0,00184 | - | 0,006 | 227 ↗ | 24 |
| 185 | 825 | 559.01 | 0,006 | 0,0019 | - | 0,006 | 233 ↗ | 24 |
| 186 | 975 | 559.01 | 0,007 | 0,00197 | - | 0,007 | 238 ↗ | 24 |
| 187 | 1125 | 559.01 | 0,007 | 0,002 | - | 0,007 | 241 ↗ | 24 |
| 188 | -1275 | 709.01 | 0,008 | 0,00234 | - | 0,008 | 120 ↖ | 24 |
| 189 | -1125 | 709.01 | 0,008 | 0,0025 | - | 0,008 | 123 ↖ | 24 |
| 190 | -975 | 709.01 | 0,008 | 0,0025 | - | 0,008 | 127 ↖ | 22,8 |
| 191 | -825 | 709.01 | 0,009 | 0,00275 | - | 0,009 | 132 ↖ | 24 |
| 192 | -675 | 709.01 | 0,009 | 0,00284 | - | 0,009 | 138 ↖ | 24 |
| 193 | -525 | 709.01 | 0,01 | 0,0029 | - | 0,01 | 145 ↖ | 24 |
| 194 | -375 | 709.01 | 0,009 | 0,0028 | - | 0,009 | 153 ↖ | 23,4 |
| 195 | -225 | 709.01 | 0,009 | 0,00276 | - | 0,009 | 162 ↑ | 24 |
| 196 | -75 | 709.01 | 0,008 | 0,00255 | - | 0,008 | 173 ↑ | 24 |
| 197 | 75 | 709.01 | 0,008 | 0,0023 | - | 0,008 | 184 ↑ | 24 |
| 198 | 225 | 709.01 | 0,007 | 0,0021 | - | 0,007 | 195 ↑ | 24 |
| 199 | 375 | 709.01 | 0,007 | 0,00197 | - | 0,007 | 205 ↗ | 24 |
| 200 | 525 | 709.01 | 0,006 | 0,00194 | - | 0,006 | 214 ↗ | 24 |
| 201 | 675 | 709.01 | 0,007 | 0,00195 | - | 0,007 | 221 ↗ | 24 |
| 202 | 825 | 709.01 | 0,007 | 0,00198 | - | 0,007 | 227 ↗ | 24 |
| 203 | 975 | 709.01 | 0,007 | 0,002 | - | 0,007 | 232 ↗ | 24 |
| 204 | 1125 | 709.01 | 0,007 | 0,00198 | - | 0,007 | 236 ↗ | 24 |
| 205 | -1275 | 859.01 | 0,007 | 0,0021 | - | 0,007 | 125 ↖ | 22,2 |
| 206 | -1125 | 859.01 | 0,008 | 0,00243 | - | 0,008 | 128 ↖ | 24 |
| 207 | -975 | 859.01 | 0,009 | 0,00257 | - | 0,009 | 132 ↖ | 24 |

Продолжение таблицы 1.7.6

| № | Координаты | | Расчетная концентрация | | Фон, д.ПДК | Вклад предприятия, д.ПДК | Ветер | |
|-----|------------|--------|------------------------|-------------------|------------|--------------------------|-------------|---------------|
| | X | Y | д.ПДК | мг/м ³ | | | направл., ° | скорость, м/с |
| 1 | 2 | 3 | 4 | 5 | 6 | 7 | 8 | 9 |
| 208 | -825 | 859.01 | 0,009 | 0,0027 | - | 0,009 | 137 ↖ | 24 |
| 209 | -675 | 859.01 | 0,009 | 0,00263 | - | 0,009 | 143 ↖ | 22,8 |
| 210 | -525 | 859.01 | 0,009 | 0,00284 | - | 0,009 | 149 ↖ | 24 |
| 211 | -375 | 859.01 | 0,009 | 0,0027 | - | 0,009 | 157 ↖ | 22,8 |
| 212 | -225 | 859.01 | 0,009 | 0,00276 | - | 0,009 | 165 ↑ | 24 |
| 213 | -75 | 859.01 | 0,008 | 0,00254 | - | 0,008 | 174 ↑ | 23,4 |
| 214 | 75 | 859.01 | 0,008 | 0,00243 | - | 0,008 | 184 ↑ | 24 |
| 215 | 225 | 859.01 | 0,008 | 0,00226 | - | 0,008 | 193 ↑ | 24 |
| 216 | 375 | 859.01 | 0,007 | 0,00214 | - | 0,007 | 202 ↑ | 24 |
| 217 | 525 | 859.01 | 0,007 | 0,00207 | - | 0,007 | 209 ↗ | 24 |
| 218 | 675 | 859.01 | 0,007 | 0,00204 | - | 0,007 | 216 ↗ | 24 |
| 219 | 825 | 859.01 | 0,007 | 0,002 | - | 0,007 | 222 ↗ | 24 |
| 220 | 975 | 859.01 | 0,007 | 0,002 | - | 0,007 | 227 ↗ | 24 |
| 221 | 1125 | 859.01 | 0,007 | 0,00196 | - | 0,007 | 231 ↗ | 24 |

Ситуационная карта-схема района размещения предприятия, с нанесенными изолиниями расчётных концентраций, выраженных в долях ПДК, по расчетной площадке № 1 приведена в масштабе **1:15000** на рисунке 1.7.1.

2908. Пыль неорганическая: SiO₂ 20-70%

Картограмма значений наибольших концен
менее 0.05

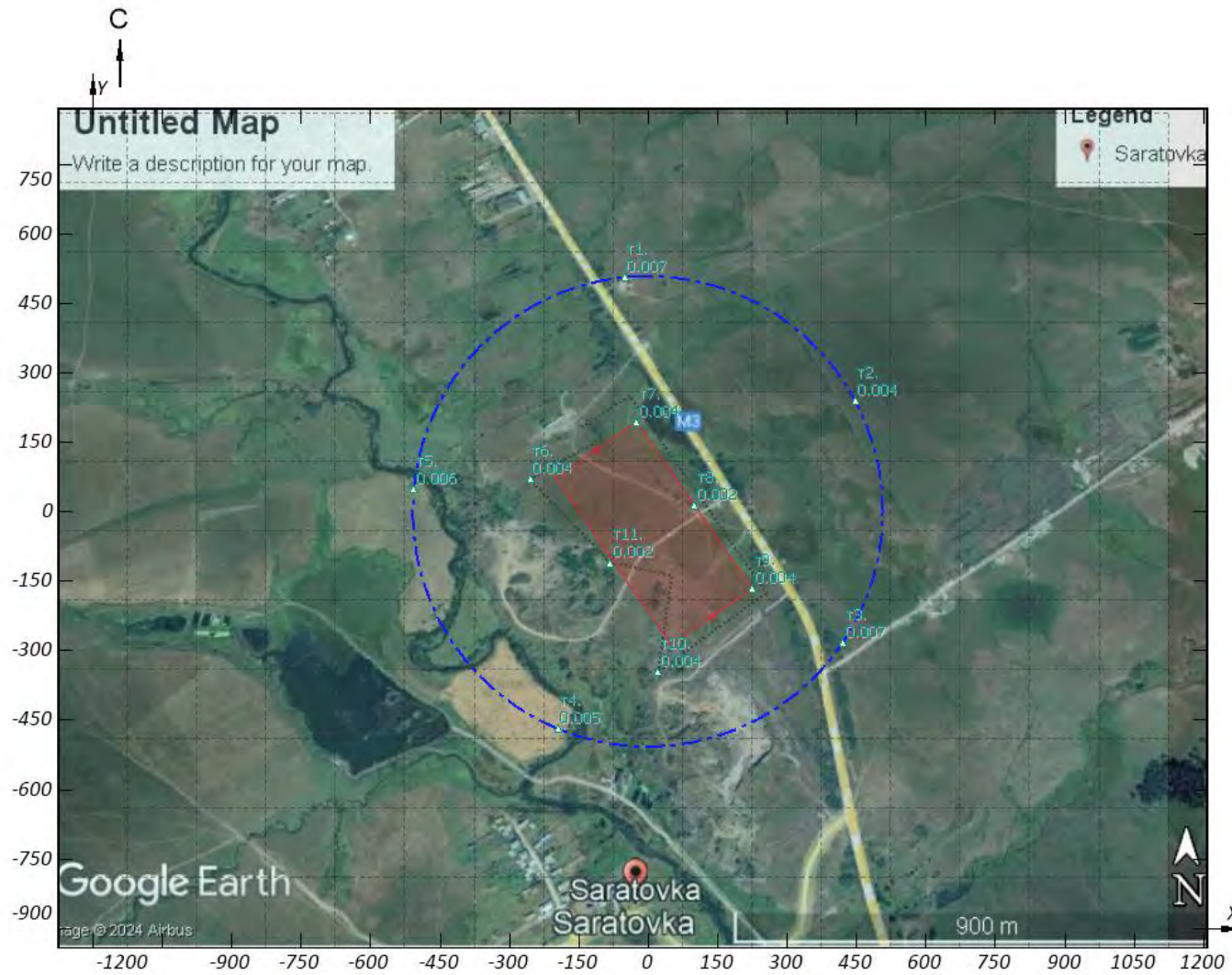


Рисунок 1.7.1 - Вариант № 1; Расчетная площадка №1

Масштаб 1:15000

I.8 Расчет загрязнения по группе суммации «6204. Азота диоксид, серы диоксид»

Эффектом неполной суммации обладают 6204. Азота диоксид, серы диоксид. Коэффициент комбинированного действия для данной группы суммации равен 1,6.

Количество источников загрязнения атмосферы, учтенных в расчёте составляет - 1 (в том числе: организованных - 1, неорганизованных - нет). Распределение источников по грациям высот составляет: 0-10 м – 1; 11-20 м – нет; 21-29 м – нет; 30-50 м – нет; 51-100 м – нет; более 100 м – нет.

Суммарный выброс, учтенных в расчёте источников, составляет 0,366 грамм в секунду и 0 тонн в год.

В расчёте учитывались фоновые концентрации, заданные на 1 ПНЗА (пост наблюдения за загрязнением атмосферы).

Расчётных точек – 11, расчётных площадок - 1 (узлов расчётной сетки - 221).

Максимальная расчётная приземная концентрация (См), выраженная в долях ПДК населенных мест, по расчётной площадке № 1 составляет:

- на границе СЗЗ **0,051**, которая достигается в точке № 1 $X=-49,8$ $Y=505,59$ при направлении ветра 172° , скорости ветра 24 м/с, в том числе: фоновая концентрация – 0,05 (фоновая концентрация до интерполяции – 0,0495), вклад источников предприятия – 0,001.

Сведения о концентрациях загрязняющих веществ на фоновых постах, используемых в расчете загрязнения атмосферы, приведены в таблице 1.8.1.

Таблица № 1.8.1 - Сведения о концентрациях загрязняющих веществ на фоновых постах

| Наименование фонового поста | Координаты поста | | Загрязняющее вещество | | Концентрация, мг/м ³ | | | | |
|--------------------------------------|------------------|---|-----------------------|---------------|---------------------------------|-------------------|-------|-------|-------|
| | | | | | скорость ветра, м/с | | | | |
| | Х | Y | код | наименование | 0 – 2 | 3 – u* | | | |
| | | | | | | направление ветра | | | |
| | | | | | С | В | Ю | З | |
| 1 | 2 | 3 | 4 | 5 | 6 | 7 | 8 | 9 | 10 |
| Расчетная площадка 1(СК Основная СК) | | | | | | | | | |
| 1. - | 0 | 0 | 301 | Азота диоксид | 0,008 | 0,008 | 0,008 | 0,008 | 0,008 |
| 1. - | 0 | 0 | 330 | Сера диоксид | 0,02 | 0,02 | 0,02 | 0,02 | 0,02 |

Сведения о типе и координатах точек, в которых выполнялся расчет загрязнения атмосферы, приведены в таблице 1.8.2.

Таблица № 1.8.2 - Параметры расчетных точек

| Наименование | Координаты | | | Тип точки |
|--------------------------------------|------------|---------|-----------|-----------------------|
| | Х | Y | высота, м | |
| 1 | 2 | 3 | 4 | 5 |
| Расчетная площадка 1(СК Основная СК) | | | | |
| 1 | -49,8 | 505,59 | 2 | Точка на границе ОСЗЗ |
| 2 | 448,05 | 239,49 | 2 | Точка на границе ОСЗЗ |
| 3 | 422,42 | -282,25 | 2 | Точка на границе ОСЗЗ |
| 4 | -194,42 | -469,37 | 2 | Точка на границе ОСЗЗ |
| 5 | -505,59 | 49,8 | 2 | Точка на границе ОСЗЗ |
| 6 | -254,4 | 69,5 | 2 | Точка в промзоне |
| 7 | -24,01 | 193,99 | 2 | Точка в промзоне |
| 8 | 101,14 | 13,45 | 2 | Точка в промзоне |
| 9 | 226,29 | -167,1 | 2 | Точка в промзоне |
| 10 | 22,9 | -345,4 | 2 | Точка в промзоне |
| 11 | -80,8 | -110,5 | 2 | Точка в промзоне |

Сведения о координатах расчетных площадок, шаге расчетной сетки, каждый узел которой образует расчетную точку, приведены в таблице 1.8.3.

Таблица № 1.8.3 - Параметры расчетных площадок

| Наименование | Координаты срединной линии | | | | Ширина, м | Высота, м | Шаг сетки, м | Шаг СЗЗ, м |
|--------------|----------------------------|----------------|----------------|----------------|-----------|-----------|--------------|------------|
| | точка 1 | | точка 2 | | | | | |
| | X ₁ | Y ₁ | X ₂ | Y ₂ | | | | |
| 1 | 2 | 3 | 4 | 5 | 6 | 7 | 8 | 9 |
| 1 | -1275 | -35,83 | 1207,78 | -35,83 | 1810,33 | 2 | 150 | - |

Для каждого источника определены опасная скорость ветра, максимальная концентрация выброса в долях ПДК и расстояние, на котором достигается максимальная концентрация.

Параметры источников загрязнения атмосферы, учитываемых в данном варианте расчета, приведены в таблице 1.8.4.

Таблица № 1.8.4 - Параметры источников загрязнения атмосферы

| № ИЗА | Тип | Высота, м | Диаметр, м | Параметры ГВС | | | Координаты | | | К рел | Опас. скор. ветра, м/с | Загрязняющее вещество | | | Макс. конц-я, д.ПДК | Расст. до максима, м |
|------------------|-----|-----------|------------|---|--------------------------|-----------|----------------|----------------|-----------|-------|------------------------|-----------------------|--------------------|-------|---------------------|----------------------|
| | | | | скорость, м/с | объем, м ³ /с | темп., °С | X ₁ | Y ₁ | ширина, м | | | код | масса выброса, г/с | К ос. | | |
| | | | | | | | | | | | | | | | | |
| 1 | 2 | 3 | 4 | 5 | 6 | 7 | 8 | 9 | 10 | 11 | 12 | 13 | 14 | 15 | 16 | 17 |
| Объект: | | | | 1. Объект №1 «Համելիշ Բրոնն» ՍՊԸ | | | | | | | | | | | | |
| Площадка: | | | | 1. Площадка №1 | | | | | | | | | | | | |
| Цех: | | | | 1. Цех №1 | | | | | | | | | | | | |
| 1 | 4 | 2 | 100 | 3 | 23561,9 | 20 | 138.64 | -227.86 | 213,3 | 1,2 | 429 | 301 | 0,33 | 1 | 0,083 | 446,86 |
| | | | | | | | -111.66 | 133.24 | | | | 330 | 0,036 | 1 | 0,004 | 446,86 |

Значения приземных концентраций в каждой расчетной точке в атмосферном воздухе представляют собой суммарные максимально достижимые концентрации, соответствующие наиболее неблагоприятным метеорологическим условиям. Значения максимальных концентраций в расчетных точках приведены в таблице 1.8.5.

Таблица № 1.8.5 - Значения максимальных концентраций в расчетных точках

| Наименование | Тип | Координаты | | | Расчетная концентрация | | Фон, д.ПДК | Вклад предприятия, д.ПДК | Ветер: направление; скорость, °↑м/с | Пл., Цех, ИЗА | Вклад ИЗА | |
|---|-------|------------|---------|-----------|------------------------|--------|------------|--------------------------|-------------------------------------|---------------|--------------------|------|
| | | X | Y | высота, м | д.ПДК | код ЗВ | | | | | д. ПДК | % |
| 1 | 2 | 3 | 4 | 5 | 6 | 7 | 8 | 9 | 10 | 11 | 12 | 13 |
| Расчетная площадка 1(СК Основная СК) | | | | | | | | | | | | |
| 1 | ОСЗЗ | -49,8 | 505,59 | 2 | 0,051 | 6204 | 0,05 | 0,001 | 172 ↑ 24 | 1.1.1 | 0,001 | 2,47 |
| 2 | ОСЗЗ | 448,05 | 239,49 | 2 | 0,05 | 6204 | 0,05 | 0,001 | 246 ↗ 24 | 1.1.1 | 0,001 | 1,4 |
| 3 | ОСЗЗ | 422,42 | -282,25 | 2 | 0,051 | 6204 | 0,05 | 0,001 | 302 ↘ 24 | 1.1.1 | 0,001 | 2,26 |
| 4 | ОСЗЗ | -194,42 | -469,37 | 2 | 0,05 | 6204 | 0,05 | 0,001 | 19 ↓ 24 | 1.1.1 | 0,001 | 1,55 |
| 5 | ОСЗЗ | -505,59 | 49,8 | 2 | 0,051 | 6204 | 0,05 | 0,001 | 104 ← 24 | 1.1.1 | 0,001 | 1,97 |
| 6 | Пром. | -254,4 | 69,5 | 2 | 0,05 | 6204 | 0,05 | 0,001 | 119 ↖ 24 | 1.1.1 | 0,001 | 1,46 |
| 7 | Пром. | -24,01 | 193,99 | 2 | 0,05 | 6204 | 0,05 | 0,001 | 166 ↑ 24 | 1.1.1 | 0,001 | 1,3 |
| 8 | Пром. | 101,14 | 13,45 | 2 | 0,05 | 6204 | 0,05 | 3·10 ⁻⁴ | 189 ↑ 24 | 1.1.1 | 3·10 ⁻⁴ | 0,5 |
| 9 | Пром. | 226,29 | -167,1 | 2 | 0,05 | 6204 | 0,05 | 0,001 | 305 ↘ 24 | 1.1.1 | 0,001 | 1,3 |
| 10 | Пром. | 22,9 | -345,4 | 2 | 0,05 | 6204 | 0,05 | 0,001 | 352 ↓ 24 | 1.1.1 | 0,001 | 1,47 |
| 11 | Пром. | -80,8 | -110,5 | 2 | 0,05 | 6204 | 0,05 | 3·10 ⁻⁴ | 100 ← 24 | 1.1.1 | 3·10 ⁻⁴ | 0,52 |

Результаты расчета по расчетной площадке № 1 приведены в таблице 1.8.6.

Таблица № 1.8.6 - Значения максимальных концентраций в узлах сетки расчетной площадки № 1

| № | Координаты | | Расчетная концентрация | | Фон, д.ПДК | Вклад предприятия, д.ПДК | Ветер | |
|----|------------|---------|------------------------|--------|------------|--------------------------|-------------|---------------|
| | X | Y | д.ПДК | код ЗВ | | | направл., ° | скорость, м/с |
| 1 | 2 | 3 | 4 | 5 | 6 | 7 | 8 | 9 |
| 1 | -1275 | -940.99 | 0,051 | - | 0,049 | 0,002 | 55 ↙ | 24 |
| 2 | -1125 | -940.99 | 0,051 | - | 0,049 | 0,002 | 52 ↙ | 24 |
| 3 | -975 | -940.99 | 0,051 | - | 0,049 | 0,002 | 48 ↙ | 24 |
| 4 | -825 | -940.99 | 0,051 | - | 0,049 | 0,002 | 43 ↙ | 24 |
| 5 | -675 | -940.99 | 0,051 | - | 0,049 | 0,001 | 37 ↙ | 24 |
| 6 | -525 | -940.99 | 0,051 | - | 0,049 | 0,001 | 31 ↙ | 24 |
| 7 | -375 | -940.99 | 0,051 | - | 0,049 | 0,001 | 23 ↙ | 24 |
| 8 | -225 | -940.99 | 0,051 | - | 0,049 | 0,001 | 15 ↓ | 24 |
| 9 | -75 | -940.99 | 0,051 | - | 0,049 | 0,002 | 5 ↓ | 24 |
| 10 | 75 | -940.99 | 0,051 | - | 0,049 | 0,002 | 356 ↓ | 24 |
| 11 | 225 | -940.99 | 0,051 | - | 0,049 | 0,002 | 347 ↓ | 24 |
| 12 | 375 | -940.99 | 0,051 | - | 0,049 | 0,002 | 338 ↓ | 24 |
| 13 | 525 | -940.99 | 0,051 | - | 0,049 | 0,002 | 330 ↘ | 24 |
| 14 | 675 | -940.99 | 0,051 | - | 0,049 | 0,002 | 323 ↘ | 24 |
| 15 | 825 | -940.99 | 0,051 | - | 0,049 | 0,002 | 318 ↘ | 23,8 |
| 16 | 975 | -940.99 | 0,051 | - | 0,049 | 0,002 | 313 ↘ | 24 |
| 17 | 1125 | -940.99 | 0,051 | - | 0,049 | 0,002 | 309 ↘ | 23,4 |
| 18 | -1275 | -790.99 | 0,051 | - | 0,049 | 0,002 | 60 ↙ | 24 |
| 19 | -1125 | -790.99 | 0,051 | - | 0,049 | 0,002 | 57 ↙ | 24 |
| 20 | -975 | -790.99 | 0,051 | - | 0,049 | 0,002 | 53 ↙ | 24 |
| 21 | -825 | -790.99 | 0,051 | - | 0,049 | 0,001 | 48 ↙ | 24 |
| 22 | -675 | -790.99 | 0,051 | - | 0,05 | 0,001 | 42 ↙ | 24 |
| 23 | -525 | -790.99 | 0,051 | - | 0,05 | 0,001 | 35 ↙ | 24 |
| 24 | -375 | -790.99 | 0,051 | - | 0,05 | 0,001 | 26 ↙ | 24 |
| 25 | -225 | -790.99 | 0,051 | - | 0,05 | 0,001 | 16 ↓ | 24 |
| 26 | -75 | -790.99 | 0,051 | - | 0,05 | 0,001 | 6 ↓ | 24 |
| 27 | 75 | -790.99 | 0,051 | - | 0,049 | 0,001 | 355 ↓ | 24 |
| 28 | 225 | -790.99 | 0,051 | - | 0,049 | 0,002 | 344 ↓ | 24 |
| 29 | 375 | -790.99 | 0,051 | - | 0,049 | 0,002 | 334 ↘ | 24 |
| 30 | 525 | -790.99 | 0,051 | - | 0,049 | 0,002 | 325 ↘ | 24 |
| 31 | 675 | -790.99 | 0,051 | - | 0,049 | 0,002 | 318 ↘ | 24 |
| 32 | 825 | -790.99 | 0,051 | - | 0,049 | 0,002 | 313 ↘ | 24 |
| 33 | 975 | -790.99 | 0,051 | - | 0,049 | 0,002 | 308 ↘ | 22,5 |
| 34 | 1125 | -790.99 | 0,051 | - | 0,049 | 0,002 | 304 ↘ | 24 |
| 35 | -1275 | -640.99 | 0,051 | - | 0,049 | 0,002 | 65 ↙ | 24 |
| 36 | -1125 | -640.99 | 0,051 | - | 0,049 | 0,002 | 62 ↙ | 23,8 |
| 37 | -975 | -640.99 | 0,051 | - | 0,049 | 0,001 | 59 ↙ | 24 |
| 38 | -825 | -640.99 | 0,051 | - | 0,05 | 0,001 | 55 ↙ | 24 |
| 39 | -675 | -640.99 | 0,051 | - | 0,05 | 0,001 | 49 ↙ | 24 |
| 40 | -525 | -640.99 | 0,051 | - | 0,05 | 0,001 | 40 ↙ | 24 |
| 41 | -375 | -640.99 | 0,051 | - | 0,05 | 0,001 | 30 ↙ | 24 |
| 42 | -225 | -640.99 | 0,051 | - | 0,05 | 0,001 | 18 ↓ | 24 |
| 43 | -75 | -640.99 | 0,051 | - | 0,05 | 0,001 | 6 ↓ | 24 |
| 44 | 75 | -640.99 | 0,051 | - | 0,05 | 0,001 | 353 ↓ | 24 |
| 45 | 225 | -640.99 | 0,051 | - | 0,049 | 0,001 | 340 ↓ | 24 |
| 46 | 375 | -640.99 | 0,051 | - | 0,049 | 0,002 | 329 ↘ | 24 |
| 47 | 525 | -640.99 | 0,051 | - | 0,049 | 0,002 | 319 ↘ | 24 |
| 48 | 675 | -640.99 | 0,051 | - | 0,049 | 0,002 | 312 ↘ | 24 |
| 49 | 825 | -640.99 | 0,051 | - | 0,049 | 0,002 | 306 ↘ | 24 |
| 50 | 975 | -640.99 | 0,051 | - | 0,049 | 0,002 | 302 ↘ | 24 |
| 51 | 1125 | -640.99 | 0,051 | - | 0,049 | 0,002 | 298 ↘ | 24 |
| 52 | -1275 | -490.99 | 0,051 | - | 0,049 | 0,002 | 71 ← | 24 |
| 53 | -1125 | -490.99 | 0,051 | - | 0,049 | 0,002 | 69 ← | 24 |
| 54 | -975 | -490.99 | 0,051 | - | 0,049 | 0,001 | 66 ↙ | 24 |
| 55 | -825 | -490.99 | 0,051 | - | 0,05 | 0,001 | 63 ↙ | 24 |
| 56 | -675 | -490.99 | 0,051 | - | 0,05 | 0,001 | 58 ↙ | 24 |
| 57 | -525 | -490.99 | 0,051 | - | 0,05 | 0,001 | 47 ↙ | 24 |
| 58 | -375 | -490.99 | 0,05 | - | 0,05 | 0,001 | 35 ↙ | 24 |
| 59 | -225 | -490.99 | 0,05 | - | 0,05 | 0,001 | 21 ↓ | 24 |
| 60 | -75 | -490.99 | 0,051 | - | 0,05 | 0,001 | 6 ↓ | 24 |
| 61 | 75 | -490.99 | 0,051 | - | 0,05 | 0,001 | 350 ↓ | 24 |
| 62 | 225 | -490.99 | 0,051 | - | 0,05 | 0,001 | 333 ↘ | 24 |

Продолжение таблицы 1.8.6

| № | Координаты | | Расчетная концентрация | | Фон, д.ПДК | Вклад предприятия, д.ПДК | Ветер | |
|-----|------------|---------|------------------------|--------|------------|--------------------------|-------------|---------------|
| | Х | У | д.ПДК | код ЗВ | | | направл., ° | скорость, м/с |
| 1 | 2 | 3 | 4 | 5 | 6 | 7 | 8 | 9 |
| 63 | 375 | -490.99 | 0,051 | - | 0,049 | 0,001 | 321 ↘ | 24 |
| 64 | 525 | -490.99 | 0,051 | - | 0,049 | 0,002 | 311 ↘ | 24 |
| 65 | 675 | -490.99 | 0,051 | - | 0,049 | 0,002 | 304 ↘ | 24 |
| 66 | 825 | -490.99 | 0,051 | - | 0,049 | 0,002 | 299 ↘ | 24 |
| 67 | 975 | -490.99 | 0,051 | - | 0,049 | 0,002 | 295 ↘ | 23,8 |
| 68 | 1125 | -490.99 | 0,051 | - | 0,049 | 0,002 | 292 → | 24 |
| 69 | -1275 | -340.99 | 0,051 | - | 0,049 | 0,002 | 77 ← | 24 |
| 70 | -1125 | -340.99 | 0,051 | - | 0,049 | 0,002 | 76 ← | 24 |
| 71 | -975 | -340.99 | 0,051 | - | 0,05 | 0,001 | 74 ← | 24 |
| 72 | -825 | -340.99 | 0,051 | - | 0,05 | 0,001 | 72 ← | 24 |
| 73 | -675 | -340.99 | 0,051 | - | 0,05 | 0,001 | 70 ← | 24 |
| 74 | -525 | -340.99 | 0,05 | - | 0,05 | 0,001 | 67 ↙ | 24 |
| 75 | -375 | -340.99 | 0,05 | - | 0,05 | 0,001 | 42 ↙ | 24 |
| 76 | -225 | -340.99 | 0,05 | - | 0,05 | 0,001 | 26 ↙ | 24 |
| 77 | -75 | -340.99 | 0,05 | - | 0,05 | 0,001 | 6 ↓ | 24 |
| 78 | 75 | -340.99 | 0,05 | - | 0,05 | 0,001 | 344 ↓ | 24 |
| 79 | 225 | -340.99 | 0,051 | - | 0,05 | 0,001 | 324 ↘ | 24 |
| 80 | 375 | -340.99 | 0,051 | - | 0,05 | 0,001 | 311 ↘ | 24 |
| 81 | 525 | -340.99 | 0,051 | - | 0,05 | 0,001 | 301 ↘ | 24 |
| 82 | 675 | -340.99 | 0,051 | - | 0,049 | 0,001 | 294 ↘ | 23,4 |
| 83 | 825 | -340.99 | 0,051 | - | 0,049 | 0,002 | 290 → | 24 |
| 84 | 975 | -340.99 | 0,051 | - | 0,049 | 0,002 | 287 → | 24 |
| 85 | 1125 | -340.99 | 0,051 | - | 0,049 | 0,002 | 285 → | 24 |
| 86 | -1275 | -190.99 | 0,051 | - | 0,049 | 0,002 | 84 ← | 24 |
| 87 | -1125 | -190.99 | 0,051 | - | 0,049 | 0,002 | 83 ← | 24 |
| 88 | -975 | -190.99 | 0,051 | - | 0,049 | 0,001 | 82 ← | 24 |
| 89 | -825 | -190.99 | 0,051 | - | 0,05 | 0,001 | 82 ← | 24 |
| 90 | -675 | -190.99 | 0,051 | - | 0,05 | 0,001 | 82 ← | 24 |
| 91 | -525 | -190.99 | 0,05 | - | 0,05 | 0,001 | 82 ← | 24 |
| 92 | -375 | -190.99 | 0,05 | - | 0,05 | 0,001 | 82 ← | 24 |
| 93 | -225 | -190.99 | 0,05 | - | 0,05 | 4·10 ⁻⁴ | 82 ← | 24 |
| 94 | -75 | -190.99 | 0,05 | - | 0,05 | 4·10 ⁻⁴ | 7 ↓ | 24 |
| 95 | 75 | -190.99 | 0,05 | - | 0,05 | 4·10 ⁻⁴ | 338 ↓ | 24 |
| 96 | 225 | -190.99 | 0,05 | - | 0,05 | 0,001 | 308 ↘ | 24 |
| 97 | 375 | -190.99 | 0,051 | - | 0,05 | 0,001 | 296 ↘ | 24 |
| 98 | 525 | -190.99 | 0,051 | - | 0,05 | 0,001 | 288 → | 24 |
| 99 | 675 | -190.99 | 0,051 | - | 0,05 | 0,001 | 284 → | 24 |
| 100 | 825 | -190.99 | 0,051 | - | 0,049 | 0,001 | 281 → | 24 |
| 101 | 975 | -190.99 | 0,051 | - | 0,049 | 0,002 | 279 → | 24 |
| 102 | 1125 | -190.99 | 0,051 | - | 0,049 | 0,002 | 277 → | 24 |
| 103 | -1275 | -41 | 0,051 | - | 0,049 | 0,002 | 90 ← | 24 |
| 104 | -1125 | -41 | 0,051 | - | 0,049 | 0,002 | 90 ← | 24 |
| 105 | -975 | -41 | 0,051 | - | 0,049 | 0,001 | 91 ← | 24 |
| 106 | -825 | -41 | 0,051 | - | 0,05 | 0,001 | 91 ← | 24 |
| 107 | -675 | -41 | 0,051 | - | 0,05 | 0,001 | 93 ← | 24 |
| 108 | -525 | -41 | 0,051 | - | 0,05 | 0,001 | 96 ← | 24 |
| 109 | -375 | -41 | 0,05 | - | 0,05 | 0,001 | 99 ← | 24 |
| 110 | -225 | -41 | 0,05 | - | 0,05 | 0,001 | 106 ← | 24 |
| 111 | -75 | -41 | 0,05 | - | 0,05 | 3·10 ⁻⁴ | 116 ↖ | 24 |
| 112 | 75 | -41 | 0,05 | - | 0,05 | 2·10 ⁻⁴ | 296 ↘ | 24 |
| 113 | 225 | -41 | 0,05 | - | 0,05 | 5·10 ⁻⁴ | 285 → | 24 |
| 114 | 375 | -41 | 0,05 | - | 0,05 | 0,001 | 279 → | 24 |
| 115 | 525 | -41 | 0,051 | - | 0,05 | 0,001 | 275 → | 24 |
| 116 | 675 | -41 | 0,051 | - | 0,05 | 0,001 | 272 → | 24 |
| 117 | 825 | -41 | 0,051 | - | 0,05 | 0,001 | 271 → | 24 |
| 118 | 975 | -41 | 0,051 | - | 0,049 | 0,001 | 270 → | 24 |
| 119 | 1125 | -41 | 0,051 | - | 0,049 | 0,002 | 270 → | 24 |
| 120 | -1275 | 109 | 0,051 | - | 0,049 | 0,002 | 97 ← | 22,8 |
| 121 | -1125 | 109 | 0,051 | - | 0,049 | 0,002 | 98 ← | 24 |
| 122 | -975 | 109 | 0,051 | - | 0,049 | 0,002 | 99 ← | 23,4 |
| 123 | -825 | 109 | 0,051 | - | 0,049 | 0,001 | 101 ← | 24 |
| 124 | -675 | 109 | 0,051 | - | 0,05 | 0,001 | 104 ← | 24 |
| 125 | -525 | 109 | 0,051 | - | 0,05 | 0,001 | 108 ← | 24 |
| 126 | -375 | 109 | 0,051 | - | 0,05 | 0,001 | 115 ↖ | 24 |

Продолжение таблицы 1.8.6

| № | Координаты | | Расчетная концентрация | | Фон, д.ПДК | Вклад предприятия, д.ПДК | Ветер | |
|-----|------------|--------|------------------------|--------|------------|--------------------------|-------------|---------------|
| | Х | У | д.ПДК | код ЗВ | | | направл., ° | скорость, м/с |
| 1 | 2 | 3 | 4 | 5 | 6 | 7 | 8 | 9 |
| 127 | -225 | 109 | 0,05 | - | 0,05 | 0,001 | 127 ↖ | 24 |
| 128 | -75 | 109 | 0,05 | - | 0,05 | 5·10 ⁻⁴ | 153 ↖ | 24 |
| 129 | 75 | 109 | 0,05 | - | 0,05 | 4·10 ⁻⁴ | 182 ↑ | 24 |
| 130 | 225 | 109 | 0,05 | - | 0,05 | 4·10 ⁻⁴ | 208 ↗ | 24 |
| 131 | 375 | 109 | 0,05 | - | 0,05 | 0,001 | 260 → | 24 |
| 132 | 525 | 109 | 0,05 | - | 0,05 | 0,001 | 261 → | 24 |
| 133 | 675 | 109 | 0,051 | - | 0,05 | 0,001 | 261 → | 24 |
| 134 | 825 | 109 | 0,051 | - | 0,05 | 0,001 | 261 → | 24 |
| 135 | 975 | 109 | 0,051 | - | 0,05 | 0,001 | 261 → | 24 |
| 136 | 1125 | 109 | 0,051 | - | 0,049 | 0,002 | 262 → | 24 |
| 137 | -1275 | 259 | 0,051 | - | 0,049 | 0,002 | 103 ← | 24 |
| 138 | -1125 | 259 | 0,051 | - | 0,049 | 0,002 | 105 ← | 24 |
| 139 | -975 | 259 | 0,051 | - | 0,049 | 0,002 | 107 ← | 24 |
| 140 | -825 | 259 | 0,051 | - | 0,049 | 0,002 | 110 ← | 24 |
| 141 | -675 | 259 | 0,051 | - | 0,049 | 0,001 | 114 ↖ | 23,4 |
| 142 | -525 | 259 | 0,051 | - | 0,049 | 0,001 | 120 ↖ | 24 |
| 143 | -375 | 259 | 0,051 | - | 0,05 | 0,001 | 130 ↖ | 24 |
| 144 | -225 | 259 | 0,051 | - | 0,05 | 0,001 | 143 ↖ | 24 |
| 145 | -75 | 259 | 0,051 | - | 0,05 | 0,001 | 160 ↑ | 24 |
| 146 | 75 | 259 | 0,05 | - | 0,05 | 0,001 | 183 ↑ | 24 |
| 147 | 225 | 259 | 0,05 | - | 0,05 | 0,001 | 202 ↑ | 24 |
| 148 | 375 | 259 | 0,05 | - | 0,05 | 0,001 | 219 ↗ | 24 |
| 149 | 525 | 259 | 0,05 | - | 0,05 | 0,001 | 245 ↗ | 24 |
| 150 | 675 | 259 | 0,051 | - | 0,05 | 0,001 | 248 → | 24 |
| 151 | 825 | 259 | 0,051 | - | 0,05 | 0,001 | 251 → | 24 |
| 152 | 975 | 259 | 0,051 | - | 0,05 | 0,001 | 253 → | 24 |
| 153 | 1125 | 259 | 0,051 | - | 0,049 | 0,001 | 255 → | 24 |
| 154 | -1275 | 409 | 0,051 | - | 0,049 | 0,002 | 109 ← | 24 |
| 155 | -1125 | 409 | 0,051 | - | 0,049 | 0,002 | 112 ← | 22,8 |
| 156 | -975 | 409 | 0,051 | - | 0,049 | 0,002 | 115 ↖ | 23,8 |
| 157 | -825 | 409 | 0,051 | - | 0,049 | 0,002 | 119 ↖ | 24 |
| 158 | -675 | 409 | 0,051 | - | 0,049 | 0,002 | 124 ↖ | 24 |
| 159 | -525 | 409 | 0,051 | - | 0,049 | 0,002 | 131 ↖ | 24 |
| 160 | -375 | 409 | 0,051 | - | 0,049 | 0,001 | 140 ↖ | 24 |
| 161 | -225 | 409 | 0,051 | - | 0,05 | 0,001 | 152 ↖ | 24 |
| 162 | -75 | 409 | 0,051 | - | 0,05 | 0,001 | 167 ↑ | 24 |
| 163 | 75 | 409 | 0,051 | - | 0,05 | 0,001 | 183 ↑ | 24 |
| 164 | 225 | 409 | 0,05 | - | 0,05 | 0,001 | 198 ↑ | 24 |
| 165 | 375 | 409 | 0,05 | - | 0,05 | 0,001 | 212 ↗ | 24 |
| 166 | 525 | 409 | 0,051 | - | 0,05 | 0,001 | 224 ↗ | 24 |
| 167 | 675 | 409 | 0,051 | - | 0,05 | 0,001 | 235 ↗ | 24 |
| 168 | 825 | 409 | 0,051 | - | 0,05 | 0,001 | 241 ↗ | 24 |
| 169 | 975 | 409 | 0,051 | - | 0,05 | 0,001 | 245 ↗ | 24 |
| 170 | 1125 | 409 | 0,051 | - | 0,049 | 0,001 | 248 → | 24 |
| 171 | -1275 | 559.01 | 0,051 | - | 0,049 | 0,002 | 115 ↖ | 23,8 |
| 172 | -1125 | 559.01 | 0,051 | - | 0,049 | 0,002 | 118 ↖ | 24 |
| 173 | -975 | 559.01 | 0,051 | - | 0,049 | 0,002 | 122 ↖ | 24 |
| 174 | -825 | 559.01 | 0,051 | - | 0,049 | 0,002 | 126 ↖ | 24 |
| 175 | -675 | 559.01 | 0,051 | - | 0,049 | 0,002 | 131 ↖ | 24 |
| 176 | -525 | 559.01 | 0,051 | - | 0,049 | 0,002 | 139 ↖ | 24 |
| 177 | -375 | 559.01 | 0,051 | - | 0,049 | 0,002 | 147 ↖ | 24 |
| 178 | -225 | 559.01 | 0,051 | - | 0,049 | 0,002 | 158 ↑ | 24 |
| 179 | -75 | 559.01 | 0,051 | - | 0,05 | 0,001 | 171 ↑ | 24 |
| 180 | 75 | 559.01 | 0,051 | - | 0,05 | 0,001 | 184 ↑ | 24 |
| 181 | 225 | 559.01 | 0,051 | - | 0,05 | 0,001 | 196 ↑ | 24 |
| 182 | 375 | 559.01 | 0,051 | - | 0,05 | 0,001 | 208 ↗ | 24 |
| 183 | 525 | 559.01 | 0,051 | - | 0,05 | 0,001 | 218 ↗ | 24 |
| 184 | 675 | 559.01 | 0,051 | - | 0,05 | 0,001 | 227 ↗ | 24 |
| 185 | 825 | 559.01 | 0,051 | - | 0,05 | 0,001 | 233 ↗ | 24 |
| 186 | 975 | 559.01 | 0,051 | - | 0,049 | 0,001 | 238 ↗ | 24 |
| 187 | 1125 | 559.01 | 0,051 | - | 0,049 | 0,002 | 241 ↗ | 24 |
| 188 | -1275 | 709.01 | 0,051 | - | 0,049 | 0,002 | 120 ↖ | 24 |
| 189 | -1125 | 709.01 | 0,051 | - | 0,049 | 0,002 | 124 ↖ | 23,7 |
| 190 | -975 | 709.01 | 0,051 | - | 0,049 | 0,002 | 127 ↖ | 24 |

Продолжение таблицы 1.8.6

| № | Координаты | | Расчетная концентрация | | Фон, д.ПДК | Вклад предприятия, д.ПДК | Ветер | |
|-----|------------|--------|------------------------|--------|------------|--------------------------|-------------|---------------|
| | Х | У | д.ПДК | код ЗВ | | | направл., ° | скорость, м/с |
| 1 | 2 | 3 | 4 | 5 | 6 | 7 | 8 | 9 |
| 191 | -825 | 709.01 | 0,051 | - | 0,049 | 0,002 | 132 ↖ | 24 |
| 192 | -675 | 709.01 | 0,051 | - | 0,049 | 0,002 | 138 ↖ | 24 |
| 193 | -525 | 709.01 | 0,051 | - | 0,049 | 0,002 | 145 ↖ | 24 |
| 194 | -375 | 709.01 | 0,051 | - | 0,049 | 0,002 | 153 ↖ | 23,4 |
| 195 | -225 | 709.01 | 0,051 | - | 0,049 | 0,002 | 162 ↑ | 24 |
| 196 | -75 | 709.01 | 0,051 | - | 0,049 | 0,002 | 173 ↑ | 24 |
| 197 | 75 | 709.01 | 0,051 | - | 0,049 | 0,001 | 184 ↑ | 24 |
| 198 | 225 | 709.01 | 0,051 | - | 0,05 | 0,001 | 195 ↑ | 24 |
| 199 | 375 | 709.01 | 0,051 | - | 0,05 | 0,001 | 204 ↗ | 24 |
| 200 | 525 | 709.01 | 0,051 | - | 0,05 | 0,001 | 213 ↗ | 24 |
| 201 | 675 | 709.01 | 0,051 | - | 0,05 | 0,001 | 221 ↗ | 24 |
| 202 | 825 | 709.01 | 0,051 | - | 0,049 | 0,001 | 227 ↗ | 24 |
| 203 | 975 | 709.01 | 0,051 | - | 0,049 | 0,001 | 232 ↗ | 24 |
| 204 | 1125 | 709.01 | 0,051 | - | 0,049 | 0,002 | 236 ↗ | 24 |
| 205 | -1275 | 859.01 | 0,051 | - | 0,049 | 0,002 | 125 ↖ | 22,2 |
| 206 | -1125 | 859.01 | 0,051 | - | 0,049 | 0,002 | 128 ↖ | 24 |
| 207 | -975 | 859.01 | 0,051 | - | 0,049 | 0,002 | 132 ↖ | 24 |
| 208 | -825 | 859.01 | 0,051 | - | 0,049 | 0,002 | 137 ↖ | 24 |
| 209 | -675 | 859.01 | 0,051 | - | 0,049 | 0,002 | 143 ↖ | 22,8 |
| 210 | -525 | 859.01 | 0,051 | - | 0,049 | 0,002 | 149 ↖ | 24 |
| 211 | -375 | 859.01 | 0,051 | - | 0,049 | 0,002 | 157 ↖ | 22,8 |
| 212 | -225 | 859.01 | 0,051 | - | 0,049 | 0,002 | 165 ↑ | 24 |
| 213 | -75 | 859.01 | 0,051 | - | 0,049 | 0,002 | 174 ↑ | 23,4 |
| 214 | 75 | 859.01 | 0,051 | - | 0,049 | 0,002 | 184 ↑ | 24 |
| 215 | 225 | 859.01 | 0,051 | - | 0,049 | 0,001 | 193 ↑ | 24 |
| 216 | 375 | 859.01 | 0,051 | - | 0,049 | 0,001 | 201 ↑ | 24 |
| 217 | 525 | 859.01 | 0,051 | - | 0,049 | 0,001 | 209 ↗ | 24 |
| 218 | 675 | 859.01 | 0,051 | - | 0,049 | 0,001 | 216 ↗ | 24 |
| 219 | 825 | 859.01 | 0,051 | - | 0,049 | 0,002 | 222 ↗ | 24 |
| 220 | 975 | 859.01 | 0,051 | - | 0,049 | 0,002 | 227 ↗ | 24 |
| 221 | 1125 | 859.01 | 0,051 | - | 0,049 | 0,002 | 231 ↗ | 24 |

Ситуационная карта-схема района размещения предприятия, с нанесенными изолиниями расчётных концентраций, выраженных в долях ПДК, по расчетной площадке № 1 приведена в масштабе 1:15000 на рисунке 1.8.1.

6204. Азота диоксид, серы диоксид

Картограмма значений наибольших концен
0.05 – 0.1

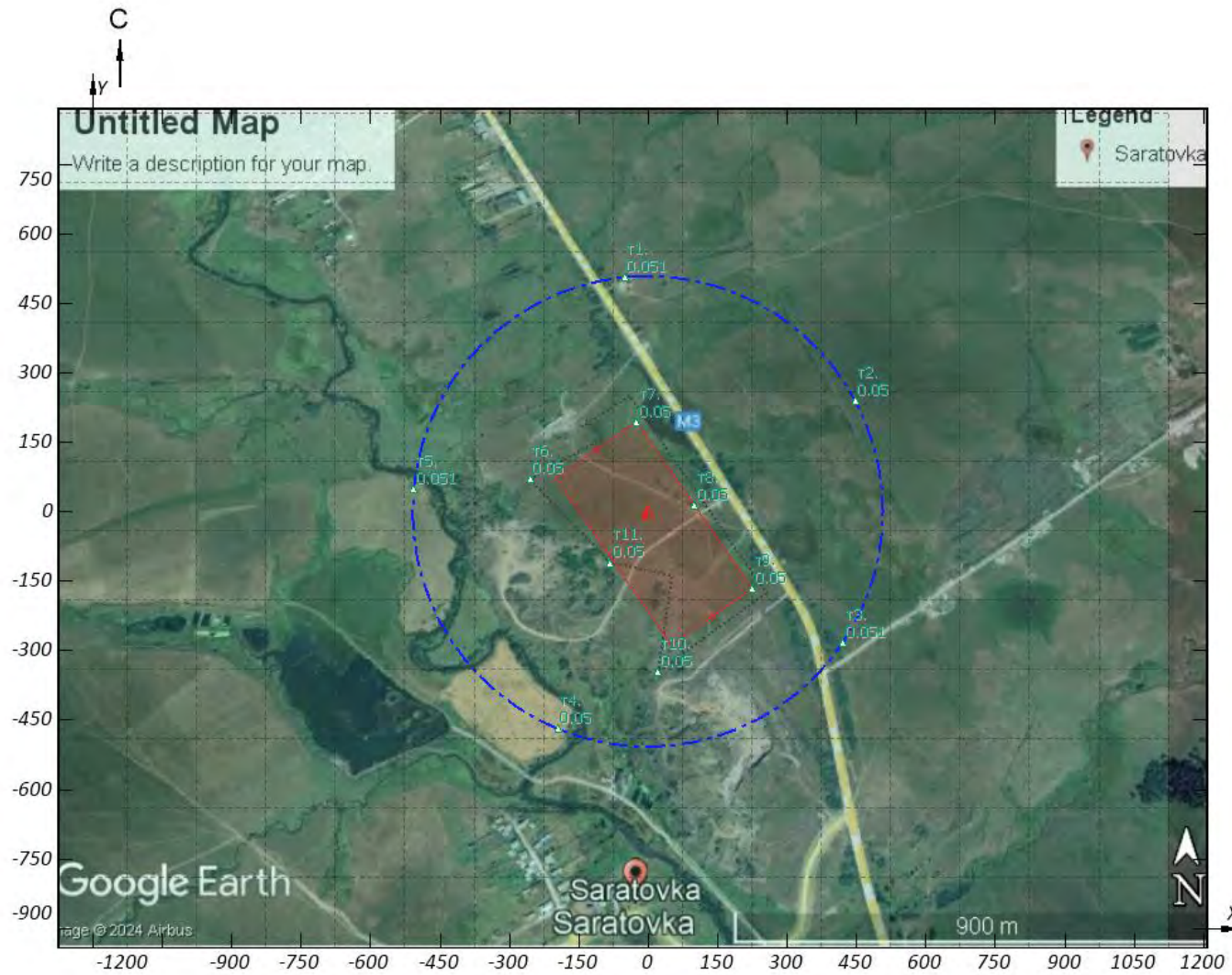


Рисунок 1.8.1 - Вариант № 1; Расчетная площадка №1

Масштаб 1:15000

1.9 Мажорантный расчет загрязнения по всем веществам и группам суммаций

Расчёт загрязнения для мажоранты проводится по всем источникам загрязнения атмосферы и по всем веществам и группам суммации. При этом результат расчёта для каждой расчётной точки представляет собой наибольшее значение из максимальных расчётных концентраций, полученных для данной точки отдельно по каждому из веществ и групп суммации.

Сведения о типе и координатах точек, в которых выполнялся расчет загрязнения атмосферы, приведены в таблице 1.9.2.

Таблица № 1.9.2 - Параметры расчетных точек

| Наименование | Координаты | | | Тип точки |
|--------------------------------------|------------|---------|-----------|-----------------------|
| | X | Y | высота, м | |
| 1 | 2 | 3 | 4 | 5 |
| Расчетная площадка 1(СК Основная СК) | | | | |
| 1 | -49,8 | 505,59 | 2 | Точка на границе ОСЗЗ |
| 2 | 448,05 | 239,49 | 2 | Точка на границе ОСЗЗ |
| 3 | 422,42 | -282,25 | 2 | Точка на границе ОСЗЗ |
| 4 | -194,42 | -469,37 | 2 | Точка на границе ОСЗЗ |
| 5 | -505,59 | 49,8 | 2 | Точка на границе ОСЗЗ |
| 6 | -254,4 | 69,5 | 2 | Точка в промзоне |
| 7 | -24,01 | 193,99 | 2 | Точка в промзоне |
| 8 | 101,14 | 13,45 | 2 | Точка в промзоне |
| 9 | 226,29 | -167,1 | 2 | Точка в промзоне |
| 10 | 22,9 | -345,4 | 2 | Точка в промзоне |
| 11 | -80,8 | -110,5 | 2 | Точка в промзоне |

Сведения о координатах расчетных площадок, шаге расчетной сетки, каждый узел которой образует расчетную точку, приведены в таблице 1.9.3.

Таблица № 1.9.3 - Параметры расчетных площадок

| Наименование | Координаты срединной линии | | | | Ширина, м | Высота, м | Шаг сетки, м | Шаг СЗЗ, м |
|--------------|----------------------------|----------------|----------------|----------------|-----------|-----------|--------------|------------|
| | точка 1 | | точка 2 | | | | | |
| | X ₁ | Y ₁ | X ₂ | Y ₂ | | | | |
| 1 | 2 | 3 | 4 | 5 | 6 | 7 | 8 | 9 |
| 1 | -1275 | -35,83 | 1207,78 | -35,83 | 1810,33 | 2 | 150 | - |

Для каждого источника определены опасная скорость ветра, максимальная концентрация выброса в долях ПДК и расстояние, на котором достигается максимальная концентрация.

Параметры источников загрязнения атмосферы, учитываемых в данном варианте расчета, приведены в таблице 1.9.4.

Таблица № 1.9.4 - Параметры источников загрязнения атмосферы

| № ИЗА | Тип | Высота, м | Диаметр, м | Параметры ГВС | | | Координаты | | | К рел | Опас. скор. ветра, м/с | Загрязняющее вещество | | | Макс. конц-я, д.ПДК | Расст. до максимума, м |
|--|-----|-----------|------------|---------------|--------------------------|-----------|----------------|----------------|-----------|-------|------------------------|-----------------------|--------------------|-------|---------------------|------------------------|
| | | | | скорость, м/с | объем, м ³ /с | темп., °С | X ₁ | Y ₁ | ширина, м | | | код | масса выброса, г/с | К ос. | | |
| | | | | | | | | | | | | | | | | |
| 1 | 2 | 3 | 4 | 5 | 6 | 7 | 8 | 9 | 10 | 11 | 12 | 13 | 14 | 15 | 16 | 17 |
| Объект: 1. Объект №1 «Чашбицш Բրոննի» ՍՊԸ Площадка: 1. Площадка №1 Цех: 1. Цех №1 | | | | | | | | | | | | | | | | |

Продолжение таблицы 1.9.4

| № ИЗА | Тип | Высота, м | Диаметр, м | Параметры ГВС | | | Координаты | | | К рел | Опас. скор. ветра, м/с | Загрязняющее вещество | | | Макс. конц-я, д.ПДК | Расст. до максима, м |
|-------|-----|-----------|------------|---------------|-------------|-----------|-------------------|-------------------|-----------|-------|------------------------|-----------------------|--------------------|-------|---------------------|----------------------|
| | | | | скорость, м/с | объем, м³/с | темп., °С | X ₁ | Y ₁ | ширина, м | | | код | масса выброса, г/с | К ос. | | |
| 1 | 2 | 3 | 4 | 5 | 6 | 7 | 8 | 9 | 10 | 11 | 12 | 13 | 14 | 15 | 16 | 17 |
| 1 | 4 | 2 | 100 | 3 | 23561,9 | 20 | 138.64 -111.66 | -227.86 133.24 | 213,3 | 1,2 | 429 | 2908 | 0,633 | 3 | 0,32 | 223,43 |
| | | | | | | | | | | | | 337 | 0,17 | 1 | 0,002 | 446,86 |
| | | | | | | | | | | | | 301 | 0,33 | 1 | 0,083 | 446,86 |
| | | | | | | | | | | | | 2754 | 0,073 | 1 | 0,004 | 446,86 |
| | | | | | | | | | | | | 2902 | 0,027 | 3 | 0,008 | 223,43 |
| | | | | | | | | | | | | 330 | 0,036 | 1 | 0,004 | 446,86 |

Значения приземных концентраций в каждой расчетной точке в атмосферном воздухе представляют собой суммарные максимально достижимые концентрации, соответствующие наиболее неблагоприятным метеорологическим условиям. Значения максимальных концентраций в расчетных точках приведены в таблице 1.9.5.

Таблица № 1.9.5 - Значения максимальных концентраций в расчетных точках

| Наименование | Тип | Координаты | | | Расчетная концентрация | | Фон, д.ПДК | Вклад предприятия, д.ПДК | Ветер: направление; скорость, °↑м/с | Пл., Цех, ИЗА | Вклад ИЗА | |
|--------------------------------------|-------|------------|---------|-----------|------------------------|--------|------------|--------------------------|-------------------------------------|---------------|--------------------|------|
| | | X | Y | высота, м | д.ПДК | код ЗВ | | | | | д. ПДК | % |
| 1 | 2 | 3 | 4 | 5 | 6 | 7 | 8 | 9 | 10 | 11 | 12 | 13 |
| Расчетная площадка 1(СК Основная СК) | | | | | | | | | | | | |
| 1 | ОСЗЗ | -49,8 | 505,59 | 2 | 0,051 | 6204 | 0,05 | 0,001 | 172 ↑ 24 | 1.1.1 | 0,001 | 2,47 |
| 2 | ОСЗЗ | 448,05 | 239,49 | 2 | 0,05 | 6204 | 0,05 | 0,001 | 246 ↗ 24 | 1.1.1 | 0,001 | 1,4 |
| 3 | ОСЗЗ | 422,42 | -282,25 | 2 | 0,051 | 6204 | 0,05 | 0,001 | 302 ↘ 24 | 1.1.1 | 0,001 | 2,26 |
| 4 | ОСЗЗ | -194,42 | -469,37 | 2 | 0,05 | 6204 | 0,05 | 0,001 | 19 ↓ 24 | 1.1.1 | 0,001 | 1,55 |
| 5 | ОСЗЗ | -505,59 | 49,8 | 2 | 0,051 | 6204 | 0,05 | 0,001 | 104 ← 24 | 1.1.1 | 0,001 | 1,97 |
| 6 | Пром. | -254,4 | 69,5 | 2 | 0,05 | 6204 | 0,05 | 0,001 | 119 ↖ 24 | 1.1.1 | 0,001 | 1,46 |
| 7 | Пром. | -24,01 | 193,99 | 2 | 0,05 | 6204 | 0,05 | 0,001 | 166 ↑ 24 | 1.1.1 | 0,001 | 1,3 |
| 8 | Пром. | 101,14 | 13,45 | 2 | 0,05 | 6204 | 0,05 | 3·10 ⁻⁴ | 189 ↑ 24 | 1.1.1 | 3·10 ⁻⁴ | 0,5 |
| 9 | Пром. | 226,29 | -167,1 | 2 | 0,05 | 6204 | 0,05 | 0,001 | 305 ↘ 24 | 1.1.1 | 0,001 | 1,3 |
| 10 | Пром. | 22,9 | -345,4 | 2 | 0,05 | 6204 | 0,05 | 0,001 | 352 ↓ 24 | 1.1.1 | 0,001 | 1,47 |
| 11 | Пром. | -80,8 | -110,5 | 2 | 0,05 | 6204 | 0,05 | 3·10 ⁻⁴ | 100 ← 24 | 1.1.1 | 3·10 ⁻⁴ | 0,52 |

Результаты расчета по расчетной площадке № 1 приведены в таблице 1.9.6.

Таблица № 1.9.6 - Значения максимальных концентраций в узлах сетки расчетной площадки № 1

| № | Координаты | | Расчетная концентрация | | Фон, д.ПДК | Вклад предприятия, д.ПДК | Ветер | |
|----|------------|---------|------------------------|--------|------------|--------------------------|-------------|---------------|
| | X | Y | д.ПДК | код ЗВ | | | направл., ° | скорость, м/с |
| 1 | 2 | 3 | 4 | 5 | 6 | 7 | 8 | 9 |
| 1 | -1275 | -940.99 | 0,051 | 6204 | 0,049 | 0,002 | 55 ↙ | 24 |
| 2 | -1125 | -940.99 | 0,051 | 6204 | 0,049 | 0,002 | 52 ↙ | 24 |
| 3 | -975 | -940.99 | 0,051 | 6204 | 0,049 | 0,002 | 48 ↙ | 24 |
| 4 | -825 | -940.99 | 0,051 | 6204 | 0,049 | 0,002 | 43 ↙ | 24 |
| 5 | -675 | -940.99 | 0,051 | 6204 | 0,049 | 0,001 | 37 ↙ | 24 |
| 6 | -525 | -940.99 | 0,051 | 6204 | 0,049 | 0,001 | 31 ↙ | 24 |
| 7 | -375 | -940.99 | 0,051 | 6204 | 0,049 | 0,001 | 23 ↙ | 24 |
| 8 | -225 | -940.99 | 0,051 | 6204 | 0,049 | 0,001 | 15 ↓ | 24 |
| 9 | -75 | -940.99 | 0,051 | 6204 | 0,049 | 0,002 | 5 ↓ | 24 |
| 10 | 75 | -940.99 | 0,051 | 6204 | 0,049 | 0,002 | 356 ↓ | 24 |
| 11 | 225 | -940.99 | 0,051 | 6204 | 0,049 | 0,002 | 347 ↓ | 24 |
| 12 | 375 | -940.99 | 0,051 | 6204 | 0,049 | 0,002 | 338 ↓ | 24 |
| 13 | 525 | -940.99 | 0,051 | 6204 | 0,049 | 0,002 | 330 ↘ | 24 |
| 14 | 675 | -940.99 | 0,051 | 6204 | 0,049 | 0,002 | 323 ↘ | 24 |
| 15 | 825 | -940.99 | 0,051 | 6204 | 0,049 | 0,002 | 318 ↘ | 23,8 |
| 16 | 975 | -940.99 | 0,051 | 6204 | 0,049 | 0,002 | 313 ↘ | 24 |

Продолжение таблицы 1.9.6

| № | Координаты | | Расчетная концентрация | | Фон, д.ПДК | Вклад предприятия, д.ПДК | Ветер | |
|----|------------|---------|------------------------|--------|------------|--------------------------|-------------|---------------|
| | Х | У | д.ПДК | код ЗВ | | | направл., ° | скорость, м/с |
| 1 | 2 | 3 | 4 | 5 | 6 | 7 | 8 | 9 |
| 17 | 1125 | -940.99 | 0,051 | 6204 | 0,049 | 0,002 | 309 ↘ | 23,4 |
| 18 | -1275 | -790.99 | 0,051 | 6204 | 0,049 | 0,002 | 60 ↙ | 24 |
| 19 | -1125 | -790.99 | 0,051 | 6204 | 0,049 | 0,002 | 57 ↙ | 24 |
| 20 | -975 | -790.99 | 0,051 | 6204 | 0,049 | 0,002 | 53 ↙ | 24 |
| 21 | -825 | -790.99 | 0,051 | 6204 | 0,049 | 0,001 | 48 ↙ | 24 |
| 22 | -675 | -790.99 | 0,051 | 6204 | 0,05 | 0,001 | 42 ↙ | 24 |
| 23 | -525 | -790.99 | 0,051 | 6204 | 0,05 | 0,001 | 35 ↙ | 24 |
| 24 | -375 | -790.99 | 0,051 | 6204 | 0,05 | 0,001 | 26 ↙ | 24 |
| 25 | -225 | -790.99 | 0,051 | 6204 | 0,05 | 0,001 | 16 ↓ | 24 |
| 26 | -75 | -790.99 | 0,051 | 6204 | 0,05 | 0,001 | 6 ↓ | 24 |
| 27 | 75 | -790.99 | 0,051 | 6204 | 0,049 | 0,001 | 355 ↓ | 24 |
| 28 | 225 | -790.99 | 0,051 | 6204 | 0,049 | 0,002 | 344 ↓ | 24 |
| 29 | 375 | -790.99 | 0,051 | 6204 | 0,049 | 0,002 | 334 ↘ | 24 |
| 30 | 525 | -790.99 | 0,051 | 6204 | 0,049 | 0,002 | 325 ↘ | 24 |
| 31 | 675 | -790.99 | 0,051 | 6204 | 0,049 | 0,002 | 318 ↘ | 24 |
| 32 | 825 | -790.99 | 0,051 | 6204 | 0,049 | 0,002 | 313 ↘ | 24 |
| 33 | 975 | -790.99 | 0,051 | 6204 | 0,049 | 0,002 | 308 ↘ | 22,5 |
| 34 | 1125 | -790.99 | 0,051 | 6204 | 0,049 | 0,002 | 304 ↘ | 24 |
| 35 | -1275 | -640.99 | 0,051 | 6204 | 0,049 | 0,002 | 65 ↙ | 24 |
| 36 | -1125 | -640.99 | 0,051 | 6204 | 0,049 | 0,002 | 62 ↙ | 23,8 |
| 37 | -975 | -640.99 | 0,051 | 6204 | 0,049 | 0,001 | 59 ↙ | 24 |
| 38 | -825 | -640.99 | 0,051 | 6204 | 0,05 | 0,001 | 55 ↙ | 24 |
| 39 | -675 | -640.99 | 0,051 | 6204 | 0,05 | 0,001 | 49 ↙ | 24 |
| 40 | -525 | -640.99 | 0,051 | 6204 | 0,05 | 0,001 | 40 ↙ | 24 |
| 41 | -375 | -640.99 | 0,051 | 6204 | 0,05 | 0,001 | 30 ↙ | 24 |
| 42 | -225 | -640.99 | 0,051 | 6204 | 0,05 | 0,001 | 18 ↓ | 24 |
| 43 | -75 | -640.99 | 0,051 | 6204 | 0,05 | 0,001 | 6 ↓ | 24 |
| 44 | 75 | -640.99 | 0,051 | 6204 | 0,05 | 0,001 | 353 ↓ | 24 |
| 45 | 225 | -640.99 | 0,051 | 6204 | 0,049 | 0,001 | 340 ↓ | 24 |
| 46 | 375 | -640.99 | 0,051 | 6204 | 0,049 | 0,002 | 329 ↘ | 24 |
| 47 | 525 | -640.99 | 0,051 | 6204 | 0,049 | 0,002 | 319 ↘ | 24 |
| 48 | 675 | -640.99 | 0,051 | 6204 | 0,049 | 0,002 | 312 ↘ | 24 |
| 49 | 825 | -640.99 | 0,051 | 6204 | 0,049 | 0,002 | 306 ↘ | 24 |
| 50 | 975 | -640.99 | 0,051 | 6204 | 0,049 | 0,002 | 302 ↘ | 24 |
| 51 | 1125 | -640.99 | 0,051 | 6204 | 0,049 | 0,002 | 298 ↘ | 24 |
| 52 | -1275 | -490.99 | 0,051 | 6204 | 0,049 | 0,002 | 71 ← | 24 |
| 53 | -1125 | -490.99 | 0,051 | 6204 | 0,049 | 0,002 | 69 ← | 24 |
| 54 | -975 | -490.99 | 0,051 | 6204 | 0,049 | 0,001 | 66 ↙ | 24 |
| 55 | -825 | -490.99 | 0,051 | 6204 | 0,05 | 0,001 | 63 ↙ | 24 |
| 56 | -675 | -490.99 | 0,051 | 6204 | 0,05 | 0,001 | 58 ↙ | 24 |
| 57 | -525 | -490.99 | 0,051 | 6204 | 0,05 | 0,001 | 47 ↙ | 24 |
| 58 | -375 | -490.99 | 0,05 | 6204 | 0,05 | 0,001 | 35 ↙ | 24 |
| 59 | -225 | -490.99 | 0,05 | 6204 | 0,05 | 0,001 | 21 ↓ | 24 |
| 60 | -75 | -490.99 | 0,051 | 6204 | 0,05 | 0,001 | 6 ↓ | 24 |
| 61 | 75 | -490.99 | 0,051 | 6204 | 0,05 | 0,001 | 350 ↓ | 24 |
| 62 | 225 | -490.99 | 0,051 | 6204 | 0,05 | 0,001 | 333 ↘ | 24 |
| 63 | 375 | -490.99 | 0,051 | 6204 | 0,049 | 0,001 | 321 ↘ | 24 |
| 64 | 525 | -490.99 | 0,051 | 6204 | 0,049 | 0,002 | 311 ↘ | 24 |
| 65 | 675 | -490.99 | 0,051 | 6204 | 0,049 | 0,002 | 304 ↘ | 24 |
| 66 | 825 | -490.99 | 0,051 | 6204 | 0,049 | 0,002 | 299 ↘ | 24 |
| 67 | 975 | -490.99 | 0,051 | 6204 | 0,049 | 0,002 | 295 ↘ | 23,8 |
| 68 | 1125 | -490.99 | 0,051 | 6204 | 0,049 | 0,002 | 292 → | 24 |
| 69 | -1275 | -340.99 | 0,051 | 6204 | 0,049 | 0,002 | 77 ← | 24 |
| 70 | -1125 | -340.99 | 0,051 | 6204 | 0,049 | 0,002 | 76 ← | 24 |
| 71 | -975 | -340.99 | 0,051 | 6204 | 0,05 | 0,001 | 74 ← | 24 |
| 72 | -825 | -340.99 | 0,051 | 6204 | 0,05 | 0,001 | 72 ← | 24 |
| 73 | -675 | -340.99 | 0,051 | 6204 | 0,05 | 0,001 | 70 ← | 24 |
| 74 | -525 | -340.99 | 0,05 | 6204 | 0,05 | 0,001 | 67 ↙ | 24 |
| 75 | -375 | -340.99 | 0,05 | 6204 | 0,05 | 0,001 | 42 ↙ | 24 |
| 76 | -225 | -340.99 | 0,05 | 6204 | 0,05 | 0,001 | 26 ↙ | 24 |
| 77 | -75 | -340.99 | 0,05 | 6204 | 0,05 | 0,001 | 6 ↓ | 24 |
| 78 | 75 | -340.99 | 0,05 | 6204 | 0,05 | 0,001 | 344 ↓ | 24 |
| 79 | 225 | -340.99 | 0,051 | 6204 | 0,05 | 0,001 | 324 ↘ | 24 |
| 80 | 375 | -340.99 | 0,051 | 6204 | 0,05 | 0,001 | 311 ↘ | 24 |

Продолжение таблицы 1.9.6

| № | Координаты | | Расчетная концентрация | | Фон, д.ПДК | Вклад предприятия, д.ПДК | Ветер | |
|-----|------------|---------|------------------------|--------|------------|--------------------------|-------------|---------------|
| | Х | У | д.ПДК | код ЗВ | | | направл., ° | скорость, м/с |
| 1 | 2 | 3 | 4 | 5 | 6 | 7 | 8 | 9 |
| 81 | 525 | -340.99 | 0,051 | 6204 | 0,05 | 0,001 | 301 ↘ | 24 |
| 82 | 675 | -340.99 | 0,051 | 6204 | 0,049 | 0,001 | 294 ↘ | 23,4 |
| 83 | 825 | -340.99 | 0,051 | 6204 | 0,049 | 0,002 | 290 → | 24 |
| 84 | 975 | -340.99 | 0,051 | 6204 | 0,049 | 0,002 | 287 → | 24 |
| 85 | 1125 | -340.99 | 0,051 | 6204 | 0,049 | 0,002 | 285 → | 24 |
| 86 | -1275 | -190.99 | 0,051 | 6204 | 0,049 | 0,002 | 84 ← | 24 |
| 87 | -1125 | -190.99 | 0,051 | 6204 | 0,049 | 0,002 | 83 ← | 24 |
| 88 | -975 | -190.99 | 0,051 | 6204 | 0,049 | 0,001 | 82 ← | 24 |
| 89 | -825 | -190.99 | 0,051 | 6204 | 0,05 | 0,001 | 82 ← | 24 |
| 90 | -675 | -190.99 | 0,051 | 6204 | 0,05 | 0,001 | 82 ← | 24 |
| 91 | -525 | -190.99 | 0,05 | 6204 | 0,05 | 0,001 | 82 ← | 24 |
| 92 | -375 | -190.99 | 0,05 | 6204 | 0,05 | 0,001 | 82 ← | 24 |
| 93 | -225 | -190.99 | 0,05 | 6204 | 0,05 | 4·10 ⁻⁴ | 82 ← | 24 |
| 94 | -75 | -190.99 | 0,05 | 6204 | 0,05 | 4·10 ⁻⁴ | 7 ↓ | 24 |
| 95 | 75 | -190.99 | 0,05 | 6204 | 0,05 | 4·10 ⁻⁴ | 338 ↓ | 24 |
| 96 | 225 | -190.99 | 0,05 | 6204 | 0,05 | 0,001 | 308 ↘ | 24 |
| 97 | 375 | -190.99 | 0,051 | 6204 | 0,05 | 0,001 | 296 ↘ | 24 |
| 98 | 525 | -190.99 | 0,051 | 6204 | 0,05 | 0,001 | 288 → | 24 |
| 99 | 675 | -190.99 | 0,051 | 6204 | 0,05 | 0,001 | 284 → | 24 |
| 100 | 825 | -190.99 | 0,051 | 6204 | 0,049 | 0,001 | 281 → | 24 |
| 101 | 975 | -190.99 | 0,051 | 6204 | 0,049 | 0,002 | 279 → | 24 |
| 102 | 1125 | -190.99 | 0,051 | 6204 | 0,049 | 0,002 | 277 → | 24 |
| 103 | -1275 | -41 | 0,051 | 6204 | 0,049 | 0,002 | 90 ← | 24 |
| 104 | -1125 | -41 | 0,051 | 6204 | 0,049 | 0,002 | 90 ← | 24 |
| 105 | -975 | -41 | 0,051 | 6204 | 0,049 | 0,001 | 91 ← | 24 |
| 106 | -825 | -41 | 0,051 | 6204 | 0,05 | 0,001 | 91 ← | 24 |
| 107 | -675 | -41 | 0,051 | 6204 | 0,05 | 0,001 | 93 ← | 24 |
| 108 | -525 | -41 | 0,051 | 6204 | 0,05 | 0,001 | 96 ← | 24 |
| 109 | -375 | -41 | 0,05 | 6204 | 0,05 | 0,001 | 99 ← | 24 |
| 110 | -225 | -41 | 0,05 | 6204 | 0,05 | 0,001 | 106 ← | 24 |
| 111 | -75 | -41 | 0,05 | 6204 | 0,05 | 3·10 ⁻⁴ | 116 ↖ | 24 |
| 112 | 75 | -41 | 0,05 | 6204 | 0,05 | 2·10 ⁻⁴ | 296 ↘ | 24 |
| 113 | 225 | -41 | 0,05 | 6204 | 0,05 | 5·10 ⁻⁴ | 285 → | 24 |
| 114 | 375 | -41 | 0,05 | 6204 | 0,05 | 0,001 | 279 → | 24 |
| 115 | 525 | -41 | 0,051 | 6204 | 0,05 | 0,001 | 275 → | 24 |
| 116 | 675 | -41 | 0,051 | 6204 | 0,05 | 0,001 | 272 → | 24 |
| 117 | 825 | -41 | 0,051 | 6204 | 0,05 | 0,001 | 271 → | 24 |
| 118 | 975 | -41 | 0,051 | 6204 | 0,049 | 0,001 | 270 → | 24 |
| 119 | 1125 | -41 | 0,051 | 6204 | 0,049 | 0,002 | 270 → | 24 |
| 120 | -1275 | 109 | 0,051 | 6204 | 0,049 | 0,002 | 97 ← | 22,8 |
| 121 | -1125 | 109 | 0,051 | 6204 | 0,049 | 0,002 | 98 ← | 24 |
| 122 | -975 | 109 | 0,051 | 6204 | 0,049 | 0,002 | 99 ← | 23,4 |
| 123 | -825 | 109 | 0,051 | 6204 | 0,049 | 0,001 | 101 ← | 24 |
| 124 | -675 | 109 | 0,051 | 6204 | 0,05 | 0,001 | 104 ← | 24 |
| 125 | -525 | 109 | 0,051 | 6204 | 0,05 | 0,001 | 108 ← | 24 |
| 126 | -375 | 109 | 0,051 | 6204 | 0,05 | 0,001 | 115 ↖ | 24 |
| 127 | -225 | 109 | 0,05 | 6204 | 0,05 | 0,001 | 127 ↖ | 24 |
| 128 | -75 | 109 | 0,05 | 6204 | 0,05 | 5·10 ⁻⁴ | 153 ↖ | 24 |
| 129 | 75 | 109 | 0,05 | 6204 | 0,05 | 4·10 ⁻⁴ | 182 ↑ | 24 |
| 130 | 225 | 109 | 0,05 | 6204 | 0,05 | 4·10 ⁻⁴ | 208 ↗ | 24 |
| 131 | 375 | 109 | 0,05 | 6204 | 0,05 | 0,001 | 260 → | 24 |
| 132 | 525 | 109 | 0,05 | 6204 | 0,05 | 0,001 | 261 → | 24 |
| 133 | 675 | 109 | 0,051 | 6204 | 0,05 | 0,001 | 261 → | 24 |
| 134 | 825 | 109 | 0,051 | 6204 | 0,05 | 0,001 | 261 → | 24 |
| 135 | 975 | 109 | 0,051 | 6204 | 0,05 | 0,001 | 261 → | 24 |
| 136 | 1125 | 109 | 0,051 | 6204 | 0,049 | 0,002 | 262 → | 24 |
| 137 | -1275 | 259 | 0,051 | 6204 | 0,049 | 0,002 | 103 ← | 24 |
| 138 | -1125 | 259 | 0,051 | 6204 | 0,049 | 0,002 | 105 ← | 24 |
| 139 | -975 | 259 | 0,051 | 6204 | 0,049 | 0,002 | 107 ← | 24 |
| 140 | -825 | 259 | 0,051 | 6204 | 0,049 | 0,002 | 110 ← | 24 |
| 141 | -675 | 259 | 0,051 | 6204 | 0,049 | 0,001 | 114 ↖ | 23,4 |
| 142 | -525 | 259 | 0,051 | 6204 | 0,049 | 0,001 | 120 ↖ | 24 |
| 143 | -375 | 259 | 0,051 | 6204 | 0,05 | 0,001 | 130 ↖ | 24 |
| 144 | -225 | 259 | 0,051 | 6204 | 0,05 | 0,001 | 143 ↖ | 24 |

Продолжение таблицы 1.9.6

| № | Координаты | | Расчетная концентрация | | Фон, д.ПДК | Вклад предприятия, д.ПДК | Ветер | |
|-----|------------|--------|------------------------|--------|------------|--------------------------|-------------|---------------|
| | Х | У | д.ПДК | код ЗВ | | | направл., ° | скорость, м/с |
| 1 | 2 | 3 | 4 | 5 | 6 | 7 | 8 | 9 |
| 145 | -75 | 259 | 0,051 | 6204 | 0,05 | 0,001 | 160 ↑ | 24 |
| 146 | 75 | 259 | 0,05 | 6204 | 0,05 | 0,001 | 183 ↑ | 24 |
| 147 | 225 | 259 | 0,05 | 6204 | 0,05 | 0,001 | 202 ↑ | 24 |
| 148 | 375 | 259 | 0,05 | 6204 | 0,05 | 0,001 | 219 ↗ | 24 |
| 149 | 525 | 259 | 0,05 | 6204 | 0,05 | 0,001 | 245 ↗ | 24 |
| 150 | 675 | 259 | 0,051 | 6204 | 0,05 | 0,001 | 248 → | 24 |
| 151 | 825 | 259 | 0,051 | 6204 | 0,05 | 0,001 | 251 → | 24 |
| 152 | 975 | 259 | 0,051 | 6204 | 0,05 | 0,001 | 253 → | 24 |
| 153 | 1125 | 259 | 0,051 | 6204 | 0,049 | 0,001 | 255 → | 24 |
| 154 | -1275 | 409 | 0,051 | 6204 | 0,049 | 0,002 | 109 ← | 24 |
| 155 | -1125 | 409 | 0,051 | 6204 | 0,049 | 0,002 | 112 ← | 22,8 |
| 156 | -975 | 409 | 0,051 | 6204 | 0,049 | 0,002 | 115 ↖ | 23,8 |
| 157 | -825 | 409 | 0,051 | 6204 | 0,049 | 0,002 | 119 ↖ | 24 |
| 158 | -675 | 409 | 0,051 | 6204 | 0,049 | 0,002 | 124 ↖ | 24 |
| 159 | -525 | 409 | 0,051 | 6204 | 0,049 | 0,002 | 131 ↖ | 24 |
| 160 | -375 | 409 | 0,051 | 6204 | 0,049 | 0,001 | 140 ↖ | 24 |
| 161 | -225 | 409 | 0,051 | 6204 | 0,05 | 0,001 | 152 ↖ | 24 |
| 162 | -75 | 409 | 0,051 | 6204 | 0,05 | 0,001 | 167 ↑ | 24 |
| 163 | 75 | 409 | 0,051 | 6204 | 0,05 | 0,001 | 183 ↑ | 24 |
| 164 | 225 | 409 | 0,05 | 6204 | 0,05 | 0,001 | 198 ↑ | 24 |
| 165 | 375 | 409 | 0,05 | 6204 | 0,05 | 0,001 | 212 ↗ | 24 |
| 166 | 525 | 409 | 0,051 | 6204 | 0,05 | 0,001 | 224 ↗ | 24 |
| 167 | 675 | 409 | 0,051 | 6204 | 0,05 | 0,001 | 235 ↗ | 24 |
| 168 | 825 | 409 | 0,051 | 6204 | 0,05 | 0,001 | 241 ↗ | 24 |
| 169 | 975 | 409 | 0,051 | 6204 | 0,05 | 0,001 | 245 ↗ | 24 |
| 170 | 1125 | 409 | 0,051 | 6204 | 0,049 | 0,001 | 248 → | 24 |
| 171 | -1275 | 559.01 | 0,051 | 6204 | 0,049 | 0,002 | 115 ↖ | 23,8 |
| 172 | -1125 | 559.01 | 0,051 | 6204 | 0,049 | 0,002 | 118 ↖ | 24 |
| 173 | -975 | 559.01 | 0,051 | 6204 | 0,049 | 0,002 | 122 ↖ | 24 |
| 174 | -825 | 559.01 | 0,051 | 6204 | 0,049 | 0,002 | 126 ↖ | 24 |
| 175 | -675 | 559.01 | 0,051 | 6204 | 0,049 | 0,002 | 131 ↖ | 24 |
| 176 | -525 | 559.01 | 0,051 | 6204 | 0,049 | 0,002 | 139 ↖ | 24 |
| 177 | -375 | 559.01 | 0,051 | 6204 | 0,049 | 0,002 | 147 ↖ | 24 |
| 178 | -225 | 559.01 | 0,051 | 6204 | 0,049 | 0,002 | 158 ↑ | 24 |
| 179 | -75 | 559.01 | 0,051 | 6204 | 0,05 | 0,001 | 171 ↑ | 24 |
| 180 | 75 | 559.01 | 0,051 | 6204 | 0,05 | 0,001 | 184 ↑ | 24 |
| 181 | 225 | 559.01 | 0,051 | 6204 | 0,05 | 0,001 | 196 ↑ | 24 |
| 182 | 375 | 559.01 | 0,051 | 6204 | 0,05 | 0,001 | 208 ↗ | 24 |
| 183 | 525 | 559.01 | 0,051 | 6204 | 0,05 | 0,001 | 218 ↗ | 24 |
| 184 | 675 | 559.01 | 0,051 | 6204 | 0,05 | 0,001 | 227 ↗ | 24 |
| 185 | 825 | 559.01 | 0,051 | 6204 | 0,05 | 0,001 | 233 ↗ | 24 |
| 186 | 975 | 559.01 | 0,051 | 6204 | 0,049 | 0,001 | 238 ↗ | 24 |
| 187 | 1125 | 559.01 | 0,051 | 6204 | 0,049 | 0,002 | 241 ↗ | 24 |
| 188 | -1275 | 709.01 | 0,051 | 6204 | 0,049 | 0,002 | 120 ↖ | 24 |
| 189 | -1125 | 709.01 | 0,051 | 6204 | 0,049 | 0,002 | 124 ↖ | 23,7 |
| 190 | -975 | 709.01 | 0,051 | 6204 | 0,049 | 0,002 | 127 ↖ | 24 |
| 191 | -825 | 709.01 | 0,051 | 6204 | 0,049 | 0,002 | 132 ↖ | 24 |
| 192 | -675 | 709.01 | 0,051 | 6204 | 0,049 | 0,002 | 138 ↖ | 24 |
| 193 | -525 | 709.01 | 0,051 | 6204 | 0,049 | 0,002 | 145 ↖ | 24 |
| 194 | -375 | 709.01 | 0,051 | 6204 | 0,049 | 0,002 | 153 ↖ | 23,4 |
| 195 | -225 | 709.01 | 0,051 | 6204 | 0,049 | 0,002 | 162 ↑ | 24 |
| 196 | -75 | 709.01 | 0,051 | 6204 | 0,049 | 0,002 | 173 ↑ | 24 |
| 197 | 75 | 709.01 | 0,051 | 6204 | 0,049 | 0,001 | 184 ↑ | 24 |
| 198 | 225 | 709.01 | 0,051 | 6204 | 0,05 | 0,001 | 195 ↑ | 24 |
| 199 | 375 | 709.01 | 0,051 | 6204 | 0,05 | 0,001 | 204 ↗ | 24 |
| 200 | 525 | 709.01 | 0,051 | 6204 | 0,05 | 0,001 | 213 ↗ | 24 |
| 201 | 675 | 709.01 | 0,051 | 6204 | 0,05 | 0,001 | 221 ↗ | 24 |
| 202 | 825 | 709.01 | 0,051 | 6204 | 0,049 | 0,001 | 227 ↗ | 24 |
| 203 | 975 | 709.01 | 0,051 | 6204 | 0,049 | 0,001 | 232 ↗ | 24 |
| 204 | 1125 | 709.01 | 0,051 | 6204 | 0,049 | 0,002 | 236 ↗ | 24 |
| 205 | -1275 | 859.01 | 0,051 | 6204 | 0,049 | 0,002 | 125 ↖ | 22,2 |
| 206 | -1125 | 859.01 | 0,051 | 6204 | 0,049 | 0,002 | 128 ↖ | 24 |
| 207 | -975 | 859.01 | 0,051 | 6204 | 0,049 | 0,002 | 132 ↖ | 24 |
| 208 | -825 | 859.01 | 0,051 | 6204 | 0,049 | 0,002 | 137 ↖ | 24 |

Продолжение таблицы 1.9.6

| № | Координаты | | Расчетная концентрация | | Фон, д.ПДК | Вклад предприятия, д.ПДК | Ветер | |
|-----|------------|--------|------------------------|--------|------------|--------------------------|-------------|---------------|
| | X | Y | д.ПДК | код ЗВ | | | направл., ° | скорость, м/с |
| 1 | 2 | 3 | 4 | 5 | 6 | 7 | 8 | 9 |
| 209 | -675 | 859.01 | 0,051 | 6204 | 0,049 | 0,002 | 143 ↖ | 22,8 |
| 210 | -525 | 859.01 | 0,051 | 6204 | 0,049 | 0,002 | 149 ↖ | 24 |
| 211 | -375 | 859.01 | 0,051 | 6204 | 0,049 | 0,002 | 157 ↖ | 22,8 |
| 212 | -225 | 859.01 | 0,051 | 6204 | 0,049 | 0,002 | 165 ↑ | 24 |
| 213 | -75 | 859.01 | 0,051 | 6204 | 0,049 | 0,002 | 174 ↑ | 23,4 |
| 214 | 75 | 859.01 | 0,051 | 6204 | 0,049 | 0,002 | 184 ↑ | 24 |
| 215 | 225 | 859.01 | 0,051 | 6204 | 0,049 | 0,001 | 193 ↑ | 24 |
| 216 | 375 | 859.01 | 0,051 | 6204 | 0,049 | 0,001 | 201 ↑ | 24 |
| 217 | 525 | 859.01 | 0,051 | 6204 | 0,049 | 0,001 | 209 ↗ | 24 |
| 218 | 675 | 859.01 | 0,051 | 6204 | 0,049 | 0,001 | 216 ↗ | 24 |
| 219 | 825 | 859.01 | 0,051 | 6204 | 0,049 | 0,002 | 222 ↗ | 24 |
| 220 | 975 | 859.01 | 0,051 | 6204 | 0,049 | 0,002 | 227 ↗ | 24 |
| 221 | 1125 | 859.01 | 0,051 | 6204 | 0,049 | 0,002 | 231 ↗ | 24 |

Ситуационная карта-схема района размещения предприятия, с нанесенными изолиниями расчётных концентраций, выраженных в долях ПДК, по расчетной площадке № 1 приведена в масштабе **1:15000** на рисунке 1.9.1.

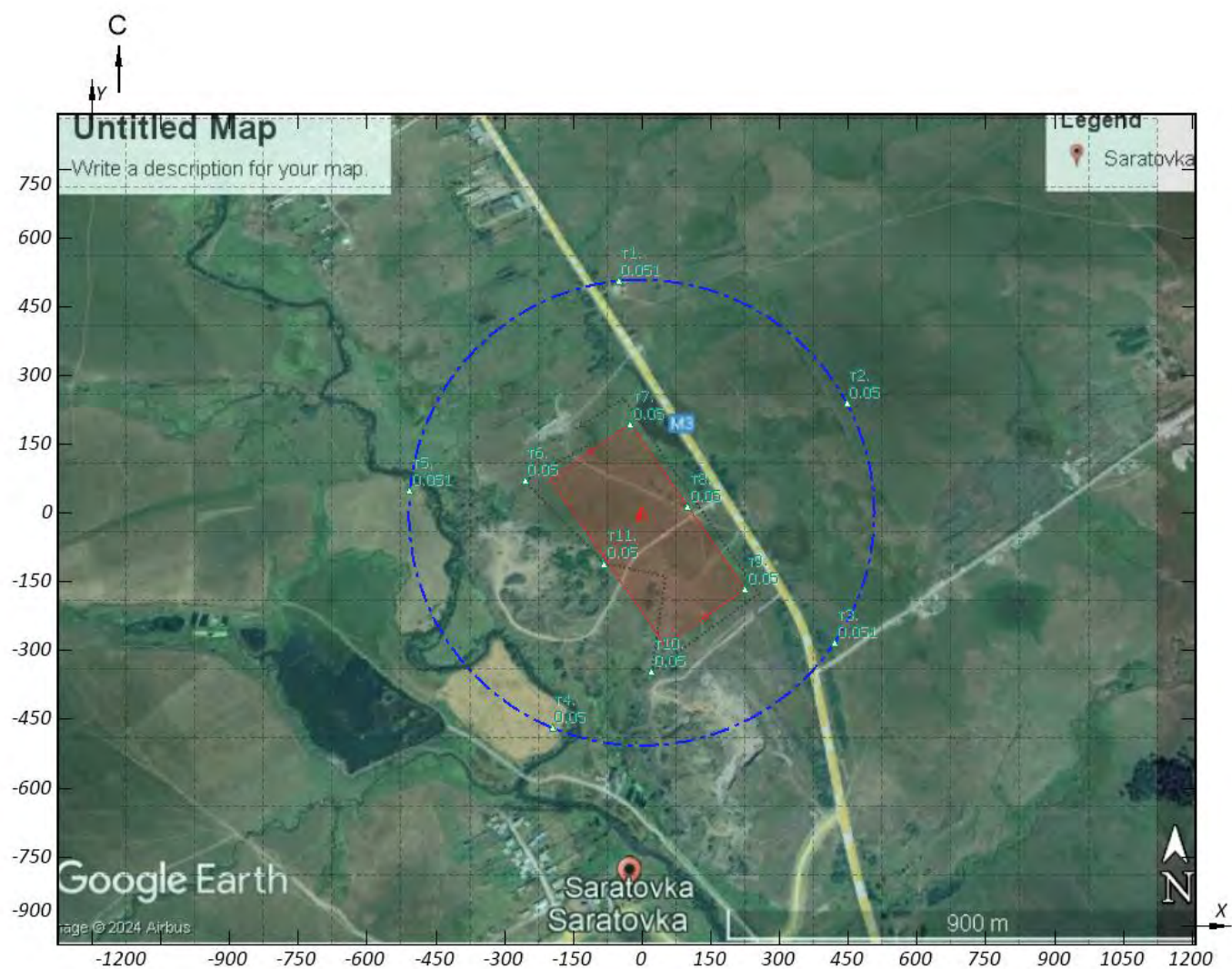
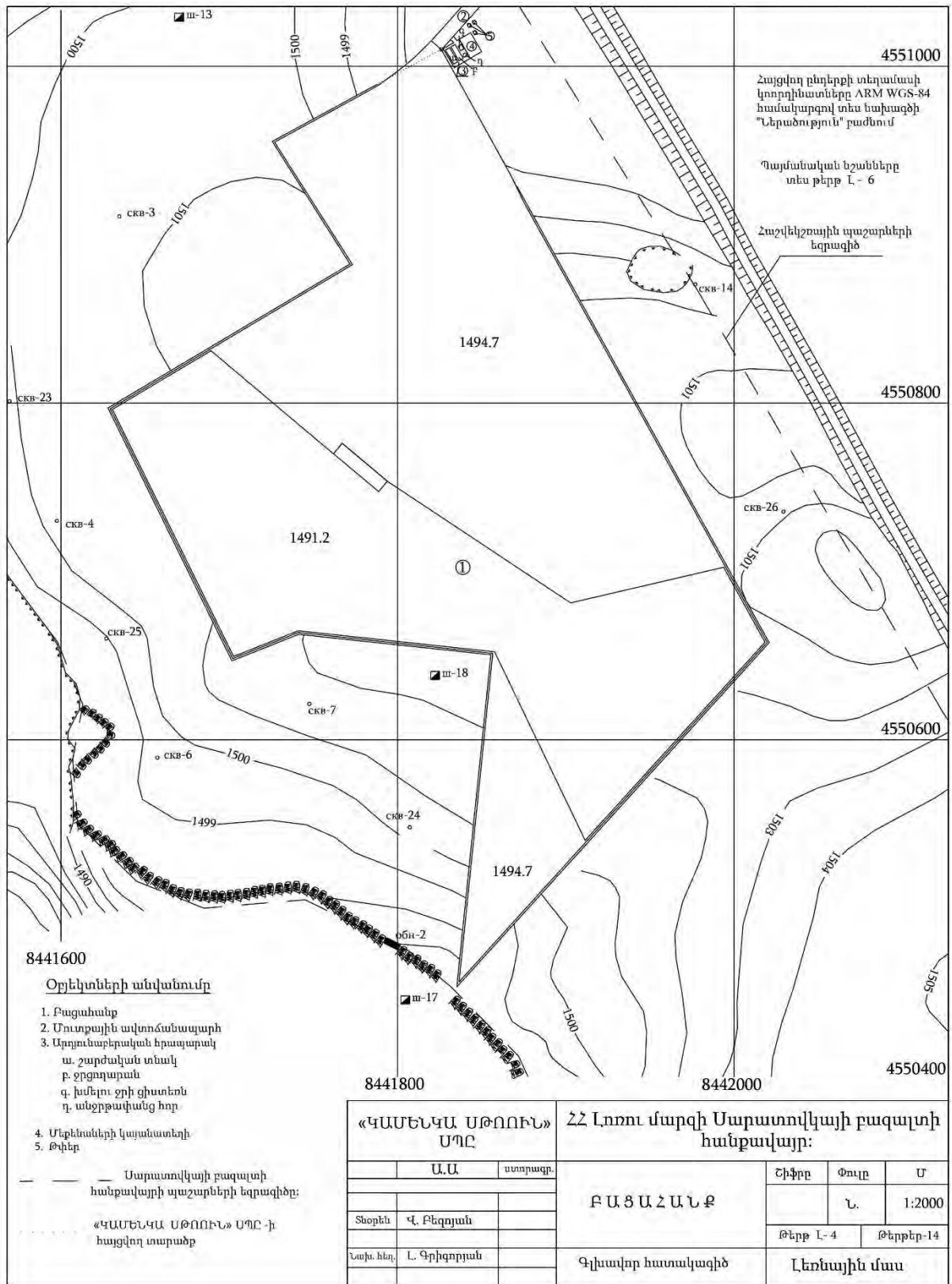


Рисунок 1.9.1 - Вариант № 1; Расчетная площадка №1

Հավելված 2.



- 8441600
- Օրէկաների անվանումը**
1. Բացահանք
 2. Մուտքային ավտոճանապարհ
 3. Արդյունաբերական հրապարակ
 - ա. շարժական տնակ
 - բ. ջրցողարան
 - գ. խմելու ջրի ցիստեռն
 - դ. անջրթափանց հոր
 4. Մերձանների կայանատեղի
 5. Թփեր

— — — — — Սարատուկայի բազալտի հանքավայրի պաշարների եզրագիծը:

..... «ԿԱՍԵՆԿԱ ՍԹՈՈՒՆ» ՍՊԸ -ի հայցվող տարածք

| | | | | | |
|----------------------|--------------|---|--------------|-----------|---|
| «ԿԱՍԵՆԿԱ ՍԹՈՈՒՆ» ՍՊԸ | | ՀՀ Լոռու մարզի Սարատուկայի բազալտի հանքավայր: | | | |
| Ա.Ա. | ստորագր. | Բ Ա Տ Ա Հ Ա Ն Ք | Շիֆրը | Փուլը | Մ |
| Տնօրեն | Վ. Բեգոյան | | Լ. | 1:2000 | |
| Լսալի. հեղ. | Լ. Գրիգորյան | | Թերթ Լ-4 | Թերթեր-14 | |
| | | Գլխավոր հաստակագիծ | Լեռնային մաս | | |